

Vysoká škola strojní a fakultní v Liberci
Katedra učebcovství a plstkařství

KONKURSOM PRÁCE Hlásit

Vysoké škola strojní a textilní v Liberci

Fakulta textilní

Katedra tkalcovství a pletářství

Optimalizace podmínek základního funkčního ústrojí okruhů různých pletacích strojů.

(Kandidátská práce)

1969

Ing. Jaroslav Kopeš

U P O Z O R N Ě N I .

Přenochávání této práce dalším osobám a jekékoliv
zveřejňování a seznámování s výsledky této práce je do-
voleno jen po předchozím souhlasu autora nebo VVÚ ZVS
v Brně.

hy. Jaromír Kynd

1.0 Úvod

Významnou zvláštností naší doby, kdy průmyslová výroba dosahuje vynikajících výsledků je, že do popředí průmyslového rozvoje se staví věda. Věda se stává přímou složkou výrobního procesu a dnes si již ztěší dovedeme představit obec průmyslové výroby, který by mohl dosáhnout podstatného rozvoje bez využití vědeckých poznatků. Jedině tak je možné dosáhnout revolučního vývoje průmyslu a tím i zvýšení životní úrovně celého lidstva, budou-li se nejmodernější a nejsirší vědecké poznatky okamžitě uplatňovat v praxi.

Je nezbytné, aby vědeckého poznání, které se stále prohlubuje, bylo též v plné míře využíváno při zkoumání prostředků, kterými člověk disponuje, aby jejich kvalita po všech stránkách odpovídala současnému stavu všeobecného vědeckého poznání lidstva.

Základním pomocníkem současného člověka jsou stroje. Proto by tyto prostředky měly být podrobeny pečlivému rozboru z hlediska moderní vědy a techniky, aby člověk poznal podstatu funkčních a technologických závislostí jejich jednotlivých celků a mohl je zdokonalit pro spolehlivější a produktivnější činnost.

Dnešní člověk si dnes již nedovede představit svůj život na příklad bez výrobků textilního průmyslu. A je to právě textilní průmysl, kterému minulá desetiletí zůstala hodně dlužna. Právě v něm stále převládá celá řada empirických vztahů bez hlubšího vědeckého poznání. Teprve v posledních letech se začíná moderní měřicí techniky využívat pro vědecké poznání základních technologických a konstrukčních problémů textilních strojů.

Stále vyšší požadavky kladené na celý textilní průmysl je možné zajistit novými moderními stroji nebo novou technologií vytvořenou na základě současné vědy.

Mnoho i velmi moderních strojů je stále stavěno převážně jen na základě zkušeností. Tyto stroje však jen

těžko dosahují parametry, které by odpovídaly dnešní době, doba vědecké technické revoluce. Jen plným využitím nových průzkumných metod, kterými moderní věda disponuje, lze si v procesu poznání vytvořit spolehlivou základnu pro rozvoj nových technologií, nových vysoko produktivních strojů patřících k dnešní době atomového věku.

2.0 Cíl kandidátské práce a její zaměření vzhledem
k dosavadnímu poznatkům.

2.1 Zaměření práce pro obor pletářství.

Do popředí dnešního zpracovatelského průmyslu se dostává sice stará, ale velmi efektivní pletářská technologie. U jejich přednostech nelze pochybovat. Je jisté, že již dříve byla pletářská technologie efektivní, ale běžný dplet vykazuje některé specifické nedostatky, které jsou dány podstatou vazby a které není možné běžnou pletářskou technikou nebo použitím klasických textilních materiálů překonat. Teprve v novém pojetí vazební techniky a pletářské technologie, spolu s rozvojem výroby syntetických textilních vláken a materiálů, nachází pletářská technologie pro svou racionalnost širokého uplatnění. A to nejen v oblastech, kde použití úpletu bylo běžné, ale na víc zasahuje do oblastí, které byly dodnes výhradně svázány jen s technologií tkalcovskou.

Dnes se celosvětově věnují velmi značné částky na rozvoj pletářské technologie, která se neustále rozšiřuje a je stále více podrobována hlubšímu vědeckému zkoumání za účelem zkvalitnění výrobků a maximálního zrychlení výroby.

Příliš málo úsilí však stále bylo věnováno k získání základních funkčních a technologických závislostí jednoho z centrálních uzlů většiny pletářských strojů, t. j. technologického celku z e m e k - j e h l a - l û ž k o - - p ř í z e . Stříď si lze představit dálší rozvoj a zrychlení práce, konkrétně okrouhlých pletacích strojů, nebudeme-li znát základní závislosti tchoto centrálního uzlu. Je samozřejmé, že pro zkvalitnění a zrychlení práce okrouhlých pletacích strojů je třeba řešit celou řadu dalších velmi složitých úkolů spojených s dodávkou příze, odtahem zboží, vzorcováním atd. Avšak stálou součástí i nejjednodušších okrouhlých pletacích strojů zůstává výše uvedený technolo-

gický celek, bez jehož hlubšího poznání nelze provádět
racionalní rozvoj těchto strojů.

Okrouhlé pletací stroje jsou dnes jedním ze základních
článků pletářského průmyslu a proto jeam celou práci zamě-
řil na výzkum základního technologického celku okrouhlých
pletacích strojů.

2.2 Vlastní vymezení práce.

Cílem celé kandidátské práce je zjistit základní zá-
vislosti v technologickém celku zámek - jehla -
- lůžko - příze. Pro dosažení těchto závislostí
však v dnešní době neexistují měřicí metody, které by byly
schopny věrohodně registrovat tak rychlé děje probíhající
navíc s velikou četností. Chceme-li dosáhnout vytčeného
cíle, je nutné najprve vyvinout dostatečně spolehlivou me-
tdu pro zkoumání. To znamená v každém případě konstrukci
speciálních animací a v druhé části bud novou konstrukci
nebo přispásobení jiných měřicích zařízení pro regis-
traci měřených dějů.

Celý problém výzkumu daného úkolu lze v podstatě
rozdělit do dvou základních skupin.

A) Sledování základních závislostí soustavy: zámek-
-jehla-lůžko, tzn. při prázdných jehlách. Za těch-
to podmínek proměnit silové poměry této soustavy
v závislosti na úhlu zámku, postavení a druhu zám-
ků a též na obvodové rychlosti stroje. Z daného roz-
boru by měly vyplynout základní podmínky pro návrh
funkčních druh zámků, které mají bezprostřední vliv
nejen na opotřebení a životnost zámku, jehel a lůž-
ka jehly, jsou však určujícími pro pohyb jehly.
Rozhodují též při poměrech tvorbení očka a cvliv-
nosti namáhání příze při jejím tvarování do kličky,
popřípadě odhozu starého očka.

B) V druhé části pak sledování základních závislostí v soustavě jehla - zámek - příze. Za těchto poměrů, kdy jehla pláste, zjistit v prvé řadě změnu předešlých závislostí hlevně při styku jehla - zámek. V další části tohoto druhého bodu experimentální zjištění namáhaní příze, při jejím přetváření v očko.

Z uvedeného rozpisu je zřejmé, že řešení všech dílčích otázek, které z vyše uvedených bodů vyplývají, nemůže být náplní jednoho pracovníka a tím méně jediné kandidátské práce. Zvláště když si uvědomíme, že se doposud těmito problémy zabývalo velmi málo lidí a z této oblasti neexistuje téměř žádná literatura, tedy i měřicí metody a dosažené výsledky.

Přesto bych chtěl zpracovat celý vymezený rozsah jako celek, ovšem jen v hlavních rysech. Jen z celého přehledu bude možné určit, kde základní technologický celek okrouhlých pletacích strojů vykazuje slabinu pro další zlepšení jeho technologické činnosti a zvýšení obvodové rychlosti těchto strojů. Protože budou současně známé měřicí metody, bude možné se okamžitě zaměřit na hlavní nedostatky a řešit je. Po celkovém rozboru budeme moci např. rozhodnout co brání ve zvyšování otásek okrouhlých strojů; jsou-li to zámky, jehly nebo příze, která v procesu tvarování a tvoření očka, je namáhaná na mezi své pevnosti.

Dále bych chtěl zdůraznit, že jsem zvolil jako základ výzkumu experimentální cestu, která je zde sice velmi obtížná, ale vede k jednoznačným ověřeným závěrům.

Pro výzkum byl z oblasti okrouhlých pletacích strojů zvolen stroj velkopřůměrový, protože výsledky této práce mohou být okamžitě použity ve vývoji těchto strojů ve Výzkumném a vývojovém ústavu Závodů všeobecného strojírenství v Brně, se kterým na daném problému spolupracuji.

2.3.0 Přehled uvezených poznatků, zabývajících se blíže problematice této kandidátské práce.

Jak již bylo řečeno dříve, neexistuje z výzkumu řešení základního celku pletacích strojů téměř žádná literatura. Teprve dnes, kdy svoji práci v prvé fázi výzkumu uzavírám a shrnuji své poznatky, začínají se v odborných časopisech objevovat články podobné tématiky. Též hromadza zvyšováním obvodové rychlosti pletacích strojů dává tušit, že na řešení uvedené problematiky začínají horečně pracovat kolektivy výzkumných ústavů a velkých firem, vyrábějících pletací stroje. Je tedy částečnou výhodou, že jsem na dané problematice začal pracovat před pěti lety a v poslední době se spojil s pracovníky VVÚ ZVS v Brně, kteří navrhují nové pletací stroje a tím lze mých poznatků okamžitě využít pro modernizaci a konkurenční schopnost našich pletacích strojů.

2.2.1 Silové poměry na soustavě jehla - zámek - lůžko.

S touto problematikou se u nás poprvé teoreticky zabýval prof. Ing. František Pompe. Shrnutí jeho poznatků je provedeno v článku - viz literatura č. 7. V tomto článku je proveden statický rozbor soustavy jehla - zámek. Podobně se znova touto problematikou zabýval teoreticky Ing. M. Jansa - viz literatura č. 6, který rozšířil práci o křivkové zámkové dráhy a dynamické poměry na jehle a zámku s pokusem o návrh nových zámkových dráh. Křivkovými přechody funkčních zámkových dráh se ve své práci zabývá též L. Heeg - viz literatura č. 8.

Závěry z uvedené literatury:

- 1) Funkční celek jehla - zámek se jeví z hlediska silových poměrů velmi nevhodný, ale není znám dosud způsob, kterým by se tento jednoduchý princip ovládání jehel dal vhodně obepít a nahradit.

- 2) Všechny uvedené teoretické vzorce a vztahy nelze jednoznačně dřešit do věrohodných číselních hodnot, vzhledem k naprosté statické neurčitosti uložení jehly, které se stále mění.
- 3) Jako značně výhodné se ukazují křivkové přechody na funkčních hranách zámku, které je nutné dálé propracovat pro praktické použití.

2.3.2 Technologie přetváření příze do jednotlivých kliček a oček.

S touto problematikou se velmi podrobň zábýval ve své kandidátské práci Ing. V. Žid - viz literatura č. 10, který ve své práci odvozdil matematickou závislost průběhu rychlosti příze při děleném a postupném způsobu zatahování. V druhé části se pak zabývá experimentálním zjištěním kolísání napětí v přízi při zatahování, a to při pozitivní, konstantní dodávce příze.

Experimentálním výzkumem nemáhání příze při pletení se též zabýval D. B. Henshaw - viz literatura č. 9, který provedl řadu pokusů s záznamem s dvojím typem stahovače (s ostrou a plochou spodní hrancou). Dále též sledoval vliv čísla příze a úpravy příze na její nemáhání v průběhu zatahování a tvorby očka.

Závěry z uvedené literatury:

- 1) Spotřeba tedy i rychlosť příze během jejího tvorování do očka značně kolísá. Toto kolísání rychlosti spolu s kolísáním napětí příze vlivem odvíjení s cívky a třením o vodící elementy způsobují značné kolísání napětí příze v pravě přetvářeném úseku příze, což vede k nestajnoměrnosti délek oček a v neposlední řadě i přetrhům příze.
- 2) Způsob zatahování, jinak řečeno počet jehel činných v zatahovacím procesu, velmi radikálně zvyšuje namáhání příze při zatahování. Ideální případ by byl tehdy,

kdyby předešlá jehla nezačala tvarovat přízi dříve, než následující jehla dokončí zatahování. To je však ve většině případech neuskutečnitelné.

- 3) Pan Henshaw na rozdíl od mnoha neznámých autorů Kneptona a Kundena konstatuje a dokládá výsledky, že podstatný vliv při přetvarování příze má na její napětí číslo příze, které též dále ovlivňuje délku očka. Je zejména, že se snižováním Č_M příze se zvyšuje délka očka při stejném nastavení stehovače.
- 4) Podstatný vliv na délku oček má též velikost odstahu. Cílem našich konstruktérů je dělat odstah pokud možno s minimálním zatížením pleteniny.
- 5) Stehovač s plochou spodní hrancou (prodlevou) zajišťuje rovnoramennější pleteninu. Podle neověřených zkušeností však vede k vyššímu namáhání příze, protože nelze vytahovat část příze při konečném zatahování z předešlého (dříve zataženého) očka.
- 6) Dále Henshaw experimentálně potvrdil velmi podstatný vliv úpravy příze na její namáhání při přetvarování v očku. Uvádí např. přízi režnou, prenou a parafinovanou, kde příze parafinovaná vykazuje podstatně menší namáhání proti přízi režné a ta opět nižší proti přízi prané.

2.0 Sledování základních závislostí soustavy: zámek -
jehla - lůžko.

2.1 Teoretický rozbor silových poměrů na technologické
dvojici: zámek - jehla bez příze.

Zámek s jehlou uloženou v lůžku tvoří celek, jehož součinností je příze tvarována do kliček a po té do oček.

U některých typů strojů jsou při tvorbě očka ještě nápomocny různé druhy platin. Jak vypadají silové poměry na této soustavě je patrné z následujícího obr. 1. Uvedený rozbor je kreslen pro pohybující se jehlu a stojící zámky, protože tento stav je zachován u většiny okrouhlých pletacích strojů. U strojů s rotačními zámkami by byl silový rozbor obdobný.

Význam označení:

P síla pro unášení lůžka jehly

Pd dynamická síla působící na jehlu /Pd = f/G, y''//

G tíha jehly

S normálová síla mezi kolénkem jehly a zámkem

N', N'' složka síly N do osy x a y

T třecí síla mezi kolénkem jehly a zámkem

K, K' normálová síla mezi stěnou drážky lůžka a jehlou

L normálová síla působící na přední a zadní stěnu
stvolu jehly

f koeficient tření uvažovaný všude za konstantní

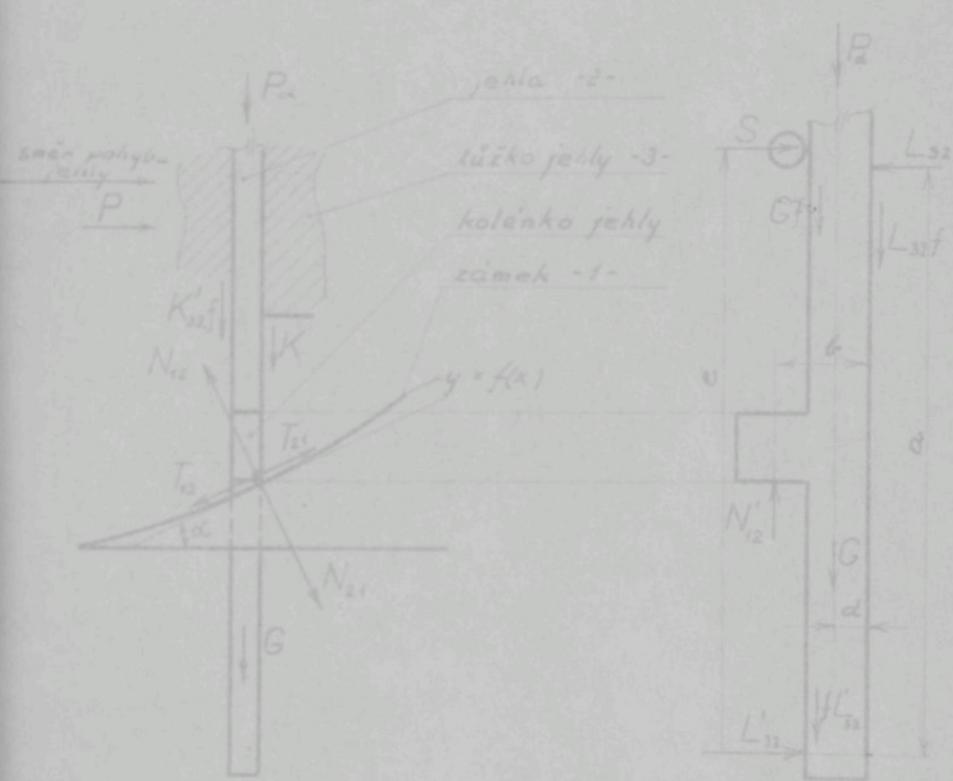
a, b, c, d, e ramena působení sil

α funkční úhel zámku /tg α = y'/

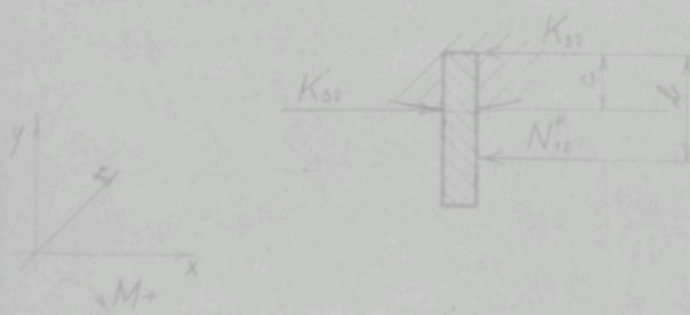
Pro rovnováhu sil na jehle platí:

Rovnováha v ose x:

$$1) K_{32}' - K_{32} - N_{12}' - fN_{12}' = 0$$



Obrázek



Rovnováha v ose y:

$$2) N'_{i2} - G - P_d - f(N'_{i2} + S + L'_{32} + K'_{32} + K''_{32}) = 0$$

Rovnováha v ose z:

$$3) L'_{32} - L_{32} + S = 0$$

Rovnováha momentů:

$$4) (N_{i2} + fN'_{i2})b - K_{32} \cdot c = 0$$

$$5) (N_{i2} + fN''_{i2})\delta - K'_{32} \cdot c + S \cdot e - L_{32} \cdot \alpha - (P_d + G) \cdot d = 0$$

Z uvedených závislostí by bylo možné spočítat velikost jednotlivých sil za předpokladu, že s dostatečnou přesností budeme schopni odečíst ramena působení sil, což v mnoha případech není záležitost zcela jednoznačná. Uvážme-li, že jehla je skoro vždy vložena v drážce s určitým, avšak zcela náhodným předpružením a při práci jehly s přizí, má síla od příze zcela obecnou velikost a směr, dospějeme k závěru, že čistě teoretické řešení základního technologického celku okrouhlých pletářských strojů by nevedlo k jednoznačným závěrům. Pro tyto okolnosti byla zvolena jako základ experimentální cesta výzkumu, která povede k závěrům založeným na skutečných naměřených veličinách. I zde však bude výsledek závislý na tom, jak dokonale bude schopné měřící zařízení a zvláště snímač (sonda) zachycovat měřené jevy. Z náměřených veličin můžeme přistoupit zpětně k teoretickému výpočtu a postupně na základě experimentálního výzkumu stanovit všeobecně platné teoretické závislosti.

2.2.0 Návrh snímání sondy pro měření.

Z uvedeného obrázku i závislosti je zřejmé, že pro výzkum dané soustavy je zapotřebí sledovat hlavně poměry mezi zámkem a kolénkem jehly, t. j. normálovou sílu N_{21} a tangenciální sílu T_{21} , které jsou charakteristické pro danou soustavu. K experimentálnemu zjištění těchto dvou silových složek je nutné vyvinout spolehlivou a přitom jednoduchou metodu, která by bez velkých zásahů do stroje zaručila získání nezkreslených výsledků.

Je celkem jednoznačné, že pro měření v soustavě jehla - zámek bude nejpřijatelnější nahradit zámek vhodným čidlem - snímačem, který by v zapojení na příslušnou aparaturu věrně zachycoval měřené silové veličiny.

I druhý bod tohoto problému je jednoznačný. Má-li snímač nahradit zámek, musí vlastnosti zámku dokonale nahradit nebo se jím alespoň v maximální míře přiblížit. To je vlastně jeden z nejsložitějších problémů. Má-li jakékoli čidlo - snímač - měřit silovou veličinu, musí nutně vykazovat při zatížení nějakou deformaci, která je většinou transformována na změnu elektrického impulsu. Deformace snímače by však měla být co nejmenší, aby průhyb snímače neovlivnil měřené veličiny, a to zvláště tehdy, jedná-li se o měření dynamických sil.

Pro usnadnění měření jsem se snažil použít běžně vyráběné měřicí přístroje, které spolehlivě pracují a jsou dostupnou špičkovou měřicí techniky. K vlastnostem těchto přístrojů jsem přizpůsoboval parametry snímačů, které byly speciálně konstruovány pro zjištění měřených veličin.

Vyzkoušel jsem různé alternativy tensometrických, indukčních a kapacitních snímačů v zapojení na různé měřicí aparatury a přitom porovnával jejich vhodnost pro měření normálové a třecí síly ve styku kolénka jehly se zámkem.

Když se po delším výzkumu ukázalo, že nejlepších výsledků lze dosáhnout s kapacitním snímačem zapojeným na tlakové čidlo firmy Tesla BM 200, které je určeno pro měření tlaku

ku plynů, vyvijel jsem déle jen kapacitní snímač pro zapojení na výše uvedenou aparaturu.

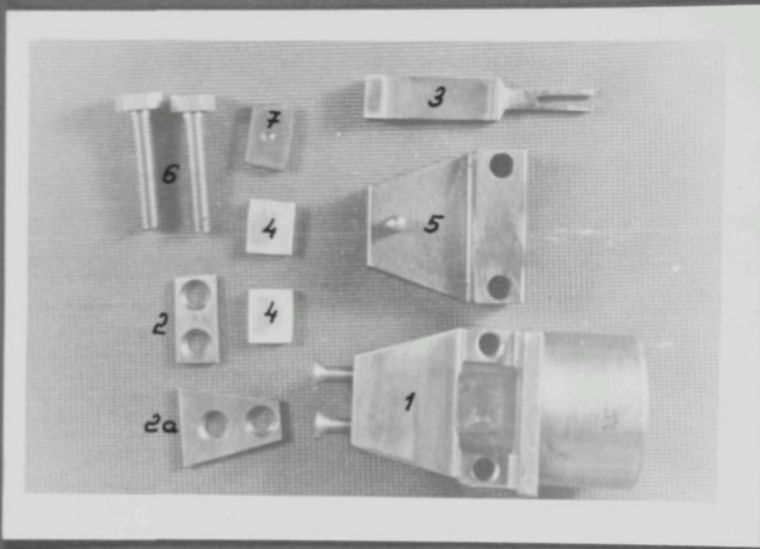
Pro správnou funkci kapacitního snímače bylo zapotřebí splnit dvě podmínky.

Za prvé, aby vlastní snímač měl minimální jalovou kapacitu, t. j. aby pokud možno celá jeho kapacita byla činně zúčastněna vlastního měření. Byl to velmi obtížný úkol, uvážme-li, že celé kapacita snímače nesměla přesáhnout 30 pF, aby snímač mohl být zapojen na tlakový indikátor Tesla.

Za druhé pak měrná deska snímače musela mít maximální tuhost, při dostatečné elektrické citlivosti, aby se bližila vlastnostem skutečného zámku, který nahrazuje. Celý snímač musel být konstruován tak, aby byl schopen jednoduchými úpravami měřit jak normálové, tak tangenciální síly.

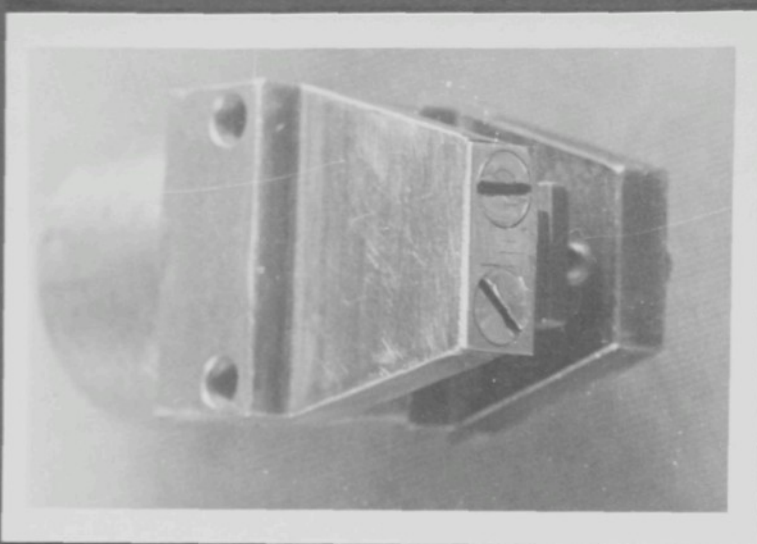
Po několika výpočtech, úpravách a zkouškách nejlépe vyhověla konstrukce kapacitního snímače, který vidíme na obr. 2, 3, 4. Výkresová dokumentace je v příloze č. I výkres č. (1 - 01) až (1 - 11).

Na obr. 2 vidíme rozložený kapacitní snímač. Základní těleso snímače tvoří část 1. Zadní trubkovou částí se snímač upevňuje do držáku. Do otvoru se zasunuje konektor přivodního koaxiálního kabelu. Přední desková část, která vybíhá ze čtvercové části, je vlastní měrná deska. Na čelo této desky se přišroubováním upevňují funkční zámkové hrany 2 a 2a. Podle obrázku 3 pro měření normálových sil a podle obr. 4 pro měření tangenciálních sil. Průhyb měrné desky se děje oprati sondě 3, která je odizolována od kostry snímače a připojuje se na střední vývod konektoru. Ve střední části je sonda uložena mezi desky trolitulu 4. Trolitul je volen proto, aby se maximálně snížila jalová kapacita snímače, protože jeho dielektrická konstanta je $\epsilon \approx 5$. a přitom je dostatečně tuhý, aby při stažení snímače sondu spolehlivě sevřel. Obě trolitulové desky musí být dokonale rovny a rovnoběžnými plochami, aby činná plocha sondy byla rovnoběžná, při staženém snímači, se spodní plochou měr-

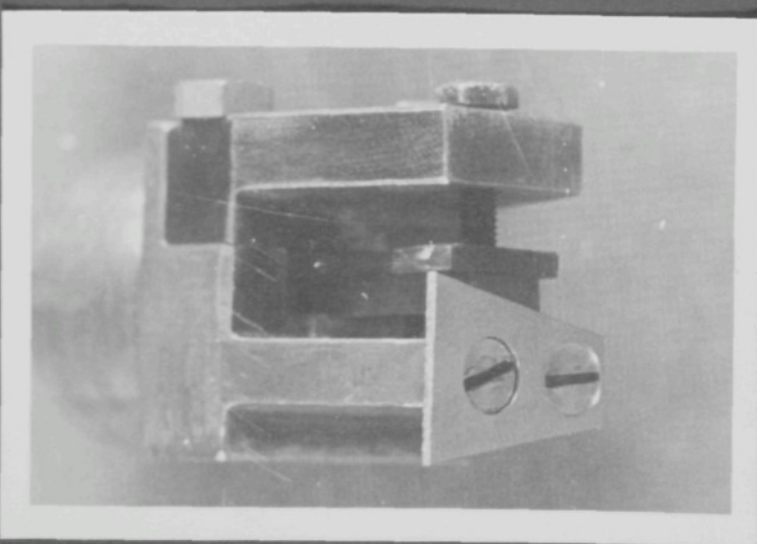


Obr. 2. Rozložený kapacitní snímač.

- 1 těleso snímače
- 2 zámková hrana pro měření normálových sil
- 2a zámková hrana pro měření tangenciálních sil
- 3 sonda
- 4 trolitulové destičky svírající sondu
- 5 příložka
- 6 stahovací šrouby
- 7 fíbrová podložka



Obr. 3. Kapacitní snímač pro měření normálových sil.



Obr. 4. Kapacitní snímač pro měření tangenciálních sil.

tor se vzduchovým dielektrikem, jsou dokonale vyleštěny, aby se maximálně snížila možnost zkratu. Celkové stažení snímače je provedeno příložkou 5, která se pomocí dvou šroubů 6 přitáhne k základní části snímače 1 a sevře tak sondu 3 mezi troilitulové desky. Zadní část sondy je zeslabena a slouží jako živý kontakt pro nasunutí ~~střední~~ části konektoru. V přední části příložky 5 je regulační šroub M3, který přes fibrovou podložku 7 reguluje vzdálenost činné plochy sondy od měrné desky. Zároveň též sondu podpírá, aby nemohla kmitat při nárazu kolénka jehly na snímač a též nezachycovala ohvění měřeného stroje a tím měření nebylo zkreslováno.

Složení snímače se provede tak, že sonda se mírně prohne, aby při staženém snímači byla vzdálenost její činné plochy od měrné desky asi 1 mm. Po dostatečném stažení snímače se regulačním šroubem M3 seřídí tato vzdálenost na hodnotu 0,01 - 0,05 mm, podle požadované citlivosti snímače.

Základní předpoklady pro návrh snímače lze shrnout do následujících bodů.

- a) Sonda 3 obr. 2 musí být svým povrchem pokud možno nejdále od kostry snímače.
- b) Povrch sondy mimo vlastní činnou plochu zachovat co nejmenší.
- c) Izolační materiál musí být volen s dielektrickou konstantou co nejmenší (Troilitul, fibr).
- d) Činná plocha sondy musí být dokonale hladká a rovnoběžná se spodní plochou měrné desky při staženém snímači.

Splněním těchto bodů se dosáhne snížené jalové kapacity snímače na minimum a jeho citlivost dosáhne své maximální hodnoty.

Z 2.1 Výpočet citlivosti snímače.

Jak již bylo dříve řečeno, závisí citlivost kapacitního snímače na poměru jeho jalové a činné kapacity. Výše uvedenou konstrukcí snímače se podařilo snižit jalovou kapacitu snímače C_j na 11 pF. Tato hodnota byla naměřena.

Činná plocha sondy je $S = 0,21 \text{ cm}^2$.

Minimální vzdálenost činné plochy sondy od měrné desky je $a = 0,001 \text{ cm}$.

Činná kapacita snímače C tedy činí:

$$C = 0,0885 \cdot \varepsilon \cdot \frac{S}{a} / \text{pF}, \text{ cm, cm}^2/, \quad \varepsilon = 1 - \text{pro vzduchovou mezeru}$$

$$C = 0,0885 \cdot 1 \cdot \frac{0,21}{0,001} = 18,585 \text{ pF}$$

Celková kapacita snímače C_1 :

$$C_1 = C + C_j = 18,585 + 11 = 29,585 \text{ pF}$$

Z uvedené hodnoty je zřejmé, že snímač může pracovat v zapojení na aparaturu Tesla BM 398, kde vstupní kapacita celé sondy má být do 30 pF, při kterých se dá aparatura ještě využít.

Daná aparatura je schopna registrace změny kapacity o 0,01 pF. Maximální změna je možná do 0,5 pF. Uvážíme-li tedy, že v krajiném případě stačí změna kapacity o 0,01 pF, pak zpětným výpočtem zjistíme krajiní nejmenší možnou výchylku měrné desky.

Změní-li se činná kapacita snímače na $C' = 18,595 \text{ pF}$, pak vzdálenost a se změní na $a_1 = 0,0885 \cdot \varepsilon \cdot \frac{S}{C'} = 0,0885 \cdot 1 \cdot \frac{0,21}{18,595} = 0,99946 \cdot 10^{-3} \text{ cm}$.

Odečtením $a - a_1 = 0,001 - 0,99946 \cdot 10^{-3} = 0,54 \cdot 10^{-6} \text{ cm}$. Teoreticky tedy přístroj zaznamená výchylku měrné desky snímače o $0,54 \cdot 10^{-5} \text{ mm}$. Ve skutečnosti nám postačí pracovat s průhyby měrné desky 10 x nebo 100 x většími a přitom snímač nezkrasí poměry mezi kolénkem jehly a zámkem. Je to z toho důvodu, že kolénko jehly je větší zámků nekomparativně.

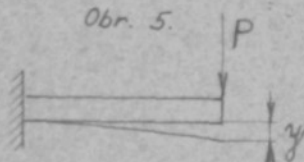
v desetinách milimetru.

Z.2.2. Výpočet průhybu měrné desky použitého snímače.

Pro upřesnění a posouzení mechanických vlastností snímače jsem provedl výpočet průhybu jeho měrné desky, protože rozměry snímače a jeho měrné desky byly voleny podle předběžných zkušeností a výpočtu. Podle obr. 5 je zřejmé, že se jedná o výpočet veknutého nosníku skoseného deskového tvaru. Dále je odvozena teoretická závislost průhybu nosníku na síle působící na jeho konci.

Výpočet průhybu desky použitého snímače

Obr. 5.

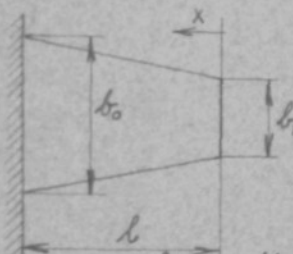


$$f_{(x)} = b_1 + \frac{b_o - b_1}{l} x$$

$$EI f_{(x)} \frac{d^2y}{dx^2} = M_{(x)}$$

$$M_{(x)} = P \cdot x$$

$$J_{(x)} = \frac{b_o \cdot h^3}{12} = \frac{h^3 \cdot b_1}{12} + \frac{h^3(b_o - b_1)}{12l} \cdot x$$



$$1) \frac{d^2y}{dx^2} = \frac{M(x)}{EI f_{(x)}} = - \frac{P \cdot x}{E \frac{h^3}{12l} [lb_1 + \frac{b_o - b_1}{l} x]}$$

$$2) \frac{d^2y}{dx^2} = \frac{12l}{Eh^3} \cdot \frac{Px}{lb_1 + x(b_o - b_1)}$$

$$3) \frac{d^2y}{dx^2} = \frac{12l}{Eh^3} \cdot \frac{Px}{lb_1 + xc} ; \quad b_o - b_1 = c$$

$$4) \frac{dy}{dx} = \frac{12lP}{Eh^3} \left[\frac{x}{c} - \frac{lb_1}{c^2} \lg(lb_1 + xc) + A \right]$$

$$5) y = \frac{12\ell P}{Eh^3} \left[\frac{x^2}{2c} - \frac{\ell b_1}{c^2} \left[(\ell b_1 + xc) \lg(\ell b_1 + xc) - \ell b_1 - xc \right] + A_x + B \right]$$

$$6) y = \frac{12\ell P}{Eh^3} \left[\frac{x^2}{2c} - \frac{\ell b_1}{c^2} \left[(\ell b_1 + xc) \lg(\ell b_1 + xc) - \ell b_1 - xc \right] + A_x + B \right]$$

Pro $x = l \rightarrow y = 0, \frac{dy}{dx} = 0$; odtud

$$A = -\frac{l}{c} + \frac{\ell b_1}{c^2} \lg(\ell b_1 + lc)$$

$$B = \frac{l^2}{2c} + \frac{\ell b_1}{c^3} \left[(\ell b_1 + lc) \lg(\ell b_1 + lc) - \ell b_1 - lc \right] - \frac{\ell^2 b_1}{c^2} \lg(\ell b_1 + lc)$$

Průhyb na konci měrné desky pro $x \approx 0$.

$$y = \frac{12\ell P}{Eh^3} \left[-\frac{\ell b_1}{c^3} (\ell b_1 \cdot \lg \ell b_1 - \ell b_1) + B \right]$$

Po dosazení skutečných hodnot, kde

$$P = 1 \text{ kp}$$

$$h = 0,5 \text{ cm}$$

$$l = 1,8 \text{ cm}$$

$$E = 2,1 \cdot 10^6 \text{ kp/cm}^2$$

$$b_0 = 2,5 \text{ cm}$$

$$c = b_0 = b_1 = 1,1 \text{ cm}$$

$$b_1 = 1,4 \text{ cm}$$

$$c^2 = 1,21 \text{ cm}^2$$

$$c^3 = 1,33 \text{ cm}^3$$

$$B = \frac{l^2}{2c} + \frac{\ell b_1}{c^3} \left[(\ell b_1 + lc) \lg(\ell b_1 + lc) - \ell b_1 - lc \right] - \frac{\ell^2 b_1}{c^2} \lg(\ell b_1 + lc)$$

$$B = \frac{1,8^2}{2 \cdot 1,1} + \frac{1,8 \cdot 1,4}{1,33} \left[(1,8 \cdot 1,4 + 1,8 \cdot 1,1) \cdot \lg(1,8 \cdot 1,4 + 1,8 \cdot 1,1) - 1,8 \cdot 1,4 - 1,8 \cdot 1,1 \right]$$

$$\frac{1,8^2 \cdot 1,4}{1,21} \lg(1,8 \cdot 1,4 + 1,8 \cdot 1,1) = 0,128$$

$$y = \frac{12P\ell}{Eh^3} \left[-\frac{\ell b_1}{c^3} (\ell b_1 \cdot \lg \ell b_1 - \ell b_1) + B \right]$$

$$y = \frac{12 \cdot 1 \cdot 1,8}{2,1 \cdot 10^6 \cdot 0,5^3} \left[-\frac{1,8 \cdot 1,4}{1,1^3} (1,8 \cdot 1,4 \cdot \lg 1,8 \cdot 1,4 - 1,8 \cdot 1,4) + 0,128 \right]$$

$$y = 82,286 \cdot 10^{-6} (0,363 + 0,128)$$

$$y = 40,402 \cdot 10^{-6} \text{ cm}$$

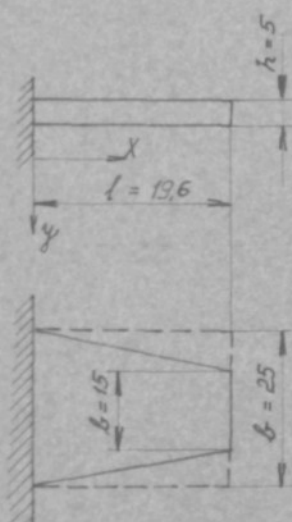
Z uvedeného výpočtu je zřejmé, že měrná deska snímače bude mít při předpokládaném maximálním zatížení $P = 4 \text{ kp}$ průhyb $y_1 = 1,6 \cdot 10^{-3} \text{ mm}$, tedy v oblasti pro měření plně vyhovující.

2.2.3. Vlastní frekvence použitého snímače.

Pro úplné posouzení kvality použitého snímače bylo nutné zjistit jeho vlastní frekvenci. Přesná hodnota vlastní frekvence byla stanovena měřením srovnávací metodou.

Předběžně byla výpočtem stanovena za zjednodušených podmínek přibližná hodnota frekvence měrné desky.

Pro veknutý nosník zkoseného tvaru obr. 6, který kmitá ve své rovině souměrnosti, tudíž pro stejný případ, jakým je měrná deska snímače, platí obecná diferenciální rovnice (viz literatura č. 1, str. 257).



$$\frac{d^2}{dx^2} \left(EI \frac{d^2 y}{dx^2} \right) = \frac{\gamma A}{g} \cdot \frac{d^2 y}{dt^2}$$

kde I a A jsou funkcií x a kde značí

EI - ohybová tuhost nosníku

γ - váha jednotkového objemu materiálu

A - plocha příčného průřezu

g - gravitační zrychlení

Vzhledem k tomu, že se nám jedná jen o výpočet přibližné hodnoty pro nastavení frekvence tónového generátoru a též podmínky na snímači jsou složitější než na obr. 6, zvolil jsem jednodušší způsob výpočtu. Uvažoval jsem desku nikoliv zkosenou, ale tvaru obdélníkového (na obr. značeno čárkováně) s délkou l , v níž je též zahrnuta tloušťka zámkové hrany. Pro tento případ platí (viz literatura č. 1, str. 30)

$$f = \frac{3,515}{2\pi} \sqrt{\frac{EIg}{\omega l^4}}$$

kde je f - vlastní příčná frekvence nosníku (1/s)

E - modul pružnosti materiálu (p/cm^2)

I - moment setrvačnosti průřezu v rovině kmitání (cm^4)

g - gravitační zrychlení

- váha jednotkové délky nosníku (p/cm)

l - délka nosníku (cm)

Dosazením skutečných hodnot do této rovnice obdržíme:

E pro ocel voleno $2,1 \cdot 10^5 \text{ kp/cm}^2$

$$I = \frac{1}{12} b h^3 = \frac{1}{12} \cdot 2,5 \cdot 0,5^3 \approx 0,026 \text{ cm}^4$$

$$\omega = b \cdot h \cdot g = 2,5 \cdot 0,5 \cdot 7,8 = 9,75 \text{ p/cm}$$

$$f = \frac{3,515}{2\pi} \sqrt{\frac{2,1 \cdot 10^5 \cdot 0,026 \cdot 9,81}{9,75 \cdot 1,96^4}} = \frac{3,515}{2\pi} \sqrt{\frac{5,356 \cdot 10^{10}}{143,91}} =$$

$$= \frac{3,515}{2\pi} \sqrt{0,03722 \cdot 10^{10}} =$$

$$= \frac{3,515}{2\pi} \cdot 0,193^{10^5} = \underline{\underline{9681 \text{ Hz}}}$$

Z uvedeného výsledku a předpokladů je zřejmé, že skutečná hodnota vlastní frekvence snímače bude okolo 10 kHz. Měrná frekvence tónového generátoru byla při měření nastavena na hodnotu 10 kHz.

Blokové schema zapojení přístrojů při měření vlastních kmitů snímače je uvedeno na obr. 7, kde značí:

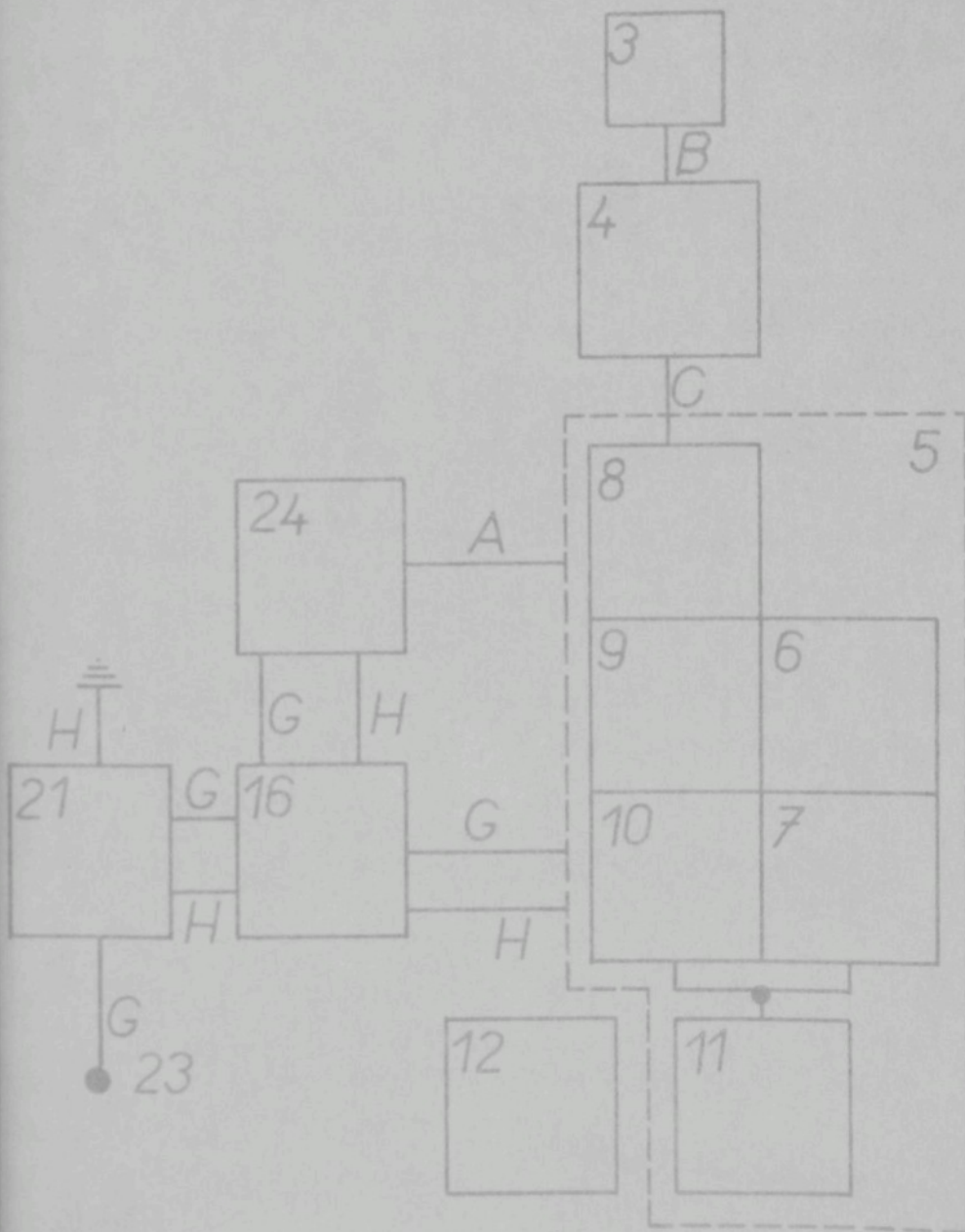
- 3 - kapacitní snímač
- 4 - oscilátor - sepářít
- 5 - konstrukční celek - tlakový indikátor Tesla BM 398
- 12 - fotoaparát Exakta Varex IIb
- 16 - rozvodná a pojistková deska
- 21 - stabilizátor napětí Křížík ST 5000 . 4
- 24 - tónový generátor Tesla BM 344

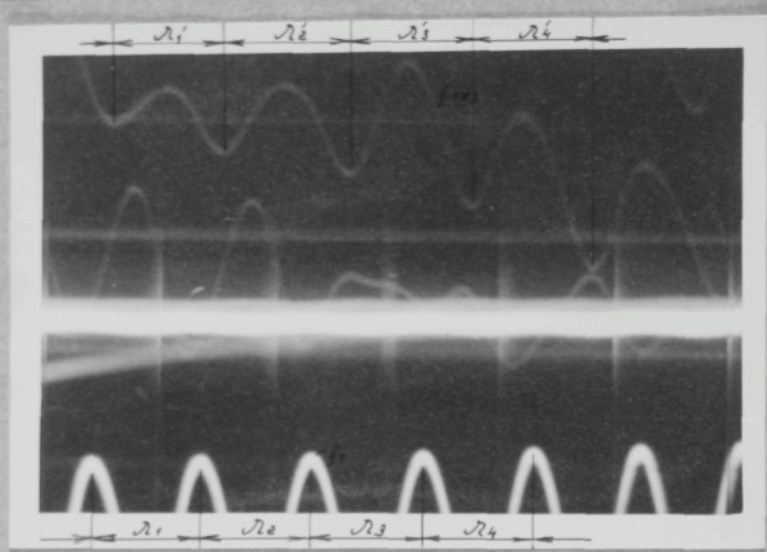
Ostatní údaje jsou v kapitole 3.2.6.

Tlakový indikátor Tesla BM 398 je dvoukanálový. Na jeden kanál byl zapojen vlastní snímač a na druhý kanál přímo na vychylovací zesilovač osciloskopu tónový generátor, nastavený na frekvenci 10 kHz. Snímač byl upevněn v masivním držáku; jeho funkční hrana byla zatížena závažím, které bylo zavěšeno na tenké niti. Při vhodném nastavení celé mařící aparatury byla nit přepálena, čímž se měrná deska snímače odlehčila a začala tlumeně kmitat. Bezprostředně poté byl na 1/60 s otevřen objektiv foto-přístroje a byl sejmout obraz probíhající na stínítce obrazovky tlakového indikátoru. Blížší funkce přístrojů a jejich zapojení je vysvětleno v kapitole 3.2.6.

Fotografií stínítka indikátoru vidíme na obr. 8. Vlastní kmitočet snímače je v horní části obrázku, v dolní části je měrný kmitočet 10 kHz. Protože během expozice proběhla časová základna osciloskopu několikrát a její spuštění není synchronizováno s kmity snímače, jsou jeho kmity naexponovány též vícekrát. Oba paprsky osciloskopu mají společnou časovou základnu, proto můžeme pouhým změněním délky vlny kmitů snímače a měrného kmitočtu a vzájemným jejich porovnáním zjistit skutečné vlastní kmity

Obr. 2. Blokové schéma měření vlastních kmitů animace.





Obr. 8.

Na následující tabulce jsou uvedeny délky vln kmitů λ , a λ' .

n	λ' / mm	λ_i / mm
1	18,8	18,5
2	21,2	19,5
3	21,0	19,0
4	20,8	19,0
Σ	81,8	76,0

Jejich průměrné hodnoty se vypočítají ze vztahů:

$$\bar{\lambda}' = \frac{\sum \lambda'_i}{n} = \frac{81,8}{4} = 20,45 \text{ mm}$$

$$\bar{\lambda} = \frac{\sum \lambda_i}{n} = \frac{76,0}{4} = 19,00 \text{ mm}$$

Vlastní frekvence snímače f_r vyplývá z úměry

$$\frac{f_r}{f_m} = \frac{\bar{\lambda}}{\bar{\lambda}'} \quad , \text{ kde } f_m = 10 \text{ kHz} - \text{měrný kmítocet}$$

$$\text{Z této úměry platí } f_r = f_m \cdot \frac{\bar{\lambda}}{\bar{\lambda}'} = 10 \cdot \frac{19,0}{20,45} = 0,929 \cdot 10 = 9,29 \text{ kHz}$$

Vlastní frekvence měrné desky snímače $f_r = 9,290 \text{ Hz}$.

Z uvedeného výsledku je patrné, že vlastní frekvence snímače je dostatečná a nemělo by cenu ji zvětšovat, protože vlastní tlakový indikátor, na který se snímač připojuje, nemůže pracovat s vyšším kmitočtem než 10 kHz. Dále je možné konstatovat, že prozatím neexistoval u nás pro měření v textilním průmyslu snímač s tak vysokým a tedy maximálně vhodným kmitočtem, vhodným i pro sledování napětí příze při různých technologických procesech. Dnes, kdy jsou u nás běžné aparatury DISA je možné tohoto snímače velmi výhodně využít v zapojení na tento velmi dokonalý přístroj.

3.2.4. Vliv chvění měřeného zařízení na snímač.

Velmi důležitou vlastností snímače je, jak při své citlivosti reaguje např. na chvění měřeného přístroje. Jížák řečeno, zda-li toto chvění snímač nezachycuje, protože by zkreslovalo vlastní měření, popřípadě ho vůbec znemožnilo. Tento bod nelze řešit komplexně, ale je nutné vliv chvění na snímač sledovat u konkrétních měření a řešit ho podle specifických podmínek. Odstranění nebo snížení vlivu chvění na snímač způsobilo v průběhu měření mnoho komplikací, které byly řešeny vždy u daného měření buď úpravou držáku snímače nebo částečnou rekonstrukcí vlastního snímače.

3.2.5. Upravnění snímače při měření.

Jak již bylo dříve řečeno, byl pro vlastní měření zvolen velkopříměrový žákový stroj UNIFLET žákar ODZI 30 výrobek n. p. Zbrojovka Vsetín. Všechny držáky jsou tedy rozměrově konstruovány na tento typ stroje.

Držák svými vlastnostmi musí splňovat dvě základní podmínky. V prvé řadě musí svým uspořádáním umožňovat snadné měření příslušných dějů a za druhé musí být dodržena do státečná tuhost držáku, aby nebyly zhoršovány vlastnosti snímače. Vhodné držáky pro měření na válci-talíři jsou nakresleny v příloze I, výkresy č. 1 - 01, 1 - 02, 1 - 03 a 1 - 04.

Vlastní snímač je do otočných desek držáků vlosován tak, aby jeho funkční zámková hrana byla v úrovni osy otočné desky. Celkové uspořádání držáků umožňuje jednoduché nastavení funkční hrany snímače vůči lůžkům stroje a dále natočením otočné desky nastavení libovolného funkčního úhlu zámků, jehož velikost je možno odečíst na stupnici vyryté na obvodu otočné desky.

Lisované spojení snímače s otočnou deskou a jejího stranového upevnění na stativ držáku bylo použito proto, aby dotahováním desky k základu držáku nebylo deformována upevňovací trubka snímače a tím i ovlivňována jeho citlivost. I sebemenší deformace upevňovací trubky snímače má za následek ovlivnění cejchu snímače a proto nebylo možné upevnit snímač do svérnného spojení, ve kterém by se samosťavně pro nastavení funk. úhlu natácel, protože každá změna polohy snímače by znamenala opakování pracného cejchu.

Uvedené držáky jsou dostatečně masivní a spolehlivě připevněny ke kostce stroje, aby nedošlo k znehodnocení vysoké vlastní frekvence snímače.

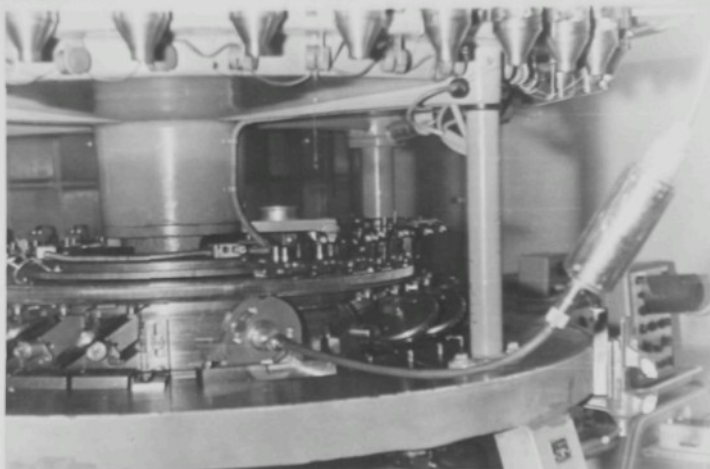
Na obrázcích 9, 10, 11 jsou znázorněna upevnění snímače na stroji při vlastním měření na válcovém i talířovém lůžku. Pro vhodný nájezd kolénka jehly na snímač a pro opětné vběhnutí kolénka jehly do zámkového systému stroje bylo používáno pomocných zámků upevněných na vlastních držácích. Dva z nich jsou patrné z výše uvedených obrázků a jsou označeny písmeny A a B.

2.2.6 Celkové zapojení snímače v měřící aparatuře.

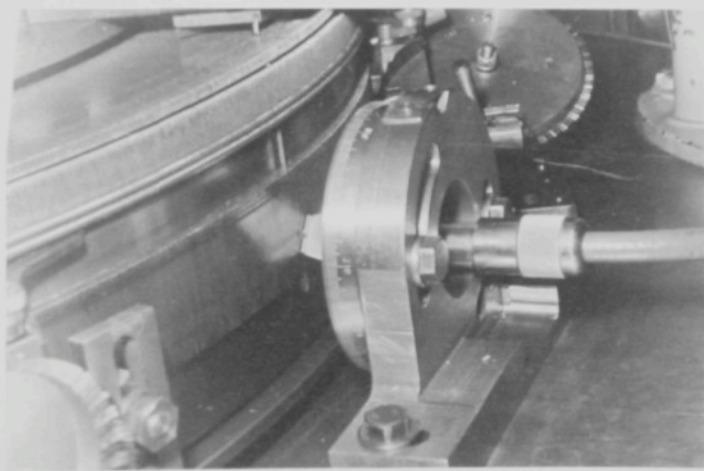
Celkové uspořádání měření normálových a tangenciálních sil ve styku kolénka jehly se zámkem na okrouhlém pletacím stroji je zobrazeno v blokovém schématu na obr. 12, fotografie měřící aparatury je na obr. 13.

V schématu značí:

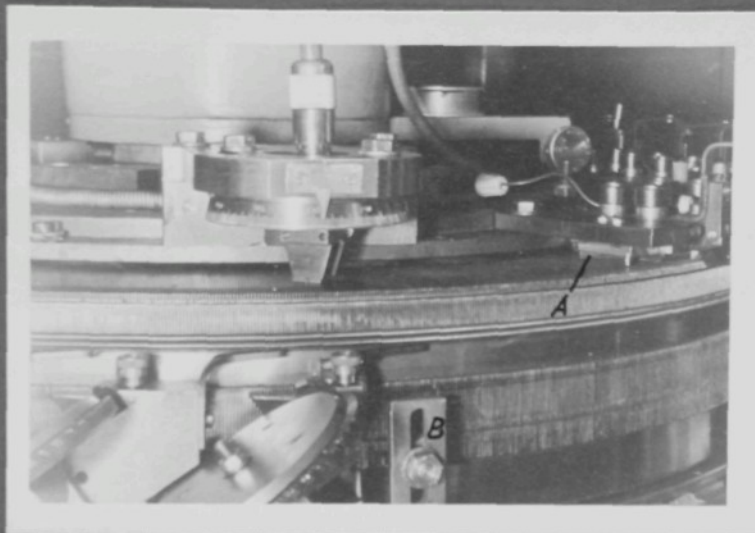
1 - měřený okrouhlý pletací stroj - Uniplet Žákár CDZI 32



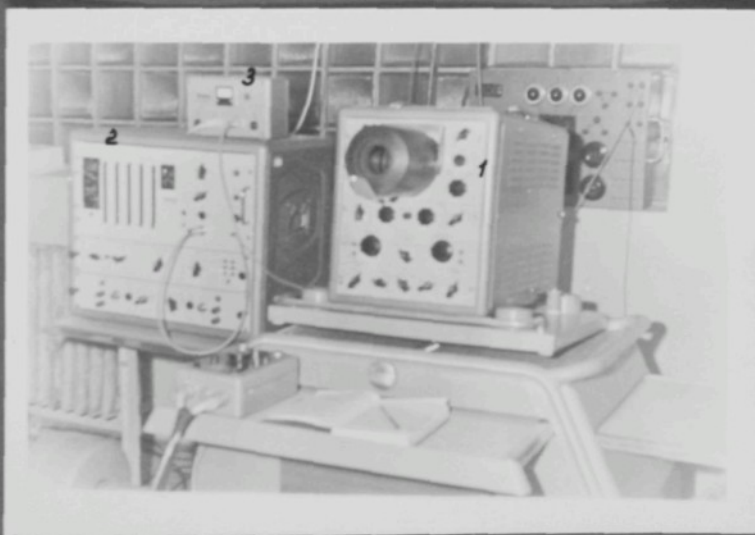
Obr. 9. Měření na válcovém lůžku.



Obr.10. Nájezd kolénka jehla na snímač.

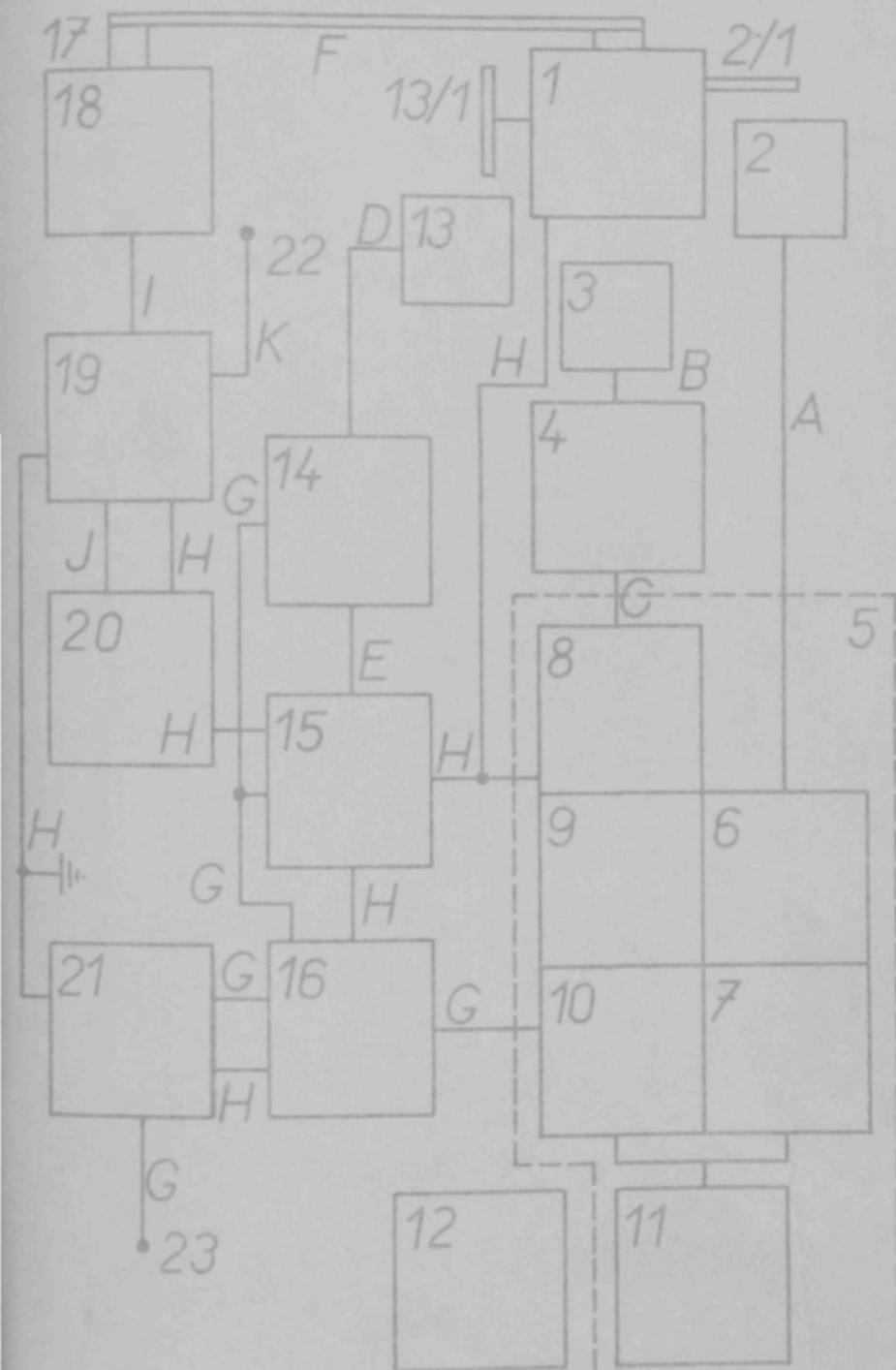


Obr.11. Měření na talířovém lůžku.



Obr.13 - 1 tlakový indikátor Tesla BM 398
2 dekadický čítač Tesla BM 354
3 fotoelektrický snímač Tesla BP 3620

Obr. 12. Blokové schéma vlastního mření.



- 2/1 - ocelový břit pro magnetický snímač
3 - kapacitní snímač
4 - oscilátor - separátor
5 - konstrukční celek - tlakový indikátor Tesla BM 398
6 - oscilátor časové základny - spožďovací linka
7 - horizontální zesilovač
8 - modulátor - zesilovač
9 - diskriminátor
10 - vertikální zesilovač
11 - osciloskop
12 - fotoaparát Exakta Varex IIb
13 - fotoelektrické čidlo
13/1 - otočná clonka Tesla BP 3620
14 - zesilovač a derivátor
15 - dekadický čítač Tesla BM 354
16 - rozvodná a pojistkové deska
17 - řemenice dvoustupňové převodovky
18 - regulační motor
19 - regulační souprava
20 - ovládací panel
21 - stabilisátor napětí Křižík ST 5000 . 4
22 - síťový přívod nestabilisovaný, třífázový
23 - síťový přívod nestabilisovaný, jednofázový
A - stíněný jednožilový vodič s aktivním stíněním
B - spec. koaxiální kabel (75Ω)
C - šestižilový stíněný kabel s aktivním stíněním
D - koaxiální kabel (75Ω)
E - čtyřžilový vodič s aktivním stíněním
F - řemenový převod
G - síťová šňůra třípramenná
H - autokabel (uzemnění)
I - vícežilový silnoproudý kabel
J - šestižilový silnoproudý kabel
K - čtyřžilový silnoproudý kabel

Rozdělení přístrojů pro jednotlivé obvody:

Pohon stroje a současně regulaci otáček provádějí díly
17, 18, 19, 20.

Kontrolu otáček stroje zajišťují díly
13/1, 13, 14, 15.

Zjištění normálové a tangenciální síly provádějí díly
3, 4, 8, 9, 10.

Funkci časové základny zajišťují díly:
2, 6, 7.

Zviditelnění a záznam měřených veličin zajišťují díly:
11, 12.

Nanájení přístrojů sítovým stabilisovaným napětím zajišťují:
díly 21, 16.

Stručný popis činnosti jednotlivých obvodů.

1) Pohon pletacího stroje

Z důvodu potřeby přesné regulace otáček v širokém rozmezí byl pro pohon pletacího stroje použit regulační motor Romeo 3, 1. Jde o třífázový stejnosměrný regulační motor s plynule regulací otáček. Protože u této soustavy není v nízkých otáčkách zaručen rovnoměrný chod, byla za motor vložena převodová skříň s konstantním převodem (směrem dolů), takže i v nejnižších otáčkách stroje byla zaručena rovnoměrnost jeho chodu. Regulaci otáček lze provést pouhým pootočením potenciometru na ovládací desce.

2) Kontrola otáček stroje

Protože jde o měření, kde hledaná veličina je funkcí otáček stroje, byly pro jejich měření stanoveny tyto požadavky.

1) Přesnost měření byla stanovena na $\pm 0,05$ ot/min.

v krátkých časových intervalech, aby nastavení otáček pomocí regulačního elektromotoru bylo co nejrychlejší.

Těmto podminkám vyhovuje měření pomocí fotoelektrického čidla zapojeného na dekadický čítač.

Na řemenicové kolo, které pohání podavače materiálu a které je mechanicky přes převodové soukoli spojeno s jehelním válcem, byla připevněna plochá deska. Po obvodu této desky byly vyvrťány ve stejných roztečích otvory. Jejich počet byl zvolen tak, aby při jedné otáčce stroje proběhlo mezi fotodiódou a zdrojem světla, které byly umístěny na obou stranách desky, přesně 1200 otvorů. To znamená, že fotonka vyslala za jednu otáčku stroje 1200 impulsů. Takto získané pulsy byly přes zesilovač a derivátor 1 vedeny na dekadický čítač 2 obr. 12. Hradlo čítače bylo nastaveno tak, aby se automaticky po jednovteřinovém intervalu otvíralo vždy na 5 s. Z uvedeného vyplývá, že za 1/12 minuty, t. j. za 5 s byl při jedné otáčce stroje přerušen světelný paprsek zdroje 100 x a byl vyslán stejný počet impulsů dekadickému čítači. Pro tuto závislost platí vztah:

$$A = \frac{B \cdot N}{12}$$

kde A - počet impulsů za 5 s

B - počet impulsů za jednu otáčku stroje

N - otáčky stroje za minutu

Z uvedeného vztahu vyplývá, že např. při otáčkách stroje 20 ot/min dekadický čítač napočítá 2000 pulsů. Otáčky stroje mohou být tedy sledovány s přesností 0,01 ot. a měření plně vyhovuje předem stanovenému požadavku.

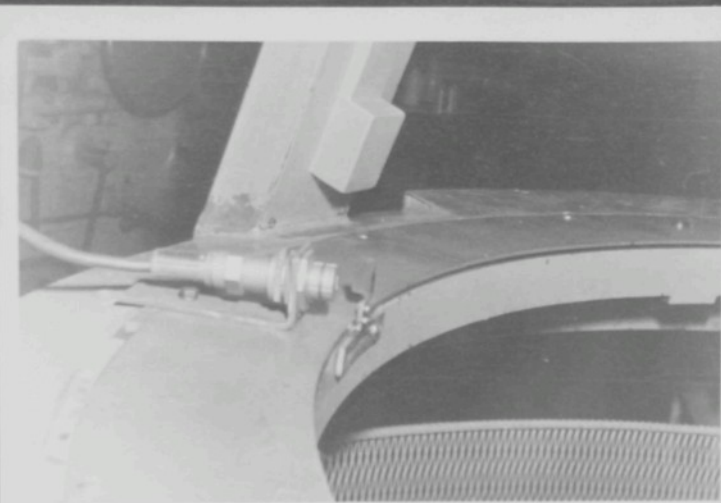
3) Způsob zobrazení měřených silových veličin mezi kolénkem jehly a zámkem na kinofilm.

Kapacitní snímač, jehož funkční hrana plnila funkci zámku (zvedače nebo stahovače) způsobila při nájezdu kolénka jehly prohnutí měrné desky snímače. Tím došlo ke změně kapacity snímače. Takto vzniklou změnu kapacity

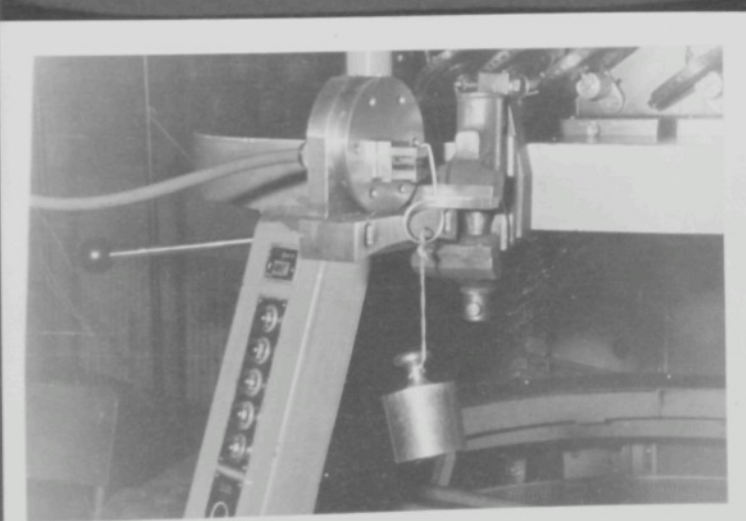
(fázově 0,1 pF) nelze vést na potřebnou vzdálenost k vyhodnocovacímu mostu, když spojovací kabel má vlastní kapacitu řádově v 1000 pF. Proto je na použitém přístroji v bezprostřední blízkosti snímače umístěn generátor, který pracuje v oblasti desítek kHz. Je to LC oscilátor, v jehož ladícím obvodu je připojen pomocí speciálního krátkého koaxiálního kabelu kapacitní snímač. Změna kapacity snímače změní i frekvenci, na které oscilátor pracuje. Ze oscilátorem je v témže krytu umístěn separátor, který jednak zabraňuje spětnému působení zátěže na oscilátor a současně provádí impedanční transformaci. Ze separátoru tedy vychází známá frekvence, která fluktuuje kolem středové hodnoty přímo závisle na změně kapacity snímače a tím i průhybu měrné desky. Další část přístroje, která již může být v libovolné vzdálenosti od měřeného místa pracuje jako přijímač s frekvenční modulací. Jen s tím rozdílem, že přenosné pásmo je do 10 kHz. Výsledný signál je jednoduchým stejnosměrným zesilovačem veden na vertikální vychylevání paprsku osciloskopu. Celý přístroj z obr. 12 je dvoukanálový, tedy i dvoupaprskový. Jeden kanál pracuje jako přímo zesilující a druhý využívá principu superheterodyn. Pro běžné měření byl využíván zásadně přímo zesilující kanál.

Pro správné časové rozvinutí sledovaného děje při různých otáčkách pletacího stroje, osciloskop tlakového indikátoru je vybaven plynulou regulací časové základny.

Dále bylo nutné provést synchronizaci spuštění časové základny s přejezdem kolénka po funkční hraně snímače. Při měření byl použit pro spuštění časové základny magnetický snímač obr. 14, který byl pevně umístěn na kostře stroje. Na otáčejícím se odtahovém zařízení pletacího stroje byl připevněn ocelový břit, který při míjení magnetického snímače vzbudil v něm napěťový impuls. Tento impuls po dalším zpracování spuštění jednorázově časovou základnu osciloskopu. Časové rozdíly způsobené různou rychlostí stroje a různým umístěním jehly bylo možno kompenzovat ve zpožďovací lince, která je vložena do cesty spouštěcímu impulsu. Toto uspořádání nám umožňovalo vhodné umístění



Obr. 14. Elektromagnetický spouštěč časové základny.



Obr.15. Způsob provádění statického cejchu.

a patřičné rozvinutí měřeného děje na stínitku obrazovky.

2.2.7. Cejchování měřicího zařízení.

Pro cejchování měřicího zařízení byla použita vcelku jednoduchá, ale dostatečně přesná, metoda. Před samotným měřením se při zapojení celé měřicí aparatury nastaví regulačním šroubkem citlivost snímače, poté velikost elektrického zesílení tak, aby měřený děj vykazoval dostatečně výchylky na stínitku obrazovky. Protože před začátkem měření jsou přístroje po dobu jedné hodiny žhaveny a navíc se měření provádí v klimatizované místnosti, můžeme přikročit k měření, aniž v jeho průběhu dojde změnou teploty zařízení či změnou prostředí ke změně nastavených hodnot přístrojů.

Po skončeném měření byl snímač včetně držáku odmontován a připevněn na okraj stroje, obr. 15, pro vlastní cejchování. Na osciloskopu byla vypnuta časová základna, takže na vychýlení stopy měl vliv pouze vertikální zesilovač. Stopa paprsku se poté projevila na obrazovce jako bod. Po nastavení nulové polohy tohoto bodu na přesně definované místo (původní nulová hodnota při měření) a jeho ofotografováním byla získána nulová poloha cejchu. Na činnou hranu snímače bylo pak zavěšeno známé závaží, které způsobilo vychýlení stopy, obr. 15. Takto vychýlená stopa byla opět naexponována na tentýž snímek, t. j. bez posuvu filmu. To se opakovalo při všech cejchovních zatíženích snímače. Získaná řada bodů odpovídá rozmezí cejchovních hodnot sil působících na zámek.

Protože cejch byl prováděn při každé manipulaci se snímačem nebo vyhodnocovacím mostem a vždy bezprostředně po měření (nebo před ním), je chyba měření, vznikající nepřesností cejchu, minimální. Tohoto statického cejchu bylo dále použito i pro měření rezové síly kolénka jehly na zámek. Je to možné z toho důvodu, že kolénko jehly je zároveň omezenější, což bude

2.2.8 Experimentální posouzení kvality snímače.

Pro odzkoušení věrnosti záznamu snímače byla provedena zvláštní zkouška. Do funkční hrany snímače, po které probíhá kolénko jehly, byla podle obr. 16c vyfrézována drážka o šířce 0,5 mm. Poté byl snímač nastaven k jehlenímu válci s funkčním úhlem $\alpha = 45^\circ$. Obvodová rychlosť válce byla nastavena na $v = 0,85 \text{ m/s}$, což se rovná 20 ot. válce za minutu. Po nastavení výhodnocovacího mostu byl proveden skutečný snímek, obr. 16b, záznamu normálové sily. Vpravo je překreslení, obr. 16a. Zajímá nás, jak snímač reaguje na skutečnou drážku ve funkční hraně snímače.

Rozborom snímku dojdeme k těmto závěrům.

Na obr. 16c jsou jednotlivé fáze pohybu jehly po zámku číslovány a jsou souhlasné s polohami na obr. 16a.

Oblast 1 - kolénko přijíždí k zámku, snímač je v klidu a výchylka na stínítce je nulová.

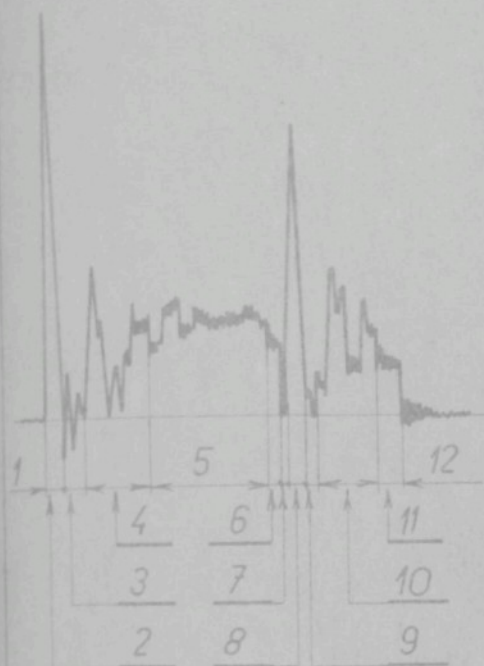
Oblast 2 - došlo k prvnímu rázu kolénka jehly na zámek, velikost rázu je největší, protože se jehla pokouší urychlovat z nulové rychlosti ve vyslé směru.

Oblast 3 - jehla po prvním rázu odskočí od zámku, což se projeví překývnutím měrné desky snímače do záporné polohy.

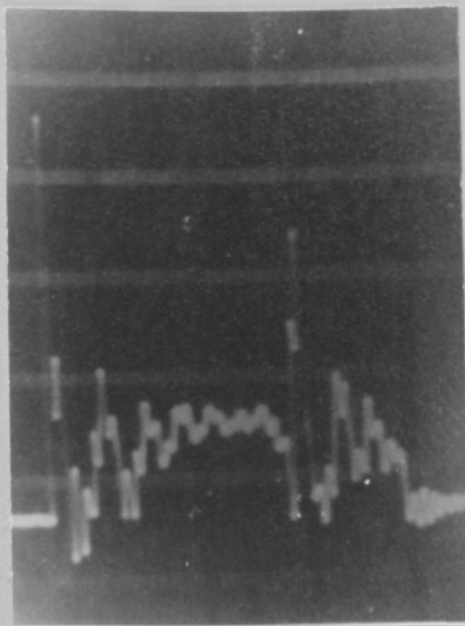
Oblast 4 - v tomto intervalu dojde ještě k několika odskokům jehly od zámku, velikost rázů je menší, protože se jehla již pohybuje a postupně dochází k uklidnění pohybu kolénka jehly po zámku.

Oblast 5 - ustálený stav pohybu kolénka po zámku; velikost normálové sily nabývá vcelku ustálené hodnoty.

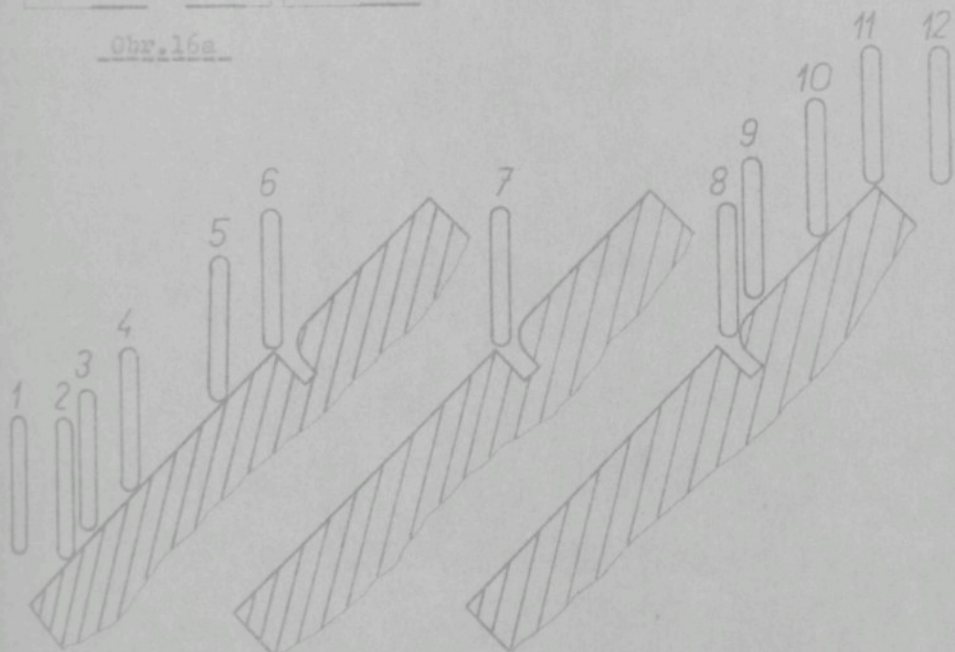
Oblast 6 - kolénko se pohybuje po hraně vyfrézované drážky zámku, jehla není zvedána a snímač registruje zmenšení normálové sily.



Obr. 16a



Obr. 16b



Obr. 16c

Oblast 7 - kolénko jehly přišlo do oblasti drážky, čímž je přerušen styk se snímačem, který registruje nulovou výchylku.

Oblast 8 - kolénko jehly opět narazilo na zaoblenou hranu zámku a došlo ke značnému rázu.

Oblast 9 - shodná s oblastí 3.

Oblast 10 - shodná s oblastí 4.

Oblast 11 - jehla opouští zámek a nastává pokles namáhání zámku jako v oblasti 6.

Oblast 12 - kolénko jehly opustilo zámek a je v horní poloze. Zámek zaregistroval pokles na nulu. Vlivem vlastní resonance a chvění stroje částečně tlumeně zakmitá.

Rozborem celého průběhu kolénka jehly po zámku jsme za prvé získali názor o celkových změnách normálové síly mezi kolénkem jehly a zámkem. Za druhé můžeme konstatovat, že snímač věrně zachycuje sledovaný děj i při nepatrných výchylkách měrné desky.

Závěr. Vliv pájené nebo přišroubované funkční hrany zámku na přesnost měření.

Na měrnou desku snímače lze funkční zámkovou hranu připevnit pájením, viz příloha I, výkres č. 1 - O1, nebo přišroubováním, obr. 2, 3 a 4.

Podle předběžného rozboru by se zdálo, že pájená funkční hrana bude tvořit s měrnou deskou snímače lepší kompaktní celek a měřené hodnoty budou přesněji odpovídat skutečnosti. Na druhé straně je však letování značně obtížné. Abychom funkční hranu při pájení nepopustili a tím nezměnšili její tvrdost, musí být pájena Woodovým kovem a též přesné umístění zámkové hrany na konci měrné desky je velmi pracné.

Naproti tomu šroubovaná funkční zámková hraná umožňuje snadné

hmota přišroubované zámkové hrany je větší a částečně snižuje vlastní frekvenci snímače.

Abychom jednoznačně posoudili oba způsoby, bylo v obou případech provedeno měření za stejných podmínek (stejná jehla v téže drážce, stejný funkční ihel a otvodová rychlosť stroje). Z uvedené tabulky je patrná, že oba dva způsoby připevnění zámkové hrany jsou stejně kvalitní z hlediska měřené veličiny. Proto pro všechna další měření je používáno přišroubované zámkové hrany. Vlastní kmity snímače při tomto způsobu upevnění hrany mají podle kapitoly 3.1.5 hodnotu 9 290 Hz, což je pro vlastní měření naprosto dosažující.

Porovnání funkce snímače s připájenou a přišroubovanou funkční hrancou.

Měření bylo prováděno na válci, zámek jako zvedač,
 $n = 20$ ot./min., $\alpha = 55^\circ$

1. měření číslo snímku	N /p/	2. měření číslo snímku	N /p/	Průměr: hod. N /p/	Druh funkční hrany
M 212	2 750	M 213	2 800	2 775	pájená
M 214	2 750	M 215	2 790	2 770	šroubovaná

Pro tabulku platí cejch M 216.

Záznamy jsou uvedeny v příloze literatury č.12, svazek
1 - 6.

3.2.10 Vliv částečného průhybu měrné desky na přesnost
měření.

Je zřejmé, že částečné prohnutí měrné desky při rázovém styku kolénka jehly s funkční hranou zámku, která je na měrné desce snímače přišroubována, může ovlivnit velikost měřené hodnoty rázové síly a tím teto měření zkreslit. Naměřená hodnota rázové síly by vlivem pružnosti snímače mohla vyjít menší než je hodnota skutečná, t. j. při nájezdu kolénka jehly na skutečný zámek stroje, který lze považovat s ohledem na pružnost kolénka jehly a jeho uložení jako dokonale tuhý.

Pro určení vlivu pružnosti snímače na přesnost měření je provedena následující úvaha. Dvě srázející se tělesa (jehla a zámek) můžeme v zjednodušení uvažovat jako pružná tělesa, pro která platí jako pro pružiny vztahy

$$L_1 = \frac{1}{2} c_1 \Delta e_e^2 \quad - \text{pro snímač}$$

$$L_2 = \frac{1}{2} c_2 \Delta e_e^2 \quad - \text{pro jehlu}$$

kde značí: $L_1, L_2 \dots \dots \dots$ přetvárná práce obou těles
 $c_1, c_2 \dots \dots \dots$ konstanty tuhosti obou těles
 $\Delta e_e, \Delta e_e^2 \dots \dots \dots$ deformace jednotlivých těles
pri rázu

Obě tělesa se srázejí s určitou energií E , jejíž hodnota musí odpovídat přetvárné práci obou srázejících se těles. Velikost pružnosti, respektive stlačení obou těles, bude pak ovlivňovat velikost normálové síly rázu v místě styku. V případě dokonale tuhých těles by hodnota síly dosáhla nekonečné hodnoty.

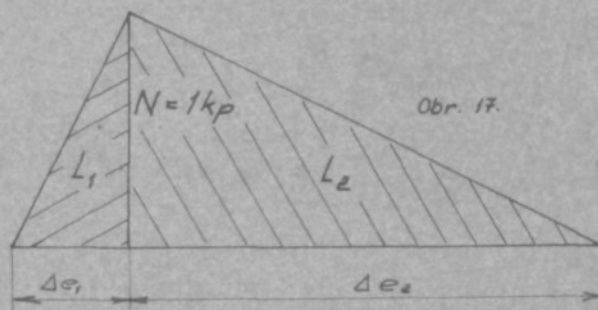
Výpočtem bylo zjištěno, že normálová síla $N = 1 \text{ kp}$ působící mezi kolénkem jehly a zámkovou hranou způsobí v místě styku vychylení měrné desky snímače o $\Delta e_1 = 0,4 \cdot 10^{-3} \text{ mm}$. Dále pak bylo změřeno, že působením

stejné síly na kolénko jehly dojde v místě styku se zámkem k vychýlení kolénka o míru, jejíž hodnota je podle typu strčíků asi $\Delta e_2 = 0,1 \text{ mm}$. Na základě této skutečnosti je provedena další úvaha o vlivu pružnosti snímače na přesnost měření.

Pro ráz obou těles bude platit:

$$E = L_1 + L_2 = \text{konst.}$$

a tež v případě jak pružného snímače, tak při tuhém zámku, budou-li ostatní parametry a podmínky stejné. Tento vztah nám vyjadřuje následující obr. 17.



Dále zde platí rovnice:

$$E = L_1 + L_2 = \frac{1}{2} c_1 \Delta e_1^2 + \frac{1}{2} c_2 \Delta e_2^2 = \frac{0,0004}{2} + \frac{0,1}{2} = \frac{0,1004}{2} = 0,0502 \text{ kp mm.}$$

Buďte-li funkční hrana zámků dokonale tuhá, rozumí se i její uložení, pak se celá energie projeví jen v deformaci jehly. Dojde ke zvětšení normálové síly N na sílu N' . Vypočet hodnoty síly N' vyjde z následujících vztahů

Konstanta tuhosti jehly se nezmění a má hodnotu

$$c_2 = \frac{2L_2}{\Delta e_2^2} = \frac{2 \cdot 0,1}{0,1^2} = 10 \text{ kp/mm.}$$

Tím se nezmění též úhel $\angle L$. Dále můžeme psát, že

$$\text{kgd} = \frac{N}{\Delta e_2} = \frac{N'}{\Delta e'_2}$$

Současně též platí

$$\frac{\Delta e_2' \cdot N'}{2} = E$$

Řešením dvou posledních rovnic obdržíme vztah pro N' , který se rovná

$$N' = \sqrt{\frac{E \cdot 2N}{\Delta e_2}} = \sqrt{\frac{0,0502 \cdot 2 \cdot 1}{0,1}} = 1,002 \text{ kp}$$

Ve skutečnosti bude mezi silami N a N' větší rozdíl, než vyplývá z vypočítaných hodnot, protože jsou zde poměry rázu složitější, ne však o tak, aby byly hodnoty rázové síly podstatně zkresleny. K částečně většímu zkreslení může dojít u následujících rázů, kde celá soustava již kmitá. Při ustáleném průběhu kolénka jehly po zámku měříme prakticky naprostě nezkreslené hodnoty, odpovídající statickému cejchu.

3.2.11. Vliv změny teploty na přesnost měření kapacitního snímače.

Uvedený kapacitní snímač pracuje na principu změny vzduchové mezery. Se zvyšováním teploty prostředí samozřejmě rostou i objemy těles, které vymezují velikost této mezery, jejíž rozměr je rádově v 0,01 mm. Vzhledem k nepatrnému rozdílu vzduchové mezery je vliv teploty na snímač určitě nezanedbatelný. Též dielektrikum je tvořeno vzduchem, čímž při změně parametrů vzduchu může dojít k ovlivnění přesnosti měření kapacitního snímače.

Preté byly tyto nepříznivé vlivy, které mohou působit nepřesnost měření, sledovány přímo na zapojeném snímači v dané aparatuře. Z ověření platí následující předpoklady, aby se výše uvedené vlivy neprojevily na přesnosti měření.

1) V prvé řadě je nutné, aby teplota prostředí, ve kterém je snímač umístěn, nekolisala. Změna teploty $\pm 1/2^{\circ}\text{C}$

znamená vyloučení vlivu teploty na přesnost měření snímače.

2) Při manipulaci se snímačem v průběhu měření je vhodné pracovat v rukavicích (zvláště při cejchování), aby místním přehřátím snímače nenastalo rozvážení rovnovážného stavu a nebylo nutné čekat na opětné ustálení nulové polohy vyvážení.

3) Dále je nutné, aby při měření a cejchu nezásáhl naš dech z bezprostřední blízkosti sondu snímače, jinak by došlo ke zkreslení měřených hodnot. Je to dáno kromě teplné změny také tím, že ve výdechu jsou obsaženy vodní páry podstatně vyšší koncentrace než v okolním ovzduší. Obsah vodních par změní natolik dielektrickou hodnotu vzduchu ve vzduchové mezeře, že se to nepříznivě projeví na celkové kapacitě. Dojde-li k této eventualitě, je nutné čekat na opětné ustálení nulové polohy.

Při všech měřeních prováděných v rámci této práce byly v laboratoři zajištovány tyto podmínky :

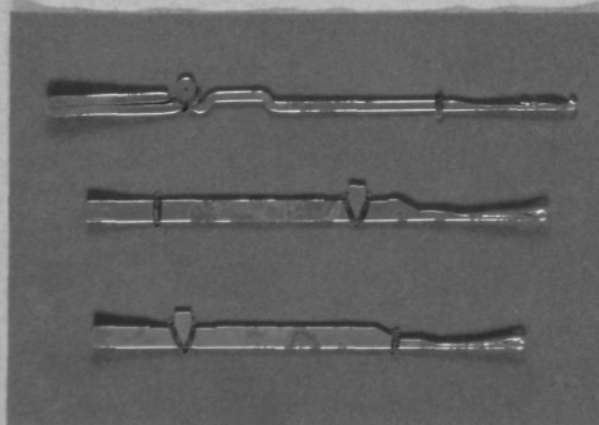
teplota ovzduší byla stálá $t = 22^{\circ}\text{C}$

relativní vlhkost vzduchu $\gamma = 60\%$

4.0.0 Experimentální hodnocení normálových sil mezi kolénkem jehly a zámkem.

Normálová síla, která působí mezi kolénkem jehly a zámkem, je charakteristickou veličinou pro zkoumaný celek zámek - jehla - lůžko. Hodnota a průběh normálové sily jsou v přímé závislosti nejen s opotřebením zámků a namáháním kolének jehel, ale i s otáčkami stroje, t. j. jeho produkcí. Protože normálová síla je zcela určitě funkci úhlu zámků, je nutně též svázána s procesem tvorby očka a tedy i namáháním příze. Proto je normálová síla dále podrobně zkoumána, aby nám jako charakteristická veličina umožnila hodnocení jednotlivých částí zkoumaného celku, popřipadě i jiných veličin.

Pro prvé posouzení je zapotřebí získat závislost normálové sily na otáčkách stroje a úhlu zámku jak pro válcové, tak pro taliřové lůžko. Za tímto účelem byl zvolen při měření přímkový tvar funkční hrany zámku. Jak již bylo řečeno v kapitole 3.2.6. byl výzkum prováděn na žebrovém velkoprůměrovém stroji ODZI 32 (průměr 32", dělení 16), který má ve válcovém lůžku jehly drátové a v taliřovém lůžku krátké a dlouhé jehly ražené. Jejich tvar je patrný z obr. 18.



Obr. 18.

Jednotlivé záznamy měření nejsou v této práci uváděny, jsou zde uvedeny jen výsledky měření uspořádané do tabulek a grafů a příslušné závěry, které z daných skupin měření vyplynuly. Jednotlivé záznamy nejsou znova rozmnожeny pro jejich velkou rozsáhlost a jsou k této práci v jednom exempláři zapůjčeny v šesti svazcích od výzkumné zprávy: Experimentální hodnocení silových poměrů na soustavě jehla - zámek; ze dne 5.1.1968, kterou jsem vypracoval pro Výzkumný a vývojový ústav Závodů všeobecného strojírenství v Brně.

4.1.0 Experimentální hodnocení normálových sil mezi kolénkem jehly a zámkem na válcovém lůžku.
Jehla se pohybuje bez příze.

4.1.1 Hodnocení prvého rézu kolénka jehly na zámek
v závislosti na úhlu zámku při postavení zámku
(snímače) jako zvedač.

Pro vyhodnocení této závislosti byly zvoleny tři jehly A, B, C, které byly náhodně vybrány ze skupiny jehel, jež ve stroji již pracovaly, jen volba jehly C byla podmíněna předpokladem, aby její pohyb v dráze lůžka byl velmi "tuhý" a jehla v ní vykazovala extrémní tření. Jehly byly při měření vkládány stále do stejné drážky libovolně zvolené na obvodu lůžka. Měření se provádělo pro tři různé rychlosti jehelního válce $v = 0,9 \text{ m/s}$, $v = 0,7 \text{ m/s}$, $v = 0,5 \text{ m/s}$. Při každé obvodové rychlosti byl měřen úhel sklonu zámku v rozmezí $\alpha = 10^\circ - 60^\circ$. Pro každou měřenou hodnotu byly pořízeny tři snímky, ze kterých byla brána pro vyhodnocení průměrná hodnota. Jehla najízděla na funkční hranu snímače stále ve stejně poloze i při změněném úhlu funkční hrany, což je dáno konstrukcí snímače pro toto měření.

Záznamy průběhu normálových sil včetně jejich jsou v příloze svazek 1 a 2.

Pro jehlu A na snímku J 141 - J 214,
pro jehlu B na snímku J 1 - J 74.

Pro jehlu C nebyly snímky vykopirovány a příslušné hodnoty byly odečteny z negativů záznamu měření pod zvětšovacím přístrojem.

Vyhodnocení záznamů pro hodnoty prvého rázu kolénka jehly na zámek je uvedeno na dalších stranách, kde průměrné hodnoty jednotlivých měření jsou vyneseny do grafů. Sledujeme-li velikost prvého rázu u všech tří jehel A, B, C, vidíme jeho stálé stoupající tendenci se zvyšováním úhlu α . Tato závislost, jak je patrné z grafů, má exponenciální průběh, kde jednotlivé křivky se musí asymptoticky přiblížovat ke svislici (asymptotě) procházející v oblasti úhlu $\alpha = 65^\circ - 70^\circ$. Tato hodnota úhlu samosvornosti byla získána experimentálně při natáčení funkční hrany snímače do takového úhlu, při kterém se stala soustava zámek - jehla samosvorná. Hodnota úhlu samosvornosti pro jednotlivé jehly a drážky značně kolísá, někdy i přes uvedenou mez, což je způsobeno velmi odlišným způsobem uložení jehly v drážce lůžka a též poměry nastavení zámku vůči lůžku.

Uvedené závislosti a jednotlivé hodnoty měření nejsou korespondovány s teoretickým výpočtem, protože je skoro nelze určit objektivně všechny výchozí podmínky a parametry k přesným výpočtům a výsledkem srovnání by byla jen skutečnost, jak dalece se teoretický výpočet rozchází se skutečně naměřenými hodnotami a to není cílem této práce. Proto pokud to není k hodnocení a výsledkům bezprostředně nutné, není nikde konkrétní teoretický výpočet prováděn ani u dalších měření. Pokud se týká ověření, že závislost hodnot normálové síly na úhlu zámku má skutečně tvar exponenciálního průběhu, který je patrný z vynesených grafů, je důkaz proveden v uveřejněném článku (literatura č. 13).

Provedeme-li porovnání průběhů hodnot normálové síly prvého rázu pro jehlu A a C vidíme, že charakter průběhu křivek obou grafů je vcelku shodný. Extrémní tření jehly C v drážce lůžka však způsobilo podstatné zvýšení hodnot normálové síly přibližně asi o 50 %.

Závislost růzové sfly N_1 na úhlu sánku.

Měření na válcovém zámku jako zvědač k jehle A₂.

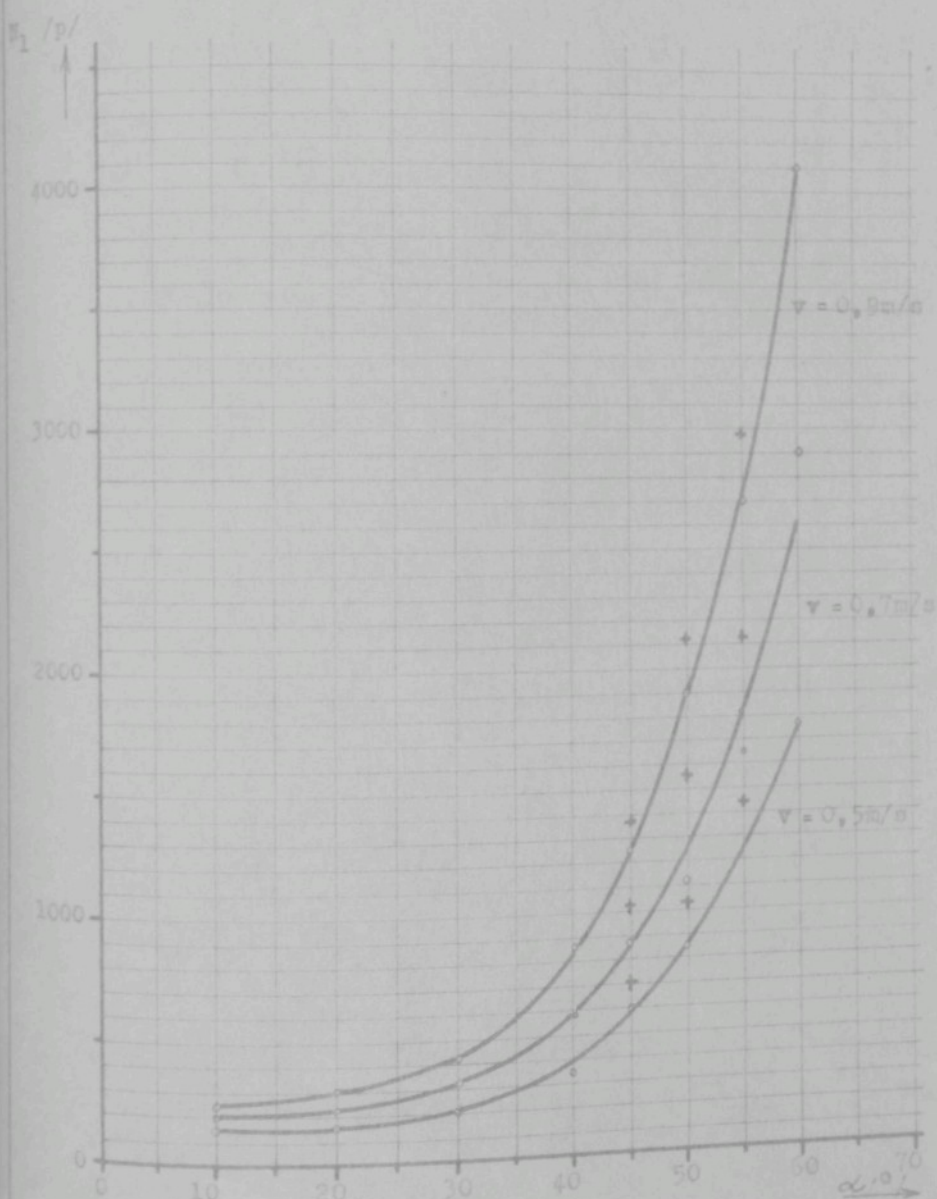
Úhlový úhel válce	α /°	1. měření		2. měření		3. měření		Průměrná hodnota N_1/p
		číslo snímku	N_1/p	číslo snímku	N_1/p	číslo snímku	N_1/p	
$n_2 = 242^{\circ} \text{ fánsy}$, $\mu = 0.9 \text{ myc}$	60	J 141	4 100	J 142	4 100	J 143	4 100	4 100
	55	J 158	2 700	J 159	2 700	J 160	2 700	2 700
	50	J 161	1 900	J 162	1 900	J 163	1 900	1 900
	45	J 176	1 200	J 177	1 200	J 178	1 250	1 217
	40	J 179	850	J 180	850	J 181	900	867
	30	J 188	400	J 189	420	J 190	420	413
	20	J 203	290	J 204	300	J 205	300	297
	10	J 206	240	J 207	235	J 208	240	238

$n_2 = 185^{\circ} \text{ fánsy}$, $\mu = 0.7 \text{ myc}$	60	J 144	2 900	J 145	2 900	J 146	2 900	2 900
	55	J 155	1 800	J 156	1 800	J 157	1 800	1 800
	50	J 164	1 200	J 165	1 200	J 166	1 150	1 183
	45	J 173	900	J 174	850	J 175	900	883
	40	J 182	600	J 183	550	J 184	600	583
	30	J 191	320	J 192	320	J 193	320	320
	20	J 200	230	J 201	230	J 202	220	227
	10	J 209	190	J 210	190	J 211	190	190

$n_2 = 117^{\circ} \text{ fánsy}$, $\mu = 0.5 \text{ myc}$	60	J 147	1 750	J 148	1 750	J 149	1 750	1 750
	55	J 152	1 650	J 153	1 650	J 154	1 650	1 650
	50	J 157	850	J 158	840	J 159	820	837
	45	J 170	600	J 171	600	J 172	600	600
	40	J 185	350	J 186	350	J 187	350	350
	30	J 194	210	J 195	200	J 196	200	203
	20	J 197	160	J 198	155	J 199	155	157
	10	J 212	130	J 213	130	J 214	130	130

Závislost rázové síly N_1 na délce zámku.

Měření na válcí, zámek jako zvedač, jehla A



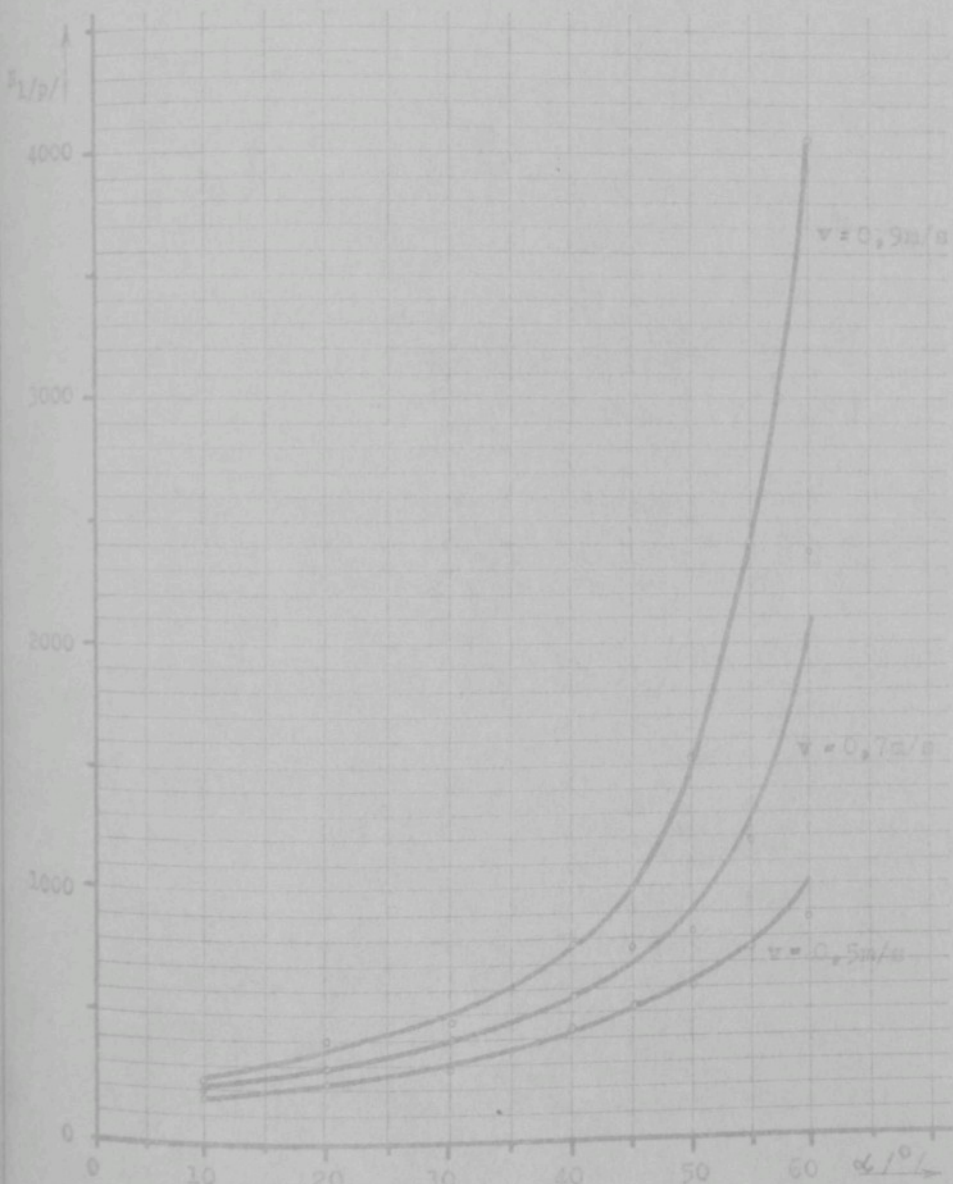
Závislost rázové síly N_1 na úhlu zámku.

Měření na výlci zámek jako zvedač, jehla 3.

zádoby výlce	α %	1. měření		2. měření		3. měření		Průměrná hodnota N_1 / p
		číslo snímku	N_1 / p	číslo snímku	N_1 / p	číslo snímku	N_1 / p	
$m = 0,7 \mu \text{min.}$, $\nu = 0,9 \text{ min.}$	60	J 1	4 050	J 2	4 100	J 3	4 000	4 050
$m = 0,5 \mu \text{min.}$, $\nu = 0,7 \text{ min.}$	55	J 16	2 400	J 17	2 400	J 18	2 400	2 400
$m = 0,7 \mu \text{min.}$, $\nu = 0,9 \text{ min.}$	50	J 19	1 520	J 20	1 530	J 21	1 510	1 520
$m = 0,5 \mu \text{min.}$, $\nu = 0,7 \text{ min.}$	45	J 34	1 000	J 35	990	J 36	1 010	1 000
$m = 0,7 \mu \text{min.}$, $\nu = 0,9 \text{ min.}$	40	J 37	800	J 38	880	J 39	700	793
$m = 0,5 \mu \text{min.}$, $\nu = 0,7 \text{ min.}$	30	J 48	490	J 49	490	J 50	430	470
$m = 0,7 \mu \text{min.}$, $\nu = 0,9 \text{ min.}$	20	J 63	390	J 64	410	J 65	400	400
$m = 0,5 \mu \text{min.}$, $\nu = 0,7 \text{ min.}$	10	J 66	230	J 67	230	J 68	220	227
$m = 0,7 \mu \text{min.}$, $\nu = 0,9 \text{ min.}$	60	J 4	2 400	J 5	2 350	J 6	2 380	2 370
$m = 0,5 \mu \text{min.}$, $\nu = 0,7 \text{ min.}$	55	J 13	1 080	J 14	1 220	J 15	1 280	1 190
$m = 0,7 \mu \text{min.}$, $\nu = 0,9 \text{ min.}$	50	J 22	850	J 23	800	J 24	800	817
$m = 0,5 \mu \text{min.}$, $\nu = 0,7 \text{ min.}$	45	J 31	710	J 32	810	J 33	810	777
$m = 0,7 \mu \text{min.}$, $\nu = 0,9 \text{ min.}$	40	J 40	600	J 41	600	J 42	580	593
$m = 0,5 \mu \text{min.}$, $\nu = 0,7 \text{ min.}$	30	J 51	430	J 52	390	J 53	390	403
$m = 0,7 \mu \text{min.}$, $\nu = 0,9 \text{ min.}$	20	J 60	290	J 61	310	J 62	295	298
$m = 0,5 \mu \text{min.}$, $\nu = 0,7 \text{ min.}$	10	J 69	190	J 70	200	J 71	210	200
$m = 0,7 \mu \text{min.}$, $\nu = 0,9 \text{ min.}$	60	J 7	380	J 8	900	J 9	990	893
$m = 0,5 \mu \text{min.}$, $\nu = 0,7 \text{ min.}$	55	J 10	770	J 11	740	J 12	750	753
$m = 0,7 \mu \text{min.}$, $\nu = 0,9 \text{ min.}$	50	J 25	600	J 26	610	J 27	620	616
$m = 0,5 \mu \text{min.}$, $\nu = 0,7 \text{ min.}$	45	J 23	550	J 29	530	J 30	520	533
$m = 0,7 \mu \text{min.}$, $\nu = 0,9 \text{ min.}$	40	J 43	450	J 44	500	J 45	420	457
$m = 0,5 \mu \text{min.}$, $\nu = 0,7 \text{ min.}$	30	J 54	300	J 55	295	J 56	290	295
$m = 0,7 \mu \text{min.}$, $\nu = 0,9 \text{ min.}$	20	J 57	220	J 58	220	J 59	220	220
$m = 0,5 \mu \text{min.}$, $\nu = 0,7 \text{ min.}$	10	J 72	200	J 73	200	J 74	190	197

Závislost rázové síly S_1 na úhlu zámku.

Měření na válcí, zásek jako zvedač, jehla B.



Závislost rázové síly N_1 na úhlu zámků.

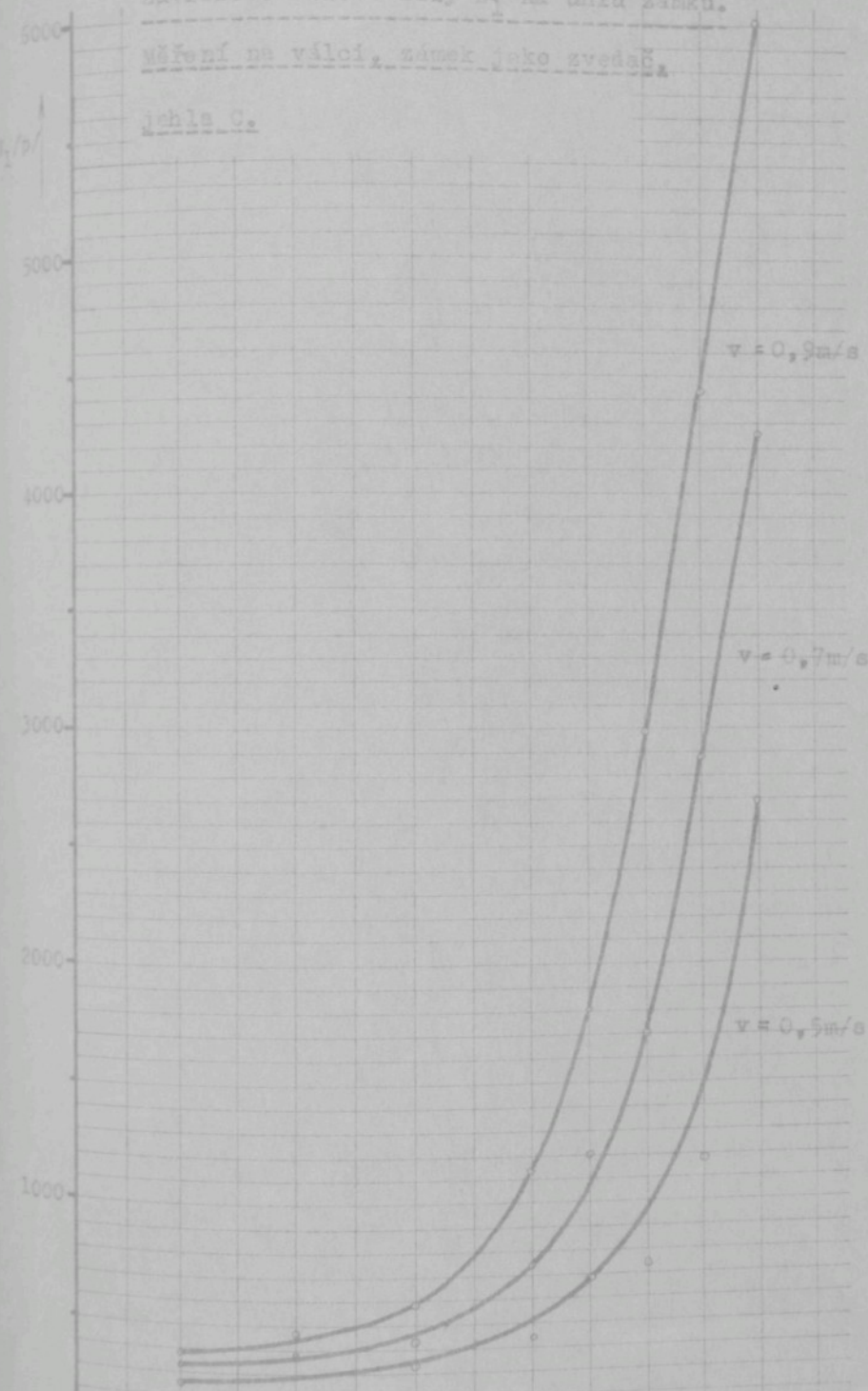
Měření na válci, zámek jako zvedač, jehla C.

úhel válce $\alpha = 0^{\circ} 29' \text{ min.} / p$	1. měření		2. měření		3. měření		Průměrná hodnota N/p
	číslo snímku	N_1/p	číslo snímku	N_1/p	číslo snímku	N_1/p	
60	L 274	6 000	L 275	6 000	L 276	6 000	6 000
55	L 290	4 500	L 291	4 400	L 292	4 400	4 433
50	L 293	3 000	L 294	2 950	L 295	3 000	2 983
45	M 8	1 800	M 9	1 800	M 10	1 800	1 800
40	M 11	1 100	M 12	1 100	M 13	1 150	1 117
30	M 23	590	M 24	600	M 25	600	597
20	M 35	450	M 36	450	M 37	450	450
10	M 47	375	M 48	370	M 49	370	372
<hr/>							
60	L 277	4 250	L 278	4 200	L 297	4 300	4 250
55	L 287	2 900	L 288	2 800	L 289	2 900	2 867
50	L 296	1 700	L 297	1 700	L 298	1 700	1 700
45	M 5	1 000	M 6	1 050	M 7	1 000	1 017
40	M 14	700	M 15	750	M 16	700	717
30	M 26	410	M 27	410	M 28	415	410
20	M 32	375	M 33	370	M 34	375	373
10	M 44	325	M 45	325	M 46	325	325
<hr/>							
60	L 280	2 750	L 281	2 700	L 283	2 600	2 683
55	L 284	1 600	L 285	1 550	L 286	1 600	1 583
50	L 299	800	L 300	800	M 1	750	783
45	M 2	650	M 3	650	M 4	700	667
40	M 17	400	M 18	450	M 19	400	417
30	M 29	340	M 30	330	M 31	340	337
20	--	--	--	--	--	--	zrušeno
10	M 41	260	M 42	260	M 43	255	258

Závislost rázové síly N_x na úhlu zámku.

Měření na válci, zámek jako zvedací.

jehla C.



4.1.2 Hodnocení prvého rázu kolénka jehly na zámek
v závislosti na úhlu zámku, při postavení zámku
(snímače) jako stahovač.

Pro celkové hodnocení bylo zapotřebí provést obdobné měření jako předcházející, avšak pro případ stahování jehly. Toto měření bylo provedeno jen pro jehlu A, která byla uložena ve stejné drážce jako při předcházejícím měření. Záznamy průběhu normálové síly jsou v příložných svazek 4 na snímcích K 233 - K 298. Měření pro hodnoty prvého rázu je vyčísleno na tabulce na str. 55 a grafu str. 56.

Srovnáme-li průběh a hodnoty tohoto měření pro tu též jehlu při jejím zvedání, můžeme konstatovat, že jsou vcelku shodné. To znamená, že silevé poměry při zvedání a stahování jehly ve válcovém lůžku lze pokládat též za shodné, což je logické a lze to předpokládat, když já kost drážky, ve které je jehla uložena, bude po celé délce stejná a na jehlu nepůsobí příze. Působení váhy jehly a částečná změna působiště a hodnot ostatních sil měřené soustavy nepůsobí podstatnou změnu normálové síly mezi kolénkem jehly a zámkem při stahování či zvedání jehly.

4.1.3 Hodnocení prvého rázu kolénka jehly na zámek
v závislosti na otáčkách válce a postavení zámku
(snímače) jako zvedač a stanovač.

Oba způsoby měření při zámku pracujícím jako zvedač a stahovač byla provedena pro jehlu A, stejnou z předchozích měření. Zámek byl stavěn do tří poloh při pracovním úhlu $\alpha = 45^\circ$, $\alpha = 50^\circ$, $\alpha = 55^\circ$. Při každé poloze byly měněny otáčky jehelního válce od 10 ot/min do 22 ot/min ve skočcích po dvou otáčkách. Souvislost otáček válce

Závislost rámové síly N_1 na úhlu zámku.

Měření na válci, zámek jako stahovač, jehla A

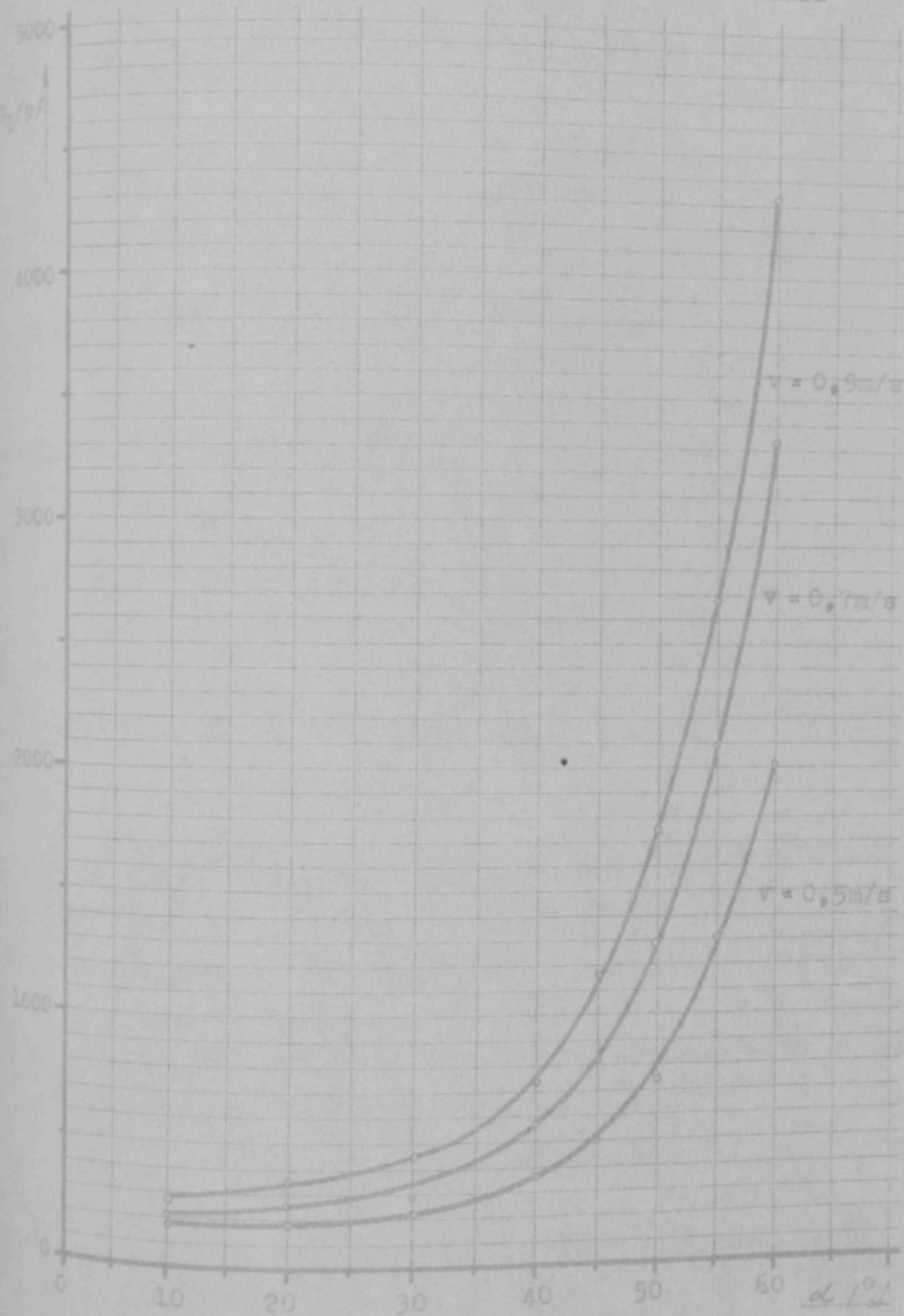
úhel zámku v°	1. měření		2. měření		3. měření		Průměrná hodnota N/p
	číslo snímku	N/p/	číslo snímku	N/p/	číslo snímku	N/p/	
60	K 233	4 310	K 234	4 350	K 235	4 300	4 320
55	K 243	2 700	K 249	2 710	K 250	2 600	2 670
50	K 251	1 710	K 252	1 710	K 253	1 720	1 713
45	K 266	1 160	K 267	1 150	K 268	1 170	1 160
40	K 269	745	K 270	735	K 271	745	742
30	K 284	460	K 285	430	K 286	460	450
20	K 287	350	K 288	340	K 289	340	343
10	L 2	285	L 3	285	L 4	290	287

60	K 236	3 250	K 237	3 200	K 238	3 300	3 250
55	K 245	2 050	K 246	2 100	K 247	2 100	2 083
50	K 254	1 300	K 255	1 280	K 256	1 310	1 297
45	K 263	820	K 264	800	K 265	800	807
40	K 272	570	K 273	560	K 274	560	563
30	K 281	280	K 282	300	K 283	300	293
20	K 290	255	K 291	260	K 292	255	257
10	K 299	220	K 300	200	L 1	200	207

60	---	---	K 240	2 000	K 241	2 000	2 000
55	K 242	1 300	K 243	1 300	K 244	1 320	1 307
50	K 257	830	K 258	860	K 259	850	847
45	K 260	500	K 261	500	K 262	500	500
40	K 275	355	K 276	360	K 277	360	358
30	K 278	200	K 279	200	K 280	200	200
20	K 293	185	K 294	190	K 295	185	187
10	K 296	160	K 297	160	K 298	160	163

Závislost razové síly N_1 na úhlu zámku.

Měření na válci, zámek jako stahovač, jehla A.



s jeho obvodovou rychlostí je uvedena v grafech. Záznamy průběhu normálových sil pro tato měření jsou uvedeny v zařízené příloze, svazek I, 4 a 5 na snímcích:

J76 - J138 pro zámek v postavení jako zvedač

L8 - L 70 pro zámek v postavení jako stahovač.

Příslušná čísla jejich jsou uvedena pod tabulkami.

Hodnoty normálové síly prvého rázu jsou pro tato měření seřazeny v tabulkách na stranách **58** a **60**. Příslušné grafy jsou na stranách **59** a **61**.

Z uvedených tabulek a grafů je patrná přímková závislost rázové síly na obvodové rychlosti jehelního válce. Důkaz přímkového průběhu je též proveden v uveřejněném článku (viz literatura č. 13).

Srovnáme-li hodnoty a grafy měření při postavení zámku jako zvedače a stahovače, vidíme, že pro úhel $\alpha = 55^\circ$ jsou obě závislosti stejné. Pro úhly $\alpha = 50^\circ$ a $\alpha = 45^\circ$ se hodnoty obou grafů liší v rozmezí 20 - 30 %.

Čím jsou způsobeny tyto odchylky, které byly patrné i u závislosti normálové síly na úhlu zámku?

1) Především je to přesnost měření, kde odecítáním, cejchem a stabilitou aparatury může dojít k odchylce proti skutečné hodnotě do 5 %.

2) Podstatnější vliv pro měření při zámku jako stahovače a zvedač má částečně různý stav uložení jehly v různých místech drážky též i částečná změna působiště a hodnot ostatních sil soustavy jehla - zámek - lůžko.

3) Předcházející vlivy, přestože nejsou nezanedbatelné, nemohou tak podstatně ovlivnit průběh naměřených hodnot normálové síly. Hlavní vliv na skutečnost, že naměřené hodnoty normálových sil neodpovídají předpokládaným hodnotám, má ta skutečnost, že jejich hodnota je hlavně ovlivňována způsobem nastavení zámku (snímače) vůči jehelnímu válci a tím i k nájezdu kolénka jehly na zámkovou hranu. Tato skutečnost byla pozorována u celé řady měření, které nejsou

Závislost rázové síly N_1 na otáčkách válce

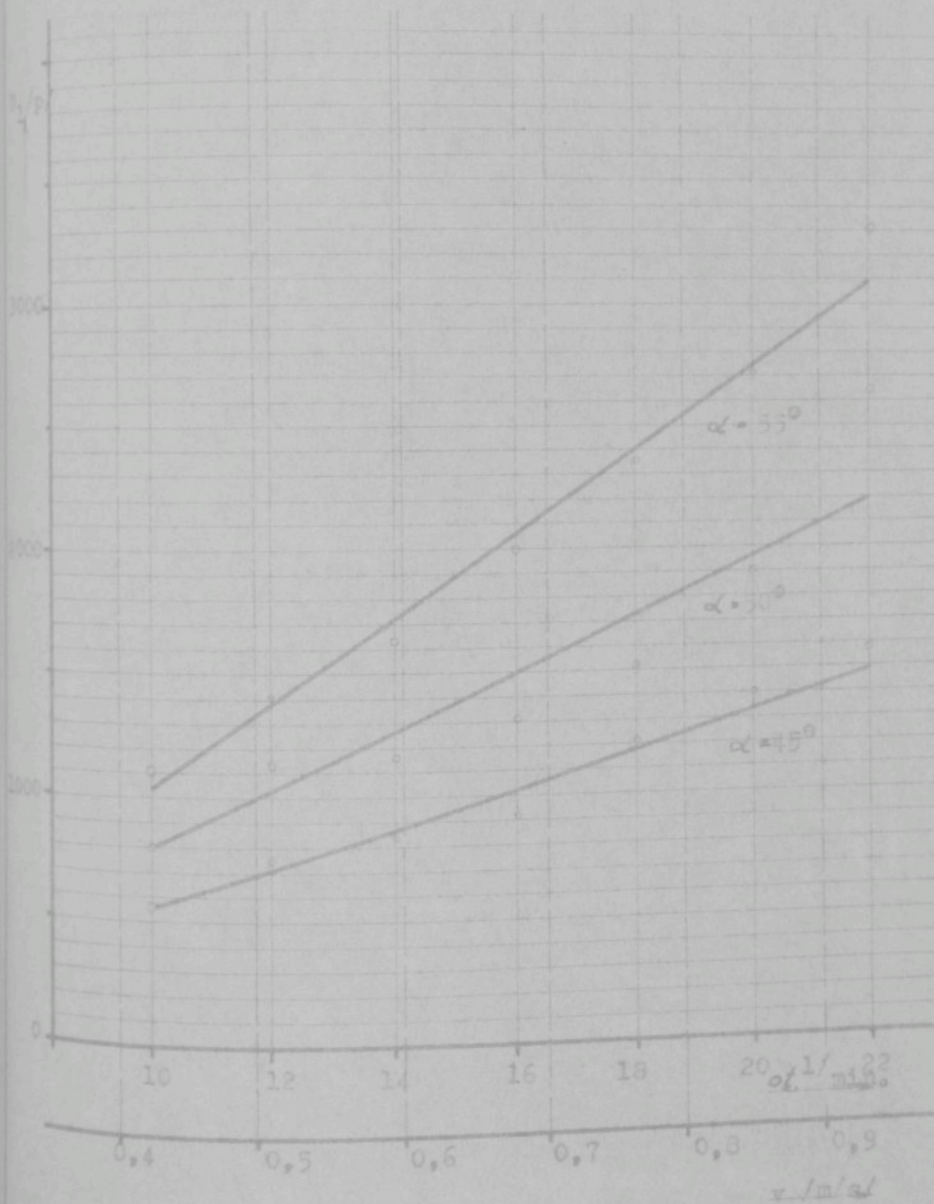
Měření na válci, zámek jako zvedač, jehla A

Jednotka zámků	n %/ η	1. měření		2. měření		3. měření		průměrná hodnota N/p
		číslo snímku	N_1/p	číslo snímku	N_1/p	číslo snímku	N_1/p	
= 535	22	J 76	3 500	J 77	3 250	J 78	3 150	3 300
	20	J 79	2 750	J 80	2 750	J 81	2 750	2 750
	18	J 82	2 350	J 83	2 350	J 84	2 350	2 350
	16	J 85	2 000	J 86	2 000	J 87	2 000	2 000
	14	J 88	1 600	J 89	1 650	J 90	1 650	1 633,3
	12	J 91	1 400	J 92	1 400	J 93	1 420	1 406,6
	10	J 94	1 020	J 95	1 020	J 96	1 020	1 020
= 500	22	J 115	2 650	J 116	2 650	J 117	2 650	2 650
	20	J 112	1 900	J 113	1 900	J 114	1 900	1 900
	18	J 109	1 510	J 110	1 510	J 111	1 510	1 510
	16	J 106	1 300	J 107	1 300	J 103	1 320	1 306,6
	14	J 103	1 150	J 104	1 150	J 105	1 150	1 150
	12	J 100	1 000	J 101	1 000	J 102	1 000	1 000
	10	J 97	800	J 98	800	J 99	800	800
= 450	22	J 118	1 590	J 119	1 590	J 120	1 590	1 590
	20	J 121	1 400	J 122	1 400	J 123	1 400	1 400
	18	J 124	1 210	J 125	1 210	J 126	1 210	1 210
	16	J 127	990	J 123	990	J 129	990	990
	14	J 130	850	J 131	850	J 132	850	850
	12	J 133	750	J 134	770	J 135	770	763,3
	10	J 136	550	J 137	550	J 138	550	550

Pro celé měření platí cejch J 139

Závislost rázové síly N_1 na otáčkách válce.

Měření na válci s zámek jako svědč. jehla A.



Závislost rázové síly N_1 na otáčkách válce

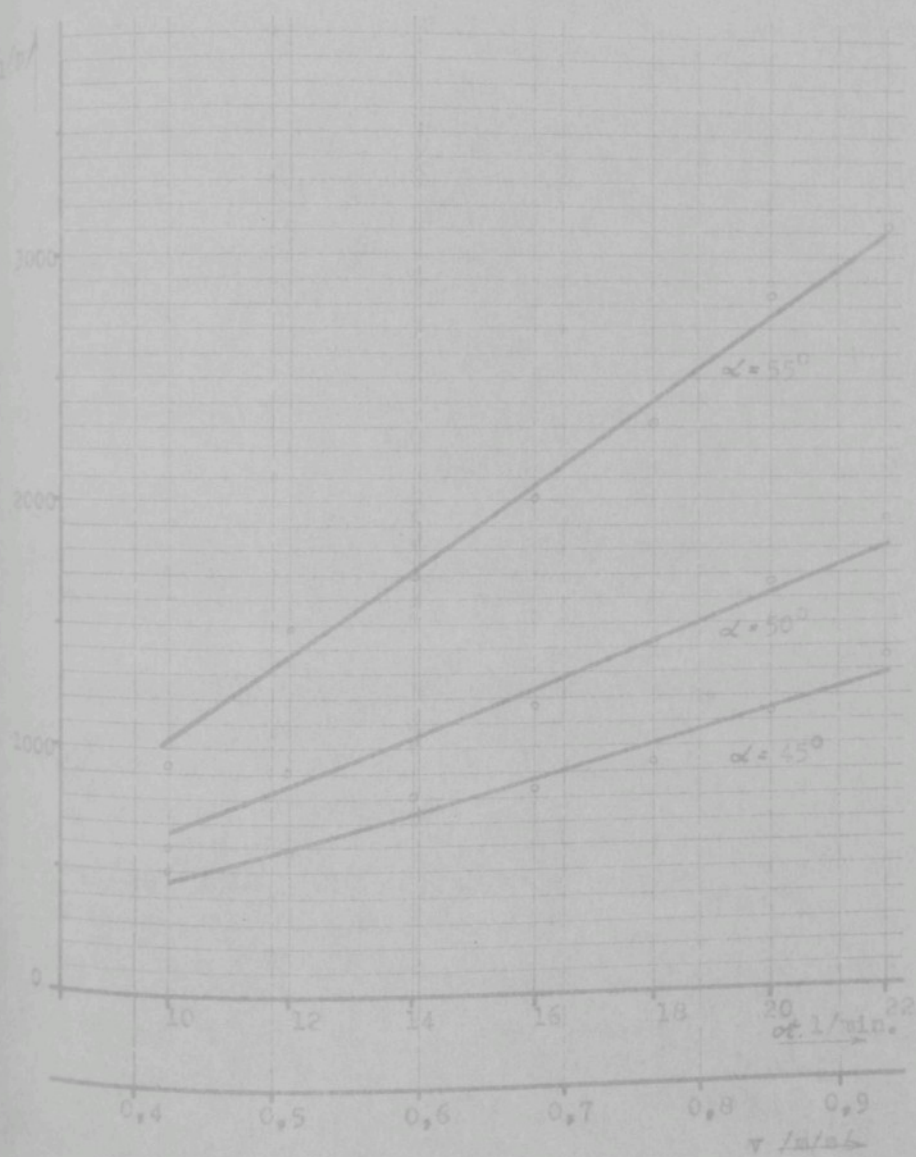
Měření na válci, zámek jako stahovač, jehla A

n 1/min.	1. měření		2. měření		3. měření		Poznámka
	číslo snímku	N_1 / p/	číslo snímku	N_1 / p/	číslo snímku	N_1 / p/	
22	L 8	3 100	L 9	3 100	L 10	3 117	
20	L 11	2 950	L 12	2 750	L 13	2 833	
18	L 14	2 320	L 15	2 280	L 16	2 300	
16	L 17	2 000	L 18	2 000	L 19	2 000	
14	L 20	1 690	L 21	1 700	L 22	1 697	
12	L 23	1 500	L 24	1 480	L 25	1 493	
10	L 26	950	L 27	950	L 28	940	
22	L 47	1 950	L 48	1 900	L 49	1 933	
20	L 44	1 660	L 45	1 660	L 46	1 667	
18	L 41	1 400	L 42	1 420	L 43	1 407	
16	L 38	1 150	L 39	1 160	L 40	1 156	
14	L 35	1 060	L 36	1 000	L 37	1 020	
12	L 32	900	L 33	900	L 34	903	
10	L 29	600	L 30	600	L 31	600	
22	L 50	1 350	L 51	1 360	L 52	1 360	
20	L 53	1 110	L 54	1 160	L 55	1 113	
18	L 56	920	L 57	930	L 58	933	
16	L 59	880	L 60	880	L 61	883	
14	L 62	800	L 63	800	L 64	800	
12	L 65	600	L 66	600	L 67	597	
10	L 68	500	L 69	500	L 70	500	

Pro celé měření platí cíjch č. L 6

Závislost rázové síly N_1 na otáčkách válce.

Nařízení na válci, sárek jako stanovací úhel jehly α .



v práci zahrnutý. Proto, i když při určitém měření je úhel zámku a obvodová rychlosť válce stejná, může dojít vlivem různé vůle mezi zámkem a válcem k jinému styku bodů na kolénku jehly a zámkové hraně, což pak vede k větším procentním odchylkám naměřených hodnot proti hodnotám předpokládaným.

Všechny tyto výše uvedené vlivy nám též způsobují, že se naměřené hodnoty určité závislosti neztotocňují přesně s body na proložených přímkách a křivkách u jednotlivých grafů.

Z uvedených hodnot grafů a z dalších měření v této práci neuvedených lze i zde konstatovat, že velikost normálových sil je v podstatě shodná, jak při zvedání, tak při stahevání jehel.

Pro porovnání normálových sil prvého rázu z obou měření (závislost normálové síly na úhlu zámku a obvodové rychlosti válce) pro jehlu A a zámku prac. jako zvedač jsou hodnoty grafu na str. 59 vyneseny do grafu na str. 49, kde jsou označeny křížky. Je zřejmé, že křížkované hodnoty vykazují stejnou odchylku od příslušné křivky a lze tedy obě měření považovat za korespondující a správná a též proložení přímek a křivek obou grafů jednotlivými hodnotami měření za správné.

4.1.4 Hodnocení dalších rázových styků kolénka jehly s činnou hranou zámku.

Jak vyplývá ze záznamů normálových sil (příloha sva-
zek 1 - 5) dochází po prvném styku kolénka jehly se zámkem
k odskoku kolénka a poté k následujícímu rázu. Tento odskok
se může i několikrát opakovat, až se pohyb kolénka po zámku
uklidní. Je jisté, že uklidnění pohybu bude trvat tím
délka, čím větší bude hodnota prvého rázu. Tuto skutečnost

lze prokazatelně pozorovat na všech záznamech měření. Dopravně při extrémní hodnotě normálové síly může nastat případ, že k uklidnění pohybu vůbec nedojde, protože funkční hraná zámku je pro tuto uklidnění krátká. Uvedený jev lze sledovat na některých záznamech.

Je to hlavně první a druhý ráz kolénka jehly, který způsobuje na činné hraně zámku po delším provozu prohlubně. Tyto pak znamenají další narůstání hodnot normálové síly a možnost neúměrného lámání kolének jehel, popř. růstu dalších závad.

Na tabulkách na stranách 64 a 65 je provedeno hodnocení velikosti normálových sil druhého rázu kolénka jehly na zámek. Hodnoty jsou odečteny ze záznamů J 141 až J 214, t. j. pro jehlu A a při činnosti zámku jako zvedač. Z tabulky na str. 64 vidíme, že hodnoty síly N_2 mají se zmenšováním úhlu zámku a otáček válce klesající charakter. Pro lepší hodnocení byla vypočtena tabulka na str. 65, která udává procentní velikost normálové síly druhého rázu na rázu prvním ($Z = \frac{N_2}{N_1} \cdot 100$). I když se jedná o druhý ráz, je jeho hodnota ještě značně vysoká a činí v závislosti na úhlu zámku a otáčkách stroje 36 - 75 % hodnoty prvého rázu. Je též zajímavé, že při vyšších hodnotách prvého rázu dochází k většímu a rychlejšímu útlumu, a to v případě většího úhlu zámku i při vyšších otáčkách válce.

Zajímavé je též hodnocení snímků měření z hlediska proběhu normálové síly. Podíváme-li se na snímky J 141-J 149 (úhel zámku $\alpha = 60^\circ$) zjistíme, že po extrémní hodnotě prvého rázu jehla od zámku odskočí. Než dojde k opětnému styku, kmitá snímač klem nulové polohy. Poté dojde k druhému rázu. To se však při velkých úhlích a otáčkách válce může opakovat ještě jednou. Na snímcích J 141 - J 143 vidíme, že odskok nastal celkem 3x a že skoro celý pohyb jehly po hraně zámku byl vytvořen třemi rázy, načež v neuklidněném stavu jehla zámek opouští. Kdyby tento případ nastával při zatahování očka, je jasné, že by značně stouplo namáhání nitě v zatahovacím očku a současně i rovnomořnost jed-

Velikost druhého rázu N_2 normálové síly na úhlu zámku.

Měření na válcovém zámku, zámek jako zvedač, jehla A.

číslo snímku	N_2 / p	číslo snímku	N_2 / p	číslo snímku	N_2 / p	průměrná hodnota N_2 / p
60 J 141	1 500	J 142	1 450	J 143	1 500	1 483
55 J 158	1 000	J 159	1 000	J 160	1 000	1 000
50 J 161	700	J 162	700	J 163	700	700
45 J 176	500	J 177	500	J 178	500	500
40 J 179	350	J 180	350	J 181	350	350
30 J 188	240	J 189	240	J 190	235	238
20 J 203	225	J 204	225	J 205	200	217
10 J 206	140	J 207	135	J 208	135	137
60 J 144	1 250	J 145	1 200	J 146	1 200	1 233
55 J 155	750	J 156	700	J 157	750	733
50 J 164	550	J 165	550	J 166	500	533
45 J 173	350	J 174	350	J 175	350	350
40 J 182	250	J 183	250	J 184	250	250
30 J 191	190	J 192	185	J 193	185	187
20 J 200	170	J 201	175	J 202	170	172
10 J 209	115	J 210	115	J 211	115	115
60 J 147	900	J 148	900	J 149	900	900
55 J 152	500	J 153	550	J 154	550	533
50 J 167	400	J 168	350	J 159	400	383
45 J 170	300	J 171	300	J 172	300	300
40 J 185	200	J 186	200	J 187	200	200
30 J 194	150	J 195	160	J 196	150	153
20 J 197	120	J 198	120	J 199	120	120
10 J 212	100	J 213	100	J 214	95	98

Závislost normálových sil N_1 s N_2 v percentech,
pro jehlu A, měřeno na výšce, zámek jako zvedací

OPTICKÝ VÁLCÍK $\alpha / ^\circ$	průměrná hodnota $N_1 / \text{p} /$	průměrná hodnota $N_2 / \text{p} /$	závislost $z = \frac{N_2}{N_1} \cdot 100 \text{ \%}$
60	4 100	1 483	36,2
55	2 700	1 000	37,0
50	1 900	700	36,8
45	1 217	500	41,1
40	867	350	40,4
30	413	238	57,6
20	297	217	73,1
10	238	137	57,6
60	2 900	1 233	42,5
55	1 800	733	40,7
50	1 183	533	45,1
45	883	350	39,6
40	583	250	42,9
30	320	187	55,4
20	227	172	75,8
10	190	115	60,5
60	1 750	900	51,4
55	1 650	533	32,3
50	837	383	45,8
45	600	300	50,0
40	350	200	57,1
30	203	153	75,4
20	157	120	76,4
10	130	98	75,4

notlivých oček by byla velmi nestejná.

Je zajímavé, že i při malých úhlech zámků a nízké hodnotě obvodové rychlosti válce dochází stále k odskokům a teprve na snímcích J 212 - J 214 ($\alpha = 10^\circ$, $V = 0,5 \text{ m/s}$) k odskoku kolénka od zámku nedojde a hodnota prvé rázové síly je celkem přijatelná a odpovídá hodnotě normálové síly při ustáleném pohybu kolénka jehly po zámku. Dále můžeme konstatovat, že je to především úhel zámku, který nám ovlivňuje rázový styk kolénka jehly se zámkem. Tak např. zmenšením úhlu zámku z $\alpha = 60^\circ$ na $\alpha = 30^\circ$, t. j. o 50 %, sníží se velikost prvého rázu 10 x. Uvedená skutečnost vede jasně k závěru vyrábět zámky s malým náběhovým úhlem, popřípadě najít jiné řešení, které by snížilo hodnoty prvého rázu natolik, aby nepřevyšovala hodnotu normálové síly při ustáleném pohybu kolénka jehly po zámku.

4.1.5 Hodnocení normálové síly N_3 , t. j. při uklidněním pohybu kolénka jehly po zámku.

Hodnocení bylo opět provedeno pro jehlu A a zámek pracující jako zvedač. Byly tedy použity snímky J 141 - J 214 jako v předešlé kapitole a dále snímky J 76 - J 138, které udávají závislost průběhu normálové síly na otáčkách válce.

V tabulce na str. 67 jsou vyčísleny průměrné hodnoty normálové síly N_3 v závislosti na otáčkách válce. Z uvedené tabulky vyplývá, že při stejném úhlu zámku v podstatě nezávisí velikost síly N_3 na otáčkách válce a setrvává-li jehla již v ustáleném rovnoměrném pohybu i síla N_3 je při stejném úhlu zámku a různých otáčkách válce konstantní. Tento výsledek je zcela logický, protože silové poměry celé soustavy zůstávají při rovnoměrném pohybu jehly i při jejich různých rychlostech neměnné a velikost normálové síly je jen funkcí úhlu zámku.

Závislost normálové síly N_3 na otáčkách válce
Měření na válci, zámek jako zvedač, jehla A.

d mm	n/ min	1. měření		2. měření		3. měření		Průměr. hodnoty N_3 [p]
		Císelo sním.	N_3/p	Císelo sním.	N_3/p	Císelo sním.	N_3/p	
55 ⁰	22	J 76	450	J 77	450	J 78	450	450
	20	J 79	450	J 80	450	J 81	450	450
	18	J 82	450	J 83	450	J 84	450	450
	16	J 85	450	J 86	450	J 87	450	450
	14	J 88	450	J 89	450	J 90	450	450
	12	J 91	400	J 92	400	J 93	400	400
	10	J 94	400	J 95	400	J 96	400	400
50 ⁰	22	J115	350	J116	350	J117	350	350
	20	J112	350	J113	350	J114	350	350
	18	J109	350	J110	350	J111	350	350
	16	J106	350	J107	350	J108	350	350
	14	J103	350	J104	350	J105	350	350
	12	J100	350	J101	350	J102	350	350
	10	J 97	350	J 98	350	J 99	350	350
45 ⁰	22	J118	250	J119	250	J120	250	250
	20	J121	250	J122	250	J123	250	250
	18	J124	250	J125	250	J126	250	250
	16	J127	250	J128	250	J129	250	250
	14	J130	250	J131	250	J132	250	250
	12	J133	250	J134	250	J135	250	250
	10	J136	250	J137	250	J138	250	250

Na další tabulce na str. 69 je provedeno též hodnocení síly N_3 ovšem v závislosti na úhlu zámku. Z této tabulky vyplývá stoupající charakter normy síly s růstem úhlu α . Není zde však tak rychlý růst normálové síly, jaký byl u síly prvého rázu N_1 . Pro názornost je i zde provedeno procentní vyčíslení velikosti síly N_3 na N_1 . Hodnoty této závislosti jsou uvedeny na tabulce na str. 70. Z hodnot Z_1 vyplývá, že i při malém úhlu zámku $\alpha = 10^\circ$ a obvodové rychlosti jehelního válce 0,9 m/s (rychlosť, kterou špičkové velkoprůměrové stroje dosahují) je velikost prvého rázu o 50 % větší, než hodnota normálové síly N_3 při ustáleném pohybu kolénka jehly po hraně zámku.

4.1.6 Hodnocení velikosti normálových sil mezi kolénkem jehly a zámkem u jedné jehly vsazené do 50 ti drážek válcového lůžka.

Aby bylo možno posoudit, jak dalece jakost drážek jehelního válcového lůžka ovlivňuje velikost a průběh normálových sil mezi kolénkem jehly a zámkem, bylo provedeno měření, kde tatáž jehla byla vsazována do 50ti drážek následujících vedle sebe na válcovém lůžku. Zámek (snímač) byl postaven jako zvedač s úhlem $\alpha = 50^\circ$. Jeho postavení se během celého měření naprostě neměnilo, jehla najížděla vždy do stejného místa zámkové hrany, proto jednotlivá měření vyjadřují mezi sebou skutečně vliv jakosti uložení jehly ve válcovém lůžku. Při měření byla též stálá obvodová rychlosť válce $v = 0,7$ m/s, což je běžná obvodová rychlosť dnes pracujících velkoprůměrových okrouhlých strojů.

Nutno předem podotknout, že válcové lůžko měřeného stroje má drážky zhotovené frézováním, není tedy skládané z platin.

Závislost normálové síly N_3 na tlaku sámků.

Měření na válci, zámek jako zvědač, jehla A.

α %	1. měření		2. měření		3. měření		Prům. ráná hodnota N_3 /p/
	číslo snímku	N_3 /p/	číslo snímku	N_3 /p/	číslo snímku	N_3 /p/	
60	J 141	500	J 142	500	J 143	500	500
55	J 153	400	J 159	400	J 160	400	400
50	J 161	300	J 162	300	J 163	300	300
45	J 176	200	J 177	200	J 178	200	200
40	J 179	170	J 180	170	J 181	170	170
30	J 188	130	J 189	130	J 190	130	130
20	J 203	130	J 204	130	J 205	130	130
10	J 206	120	J 207	120	J 208	120	120
60	J 144	450	J 145	450	J 146	450	450
55	J 155	350	J 156	350	J 157	350	350
50	J 164	250	J 165	250	J 166	250	250
45	J 173	170	J 174	170	J 175	170	170
40	J 182	150	J 183	150	J 184	150	150
30	J 191	130	J 192	130	J 193	130	130
20	J 200	120	J 201	120	J 202	120	120
10	J 209	120	J 210	120	J 211	120	120
60	J 147	450	J 148	450	J 149	450	450
55	J 152	350	J 153	350	J 154	350	350
50	J 167	250	J 168	250	J 169	250	250
45	J 170	150	J 171	150	J 172	150	150
40	J 185	140	J 186	140	J 187	140	140
30	J 194	140	J 195	140	J 196	140	140
20	J 197	140	J 198	140	J 199	140	140

Závislost normálových sil N_1 a N_3 v procentech
pro jehlu A, měřeno na válcu, zámek jako zvedací

otěžky váleček %	Průměrná hodnota N_1 /p/	Průměrná hodnota N_3 /p/	Závislost $\frac{N_3}{N_1} \cdot 100$ $\% / \%$
n=21,2 1/min; V = 0,9m/s	60 4 100	500	12,2
	55 2 700	400	14,6
	50 1 900	300	15,8
	45 1 217	200	16,4
	40 867	170	19,6
	30 413	130	31,5
	20 297	130	43,6
	10 238	120	50,4
n=16,5 1/min; V = 0,7m/s	60 2 900	450	15,5
	55 1 800	350	19,4
	50 1 183	250	21,1
	45 883	170	19,3
	40 583	150	25,7
	30 320	130	40,6
	20 227	120	52,9
	10 190	120	53,2
n=11,7 1/min; V = 0,5 m/s	60 1 750	450	25,7
	55 1 650	350	21,2
	50 837	250	29,9
	45 600	150	25,0
	40 350	140	40,0
	30 203	140	69,0
	20 137	140	89,2
	10 130	120	92,3

Také pro toto hodnocení byly pro měření v každé drážce zhotoveny tři záznamy, z nichž je pak vyčíslený průměr brán pro hodnocení.

Oscilografické záznamy jsou uvedeny v příloze svazek 2 a 3 pod čísla J 216 - K 71.

Přehled jednotlivých hodnot měření, velikosti prvého rázu kclénka na zámek a vyčíslení průměrné hodnoty jednotlivých měření je uvedeno na tabulkách na stranách 72 a 73. Již z těchto tabulek je zřejmé, že hodnoty prvého rázu jedné a též jehly ve více drážkách jehelního lůžka značně kolísají. Je možné též konstatovat, že měřené hodnoty kolísají i při měření v téže drážce lůžka. To lze zvláště u velkých odchylek vysvětlit tím, že jehla před měřením není dostatečně dlouho zaběhnuta v příslušné drážce. Tím ještě stále dochází k velkému přemísťování nečistot v uložení jehly (v jejím styku se stěnami drážky) a tím ke změně třecích poměrů a z toho vyplývající změně normálových sil.

Velmi přehledně jsou velikosti normálových sil prvého rázu uvedeny ve sloupkovém diagramu na str. 74. Zde názorně vidíme značné kolísání těchto sil. Zvláště drážka č. 14 vykazuje velmi vysokou extrémní hodnotu. Ovšem i tať drážka s vloženou jehlou musela ve stroji pracovat. Vznik tak velkého rázu je způsoben místním porušením drážky, patrně při havárii jehly a zlomení kolénka. Lze to tvrdit proto, že hodnota normálové síly při ustáleném po-
hybu této jehly po zámku je vzhledem k ostatním jehlám zcela normální.

Pro vyčíslení směrodatné odchylky a variačního koeficientu hodnot prvého rázu byla vyčíslena tabulka na str. 75. Z hodnot této tabulky je průměrná hodnota rázové síly

$$\bar{x} = \frac{\sum x_i}{n} = \frac{85764}{50} = 1715,3 p$$

směrodatná odchylka pro tato měření činí:

$$S = \sqrt{\frac{1}{n} \sum_{i=1}^n (x_i - \bar{x})^2} = \sqrt{\frac{1}{50} 4225676,1} = 293,7 p$$

Velikost rázové síly N_1 jehly č. 1 v různých drážkách
vedení na válci, zámek jako zvedač, $n=16,5 \text{ l/min}$; $\omega = 50^\circ$

Číslo drážky	1.měření		2.měření		3.měření		Prům. hodno- te N_1 , μ
	číslo snímku	N_1/μ	číslo snímku	N_1/μ	číslo snímku	N_1/μ	
1	J216	1600	J217	1550	J218	1570	1573
2	J219	1600	J220	1620	J221	1600	1607
3	J222	1420	J223	1560	J224	1400	1460
4	J225	1450	J226	1450	J227	1490	1463
5	J228	1610	J229	1610	J230	1600	1607
6	J231	1500	J232	1500	J233	1490	1497
7	J234	1480	J235	1530	J236	1400	1470
8	J237	1740	J238	1700	J239	1700	1713
9	J240	2000	J241	2000	J242	2020	2007
10	J243	1060	J244	1100	J245	1080	1053
11	J246	1700	J247	1800	J248	2100	1867
12	J249	1650	J250	1690	J251	1600	1633
13	J252	1690	J253	1700	J254	1710	1700
14	J256	2790	J259	2600	J260	2610	2800
15	J264	1900	J265	2020	J266	2000	1973
17	J267	1450	J268	1430	J269	1460	1447
18	J270	1690	J271	1800	J272	1920	1803
19	J273	1800	J274	1810	J275	1810	1807
20	J276	1880	J277	1850	J278	1830	1853
21	J284	1880	J285	1860	J286	1820	1860
22	J279	1380	J280	1780	J281	1550	1670
23	J287	1600	J288	1600	J289	1600	1600
24	J290	1420	J291	1400	J292	1410	1410
25	J293	2030	J294	1840	J295	1920	1930
26	J296	2090	J297	2010	J298	2030	2040

Velikost rárové síly N_1 jehly č. 1 v různých drážkách
měření na válci, zámek jako zvedač, $n=16,5$ 1/min, $\alpha=50^\circ$

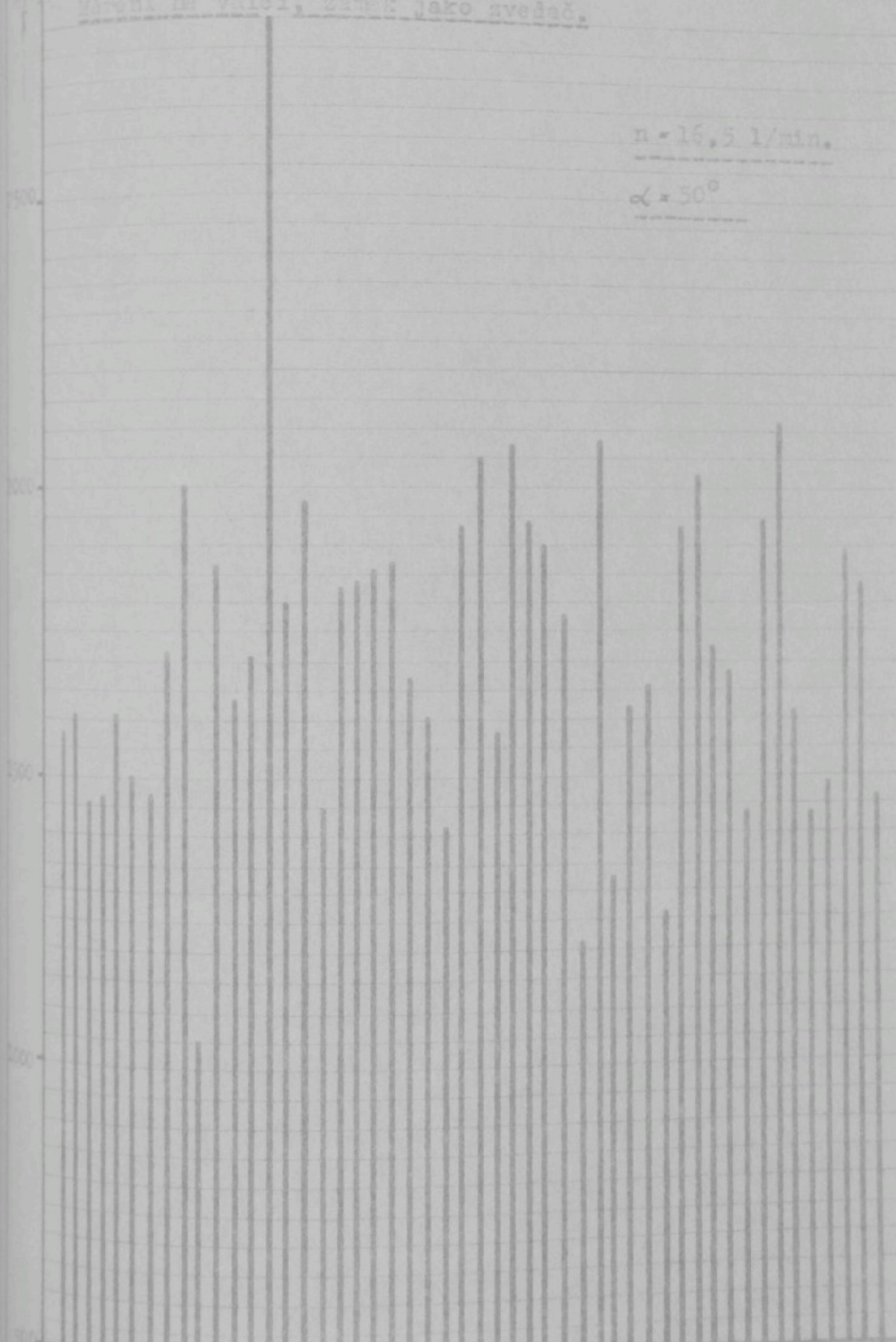
číslo snímku	1. měření		2. měření		3. měření		Průměrná hodnota N_1 / p/
	číslo snímku	N_1 / p/	číslo snímku	N_1 / p/	číslo snímku	N_1 / p/	
27	J 299	1610	J 300	1610	K 1	1500	1573
28	K 2	2020	K 3	2120	K 4	2060	2067
29	K 5	1880	K 6	1950	K 7	1990	1940
30	K 8	1900	K 9	1900	K 10	1900	1900
31	K 11	1730	K 12	1780	K 13	1750	1773
32	K 15	1100	K 16	1300	K 17	1230	1210
33	K 18	2020	K 19	2070	K 20	2060	2077
34	K 21	1360	K 22	1340	K 23	1280	1323
35	K 24	1560	K 25	1580	K 26	1710	1617
36	K 27	1700	K 28	1600	K 29	-	1650
37	K 30	1260	K 31	1280	K 32	1260	1267
38	K 33	1900	K 34	1980	K 35	1900	1927
39	K 36	2200	K 37	2200	K 38	2100	2167
40	K 39	1700	K 40	1800	K 41	1650	1717
41	K 42	1620	K 43	1720	K 44	1700	1680
42	K 45	1500	K 46	1410	K 47	1390	1433
43	K 48	1890	K 49	1880	K 50	2050	1940
44	K 51	2160	K 52	2030	K 53	2140	2110
45	K 54	1700	K 55	1560	K 56	1590	1617
46	K 57	1490	K 58	1450	K 59	1500	1480
47	K 60	1500	K 61	1460	K 62	1490	1493
48	K 63	1860	K 64	1900	K 65	1900	1887
49	K 66	1820	K 67	1850	K 68	1820	1830
50	K 69	1400	K 70	1470	K 71	1490	1453
15	J 261	1800	J 262	1800	J 263	1800	1800

Velikost rámové síly M_1 jehly č.1 v různých drážkách.

Výslední na výlci, zámek jako svedací.

$n = 15,5 \text{ l/min.}$

$\alpha = 50^\circ$



Tabulka pro výpočet směrodatné odchylky.

	x_i	$x_i - \bar{x}$	$(x_i - \bar{x})^2$	n	x_i	$x_i - \bar{x}$	$(x_i - \bar{x})^2$
1	1 573	-142,3	20 249,29	26	2 040	+324,7	105 430,09
2	1 607	-108,3	11 728,29	27	1 573	-142,3	20 249,29
3	1 460	-255,3	65 178,09	28	2 067	+351,7	123 692,09
4	1 463	-252,3	63 655,29	29	1 940	+224,7	50 490,09
5	1 607	-108,3	11 728,29	30	1 900	+184,7	34 114,09
6	1 497	-218,3	47 654,89	31	1 773	+57,7	3 329,29
7	1 470	-245,3	60 172,09	32	1 210	-505,3	255 328,09
8	1 713	-2,3	5,29	33	2 077	+361,7	130 826,89
9	2 007	+291,7	85 088,09	34	1 323	-392,3	153 899,29
10	1 053	-662,3	438 641,29	35	1 617	- 98,3	9 662,89
11	1 867	+151,7	23 012,89	36	1 650	- 65,3	4 264,09
12	1 633	- 82,3	6 773,29	37	1 267	-448,3	200 972,89
13	1 700	- 15,3	234,09	38	1 927	+211,7	44 816,89
14	2 800	+1084,7	1176 574,09	39	2 167	+451,7	204 032,89
15	1 800	+ 84,7	7 174,09	40	1 717	+ 1,7	2,89
16	1 973	+257,7	66 409,29	41	1 680	- 35,3	1 246,09
17	1 447	-268,3	71 984,89	42	1 433	-282,3	79 693,29
18	1 803	+ 87,7	7 691,29	43	1 940	+224,7	50 490,09
19	1 807	+ 91,7	6 408,89	44	2 110	+394,7	155 788,09
20	1 853	+137,7	18 961,29	45	1 617	- 98,3	9 662,89
21	1 860	+144,7	20 938,09	46	1 4480	-235,3	55 366,09
22	1 670	- 45,3	2 052,09	47	1 483	-232,3	53 963,29
23	1 600	-115,3	13 294,09	48	1 887	+171,7	29 480,89
24	1 410	-305,3	93 208,09	49	1 830	+114,7	13 156,09
25	1 930	+214,7	46 096,09	50	1 450	-262,3	68 801,29

$$\sum_{i=1}^{t=n} x_i = 85 764$$

$$\sum_{i=1}^{t=n} (x_i - \bar{x})^2 = 4 225 676,10$$

Variační koeficient

$$\nu = \frac{S}{\bar{x}} \cdot 100 = \frac{293,7}{1715,3} \cdot 100 = 17,1\%$$

Z uvedené hodnoty variačního koeficientu je zřejmé, že tátž jehla má velmi odlišné uložení v drážkách lůžka pokud se jedná o místní styk.

Při tomto měření bylo též provedeno hodnocení průměrné normálové síly ustáleného pohybu kolénka jehly po zámku.

Tabulky hodnot těchto normálových sil N_3 odečtených ze záznamů jsou uvedeny v tabulkách na stranách 77 a 78. I v této tabulce můžeme sledovat značné kolísání hodnot normálové síly N_3 . Pro snazší hodnocení je i zde vyčíslena hodnota směrodatné odchylky a variačního koeficientu podle tabulky na str. 79. Z hodnot této tabulky

$$\bar{x} = \frac{\sum x_i}{n} = \frac{23720}{50} = 474,4 P$$

Směrodatná odchylka:

$$S = \sqrt{\frac{1}{n-1} \sum (x_i - \bar{x})^2} = \sqrt{\frac{1}{50-1} 195632} = \sqrt{3992,5} = 63,2 P$$

Hodnota variačního koeficientu:

$$\nu = \frac{S}{\bar{x}} \cdot 100 = \frac{63,2}{474,4} \cdot 100 = 13,3\%$$

Z hodnoty variačního koeficientu vyplývá, že i celkové uložení jehly při jejím pohybu v drážce je pro různé drážky velmi odlišné. Stav drážky i po její délce značně kolísá, což je též patrné z oscilografických záznamů jednotlivých měření, kde i průběh ustálené normálové síly vykazuje značné odchylky pro jednotlivé drážky.

Provedeme-li procentní srovnání rázové síly N_3 na velikost rázové síly pro jednotlivé drážky $Z = \frac{N_3}{N_1} \cdot 100 (\%)$, viz tabulka na str. 80, dojdeme k závěru, že velikost prvého rázu je ve skutečnosti značně ovlivněna místní nerovnoměrností kvality drážky a nejen tedy, což se běžně předpokládá, velikostí předpružení jehly a velikostí normálové síly N_3 .

Velikost normálových sil N_2 jehly č. 1 ve více drážkách

Drážka	1. měření	2. měření	3. měření	Průměrná hodnota N_2 / p			
	číslo snímku	N / p	číslo snímku	N / p	číslo snímku	N / p	číslo snímku
1	J 216	320	J 217	320	J 218	320	320
2	J 219	400	J 220	400	J 221	400	400
3	J 222	380	J 223	380	J 224	380	380
4	J 225	410	J 226	410	J 227	410	410
5	J 228	400	J 229	400	J 230	400	400
6	J 231	450	J 232	450	J 233	450	450
7	J 234	450	J 235	450	J 236	450	450
8	J 237	420	J 238	420	J 239	420	420
9	J 240	450	J 241	450	J 242	450	450
10	J 243	460	J 244	460	J 245	460	460
11	J 246	520	J 247	520	J 248	520	520
12	J 249	500	J 250	500	J 251	500	500
13	J 252	520	J 253	520	J 254	520	520
14	J 258	420	J 259	420	J 260	420	420
15	J 261	410	J 262	410	J 263	410	410
16	J 264	550	J 265	550	J 266	550	550
17	J 267	550	J 268	550	J 269	550	550
18	J 270	580	J 271	580	J 272	580	580
19	J 273	480	J 284	580	J 285	580	580
20	J 276	600	J 277	600	J 278	600	600
21	J 284	500	J 285	500	J 286	500	500
22	J 279	500	J 280	500	J 281	500	500
23	J 287	590	J 288	590	J 289	590	590
24	J 290	600	J 291	600	J 292	600	600
25	J 293	550	J 294	550	J 295	550	550

Velikost normálových sil N_3 , jehly č. 1 ve více drážkách.

Pořadí	1.měření		2.měření		3.měření		Průměrná hoeinota N_3/p
	číslo snímku	N_3/p	číslo snímku	N_3/p	číslo snímku	N_3/p	
26	J 296	500	J 297	500	J 298	500	500
27	J 299	500	J 300	500	K 1	500	500
28	K 2	550	K 3	550	K 4	550	550
29	K 5	450	K 6	450	K 7	450	450
30	K 8	500	K 9	500	K 10	500	500
31	K 11	430	K 12	430	K 13	430	430
32	K 15	400	K 16	400	K 17	400	400
33	K 18	500	K 19	500	K 20	500	500
34	K 21	480	K 22	480	K 23	480	480
35	K 24	450	K 25	450	K 26	450	450
36	K 27	450	K 28	450	K 29	450	450
37	K 30	400	K 31	400	K 32	400	400
38	K 33	460	K 34	460	K 35	460	460
39	K 36	400	K 37	400	K 38	400	400
40	K 39	400	K 40	400	K 41	400	400
41	K 42	450	K 43	450	K 44	450	450
42	K 45	550	K 46	550	K 47	550	550
43	K 48	460	K 49	460	K 50	460	460
44	K 51	580	K 52	580	K 53	580	580
45	K 54	480	K 55	480	K 56	480	480
46	K 57	490	K 58	490	K 59	490	490
47	K 60	430	K 61	430	K 62	430	430
48	K 63	450	K 64	450	K 65	450	450
49	K 66	500	K 67	500	K 68	500	500
50	K 69	4500	K 70	450	K 71	450	450

Tabulka pro výpočet směrodatné odchylky.

i	x_i	$x_i - \bar{x}$	$(x_i - \bar{x})^2$	n	x_i	$x_i - \bar{x}$	$(x_i - \bar{x})^2$
1	320	-154,4	23 839,36	26	500	+ 25,6	655,36
2	400	+ 74,4	5 535,36	27	500	+ 25,6	655,36
3	380	- 94,4	8 911,36	28	550	+ 75,6	5 725,36
4	410	- 64,4	4 147,36	29	450	- 24,4	595,36
5	400	- 74,4	5 535,36	30	500	+ 25,6	655,36
6	450	- 24,4	595,36	31	430	- 44,4	1 971,36
7	450	- 24,4	595,36	32	400	- 74,4	5 535,36
8	420	- 50,4	2 959,36	33	500	+ 25,6	655,36
9	450	- 24,4	595,36	34	480	+ 5,6	31,36
10	460	- 14,4	207,36	35	450	- 24,4	595,36
11	520	+ 45,6	2 079,36	36	450	- 24,4	595,36
12	500	+ 25,6	655,36	37	400	- 74,4	5 535,36
13	520	+ 45,6	2 079,36	38	460	- 14,4	207,36
14	420	- 54,4	2 959,36	39	400	- 74,4	5 535,36
15	410	- 64,4	4 147,36	40	400	- 74,4	5 535,36
16	550	+ 75,6	5 725,36	41	450	- 24,4	595,36
17	550	+ 75,6	5 725,36	42	550	+ 75,6	5 725,36
18	580	+105,6	11 151,36	43	460	- 14,4	207,36
19	480	+ 5,6	31,36	44	580	+105,6	11 151,36
20	600	+125,6	15 775,36	45	480	+ 5,6	31,36
21	500	+ 25,6	655,36	46	490	+ 15,6	243,36
22	500	+ 25,6	655,36	47	430	- 44,4	1 971,36
23	590	+115,6	13 363,36	48	450	- 24,4	595,36
24	600	+125,6	15 775,36	49	500	+ 25,6	655,36
25	550	+ 75,6	5 725,36	50	450	- 24,4	595,36

$$\sum_{i=1}^{i=n} x_i = 23 720$$

$$\sum_{i=1}^{i=n} / x_i - \bar{x} /^2 = 195 632$$

číslo	průměr. hodnota $N_1/p/$	průměr. hodnota $N_3/p/$	závislost $\frac{N_3}{N_1} \cdot 100\%$	číslo	průměr. hodnota $N_1/p/$	průměr. hodnota $N_3/p/$	závislost $\frac{N_3}{N_1} \cdot 100\%$
1	1 573	320	20,3	26	2 040	500	24,5
2	1 607	400	24,9	27	1 573	500	31,8
3	1 460	380	26,0	28	2 067	550	26,6
4	1 463	410	28,0	29	1 940	450	23,2
5	1 607	400	24,9	30	1 900	500	26,3
6	1 497	450	30,1	31	1 773	430	24,3
7	1 470	450	30,6	32	1 210	400	33,1
8	1 713	420	24,5	33	2 077	500	24,1
9	2 007	450	22,4	34	1 323	480	36,3
10	1 053	460	43,7	35	1 617	450	27,8
11	1 867	520	27,9	36	1 650	450	27,3
12	1 633	500	30,6	37	1 267	400	31,6
13	1 700	520	30,6	38	1 927	460	23,9
14	2 800	420	15,0	39	2 167	400	18,5
15	1 800	410	22,8	40	1 717	400	23,3
16	1 973	550	27,9	41	1 680	450	26,8
17	1 447	550	38,0	42	1 433	550	38,4
18	1 803	580	32,2	43	1 940	460	23,7
19	1 807	480	26,6	44	2 110	580	27,5
20	1 853	600	32,4	45	1 617	480	29,7
21	1 860	500	26,9	46	1 480	490	33,1
22	1 670	500	30,0	47	1 483	430	29,0
23	1 600	590	36,9	48	1 887	450	23,8
24	1 410	600	42,6	49	1 830	500	27,3
25							

Závěrem této kapitoly lze konstatovat, že kvalita drážek měřeného stroje značně kolísá a to jak u různých drážek tak v průběhu drážky jedné. Tato skutečnost vede k opodstatnění drážek skládaných z jednotlivých lamel, kde vzhledem k dokonalosti povrchu lamel lze předpokládat podstatně lepší uložení jehly v lůžku a v případě zlomení kolénka jehly možnost výměny poškozené lamely. Hlavně pro zvyšování otáček okrouhlých pletacích strojů je nutné tuto okolnost velmi zvážit, protože špatný stav uložení jediné jehly na obvodu stroje by znamenal využívat stroj jen při nižších otáčkách, než pro které byl navrhován, např. celý zámkový systém.

4.1.7 Hodnocení velikosti normálových sil mezi kolénkem

jehly a zámkem na válcovém lůžku pro různé jehly pracující v téže drážce lůžka.

Pro doplnění předcházející kapitoly bylo provedeno měření, jehož cílem je zjištění vlivu jednotlivých, náhodně vybraných, jehel na velikost normálové síly. Měření bylo provedeno pro 52 válcových jehel náhodně vybraných z jehel, které ve stroji již pracovaly. Všechny jehly byly pro měření vkládány do téže drážky. Jehla byla před vložením do lůžka očištěna a mírně naclejována. Při měření byla stálá obvodová rychlosť válce $v = 0,7 \text{ m/s}$. Zámek (snímač) pracoval jako zvedač při funkčním úhlu $\omega = 50^\circ$. Jeho postavení se i zde během celého měření neměnilo, proto lze jednotlivá měření mezi sebou zcela jednoznačně srovnávat.

Pro hodnocení každé jehly byly zhotoveny tři záznamy a hodnoty jejich průměru jsou brány pro celkové hodnocení. Oscilografické záznamy jsou uvedeny na fotografiích v příloze svazek 3 a 4 pod čísly K 72 - K 230.

Přehledná tabulka hodnot měření velikosti prvého rázu kolénka jehly na zámek je uvedena na str. 82 a 83.

Velikost rázové síly N_r různých jehel v drážce č. 1

Měření na válci, zámek jako zvedač, $n=16,5 \text{ l/min.}, \alpha = 50^\circ$

jehla číslo	1. měření		2. měření		3. měření		průměrná hodnota N_r/p
	číslo snímku	N/p	číslo snímku	N/p	číslo snímku	N/p	
1	K 72	1 480	K 73	1 480	--	--	1 480
2	K 74	1 410	K 75	1 390	K 76	1 350	1 383
3	K 77	1 260	K 78	1 290	K 79	1 220	1 257
4	K 80	1 500	K 81	1 300	K 82	1 220	1 340
5	K 83	1 410	K 84	1 450	K 85	1 420	1 427
6	K 86	1 350	K 87	1 360	K 88	1 300	1 337
7	K 89	1 300	K 90	1 320	K 91	1 380	1 333
8	K 92	1 460	K 93	1 450	K 94	1 460	1 457
9	K 95	1 710	K 96	1 700	K 97	1 800	1 737
10	K 98	1 700	K 99	1 650	K 100	1 610	1 653
11	K 101	1 300	K 102	1 310	K 103	1 310	1 307
12	K 104	1 410	K 105	1 380	K 106	1 360	1 383
13	K 107	1 520	K 108	1 500	K 109	1 480	1 500
14	K 110	1 900	K 111	1 840	K 112	1 850	1 863
15	K 113	2 250	K 114	2 180	K 115	1 950	2 126
16	K 116	1 480	K 117	1 320	K 118	1 410	1 403
17	K 119	1 380	K 120	1 400	K 121	1 400	1 393
18	K 122	1 780	K 123	1 950	K 124	1 950	1 893
19	K 125	1 180	K 126	1 120	K 127	1 200	1 567
20	K 128	1 590	K 129	1 580	K 130	1 600	1 590
21	K 131	1 660	K 132	1 710	K 133	1 650	1 673
22	K 134	1 720	K 135	1 710	K 136	1 710	1 713
23	K 137	1 510	K 138	1 550	K 139	1 510	1 523
24	K 140	1 450	K 141	1 500	K 142	1 540	1 497
25	K 143	1 950	K 144	1 950	K 145	1 880	1 927
26	K 146	1 610	K 147	1 510	K 148	1 510	1 543

Cejch J 283 platí pro snímky K 72 - K 88

Cejch K 155 platí pro snímky K 89 - K 148

Velikost rázové síly na různých jehel v dráze č. 1.

Měření na válcovém námečku jako zvedač, n 16,7 $\text{t/min} \times \alpha = 50^\circ$.

Jehla	1. měření		2. měření		3. měření		Prům. hodn. N/p
	číslo snímku	N/p/	číslo snímku	N/p/	číslo snímku	N/p/	
27	K 149	1 690	K 150	1 690	K 151	1 690	1 687
28	K 152	1 340	K 153	1 350	K 154	1 320	1 337
29	K 155	1 580	K 156	1 570	K 157	1 620	1 590
30	K 160	1 310	K 161	1 320	K 162	1 320	1 317
31	K 163	1 490	K 164	1 450	K 165	1 480	1 473
32	K 166	1 600	K 167	1 600	K 168	1 610	1 603
33	K 169	1 460	K 170	1 490	K 171	1 500	1 483
34	K 172	1 600	K 173	1 570	K 174	1 600	1 590
35	K 176	1 620	K 177	1 660	K 178	1 620	1 633
36	K 179	1 500	K 180	1 490	K 181	1 500	1 497
37	K 182	1 860	K 183	1 800	K 184	1 900	1 853
38	K 185	1 450	K 186	1 490	K 187	1 690	1 543
39	K 188	1 800	K 189	1 750	K 190	1 800	1 783
40	K 191	1 300	K 192	1 320	K 193	1 320	1 313
41	K 195	1 450	K 196	1 490	K 197	1 500	1 480
42	K 198	1 700	K 199	1 700	K 200	1 720	1 707
43	K 201	1 950	K 202	1 860	K 203	1 850	1 887
44	K 204	1 720	K 205	1 620	K 206	1 800	1 713
45	K 207	1 500	K 208	1 500	K 209	1 400	1 467
46	K 210	1 500	K 211	1 600	K 212	1 400	1 467
47	K 213	1 480	K 214	1 460	K 215	1 480	1 460
48	K 216	1 600	K 217	1 580	K 218	1 570	1 583
49	K 219	1 740	K 220	1 720	K 221	1 720	1 727
50	K 222	1 900	K 223	1 840	K 224	1 810	1 850
51	K 225	1 800	K 226	1 820	K 227	1 810	1 810
52					K 230	1 500	1 527

Z průměrných hodnot jednotlivých měření vidíme i zde značné kolísání. Kolísání hodnot pro tutéž jehlu je též hlavně způsobeno nedostatečně dlouhým zaběhnutím jehly v drážce. Pro lepší přehlednost jsou průměrné hodnoty jednotlivých měření vynesena do sloupkového diagramu na str. 85.

Velikost rázové normálové síly kolísá v mezích od $N = 1257$ p pro jehlu č. 3, do $N = 2126$ p pro jehlu č. 15. Podíváme-li se přitom na snímky záznamu průběhu normálové síly pro tyto dvě jehly, shledáme, že tento průběh je úplně normální. Velikost normálové síly při uklidněném pohybu jehly po zámku je skoro stejná. Pro jehlu č. 3 je $N_3 = 420$ p a pro jehlu č. 15 je $N_3 = 430$ p. Z uvedeného vyplývá, že speciální podmínky uložení jehly v drážce mohou podstatně ovlivnit velikost prvého rázu, kromě celkových třecích podmínek uložení jehly v drážce lůžka. Lze předpokládat, že kromě časťechných tvarových odchylek jehly (zvláště kolénka) bude to hlavně prohnutí jehly v drážce lůžka a její tuhost uložení v místě kolénka, které způsobí, že ráz kolénka jehly na zámek bude buď tlumen či nikoliv.

Při měření byl udělán zajímavý pokus. Při naletované funkční hraně na snímač byla tato hrana mírně odtržena, avšak tak, že stále držela na snímači. Vzniklá nepatrná mezera mezi funkční hranou a měrnou deskou umožňovala nepatrné odpružení funkční hrany. Při této úpravě snímače se velikost hodnoty prvého rázu snížila asi o 25 %. Z uvedeného vyplývá, že změnou koeficientu tuhosti soustavy jehla - zámek lze dosáhnout podstatného snížení rázové síly, ovšem za předpokladu, že odpružená část bude svou hmotností odpovídат hmotnosti jehly. Z toho též plyne, že jakákoli změna v oblasti uložení kolénka jehly v drážce lůžka má podstatný vliv na velikost prvého rázu.

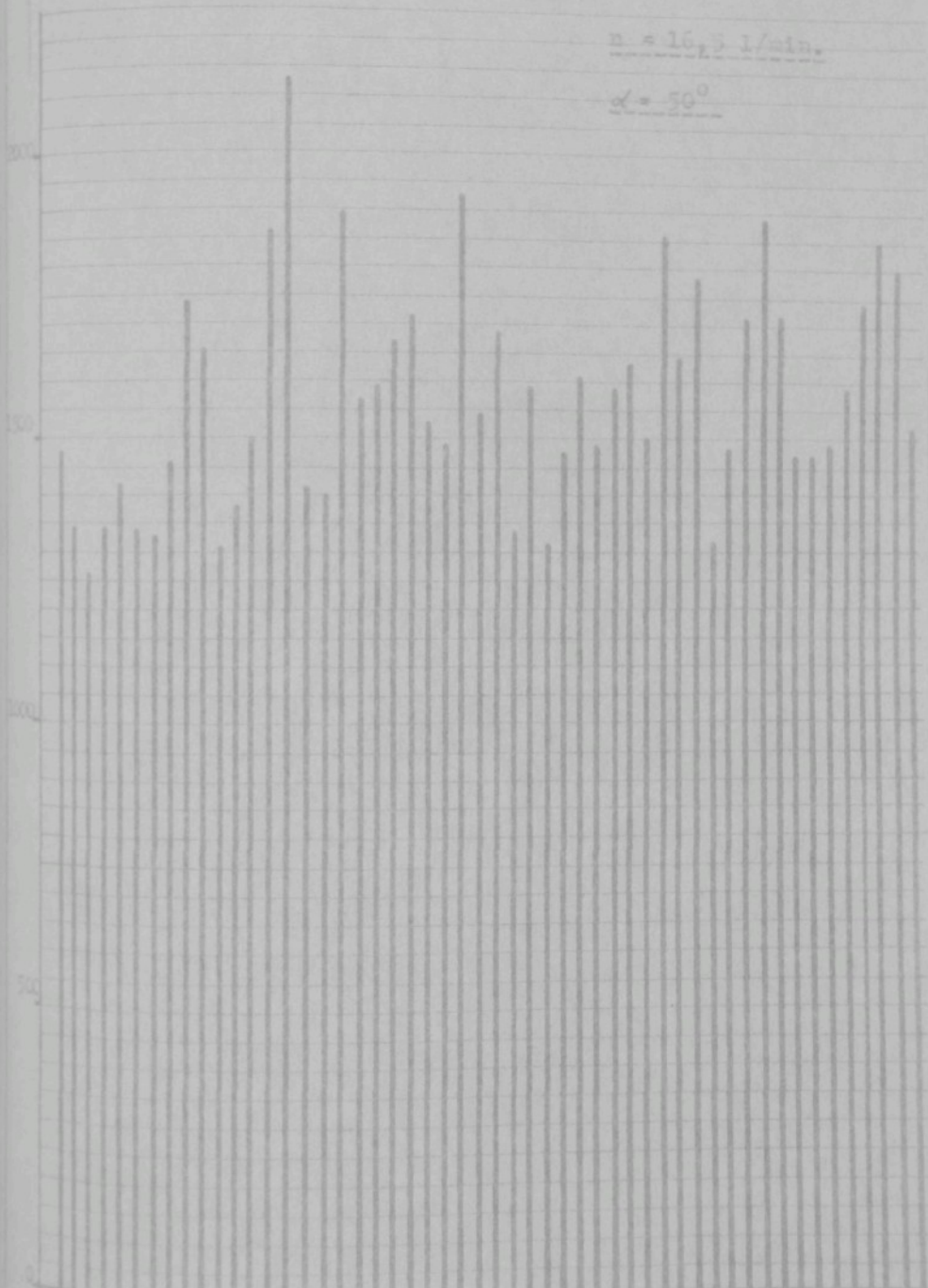
Na tabulce str. 86 jsou vyčísleny hodnoty pro výpočet směrodatné odchylky a variačního koeficientu velikosti prvého rázu.

Velikost rázové síly N_1 různých jehel v drážce č.1.

$\frac{N_1}{N_1^0}$ měření na valci, zámek jeko zvětšen.

$n = 16,5 \text{ l/min.}$

$\alpha = 50^\circ$



Tabulka pro výpočet směrodatné odchylinky.

n	x_i	$x_i - \bar{x}$	$/x_i - \bar{x}/^2$	n	x_i	$x_i - \bar{x}$	$/x_i - \bar{x}/^2$
1	1 480	- 91,4	8 353,96	27	1 687	+115,6	13 363,36
2	1 383	-188,4	35 494,56	28	1 337	-234,4	54 943,36
3	1 257	-314,4	98 347,36	29	1 590	+ 18,6	345,36
4	1 340	-231,4	53 545,96	30	1 317	-254,4	64 719,36
5	1 427	-144,4	20 851,36	31	1 473	- 98,4	9 682,56
6	1 337	-234,4	54 943,36	32	1 603	+ 31,6	998,56
7	1 333	-238,4	56 834,56	33	1 483	- 88,4	7 814,56
8	1 457	-114,4	13 087,36	34	1 590	+ 18,6	345,36
9	1 737	+165,6	27 423,36	35	1 633	+ 61,6	3 794,56
10	1 653	+ 81,6	6 658,56	36	1 497	- 74,4	5 535,36
11	1 307	-264,4	69 907,36	37	1 353	+281,6	79 298,56
12	1 383	-188,4	35 494,56	38	1 543	- 28,4	806,56
13	1 500	- 71,4	5 097,96	39	1 783	+211,6	44 774,56
14	1 863	+291,6	85 030,56	40	1 313	-258,4	66 770,56
15	2 126	+554,6	307 581,16	41	1 480	- 91,4	8 353,96
16	1 403	-168,4	28 358,56	42	1 707	+135,6	18 387,36
17	1 393	-178,4	31 826,56	43	1 687	+315,6	99 603,36
18	1 893	+321,6	103 426,56	44	1 713	+141,6	20 050,56
19	1 567	- 4,4	19,36	45	1 467	-104,4	10 899,36
20	1 590	+ 18,6	345,96	46	1 467	-104,4	10 899,36
21	1 673	+101,6	10 322,56	47	1 480	- 91,4	8 353,96
22	1 713	+141,6	20 050,56	48	1 583	+ 11,6	134,56
23	1 523	- 48,4	2 342,56	49	1 733	+161,6	26 114,56
24	1 497	- 74,4	5 535,36	50	1 850	+287,6	77 617,96
25	1 927	+355,6	126 451,36	51	1 810	+238,6	56 929,96
26	1 543	- 28,4	806,56	52	1 527	- 44,4	1 971,36

Průměrná hodnota prvého rázu:

$$\bar{x} = \frac{\sum^n x_i}{n} = \frac{81711}{52} = \underline{1571,4 \text{ p}}$$

Směrodatná odchylka:

$$S = \sqrt{\frac{1}{n-1} \sum^n (x_i - \bar{x})^2} = \sqrt{\frac{1}{52-1} 1901148,12} = \underline{193,07 \text{ p}}$$

Hodnota variačního koeficientu:

$$v = \frac{S}{\bar{x}} \cdot 100 = \frac{193,07}{1571,4} \cdot 100 = \underline{12,3 \%}$$

Z vypočítané hodnoty vidíme, že i samotné jehly značně ovlivňují velikost prvého rázu. Přestože zde hodnota variačního koeficientu je nižší, než při měření vlivu více drážek na jednu jehlu, musí být při zvyšování otáček pletacích strojů věnována značná pozornost tvarové jednoznačnosti (deformaci) jehel vkládaných do jehelního lůžka.

I pro toto měření bylo provedeno hodnocení normálových sil N_3 působících při ustáleném pohybu jehly po zámku. Na následujících tabulkách na str. 88, 89 a 90 jsou vyčísleny hodnoty těchto sil a současně vypočítány hodnoty pro zjištění variačního koeficientu. Podle poslední tabulky můžeme psát, že průměrná hodnota síly N_3

$$\bar{x} = \frac{\sum^n x_i}{n} = \frac{22160}{52} = \underline{426,2 \text{ p}}$$

Směrodatná odchylka:

$$S = \sqrt{\frac{1}{n-1} \sum^n (x_i - \bar{x})^2} = \sqrt{\frac{1}{52-1} 218028,8} = \underline{65,4 \text{ p}}$$

Hodnota variačního koeficientu:

$$v = \frac{S}{\bar{x}} \cdot 100 = \frac{65,4}{426,2} \cdot 100 = \underline{15,3 \%}$$

Hodnota variačního koeficientu jasně ukazuje na to, že tva-

Velikost normálové síly N_3 různých jehel v drážce č. 1.

$Z = k/l$	1. měření	2. měření	3. měření	Průměrná hodnota N_3 / p/		
	číslo snímku	N_3 / p/	číslo snímku	N_3 / p/	číslo snímku	N_3 / p/
1	K 72	480	K 73	480	--	480
2	K 74	500	K 75	500	K 76	500
3	K 77	420	K 78	420	K 79	420
4	K 80	460	K 81	460	K 82	460
5	K 83	480	K 84	480	K 85	480
6	K 86	390	K 87	390	K 88	390
7	K 89	450	K 90	450	K 91	450
8	K 92	500	K 93	500	K 94	500
9	K 95	440	K 96	440	K 97	440
10	K 98	430	K 99	430	K 100	430
11	K 101	500	K 102	500	K 103	500
12	K 104	500	K 105	500	K 106	500
13	K 107	550	K 108	550	K 109	550
14	K 110	400	K 111	400	K 112	400
15	K 113	430	K 114	430	K 115	430
16	K 116	410	K 117	410	K 118	410
17	K 119	530	K 120	530	K 121	530
18	K 122	350	K 123	350	K 124	350
19	K 125	450	K 126	450	K 127	450
20	K 128	400	K 129	400	K 130	400
21	K 131	400	K 132	400	K 133	400
22	K 134	600	K 135	600	K 136	600
23	K 137	450	K 138	450	K 139	450
24	K 140	490	K 141	490	K 142	490
25	K 143	480	K 144	480	K 145	480
26					K 146	490

Velikost normálové sily N_3 různých jehel v drážce č. 1.

číslo snímku	1. měření		2. měření		3. měření		Průměrná hodnota \bar{N}_3/p
	N_3/p	číslo snímku	N_3/p	číslo snímku	N_3/p	číslo snímku	
27	K 149	560	K 150	560	K 151	560	560
28	K 152	500	K 153	500	K 154	500	500
29	K 155	440	K 156	440	K 157	440	440
30	K 160	460	K 161	460	K 162	460	460
31	K 163	380	K 164	380	K 165	380	380
32	K 166	380	K 167	380	K 168	380	380
33	K 169	390	K 170	390	K 171	390	390
34	K 172	370	K 173	370	K 174	370	370
35	K 176	350	K 177	350	K 178	350	350
36	K 179	340	K 180	340	K 181	340	340
37	K 182	420	K 183	420	K 184	420	420
38	K 185	400	K 186	400	K 187	400	400
39	K 188	300	K 189	300	K 190	300	300
40	K 191	340	K 192	340	K 193	340	340
41	K 195	320	K 196	320	K 197	320	320
42	K 198	400	K 199	400	K 200	400	400
43	K 201	450	K 202	450	K 203	450	450
44	K 204	440	K 205	440	K 206	440	440
45	K 207	390	K 208	390	K 209	390	390
46	K 210	430	K 211	430	K 212	430	430
47	K 213	390	K 214	390	K 215	390	390
48	K 216	440	K 217	440	K 218	440	440
49	K 219	400	K 220	400	K 221	400	400
50	K 222	350	K 223	350	K 224	350	350
51	K 225	380	K 226	380	K 227	380	380
52	K 228	350	K 229	350	K 230	350	350

Tabulka pro výpočet směrodatné odchylky.

n	x_i	$x_i - \bar{x}$	$/x_i - \bar{x}/^2$	n	x_i	$x_i - \bar{x}$	$/x_i - \bar{x}/^2$
1	480	53,8	2 894,4	27	560	138,8	17 902,4
2	500	73,8	5 446,4	28	500	73,8	5 446,4
3	420	- 6,2	38,4	29	440	13,8	190,4
4	460	33,8	1 142,4	30	460	33,8	1 142,4
5	480	53,8	2 894,4	31	380	- 46,2	2 134,4
6	390	- 36,2	1 310,4	32	380	- 46,2	2 134,4
7	450	23,8	566,4	33	390	- 36,2	1 310,4
8	500	73,8	5 446,4	34	370	- 56,2	3 158,4
9	440	13,8	190,4	35	350	- 76,2	5 806,4
10	430	3,8	14,4	36	340	- 86,2	7 430,4
11	500	73,8	5 446,4	37	420	- 6,2	38,4
12	500	73,8	5 446,4	38	400	- 26,2	686,4
13	550	123,8	15 326,4	39	300	- 126,2	15 926,4
14	400	- 26,2	686,4	40	340	- 86,2	7 430,4
15	430	3,8	14,4	41	320	- 106,2	11 278,4
16	310	- 116,2	13 502,4	42	400	- 26,2	686,4
17	530	103,8	10 774,4	43	450	23,8	566,4
18	350	- 76,2	5 806,4	44	440	13,8	190,4
19	450	23,8	566,4	45	390	- 36,2	1 310,4
20	400	- 26,2	686,4	46	430	3,8	14,4
21	400	- 26,2	686,4	47	390	- 36,2	1 310,4
22	600	173,8	30 206,4	48	440	13,8	190,4
23	450	23,8	566,4	49	400	- 26,2	686,4
24	490	63,8	4 070,4	50	350	- 76,2	5 806,4
25	480	53,8	2 894,4	51	380	- 46,2	2 134,4
26	400	- 26,2	686,4	52	350	- 76,2	5 806,4

 $\sum_{i=1}^{i=n}$

$\sum_{i=1}^{i=n} / - - \bar{x}/^2 = 218 028,8$

rová deformace jehel (předpružení jehly v drážce) je velmi odlišná, což vede ke značnému kolísání hodnot normálové síly při ustáleném pohybu jehly po zámku. I zde, když sledujeme průběh normálové síly N_3 u jednotlivých jehel vidíme dosud značné odlišnosti jejího průběhu a znamená to, že jednotlivé jehly se pohybují v drážce s odlišným stykem. Z hodnot tabulky na str. 92, kde jsou uvedeny hodnoty procentní závislosti síly N_3 na velikosti prvého rázu pro jednotlivá měření, vidíme též jejich značné kolísání. To potvrzuje domnění, že velikost prvého rázu je dána nejen předpružením jehly v drážce (tuhostí pohybu), ale skutečně pružností uložení jehly v drážce v oblasti kolénka, jinak by hodnota Z musela být přibližně konstantní.

Index	Prům. hodn. $N_1/p/$	Prům. hodn. $N_3/p/$	Závislost $N_3 \cdot 100\% /$ N_1	Jehla	Prům. hodn. $N_1/p/$	Prům. hodn. $N_3/p/$	Závislost $N_3 \cdot 100\% /$ N_1
1	1 480	480	32,4	27	1 687	560	33,2
2	1 383	500	36,2	28	1 337	500	37,4
3	1 257	420	33,4	29	1 590	440	27,7
4	1 340	460	34,3	30	1 317	460	34,9
5	1 427	480	33,6	31	1 473	380	25,8
6	1 337	390	29,2	32	1 603	380	23,7
7	1 333	450	33,8	33	1 483	390	26,3
8	1 457	500	34,3	34	1 590	370	23,3
9	1 737	440	25,3	35	1 633	350	21,4
10	1 653	430	26,0	36	1 497	340	22,7
11	1 307	500	38,3	37	1 853	420	22,7
12	1 383	500	36,2	38	1 543	400	25,9
13	1 500	550	36,7	39	1 783	300	16,8
14	1 863	400	21,5	40	1 313	340	25,9
15	2 126	430	20,2	41	1 480	320	21,6
16	1 403	310	22,1	42	1 707	400	23,4
17	1 393	530	38,0	43	1 887	450	23,8
18	1 293	350	18,5	44	1 713	440	25,7
19	1 567	450	28,7	45	1 457	390	26,6
20	1 590	400	25,2	46	1 457	430	29,3
21	1 673	400	23,9	47	1 480	390	26,4
22	1 713	600	35,0	48	1 583	440	27,8
23	1 523	450	29,5	49	1 733	400	23,1
24	1 497	490	32,7	50	1 850	350	18,9
25	1 937	480	24,9	51	1 810	380	21,0
26	1 543	400	25,9	52	1 527	350	22,9

4.2.0 Experimentální hodnocení normálových sil mezi kolénkem jehly a zámkem na talířovém lůžku.

Jehla se pohybuje bez příze.

Pro toto hodnocení bylo provedeno měření pouze na talířovém lůžku jen pro krátkou jehlu uvedenou na obr. 18. Měření s dlouhou jehlou nebylo možné s daným snímačem provést, protože konstrukce otočného držáku nedovolila montáž snímače do potřebné polohy na talířovém lůžku.

Protože se celá práce zabývá hlavně základními závislostmi a uložení krátké i dlouhé jehly na talířovém lůžku je v podstatě shodné, nebyl pro měření dlouhých jehel konstruován speciální držák. V podstatě se ani nejedná o dlouhou a krátkou jehlu, nýbrž o stejně dlouhé jehly, jednou s kolénkem na přední části a druhou na zadní části stvolu jehly. Navíc provádime měření bez příze, která by mohla jecině podstatněji svým působením (vysouváním kořene jehly z drážky lůžka) rozlišit silové podmínky na obou jehlách.

4.2.1 Hodnocení prvého rázu kolénka jehly na zámk v závislosti na úhlu zámku a při postavení zámku jako zvedač a stahovač.

Pro hodnocení těchto závislostí byl měněn funkční úhel zámku od $\alpha = 10^\circ$ do $\alpha = 55^\circ$ při třech obvodových rychlostech válce $v_v = 0,9 \text{ m/s}$, $v_v = 0,7 \text{ m/s}$ a $v_v = 0,5 \text{ m/s}$, přičemž obvodové rychlosti kolénka jehly na talíři byly při těchto rychlostech $v_t = 0,84 \text{ m/s}$, $v_t = 0,65 \text{ m/s}$ a $v_t = 0,46 \text{ m/s}$. Úhel α byl volen jen do 55° , protože úhel $\alpha = 60^\circ$ byl pro soustavu jehla - zámek na talíři samosvorný. Pro každé nastavení byly i zde provedeny tři záznamy, z nichž je brán pro hodnocení průměr.

Pro závislost rázové síly N na úhlu zámku při jeho postavení jsou uvedeny sloužící snímky L 135 - L 208. Pro postavení

zámku jako stahovač platí snímky L 210 - L 272. Příslušná čísla cejchů jsou uvedena pod tabulkami.

Tabulka závislosti rázové sily N , na úhlu zámku při jeho postavení jako zvedač je na str. 95. Průměrné hodnoty této tabulky jsou vyneseny do grafu na str. 96. Porovnáme-li maximální hodnotu rázové sily při úhlu zámku $\alpha = 55^\circ$ a rychlosti válce $v_v = 0,9 \text{ m/s}$, (odpovídá skutečné rychlosti kolénka talířové jehly $v_t = 0,84 \text{ m/s}$) s hodnotou rázové sily, při těchže podmínkách na válci zjistíme, že velikost rázové sily N , je na talířovém lůžku větší. Dalo se to předpokládat, protože jehly talířového lůžka byly u měřeného stroje do drážek vloženy s podstatně větším přepružením, než jehly válcové. Též úhel samosvornosti zámku byl na talířovém lůžku kolem 60° a proto jsou měření prováděna jen pro úhel $\alpha = 55^\circ$. Z hodnot tabulky vidíme klesající charakter hodnot rázové sily v závislosti na úhlu zámku. Podíváme-li se však na graf vidíme, že jednotlivé body jsou pro příslušné rychlosti velmi rozptýlené a nelze je proložit plynulou křivkou. Proto byly jednotlivé body grafu spojeny úsečkami. Iz tohoto spojení vyplývá exponenciální charakter průběhu normálové sily, který teoreticky musí vyjít, protože silové poměry na válcovém i talířovém lůžku jsou obdobné. Čím lze však vysvětlit tak extrémní kolísání hodnot rázové sily od předpokládaného průběhu? Poměry při nastavování snímače vůči talíři a kolénku jehly byly shodné jako u válcového lůžka a přesto měření vykazuje tak velké odchylky jednotlivých hodnot, že je nelze proložit plynulou křivkou. Musí zde existovat příčina, která se nevyskytovala při měření na válcovém lůžku. Podíváme-li se na záznamy normálové sily pro menší úhly než $\alpha = 25^\circ$, zjistíme naprostě nerovnoměrný průběh normálové sily po celou dobu styku kolénky jehly se zámkem. Naopak u záznamů pro větší úhly (nad $\alpha = 30^\circ$) je průběh normálové sily při ustáleném pohybu kolénka jehly po zámku velmi klidný (příloha svazek 5a, 6). Je to způsobeno tím, že při malých úhlech zámku je jehla činnou hranou zámku vyzvedávána za kolénko z dráhy lůžka a smýká se svým stvolem po čele funkce hrany zámku, čímž ho rozkmitává. Z tohoto

Závislost rázové síly N na úhlu sámku.

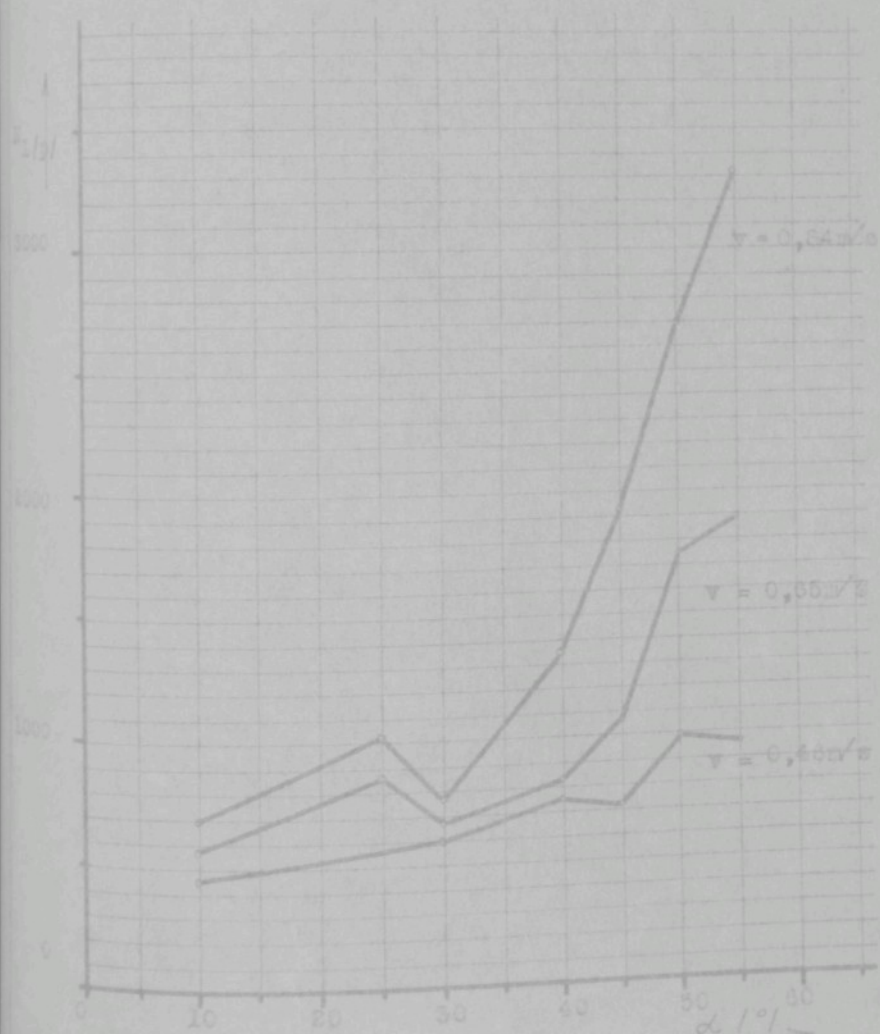
Měření na talíři, sámek jako zvedač.

úhel sámky α / °	1. měření		2. měření		3. měření		Průměrná hodnota N _f / p /
	číslo snímku	N _f / p /	číslo snímku	N _f / p /	číslo snímku	N _f / p /	
55	L 135	3 400	L 136	3 400	L 137	3 350	3 383
50	L 150	2 700	L 151	2 750	L 152	2 710	2 720
45	L 153	1 940	L 154	1 950	L 155	1 950	1 947
40	L 168	1 350	L 169	1 310	L 170	1 380	1 347
40	L 173	1 320	L 174	1 390	L 175	1 390	1 367
30	L 188	770	L 189	780	L 190	750	767
20	L 191	1 050	L 192	1 020	L 193	1 040	1 037
10	L 206	720	L 207	680	L 208	700	700
55	L 138	1 860	L 139	1 960	L 140	1 880	1 900
50	L 147	1 700	L 148	1 810	L 149	1 750	1 753
45	L 156	1 130	L 157	1 110	L 158	1 050	1 097
40	L 165	850	L 166	800	L 167	820	823
40	L 176	810	L 177	820	L 178	830	820
30	L 185	700	L 186	700	L 187	690	697
20	L 194	900	L 195	900	L 196	890	896
10	L 203	600	L 204	550	L 205	590	580
55	L 141	1 000	L 142	1 000	L 143	980	993
50	L 144	1 000	L 145	1 000	L 146	1 000	1 000
45	L 159	710	L 160	730	L 161	750	730
40	L 162	800	L 163	760	L 164	780	780
40	L 179	520	L 180	600	L 181	600	573
30	L 182	600	L 183	610	L 184	620	610
20	L 197	--	L 198	--	L 199	--	--
10	L 200	480	L 201	460	L 202	460	467

Cejch L 171 platí pro snímky L 135 - L 170

Závislost rázové síly N_1 na délce zámku.

Měření na talfíři, zámek jako zvedač.



faktu vyplývá, že i při větších funkčních úhlech zámku pravděpodobně neleží jehla svým hřbetem na dně drážky, ale je částečně zvednutá. A to zcela libovolně v závislosti na úhlu a speciálních podmínkách nastavení funkční hrany zámku vůči kolénku jehly. Protože postavení zámku k lůžku je provedeno s vúlí až do 0,5 mm, může se i jehla o tuto hodnotu z lůžka vysunout, aniž se dotýká svým stvolem o čelo zámkové hrany. Tím se ovšem zásadně mění podmínky uložení jehly a tím i velikost síly N_p . Proto hodnoty jejího průběhu v grafu netvoří plynulou závislost.

Podklady pro hodnocení prvého rázu v závislosti na úhlu zámku a nastavení zámku jako stahovač je uvedeno na tabulce a grafu str. 98 a 99. Z průběhu uvedeného grafu můžeme konstatovat, že i při tomto měření platí všechny úvahy a vývody jako pro předcházející měření, ve kterém pracoval zámek jako zvedač. Dříve uvedené skutečnosti a předpoklady vedou též k tomu, proč některé hodnoty jsou při stahování a zvedání jehly při stejných rychlostech a úhlù značně odlišné. Pokud se týká odstředivé síly, je její hodnota příliš malá, než aby mohla ovlivnit velikost normálové síly při zvedání (vysouvání jehly z lůžka) nebo stahování (zasouvání jehly do lůžka) jehly. Je zajímavé, že při stahování jehly se začíná objevovat zvedání jehel až na čelní hrani zámku již při úhlù $\alpha = 30^\circ$ (viz příloha svazek 6, snímky L 247 - L 272).

4.2.2 Hodnocení rázové síly v závislosti na otáčkách talíře.

Toto měření bylo provedeno jen pro postavení zámku jako zvedač, protože lze předpokládat, že by měření při zámku pracujícím jako stahovač nepřineslo žádné podstatné závěry a měření jsou navíc natolik pracná, že bylo toto měření vynecháno.

Jak vyplývá z tabulky na str. 100 byla sledována ve-

Závislost rázové síly N_t na úhlu zámku.

Měření na talíři, zámek jako stavební.

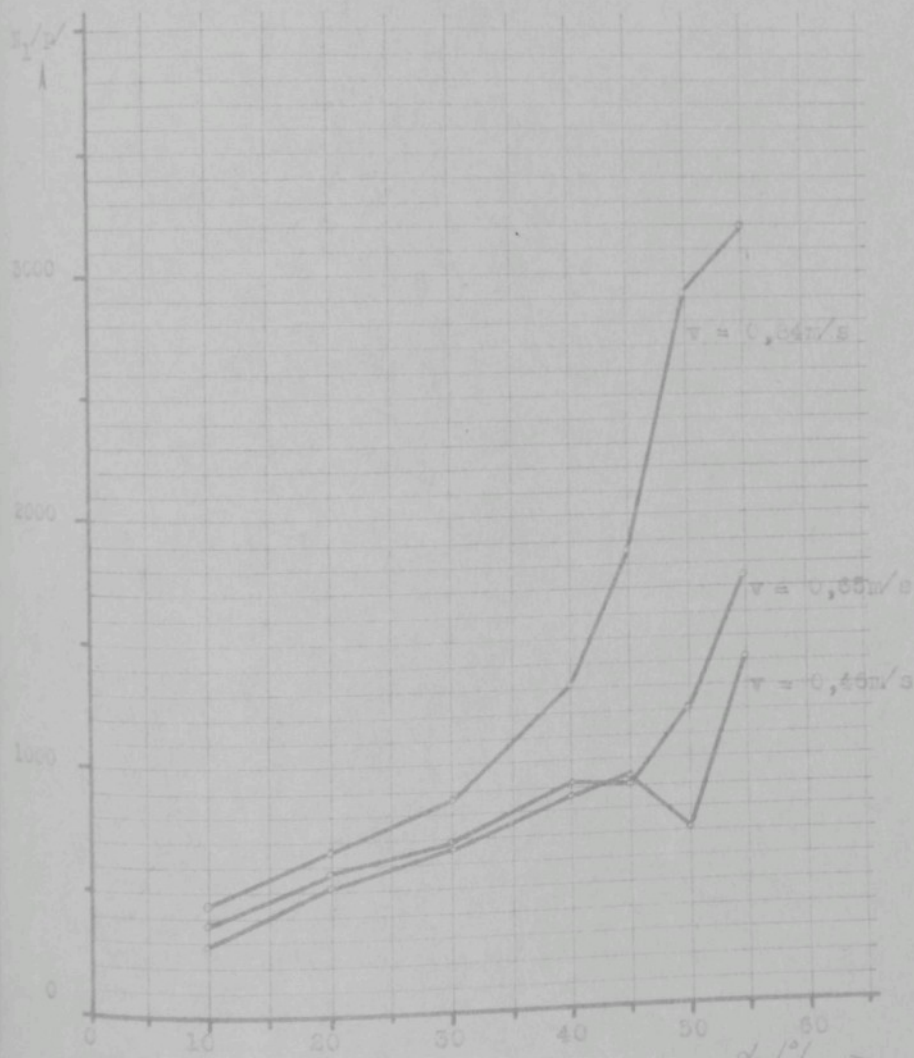
$\alpha /^\circ$	1. měření		2. měření		3. měření		Průměrná hodnota N_t / p
	číslo snímku	N_t / p	číslo snímku	N_t / p	číslo snímku	N_t / p	
55	L 210	3 200	L 211	3 300	L 212	3 100	3 200
50	L 225	3 000	L 226	3 000	L 227	2 780	2 927
45	L 228	1 900	L 229	1 820	L 230	1 900	1 873
40	L 243	1 360	L 244	1 250	L 245	1 300	1 303
30	L 247	880	L 248	860	L 249	860	866
20	L 261	680	L 262	660	L 263	670	670
10	L 264	460	L 265	450	L 266	470	460
55	L 213	1 750	L 214	1 700	L 215	1 800	1 750
50	L 222	1 200	L 223	1 200	L 224	1 200	1 200
45	L 231	920	L 232	910	L 233	910	913
40	L 240	920	L 241	920	L 242	920	920
30	L 250	710	L 251	700	L 252	710	707
20	L 258	580	L 259	590	L 260	610	593
10	L 267	380	L 268	380	L 269	360	373
55	L 216	1 450	L 217	1 400	L 218	1 400	1 417
50	L 219	750	L 220	700	L 221	720	723
45	L 234	950	L 235	960	L 236	930	947
40	L 237	900	L 238	900	L 239	890	897
30	L 253	700	L 254	--	L 255	700	700
20	L 2558	500	L 256	510	L 257	500	503
10	L 270	270	L 271	300	L 272	300	290

Cejch L 246 platí pro snímky L 210 - L 245

Cejch L 273 platí pro snímky L 247 - L 272

Závislost rázové síly N_1 na úhlu zámku.

Měření na televizi, zámek jsko stahovač.



Závislost rázové síly N_1 na otáčkách talíře.

Výření na talíři, zámek jako zvedač.

Počet snímků zv	n γ_{min}	1. měření		2. měření		3. měření		Průměrná hodnota N_1/p
		číslo snímku	N/p/	číslo snímku	N/p/	číslo snímku	N/p/	
γ = 50°	22	L 71	4 200	L 72	4 230	L 73	4 100	4 177
	20	L 74	3 550	L 75	3 460	L 76	3 400	3 470
	18	L 77	2 550	L 78	2 700	L 79	2 650	2 633
	16	L 80	1 810	L 81	2 100	L 82	1 980	1 963
	14	L 83	1 580	L 84	1 580	L 85	1 590	1 583
	12	L 86	1 300	L 87	1 260	L 88	1 260	1 280
	10	L 89	1 080	L 90	1 210	L 91	1 090	1 127
	22	L 110	3 450	L 111	3 280	L 112	3 350	3 360
γ = 60°	20	L 107	2 620	L 103	2 780	L 109	2 750	2 717
	18	L 104	2 180	L 105	2 000	L 106	2 100	2 093
	16	L 101	1 740	L 102	1 630	L 103	1 650	1 677
	14	L 98	1 200	L 99	1 260	L 100	1 220	1 227
	12	L 95	1 100	L 96	1 380	L 97	1 480	1 320
	10	L 92	1 090	L 93	1 090	L 94	1 080	1 087
	22	L 113	2 200	L 114	2 290	L 115	2 390	2 293
	20	L 116	1 800	L 117	2 000	L 118	1 800	1 867
γ = 70°	18	L 119	1 450	L 120	1 290	L 121	1 320	1 353
	16	L 122	1 000	L 123	1 190	L 124	1 100	1 097
	14	L 125	920	L 126	920	L 127	920	920
	12	L 128	900	L 129	920	L 130	950	923
	10	L 131	800	L 132	800	L 133	900	833

likost rázové síly při otáčkách talíře v rozmezí
 $n = 10 - 22 \text{ ot/min}$ pro tři různé úhly zámku $\alpha = 55^\circ$,
 $\alpha = 50^\circ$, $\alpha = 45^\circ$. Snímky pro tato měření jsou uvedeny
v příloze svazek 5 pod čísla L 71 - L 133. Průměrné hodno-
ty jednotlivých měření jsou vyneseny do grafu na str. 102.
I zde jsou jednotlivé hodnoty propojeny úsečkami a nejsou
proloženy třemi přímkami, které by odpovídaly předpokláda-
nému průběhu, protože nelze naměřenými hodnotami zcela
objektivně přímky proložit.

Velikost odchylek naměřených hodnot od předpokládaného
průběhu vede i zde k závěru, že uložení nadzvednuté jehly
v lůžku je závislé i na otáčkách stroje. Možno též celkově
říci, že uložení jehel na talířovém lůžku je velmi nejed-
noznačné.

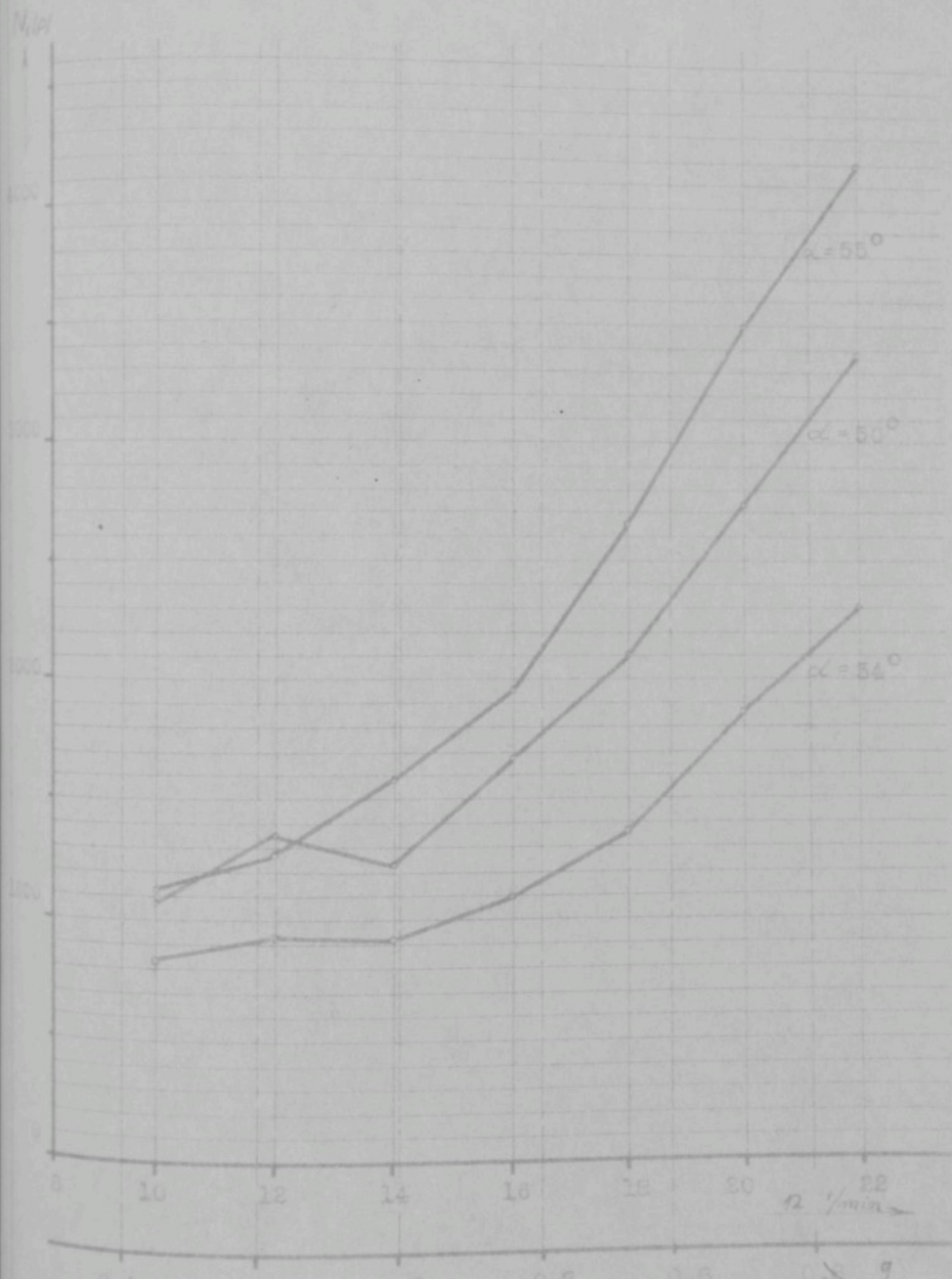
4.2.3 Hodnocení průběhu normálové síly po prvním rázu.

Z fotografií osciloskopických záznamů pro talířové
lůžko možno konstatovat, že průběh normálové síly po prvním
rázu je u talířového lůžka vyrovnanější než u lůžka válcového.
Tuto skutečnost lze zdůvodnit tím, že přestože jsou
drážky obou lůžek frézované, tedy v podstatě stejné jakos-
ti, jsou drážky talíře lůžka mnohem méně opotřebeny. I když
žákovový stroj, na kterém bylo měření prověděno, není pří-
liš starý, není opotřeben příliš dlouhodobým provozem,
vykazují drážky válcového lůžka hlavně povrchové nerovnosti
v místech, kde se odvalují vzorovací kotouče. Toto naruše-
ní drážek se pak nutně musí objevit na plynulosti průběhu
normálové síly. Též přítlač pružin na válcovém lůžku
znerovnoměrněji pochyb jehel.

Mohla by též vzniknout námitka, že uvedený stav může způ-
sobit různý tvar jehel válcových (tažené) a talířových
(ražené). Z tohoto důvodu byly do jedné drážky válcového
lůžka vloženy při měření tři jehly válcové a tři jehly
talířové. Subjektivně bylo hodnoceno, že všechny použité
jehly byly srovnatelně stejně těžce. Obvo-

Závislost rázové sily N_1 na otáčkách talíře.

Měření na talíři, zámek jako zvedač.



dová rychlosť válce byla při tomto měření $v = 0,7 \text{ m/s}$, zámek pracoval jako zvedač při úhlbu $\alpha = 50^\circ$. Záznamy měření jsou uvedeny v příloze svazek 6 pod čísly M 52 - M 69. Z těchto snímků můžeme konstatovat, že průběh normálové síly mezi kolénkem a zámkem je u talířových jehel vysazených do válcového lůžka spíše ještě nerovnoměrnější než u jehel válcových. Tedy jasně se projevil vliv poškozeného stavu drážek lůžka. Navíc zde pak bylo zjištěno, že uklidnění pohybu jehly u talířových (ražených) jehel je mnohem delší a rozkulisenější, než u jehel válcových (tažených). Protože kolénko tažené jehly je určitě pružnější, než kolénko jehly ražené, souhlasí tento výsledek již z dříve uvedenými závěry o vlivu pružnosti jehly v oblasti kolénka na průběh prvého rázu. Na níže uvedené tabulce je provedeno srovnání normálových sil prvého rázu pro toto měření, kde v posledním sloupci této tabulky jsou uvedeny průměrné hodnoty normálové síly při ustáleném pohybu kolénka jehly po zámku.

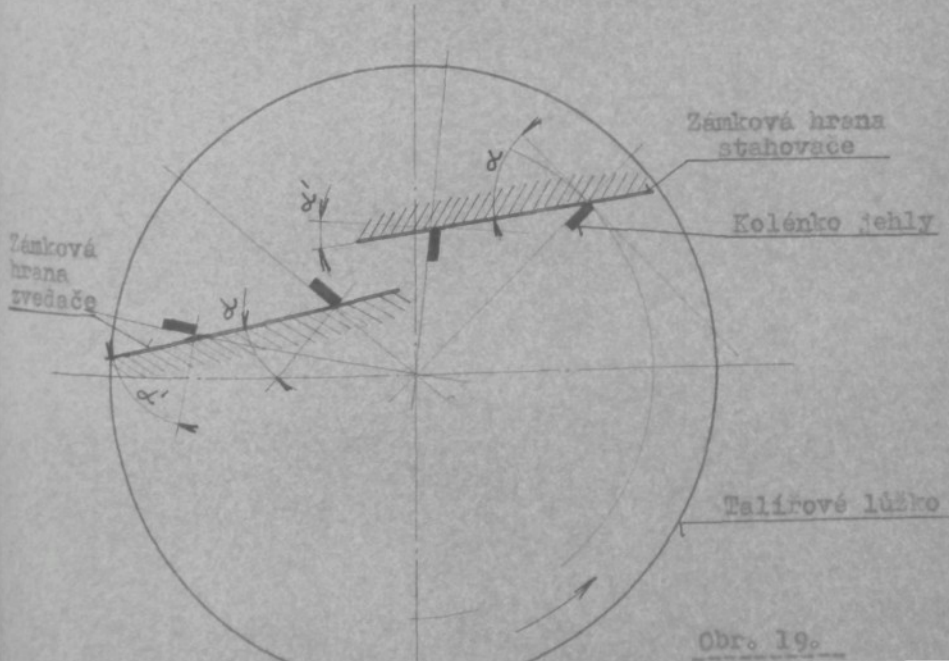
Velikost rázové síly N_1 a ustálené síly N_3 .

Druh jehly	1.měření číslo snímku	$N_1/\text{p}/$	2.měření číslo snímku	$N_1/\text{p}/$	3.měření číslo snímku	$N_1/\text{p}/$	Prům: $N_1/\text{p}/$	$N_3/\text{p}/$
VÁLCOVÉ	A	M 52	2 100	M 53	2 100	M 54	2 080	2 093
	B	M 55	2 550	M 56	2 650	M 57	2 680	2 627
	C	M 58	1 980	M 59	1 990	M 60	1 980	1 973
TALÍŘOVÉ	A	M 61	2 250	M 62	2 260	M 63	2 240	2 250
	B	M 64	2 500	M 65	2 660	M 66	2 600	2 587
	C	M 67	2 600	M 68	2 550	M 69	2 500	2 550

I z těchto hodnot (až na hodnoty válcové jehly B) vyplývá vliv pružnosti jehly v oblasti kolénka na velikost prvého razu. Přesto, že hodnota síly N_3 je v průměru u talířových jehel nižší, je zde průměrná hodnota rázové síly vyšší, tedy naopak než u jehel válcových.

Tímto srovnáním bych však v žádném případě nechtěl vzbudit jednoznačný dojem, že tažené jehly jsou pro platařské stroje jednoznačně lepší než jehly ražené. Takovéto hodnocení jehel by si vyžádalo daleko podrobnější průzkum zaměřený na celou řadu dalších aspektů a mělo by patrně dost značný význam.

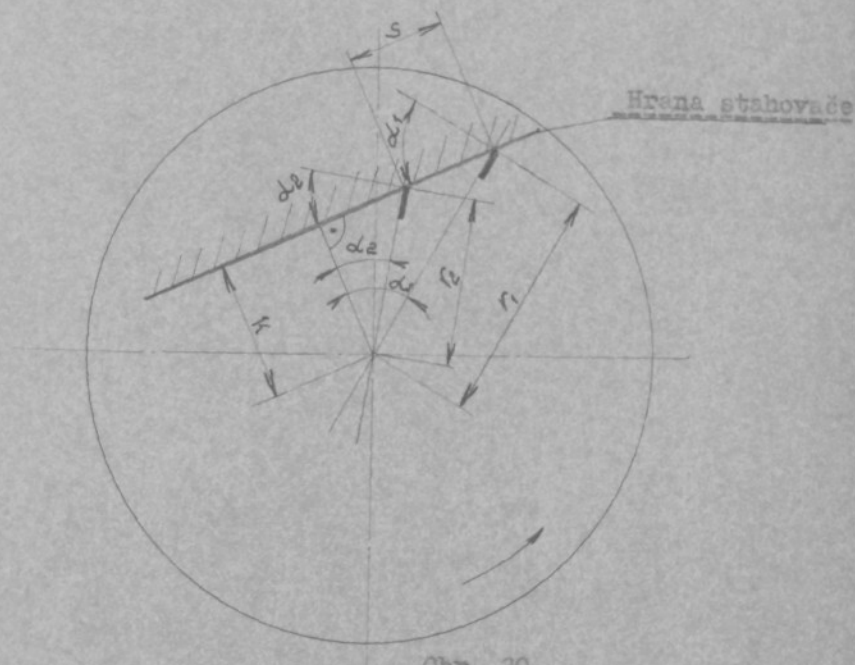
Když se podíváme opět na měření normálových sil na talířovém lůžku, měli bychom při zámku postaveném jako zvedač najít stoupající charakter normálové síly při ustáleném pohybu jehly po zámku a naopak při stahování klesající charakter této síly, protože se mění při posuvu kolénka po přímkové funkční hraničné zámku velikost skutečného funkčního úhlu. Uvedený stav nastává jen na talířovém lůžku a je znázorněn na obr. 19.



Obr. 19.

Z obrázku jasné vyplývá, že na přímkovém zvedači roste funkční úhel s posuvem jehly, u přímkové zámkové hrany postavené jako stahovač je to právě nacpat a funkční úhel s posuvem jehly klesá.

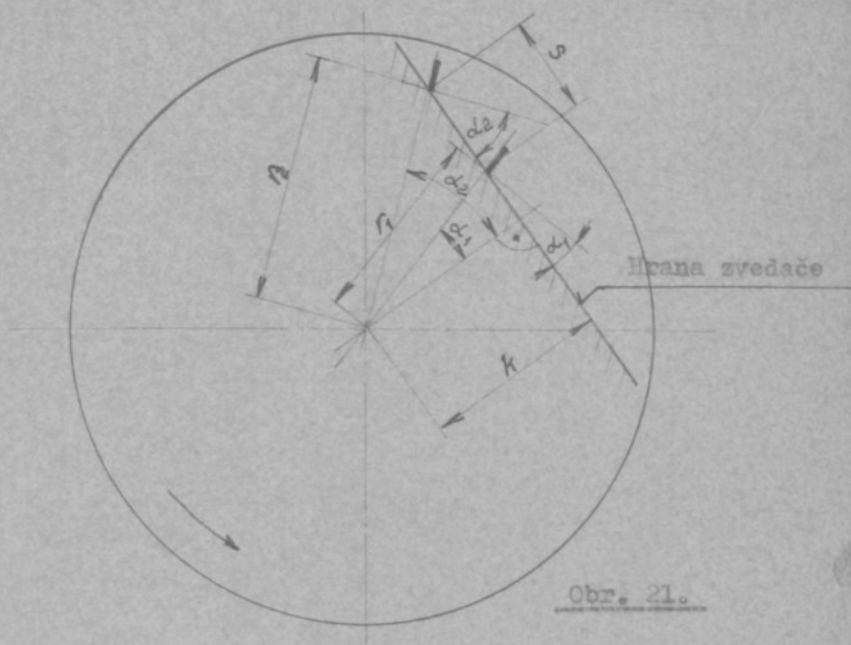
Abychom mohli číselně vyjádřit, k jakým změnám funkčního úhlu skutečně při stahování a zvedání jehly dojde, jsou dále odvozeny příslušné teoretické vztahy. Podle obr. 20, na kterém je znázorněna přímková funkční hrana jako stahovač platí:



Obr. 20.

$$\cos \alpha_2 = \frac{k}{l^2} = \frac{r_1 \cos \alpha_1}{\sqrt{r_1^2 + s^2 - 2r_1 s \sin \alpha_1}}$$

Pro měřímkovou funkční hranu, která je postavena jako zvedač, platí podle obr. 21



$$\cos \alpha_2 = \frac{k}{r_2} = \frac{r_1 \cos \alpha_1}{\sqrt{r_1^2 + s^2 + 2r_1 s \sin \alpha_1}}$$

Prověďme nyní podle těchto odvozených vzorců skutečný výpočet změny úhlu α pro podmínky, které byly při měření. Při měření, které bylo prováděno na tlifovém lůžku v postavení zámku jako zvedač a stahovač, bylo:

$$r_1 = 379 \text{ mm},$$

$$s = 14 \text{ mm},$$

α bylo při měření měněno v rozmezí $10^\circ - 55^\circ$. Výpočet je však proveden jen pro dva úhly $\alpha = 55^\circ$ a $\alpha = 30^\circ$.

Pro zámek v postavení jako zvedač při pracovním úhlu $\alpha_1 = 55^\circ$ pak platí:

$$\cos \alpha_2 = \frac{r_1 \cos \alpha_1}{\sqrt{r_1^2 + s^2 + 2r_1 s \sin \alpha_1}} = \frac{379 \cdot 0,574}{\sqrt{379^2 + 14^2 + 2 \cdot 379 \cdot 14 \cdot \sin 55^\circ}} =$$

$$= \underline{0,55698}$$

$$\cos \alpha_2 = 0,55698; \quad \alpha_2 = 56^\circ 09'$$

$$\text{Změna úhlu } |\Delta\alpha|_{55^\circ} = \alpha_2 - \alpha_1 = 56^\circ 09' - 55^\circ = \\ = \underline{1^\circ 09'}$$

Pro zámek v postavení jako stahovač při pracovním úhlu $\alpha_1 = 55^\circ$ platí:

$$\cos \alpha_2 = \frac{r_i \cos \alpha_1}{\sqrt{r_i^2 + s^2 - 2r_i \cdot s \cdot \sin \alpha_1}} = \frac{379 \cdot 0,574}{\sqrt{379^2 + 14^2 - 2 \cdot 379 \cdot 14 \cdot \sin 55^\circ}} = \\ = \underline{0,59168}$$

$$\alpha_2 = 53^\circ 43'$$

$$|\Delta\alpha|_{55^\circ} = 1^\circ 17'$$

Provedeme-li stejný výpočet pro pracovní úhel $\alpha_1 = 30^\circ$ v postavení zámku jako zvedače a stahovače, obdržíme tyto hodnoty. Při postavení zámku jako zvedače je změna úhlu

$$|\Delta\alpha|_{30^\circ} = 1^\circ 49'$$

při postavení zámku jako stahovače je tato hodnota

$$|\Delta\alpha|_{30^\circ} = 1^\circ 51'$$

Z vypočítaných hodnot je zřejmé, že v případě měření silových poměrů na talířovém lůžku docházelo ke změnám úhlu maximálně do 2° . Podíváme-li se na hodnoty normálové sily vždy v rozmezí pochodu kolénka jehly po zámku pro vál-

cové lůžko (síla N_3) shledáme, že změna úhlu o 2° by měla být patrná na záznamu měření jak při pracovním úhlu zámku $\alpha = 30^\circ$ i $\alpha = 55^\circ$. Na vlastních záznamech měření však tendence zmenšování či zvětšování normálové síly N_3 při ustáleném průběhu kolénka jehly po zámku není patrná a u některých snímků vychází tato změna síly N_3 úplně opačně proti teoretickému zdůvodnění. Tuto anomálii lze vysvětlit, jak už bylo dříve řečeno, tím, že poloha jehly v drážce talířového lůžka je velmi nejednotná a proměnná (jehla neleží na dně drážky lůžka). Těž podle subjektivního zjištění se talířové jehly nepohybují v každém místě drážky se stejným odporem. Tyto skutečnosti měly za následek, že nebylo možné změřit předpokládaný charakter průběhu normálové síly N_3 .

Další podrobnější měření u talířového lůžka nebyla dále prováděna v obdobném sledu jako u lůžka válcového, protože by nemělo smysl proměřovat silové poměry při tak nejednotném uložení jehel v drážce lůžka. Tento nedostatek je zapotřebí v prvé řadě odstranit, abychom při návrhu druh zámků na talířovém lůžku měli vždy jednotné poměry, ze kterých by bylo možné s jistotou vycházet. Dále je možno konstatovat, že další měření, která byla na válcovém lůžku prováděna, lze aplikovat na lůžko talířové, kde silové poměry jsou (zanedbáme-li nejednotné uložení jehel v drážce lůžka) ovlivněny jen změnou funkčního úhlu při zvedání či stahování jehly, jak bylo dříve odvozeno,

Je důležité si povšimnout u jehel talířového lůžka té skutečnosti, že jehly zde musí být vkládány do jehelního lůžka s určitým předpružením, aby se zabránilo samovolnému posuvu jehel v drážce. Tento případ může nastat i u válcového lůžka, kde někdy radiálními pružinami nelze samovolnému posouvání jehel a po př. platin zamezit. Předpružení jehel se provádí ve většině případů u pletacích strojů (kromě jehel na jemné jednoválcové stroje) ručně a je tedy značně subjektivně ovlivněno pracovníkem,

Při měření však bylo zjištěno, že malá změna v předpružení jehly má velmi podstatný vliv na silové poměry mezi zámkem a koclénkem jehly, kde síly u různě předpružených jehel se pohybují až ve 100 % odcihylkách, i když se při subjektivní kontrole tuhosti pohybu jehly v drážce lůžka zdá, že jejich odpor proti posuvu je stejný. Bylo by tedy velmi potřebné, aby i jehly těchto hrubých strojů byly předpružovány mechanicky na konstantní vhodně zvolenou hodnotu, aby se zabránilo zbytečnému nadmernému spotřebování jak jehel, tak zámků, snížil se tím i příkon elektrického proudu pro pletací stroj a v neposlední míře se též mnohdy zabránilo předčasné havárii jehly, ke kterému by při správném předpružení jehly nemuselo dojít.

4.3 Celkové shrnutí výsledků kapitoly 4.0.0.

Závěrem kapitoly experimentálního výzkumu normálových sil mezi koclénkem jehly a zámkem na válcovém a talířovém lůžku, při jehle pracující bez příze, je možné získané poznatky shrnout do následujících bodů.

1. Průběh velikosti normálové sily v závislosti na úhlu zámku je exponenciální. Tak např. u válcového lůžka snížením úhlu zámku z $\alpha = 60^\circ$ na $\alpha = 30^\circ$, t. j. o 50 %, sníží se velikost prvého rázu u rychlosti válce 0,9 m/s asi 10 x, velikost druhého rázu asi 6 x a velikost ustálené normálové sily asi 4 x. Hodnota funkčního úhlu zámku ovlivňuje tedy velmi podstatně hlavně velikost rázových sil.

2. Průběh závislosti normálových sil prvého rázu na otáčkách pletacího stroje je přímkový. Při vzhledu obvodové rychlosti koclénka jehly na válcovém lůžku z $v = 0,45$ m/s na 0,9 m/s vzroste velikost prvé rázové sily pro úhel $\alpha = 55^\circ$ asi 2,57 x, pro úhel $\alpha = 50^\circ$ asi 2,40 x a pro úhel $\alpha = 45^\circ$ asi 2,37 x. Z uvedených údajů vyplývá, že směrnice přímek udávajících závislost $N = f(v)$ se při zvětšování funkčního úhlu mírně zvětšují. Teoreticky by měly všechny tyto přímky procházet jedním společným bodem.

3. Z výsledků měření bylo zjištěno, že uložení talířových jehel v drážce talířového lůžka je velmi nejednoznačné, jehly se přesobením zámků nadzvedávají v drážce do různých poloh. Tato skutečnost nepříznivě ovlivňuje silové poměry mezi jehlou a zámkem, posuv jehly je v drážce neklidný a má samozřejmě vliv i na rovnoměrnost pleteniny, protože poloha héciku jehly se výškově proti lůžku mění.

4. Předpružení jehel, se kterým jsou jehly vkládány do lůžek, může podstatně ovlivnit silové poměry mezi koclénkem jehly a zámkem. Mírným zvýšením předpružení může dojít ke zvýšení normálových sil až o 100 %. Bylo by vhodné i u strojů s hrubším dělením provádět předpružení mechanicky na konstantní hodnotu.

5. Na rázovou sílu mezi kolénkem jehly a zámkem má podstatný vliv tuhost zámkové hrany v místě nárazu a tuhost jehly v oblasti kolénka.

6. Při ustáleném rovnoměrném pohybu kolénka jehly po zámku nezávisí velikost normálové síly na obvodové rychlosti stroje.

7. Velikost normálových sil mezi kolénkem jehly, která nezatahuje, a zámkem s přímkovou funkční hranou je u valcového lůžka při stejném úhlu zámku a stejné obvodové rychlosti v podstatě stejná jak při stahování jehly, tak při jejím zvedání. Platí to samozřejmě jen v tom případě, že je jádro drážky jehelního lůžka po celé délce, po které se pohybuje jehla, stejná.

8. Závěry předcházejícího bodu platí samozřejmě i pro talířové lůžko, jocou-li výchozí podmínky při zvedání a stahování jehly stejné. Při posuvu kolénka jehly po přímkové funkční hraně talířového zámku zde dochází ke změně pracovního úhlu α . Tato změna úhlu, hlavně u pletařských strojů se středním a malým poloměrem, nabývá velmi značných hodnot. Při stahování jehly se pracovní úhel v průběhu jejího pohybu zmenšuje, naopak při zvedání jehly se zvyšuje.

9. Velikost normálových sil je též značně ovlivňována postavením zámku vůči kolénku jehly, t. j. jeho vzdálenosti od lůžka a příčného sklonu funkční hrany, což obojí má vliv na změnu stykacího bodu kolénka se zámkem. Tento vliv se v obměněné formě hlavně vyskytuje na talířovém lůžku, kde naopak dochází k samovolné změně polohy kolénka vůči zámku; jehla se samovolně nadzvedává. U jehly, která by pracovala, dochází ke zvedání jen zadní části jehly, protože hlava jehly je tažena do spodní polohy očkem pleteniny, která na ní visí. V důsledku nejednotného uložení jehel v drážkách talířového lůžka dochází ke značným změnám hodnot normálových sil proti předpokládané hodnotě.

10. Protože při rázovém styku kolénka jehly se zámkem dochází k jeho odskoku od zámku, je pro návrh zámkových drážek kolénka jehly, aby byla

zajištěna při konstrukci zámku potřebná vůle mezi protizámkem, na který by kolénko jehly nemělo při odskoku narazet.

11. Základním předpokladem pro úspěšné řešení nových zámkových drah pro pletací stroje, které mají pracovat s vyššími rychlostmi, je odstranění, popř. podstatné snížení rázu kolénka jehly na zámek. Nelze-li náběhové úhly zámku udělat nulové, neměla by jejich hodnota přesahovat 10° . Při tomto úhlu je hodnota rázové síly únosná a podstatně nepřevyšuje hodnotu normálové síly při ustáleném pohybu kolénka jehly po zámku. Při náběhovém úhlu $\alpha = 10^\circ$ lze konstrukčně též splnit požadavek na svislý pohyb stahovače, nutný pro změnu hustoty pleteniny.

5.0 Vliv drsnosti povrchu funkční hrany zámku na velikost normálové síly a hodnotu koeficientu tření mezi kolénkem jehly a zámkem.

Při sledování silových poměrů mezi kolénkem jehly a zámkem je nutné ověřit, jakým vlivem se podílí na těchto silových poměrech drsnost povrchu funkční hrany zámku. Pro toto měření bylo zhotoveny pět druhů zámků s různou drsností funkční hrany od $0,1 \mu\text{m}$ do $1,6 \mu\text{m}$. Zdrsnění bylo provedeno ručně, subjektivně pod stereomikroskopem podle normál vyrobených n. p. Zbrojovka Vsetín.

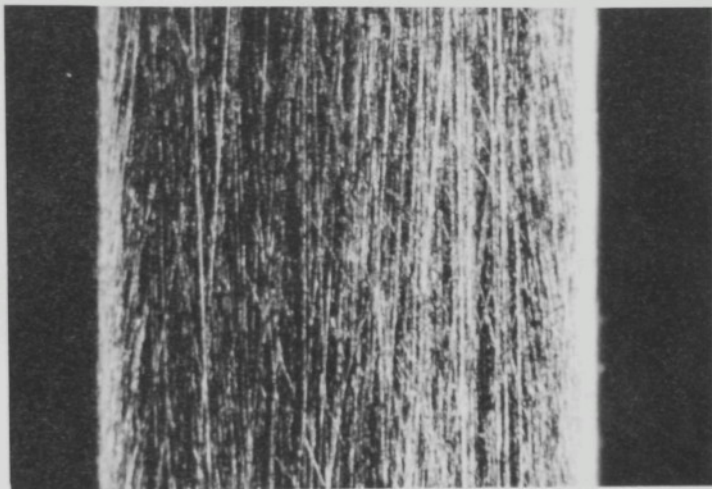
Pro zjištění velikosti koeficientu tření bylo nutné kromě normálové síly měřit též sílu tečnu. Proto byly měřené zámky montovány na snímač ve dvou vzájemně kolmých směrech podle obrázku 3 a 4, kapitola 3.2. Takto prováděným měřením bylo možné naměřit velikost normálové síly N a k ní odpovídající třecí složku T. Z podílu T a N pak můžeme vyčíslit velikost koeficientu tření

$$f = \frac{T}{N}$$

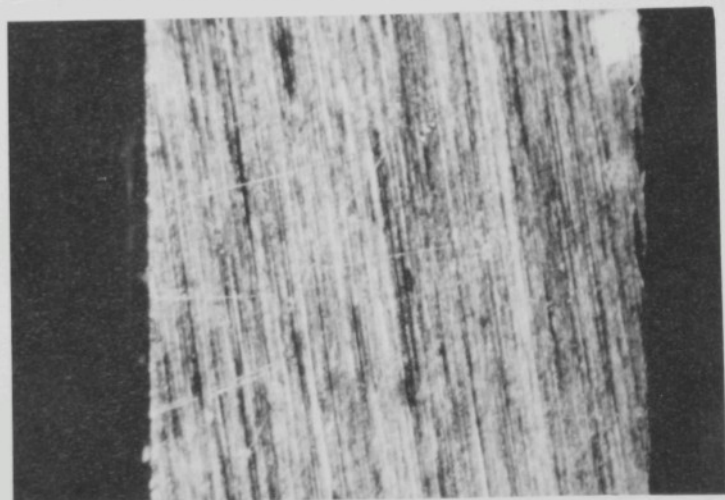
Drsnost povrchu funkční hrany zámků byla v jednotlivých případech $0,1 \mu\text{m}$, $0,2 \mu\text{m}$, $0,4 \mu\text{m}$, $0,8 \mu\text{m}$ a $1,6 \mu\text{m}$. Drsnosti povrchu jednotlivých zámků jsou uvedeny na fotografích obr. 1 až 5, str. 114 - 115.

Měření bylo prováděno na válcovém lůžku při otáčkách válce $n = 16,5 \text{ ot/min}$, což odpovídá běžné obvodové rychlosti okrouhlých pletacích strojů. Zámky pracovaly jako zvedače při funkčním úhlu $\alpha = 50^\circ$. Pro celé měření byla používána jedna jehla, která byla vložena stále v téže drážce lůžka jehelního válce. Kolénko i funkční hrana zámku byly mírně naolejovány.

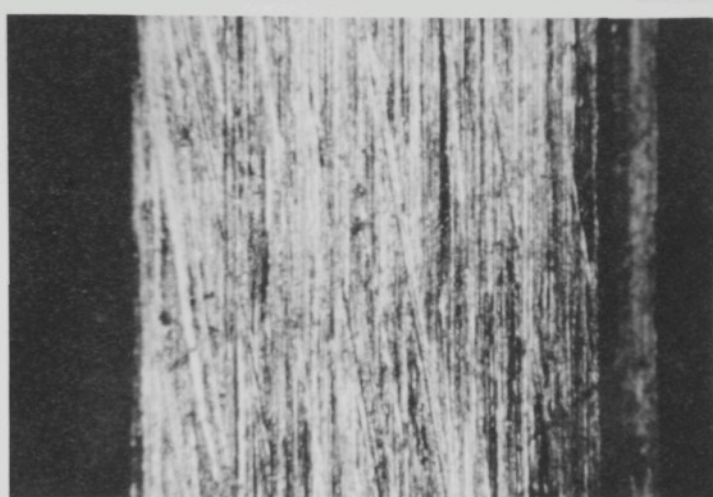
Z pořízených záznamů byla provedena dvě hodnocení, a to při rázovém styku kolénka jehly se zámkem a při ustáleném pohybu kolénka jehly po funkční hraně zámku.



Obr.1. Drsnost $0,1\mu m$, zvětšeno 80x.



Obr.2. Drsnost $0,2\mu m$, zvětšeno 80x.



Obr.3. Drsnost $0,4 \mu m$, zvětšeno 80x.



Obr.4. Drsnost $0,8 \mu m$, zvětšeno 80x.



Obr. 5. Drsnost 1,6 μm , zvětšeno 80x.

5.1 Hodnocení normálové a tangenciální síly při rázovém styku kolénka jehly se zámkem.

Záznamy pro toto měření jsou uvedeny v literatuře č. 15 svazek 6. Dále jsou jen uvedeny odečtené hodnoty ze snímku N 80 - N 94, což je záznam normálové síly a snímku N 96 - N 111, kde je proveden záznam tangenciální síly. Na tabulkách na straně 118 jsou uvedeny hodnoty jednotlivých měření s výpočtem průměrných hodnot a současně je vyčíslena hodnota koeficientu tření pro tento rázový styk v závislosti na drsnosti povrchu funkční hrany zámku.

Z uvedených tabulek je zřejmé, že velikost normálové síly při rázovém styku kolénka jehly se zámkem nezávisí na drsnosti zámků s povrchem o drsnosti $0,1 - 1,6 \mu\text{m}$. To je celkem logické, protože při rázovém styku jehla vždy odskočí, dojde tedy jen k bodovému styku, při kterém se drsnost zámků nemůže projevit. Předíváme-li se však na velikost třecí síly, zjistíme její mírně stoupající charakter s rostoucí drsností zámků. Některé cdchylky naměřených hodnot od předpokládaných jsou i zde způsobeny již dříve uvedenými podmínkami, které ovlivňují měření. Velikost normálové síly by byla podstatně ovlivněna až tehdy, kdy nerovnoměrnosti povrchu funkční hrany zámku by rozměrově odpovídaly poloměru zaoblení funkční hrany kolénka jehly.

Běžná drsnost funkční hrany zámku, se kterou se v praxi zámky vyrábějí, je $0,2 \mu\text{m}$. Z tabulky koeficientu tření je patrné, že jeho hodnota je pro tuto drsnost kolem $f = 0,1$, což odpovídá skutečnosti. Možno též konstatovat, že drsnost, se kterou se funkční hrany zámku vyrábějí, je pro praxi vhodná.

Závislost rázové sily N_1 na dranosti povrchu funkční
hrany zámku.

Otáčky valce $\rho /$	α	1.měření		2.měření		3.měření		Prům. hod.	Povrch zámku. Dranost fum/
		č. sním.	N_1/p	č. sním.	N_1/p	č. sním.	N_1/p		
$n = 16,5 \text{ l/min.}$	50	M 80	2 100	M 81	2 000	M 82	2 110	2 070	0,1
	50	M 83	2 140	M 84	2 180	M 85	2 110	2 143	0,2
	50	M 86	2 180	M 87	2 000	M 88	2 140	2 107	0,4
	50	M 89	2 420	M 90	2 390	M 91	2 400	2 403	0,8
	50	M 92	2 100	M 93	2 100	M 94	2 030	2 077	1,6

Pro měření platí cejch M 95.

Závislost rázové tangenciální sily T_1 na dranosti povrchu
funkční hrany zámku.

Otáčky valce $\rho /$	α	1.měření		2. měření		3.měření		Prům. hod.	Povrch zámku. Dranost fum/
		č. sním.	T_1/p	č. sním.	T_1/p	č. sním.	T_1/p		
$n=16,5 \text{ l/min.}$	50	M 96	205	M 97	205	M 98	210	207	0,1
	50	M 100	240	M 101	250	M 102	240	243	0,2
	50	M 103	210	M 104	214	M 105	214	213	0,4
	50	M 106	270	M 107	270	M 108	280	273	0,8
	50	M 109	330	M 110	—	M 111	340	335	1,6

Pro měření platí cejch M 99.

Závislost koeficientu tření $f_t = \frac{T_1}{N_1}$ na dranosti povrchu
funkční hrany zámku.

μ_m	0,1	0,2	0,4	0,8	1,6
f_t	0,10	0,11	0,10	0,11	0,16

5.2 Hodnocení normálové a tangenciální síly při ustáleném průběhu kolénka jehly po zámku.

Toto hodnocení je uvedeno na tabulkách na straně 120. Z obou dvou tabulek naměřených hodnot normálové a tangenciální síly je zřejmý vzrůst obou těchto sil se stoupající drsností povrchu zámku. Též na příslušných záznamech jednotlivých měření (snímky M 80 - M 94) můžeme se stoupající drsností funkční hrany zámku pozorovat vzrůst neklidného průběhu normálové síly, který je do hodnoty drsnosti zámku $0,4 \mu\text{m}$ vcelku normální a s další vzrůstající drsností velmi rychle narůstá. I zde se tedy potvrzuje, že drsnost zámku, s níž jsou běžně vyráběny, je dostačující a koeficient tření má pro tuto drsnost při ustáleném pohybu kolénka jehly po zámku hodnotu kolem $f = 0,1$.

5.3 Závěr kapitoly 5.0.

1. Při drsnosti funkční hrany zámku v rozmezí $0,1 - 0,6 \mu\text{m}$ nezávisí velikost normálové síly prvého rázu na drsnosti povrchu zámku.

2. Se vzrůstající drsností funkční hrany zámku vzrůstá při pohybu kolénka jehly po zámku jak normálová, tak třecí síla.

3. Velikost koeficientu tření mezi kclénkem jehly a funkční hrancu zámku s drsností $0,2 \mu\text{m}$ je pro rázový styk i pro ustálený pohyb kolénka jehly po zámku $f = 0,1$. Z měření dále vyplývá, že drsnost $0,2 \mu\text{m}$ je pro povrch funkční hrany zámku výhodná. Potvrzuje to i ta skutečnost, že při této drsnosti je pohyb kclénka jehly po zámku dostatečně klidný.

Závislost průměrné normálové sily N_3 na drsnosti povrchu funkční hrany zámků.

Obrázky výkres	α ρ_1	1.měření		2.měření		3.měření		Prům. hod. N_3/p_1	Povrch zámků. Drsnost. / μm /
		$\sigma_{\text{sním.}}$	N_3/p_1	$\sigma_{\text{sním.}}$	N_3/p_1	$\sigma_{\text{sním.}}$	N_3/p_1		
$n = 16,5 \text{ l/min.}$	50	M 80	350	M 81	350	M 82	350	350	0,1
	50	M 85	370	M 84	370	M 85	370	370	0,2
	50	M 86	400	M 87	400	M 88	400	400	0,4
	50	M 89	400	M 90	400	M 91	400	400	0,8
	50	M 92	425	M 93	425	M 94	425	425	1,6

Pro měření platí cestech M 95.

Závislost průměrné tangenciální sily T_3 na drsnosti povrchu funkční hrany zámků.

Obrázky výkres	α ρ_1	1.měření		2.měření		3.měření		Prům. hod. T_3/p_1	Povrch zámků. Drsnost. / μm /
		$\sigma_{\text{sním.}}$	T_3/p_1	$\sigma_{\text{sním.}}$	T_3/p_1	$\sigma_{\text{sním.}}$	T_3/p_1		
$n = 16,5 \text{ l/min.}$	50	M 95	32	M 97	32	M 98	32	32	0,1
	50	M100	40	M101	40	M102	40	40	0,2
	50	M103	35	M104	35	M105	35	35	0,4
	50	M106	60	M107	60	M108	60	60	0,8
	50	M109	70	M110	70	M111	70	70	1,6

Pro měření platí cestech M 99.

Závislost koeficientu tření $f_3 = \frac{T_3}{N_3}$ na drsnosti povrchu funkční hrany zámků.

μm	0,1	0,2	0,4	0,8	1,6
f_3	0,09	0,11	0,09	0,15	0,16

u 58/1.č.

Vysoká škola strojní a elektrotechnická
Katedra fyziky a chemie

KANDIDÁTSKÁ PRÁCE

2. ročník

6.0 Hodnocení funkčních zámkových dráh, tvořených přímkami s různým pracovním úhlem, které jsou spojené kružnicovými přechody.

Jak vyplýnula ze závěru kapitoly 4.0 je nutné, aby zámkové dráhy byly tvořeny křivkami, které by umožnily vstup kolénka jehly na zámkovou hranu, buď úplně bezrázové nebo s rázem, který by nepřesáhl normálovou sílu uklidněného pohybu kolénka jehly po zámku. Navíc je třeba splnit tu skutečnost, aby stahovač byl lze přestavovat v mezích, které jsou potřebné pro konstrukci stroje.

Pro tento výzkum bylo zvoleno několik zámkových dráh, vyskytujících se na stávajících strojích, kde funkční křivky jsou tvořeny přímkami a kružnicemi. Kružnicové přechody jsou zvoleny proto, že to jsou nejjednodušší křivky, jejichž výrobu lze celkem snadno zajistit při sériové výrobě zámků.

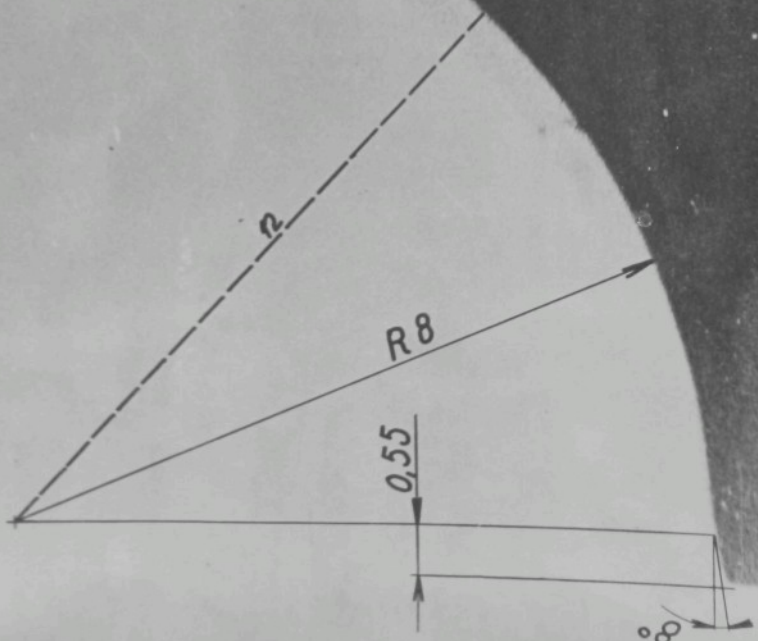
Skutečný tvar sedmi druhů zámků, které byly vyráběny pro vlastní měření, je patrný z fotografií na stranách 122 až 128. Zámkы jsou zvětšeny přesně v měřítku 15 : 1. Tyto fotografie byly pořízeny proto, že se dodatečně po výrobě zámků zjistilo, že jejich rozměry neodpovídají přesně rozměrům na výkresech. Na těchto zvětšeninách byly vyhodnoceny rozměry a současně nakresleny normály, aby byly určeny body, kde přímky a kružnice na sebe navazují. Tyto přechody znamenají nespojitou druhou derivaci, tudíž skok ve zrychlení, který by se měl projevit na průběhu normálové síly.

Pro proměření těchto zámkových dráh však nevystačíme se snímačem, který jsme doposud užívali při měření. Pro proměření křivkových dráh potřebujeme snímač dvousložkový, který by zaznamenal normálovou sílu ve dvou kolmých směrech. Pro tento účel byl zkonstruován dvousložkový snímač, jehož sestavu vidíme v příloze I na výkresu 2 - Ol. Fotografie snímače, který byl při měření používán, je uvedena na obr. 1. Ze sestavy i fotografie snímače vidíme, že nebylo pro jeho konstrukci použito stejného způsobu uložení mě-

Zámek L.

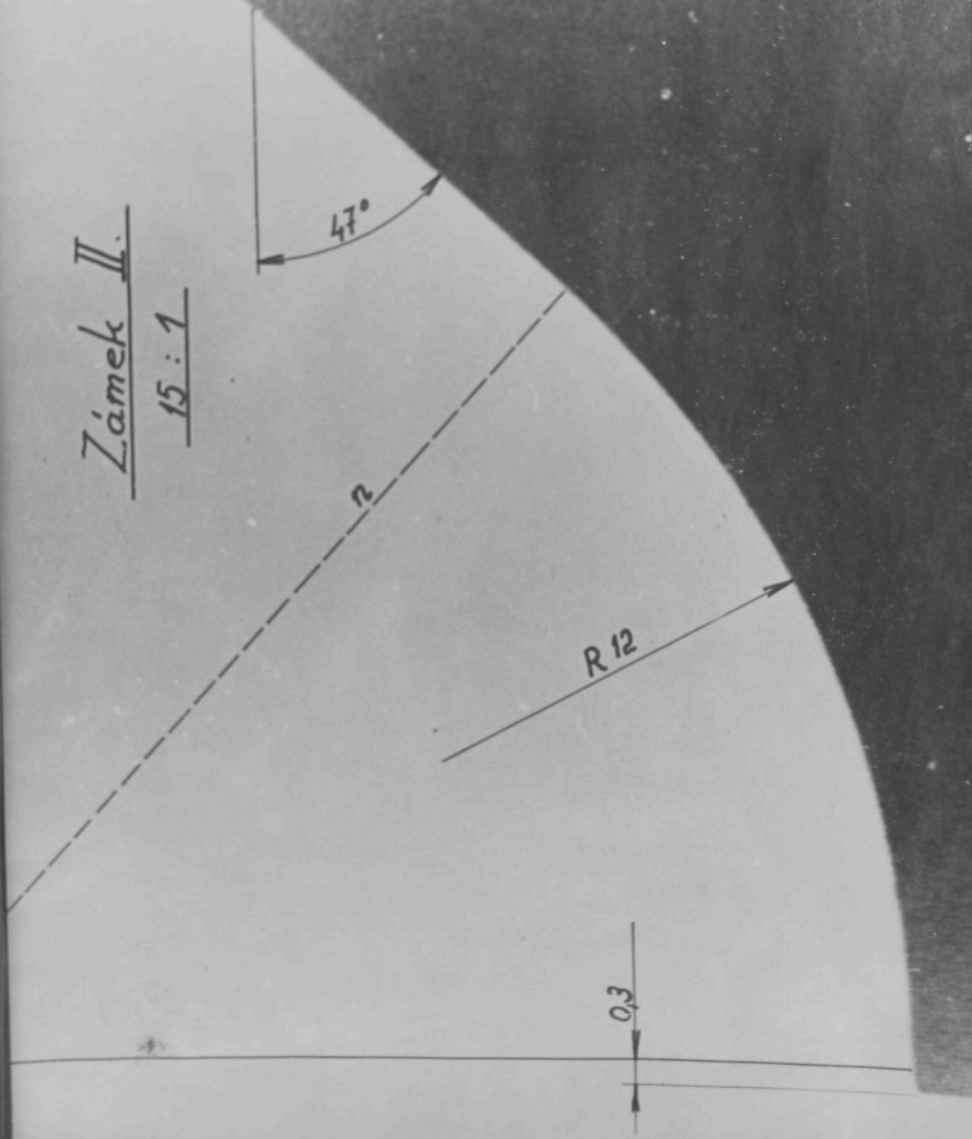
15 : 1

$46^{\circ} 30'$



Zámek II.

15 : 1



Zámek III.

15 : 1

$49^{\circ} 40'$

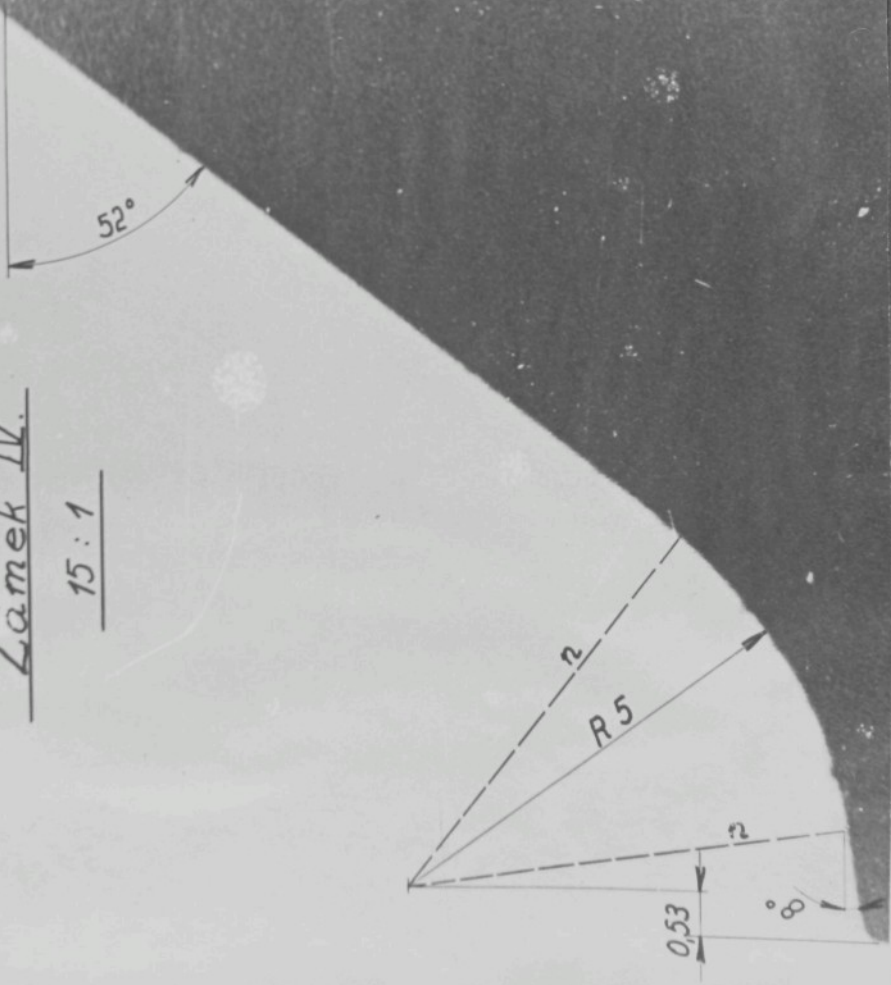
n

R 10

1,65

Zámek IV.

15 : 1



Zámek V.

15 : 1

48°

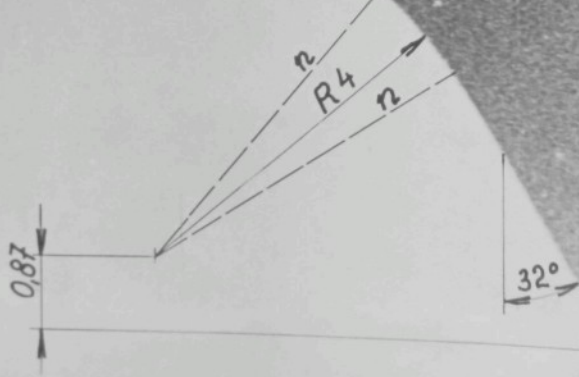
2

R 20

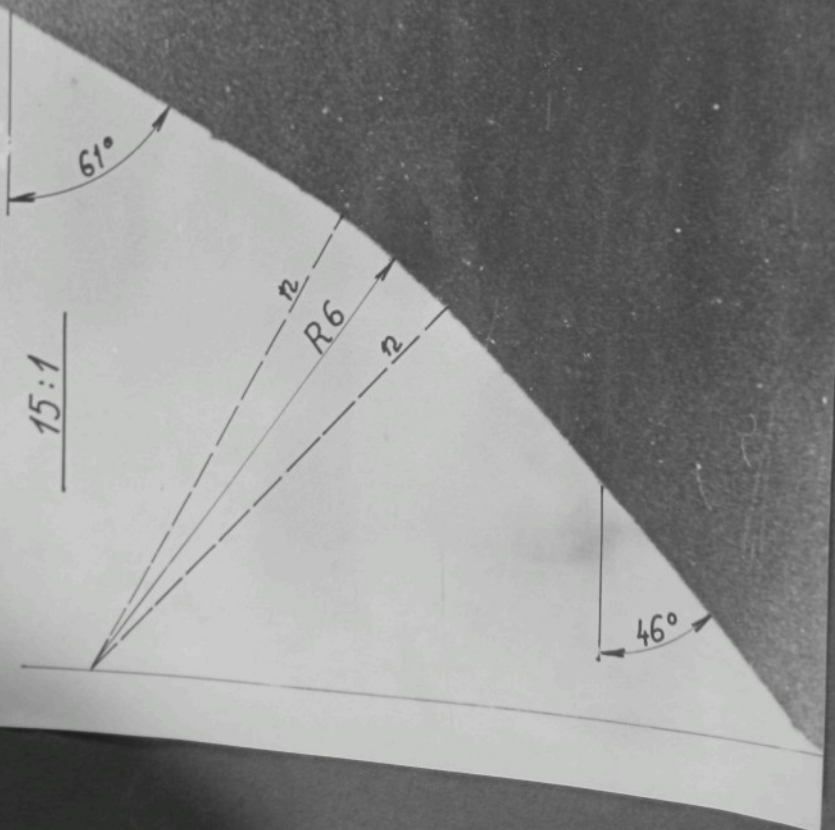
7,93

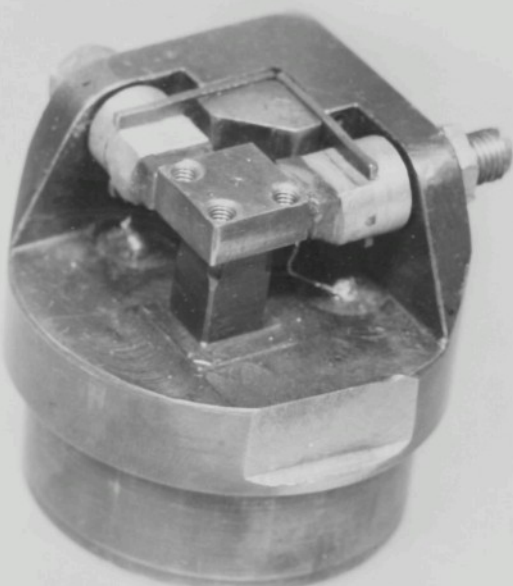
Zámek VII.

15 : 1



Zámek VII.





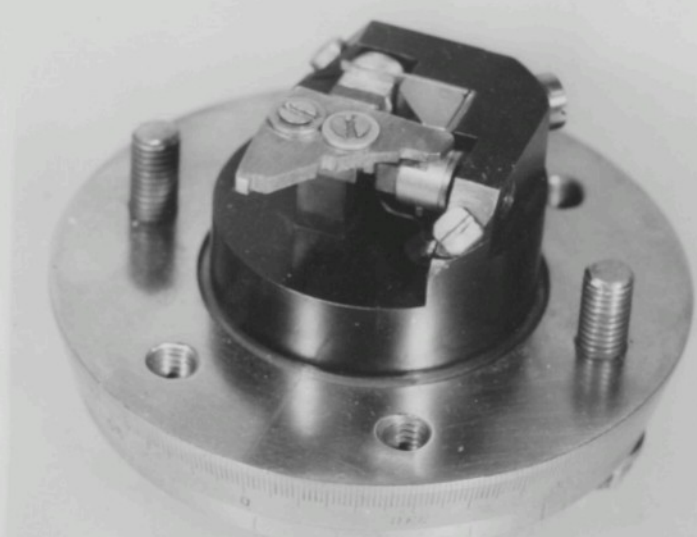
Obr. 1.

řících sond vzhledem k měrnému hrancolu (desce), jako u snímače jednosložkového. Původně byl navržen dvousložkový snímač, kde sondy byly uloženy stejně jako u snímače jednosložkového. Tato konцепce se však ukázala neprostře nevhodná a nezpůsobilá k měření, protože snímač zachycoval chvění stroje a tím znemožňoval měření normálové síly. Po mnoha pokusech se podařilo sestrojit již výše uvedený snímač, kde sondy jsou uloženy na hliníkových valemčích tlačených planetáři proti regulačním šroubům, kterými se zajistuje potřebné mezera mezi sondou a měrným hranclem. Taktéž konstruovaný snímač, se kterým se měření provádělo, zajistil velmi dobré záeznamy. Velmi slízitá byla však jeho montáž při podmínce zajistění rovnoběžnosti mezi plochou sondy a plochou měrného hrancolu. V dnešní době je vykonstruován dvousložkový snímač, který je velmi dokonalý a přitom jeho montáž je zcela jednoduchá. Jeho sestava a detailní výkresy jsou uvedeny v příloze I, výkres č. 3 - 11 až 3 - 11, jeho fotografie je na obr. 2.

Použity snímač s potlačencou citlivosti na chvění stroje pracoval při maximálním průhybu měrné desky 10^{-4} mm při vlastní frekvenci 9 450 Hz.

6.1 Způsob provádění a hodnocení měření.

Pro vlastní měření a jeho hodnocení byl zvolen následující postup. Zámek byl upaven na snímači tak, aby pracoval jako zvedač a bylo možné snadno zajistit nájezd kolénka na okraj zámku. Hrana kolénka najížděla na zámek ve vzdálosti 0,2 - 0,3 mm od okraje funkční hrany. Tím je tedy vymezen bod prvého styku kolénka jehly se zámkem. Měření se provádělo na jehelném válci, kdy zámek byl pevněna k válci s výškou 0,3 mm. Jak již bylo dříve řečeno, provádělo se měření normálové síly ve dvou kolmých složkách. Ve vodorovné složce x a svislé složce y. Při tomto způsobu měření budou složky v sobě zahrnovat jak normálovou sílu N, tak sílu třecí T. Sičzením sil ve složkách x a y

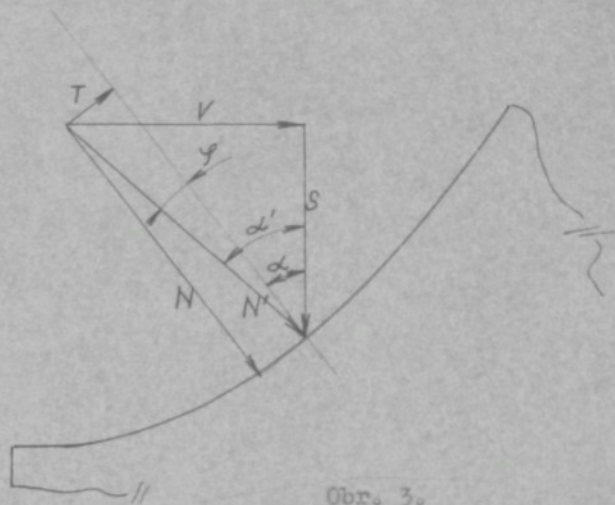


Obr. 2.

dostaneme sílu N' s tím, že můžeme vypočítat i úhel α'
a protože známe pracovní úhel zámku α , tak i velikost
třetího úhlu

$$\gamma = \alpha' - \alpha$$

Měřené silové poměry jsou patrné z následujícího obr. 3



Obr. 3.

Všechna měření různých zámkových druh byla provedena na stroji Uniplat ø 30'' při otáčkách válce 16,5 ot/min, t. j. obvodové rychlosti kolenka 0,7 m/s. Ve všech případech byla použita tatáž jehla ve stejné drážce při mírném ohčasném mazání. Pro každý zámek bylo zhotoven celkem šest záZNAMU měření. Tři pro práci jehly s jednou přitlačnou pružinou a tři se dvěma přitlačnými pružinami, které radiálně působí na stvol jehly a vtlačují ji na dno drážky výlccového lůžka. Tím též působí na stvol jehly silou S viz obr. 1 str. 10. Z každé skupiny tří snímků záZNAMU byl vyhodnocen vždy jeden. Nutno podotknout, že všechny tři snímky každé skupiny byly stejné a že se tedy silové poměry na zámku při měření neměnily.

Pro měření bylo využito obou dvou kanálů měřicího zařízení, kdy obě dvě silové složky byly měřeny najednou

a jejich záznam vidíme např. na spodní fotografii na str. 136. Horní stopa znázorňuje složku vodorovnou V a stopa spodní složku svislou S. Tyto složky však nemusí představovat skutečné hodnoty měřených veličin, protože se při měření mohou obě složky vzájemně ovlivňovat (kroucení měrného hranolu) a proto musíme vhodným cejchem a způsobem hodnocení tento vzájemný vliv vyloučit. Způsob cejchování a hodnocení je patrný např. ze záznamů na str. 138. V levé části jsou záznamy cejchů, které byly pořízeny pro vodorovnou a svislou složku. Cejchovní body byly prováděny pro tři místa na zámku. Pro levý okraj, střed a pravý okraj. Je to z toho důvodu, že je nestejná reakce též hodnoty normálové síly působící v různých částech zámku. Proto vidíme na fotografích tři sloupyce cejchovních bodů. Příslušnými body jsou proloženy cejchovní přímky, které jsou vyneseny do vedlejších vyhodnocovacích grafů a označeny příslušnou cejchovní hodnotou.

Při cejchování snímače, jak ve svislé, tak ve vodorovném směru, byl též vždy sledován vliv na druhou stopu, než pro kterou byl cejch prováděn. Z cejchu pro svislou stopu je zřejmé, že vychylování svislé stopy v podstatě neovlivnuje stopu vodorovnou. Zjištěná diference je nataclik malá, že může být pro měření zanedbána. Naproti tomu cejch ve vodorovné složce způsobuje vychýlení stopy svislé složky označené ve vedlejším grafu hodnotou ε' , jejíž skutečná hodnota je dána cejchem pro svislou stopu a odpovídá většinou zatížení od maximální hodnoty cejchu ve vodorovném směru.

Hodnocení jednotlivých záznamů, jak pro případ jehel pracujících s jednou nebo dvěma přítlačnými pružinami, je provedeno následovně. Jednotlivé (charakteristické) body záznamu pro svislou a vodorovnou složku jsou vyneseny do příslušných cejchovních grafů, kde jsou odečteny číselné hodnoty, které jsou uvedeny ve vedlejší tabulce pod označením V a S'. Protože vodorovná složka ovlivňuje při měření složku svislou, musí být její skutečná hodnota S získána opravou hodnoty naměřené.

Při zatěžování ře vodorovné stope se svislá stopa vychyluje do plusových hodnot. Proto pro získání skutečné síly S musíme příslušnou korekci od síly S' odečíst.

Korekce se vyčísluje následujícím způsobem. Hodnota udává vychýlení stopy pro svislou složku při zátěži o známé hodnotě ve vodorovné složce. Většinou byla tato hodnota rovna maximální zátěži při cejchu ve vodorovné složce. Hodnota ϵ udává korekci v % na jednotku zátěže ve vodorovné složce. Tedy skutečnou hodnotu korekce pro jednotlivé body dostaneme výpočtem podle vztahu

$$\frac{V \cdot \epsilon}{100},$$

kterou odečtem od naměřené hodnoty S' , čímž dostaneme skutečnou hodnotu svislé složky S . Matematickým složením složek sil S a V , které jsou na sebe kolmé, obdržíme hodnotu normálové síly N' . Dále z těchto složek vypočítáme též hodnotu úhlu α' z rovnice

$$\lg \alpha' = \frac{V}{S},$$

kde příslušnou hodnotu úhlu α' odečteme z tabulek. Protože podle dřívějšího měření lze předpokládat hodnotu frikčního úhlu $\varphi = 6 - 7^\circ$, můžeme ze zjištěného úhlu γ měřením, t. j. z rovnice

$$\gamma = \alpha' - \alpha$$

zjistit, jak dálece se tyto hodnoty rozcházejí. Na příklad pro zámek č. II zjistíme, že hodnota tohoto úhlu vypočítaného z měření je okolo 7° . To dokazuje, že toto měření bylo provedeno až do konečného hodnocení velmi přesně bez jakékoliv chyby. U dalších zámků se při tomto hodnocení vyskytují větší rozdíly v hodnotě úhlu γ , ovšem v průměru ne větší, než aby ovlivnily měření více jak o 10 %, což je z hlediska technických měření přijatelná hodnota pro získání absolutních hodnot měřených veličin.

Vypočítané hodnoty síly N' jsou vynešeny do příslušných grafů spolu s fotografií zámků i oscilogramů zvětšených v odpovídající velikosti. Z tchoto usporádání je patrné, jak

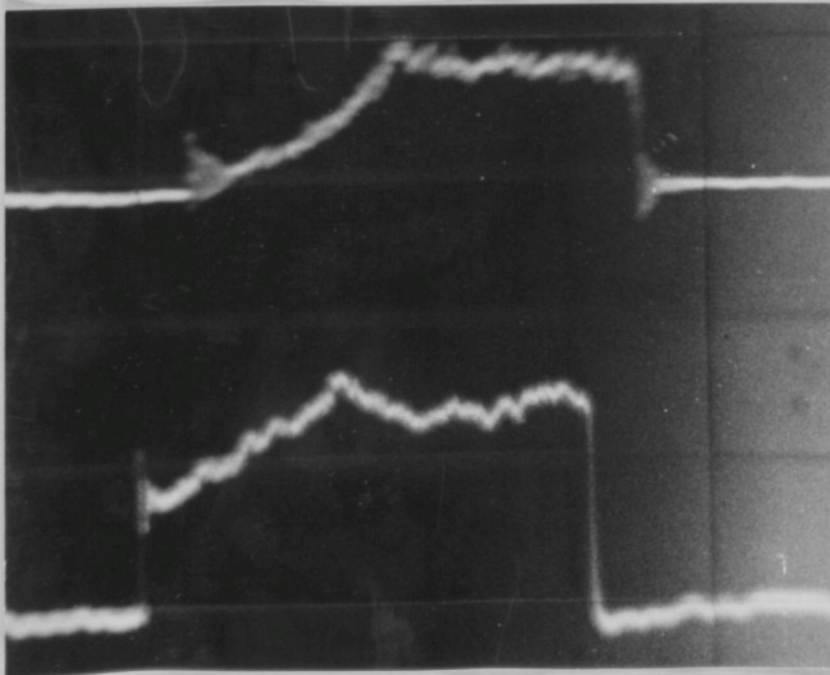
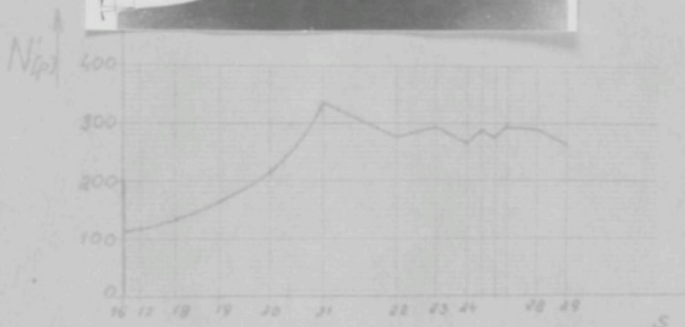
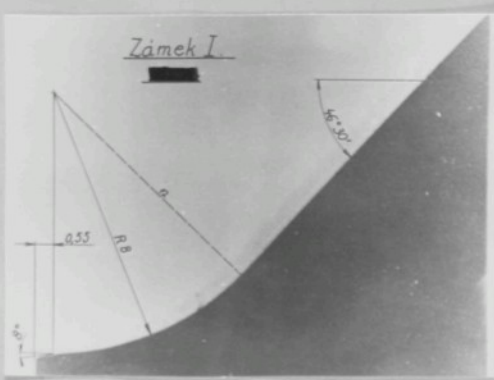
maximální hodnota normálové síly při průběhu kolénka jehly po zámku vpadá přesně do průsečíku normály a funkční hranou zámku. Aby nedošlo k chybám výkladu, je nutné připomenout, že na záznamu měřených sil V a S' (fotografie stínítka osciloskopu) jsou tyto záznamy vůči sobě posunuty o konstantní hodnotu, která je při celém záznamu stejná. Při vektorovém skládání sil V a S je nutné tyto grafy vzájemně o tento posunutí posunout zpět, aby odpovídající složky ležely na společné osi svislici. Vzájemné posunutí sil V a S' je způsobeno měřicím přístrojem, který má ve vodorovném směru obě složky velké reakce nejace na jednu svislici, tím nevpadnou do sebe a to nám umožňuje měřit s větší citlivostí přístroje, když záznam síly S a V do sebe vzájemně zasahuje.

6.2 Vlastní hodnocení měření. Strana 136 až 156.

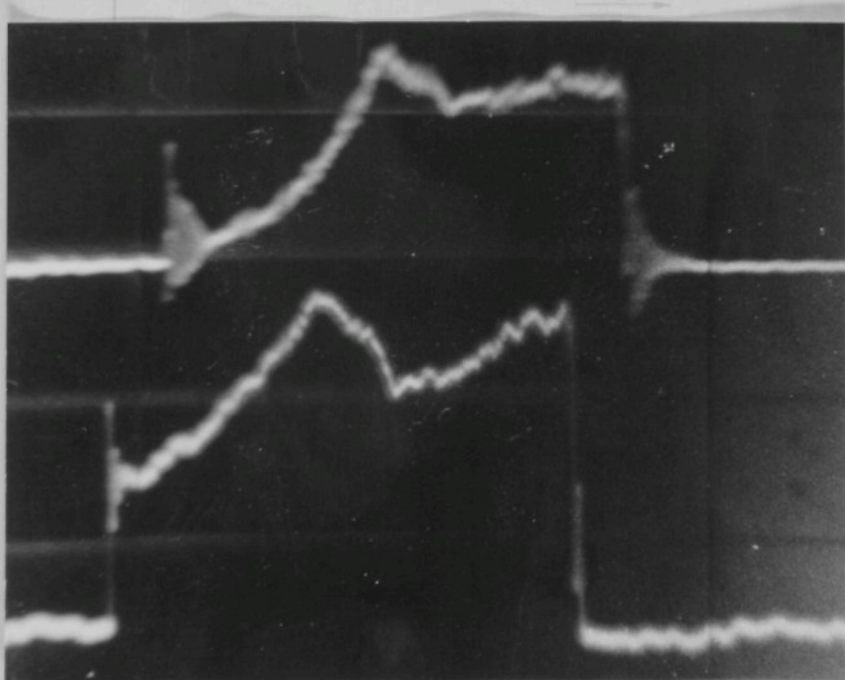
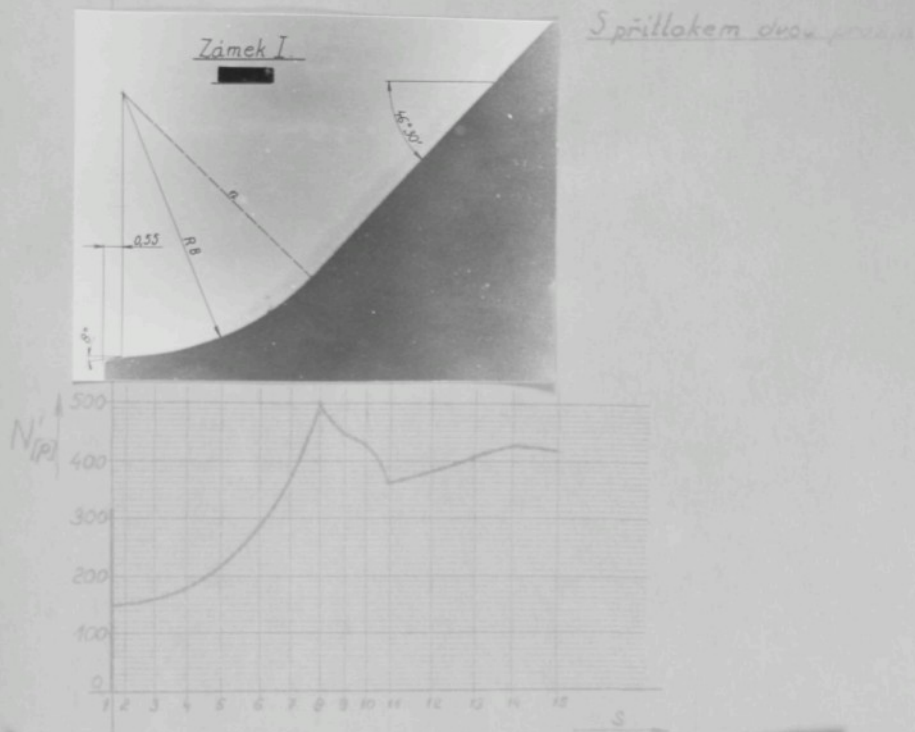
Ze všech měření je patrné, že má-li zámek v místě náběhu kolénka jehly na zámek jakoukoliv hodnotu pracovního úhlu kromě nulové, vždy dochází k rázu. U zámků, kde jeho činná hrana vychází z nulové hodnoty pracovního úhlu, se první ráz vůbec nevyskytl. Např. zámek č. II. V praktické konstrukci stahovacích zámků však nelze tento způsob jednoduše realizovat u strojů, kde změna hustoty se řídí přesuvem stahovače. U dalších zámků, kde náběh kolénka jehly na zámek se děje s počátečním úhlem $\alpha = 8^\circ$ dosahuje hodnota prvého rázu nižší hodnoty, než je velikost normálové síly při dalším pohybu kolénka jehly po zámku. Dá se tedy počáteční hodnota pracovního úhlu $\alpha = 10^\circ$, uváděná již dříve, uvažovat jako vhodná pro případy, kde bezrakový styk nelze zajistit. Vyšší nájezdové úhly mají za následek již značné namáhání kolénka jehly a opotřebení zámku, zvláště, když uvažujeme trend zvyšování rychlosti pletacích strojů, při kterém se budou silové poměry rázu dále zhoršovat.

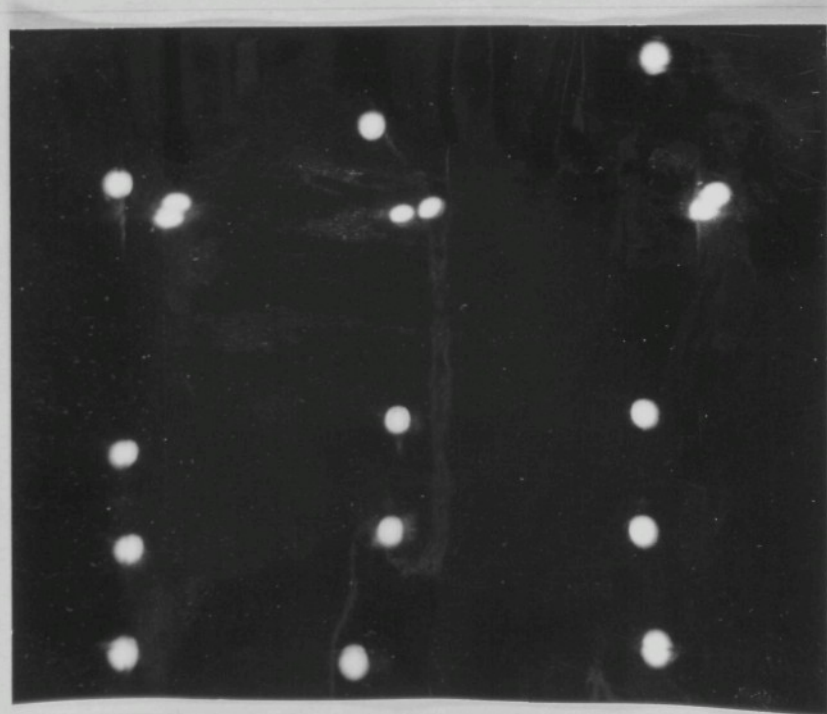
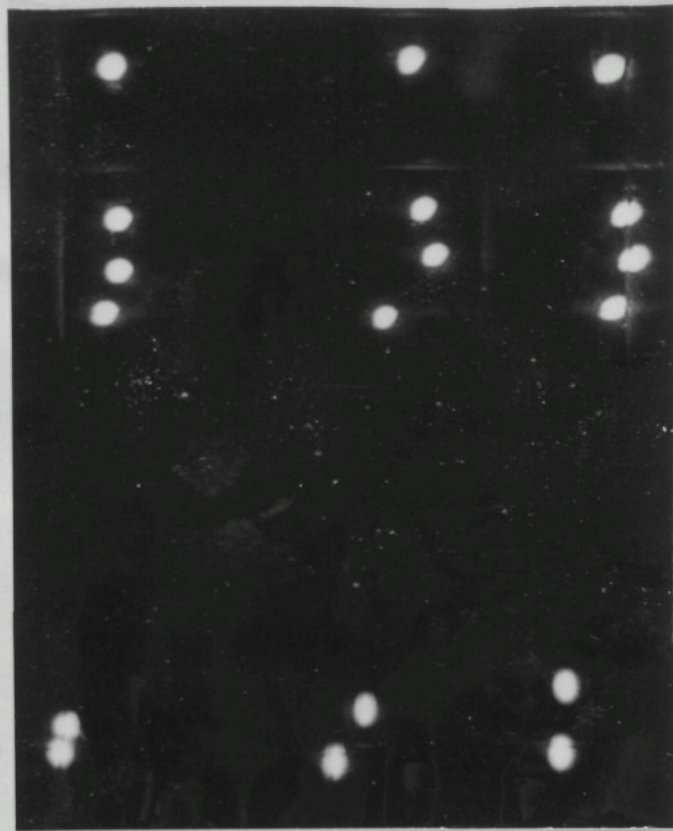
Průběh síly N' pro zámek I.

S přitlakem jedné pružiny,

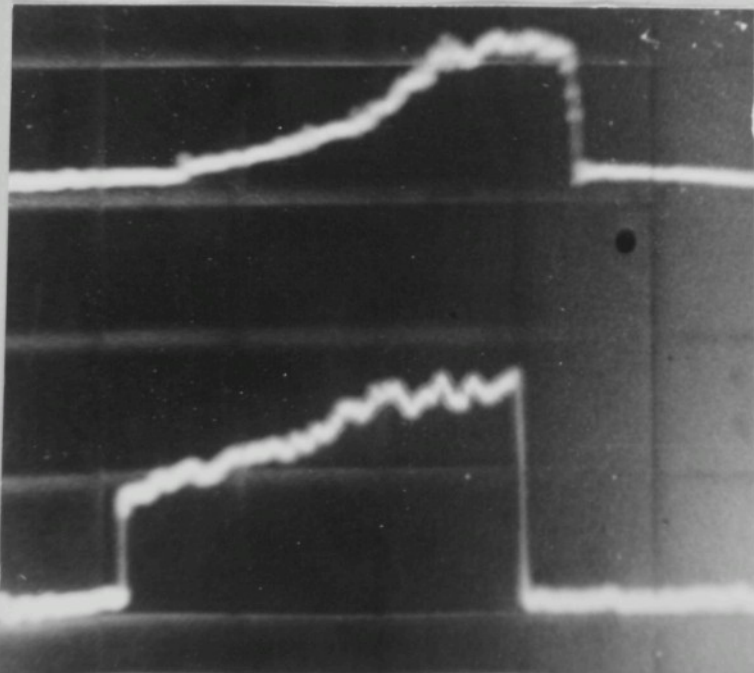
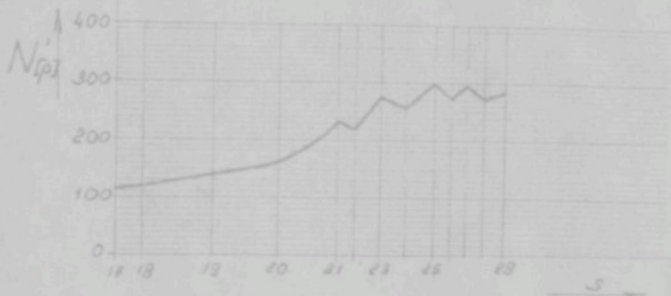
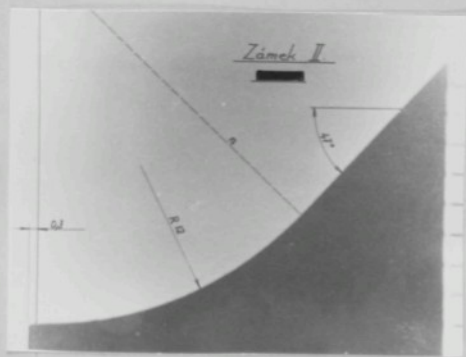


Průběh sily N' pro zámek I.



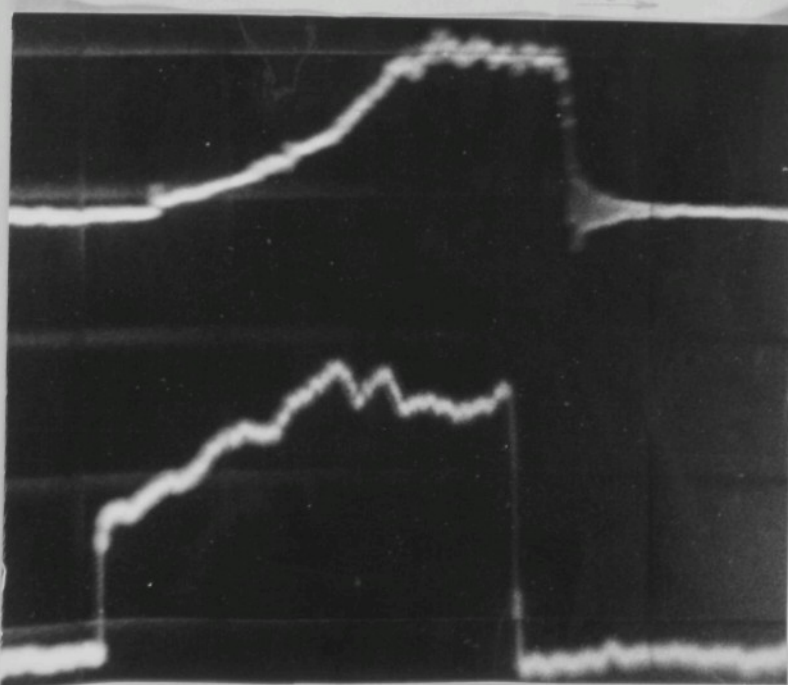
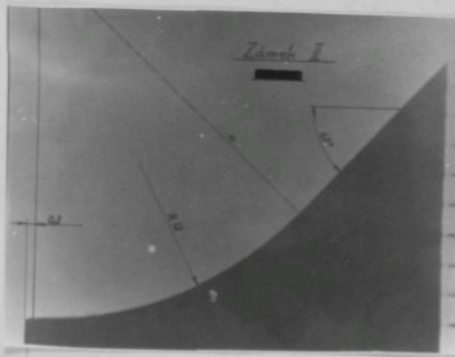


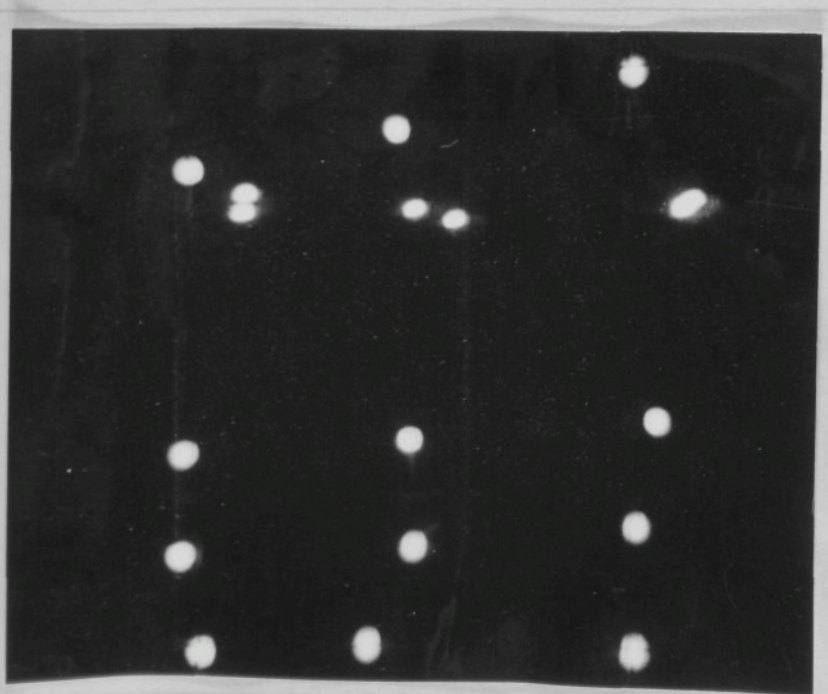
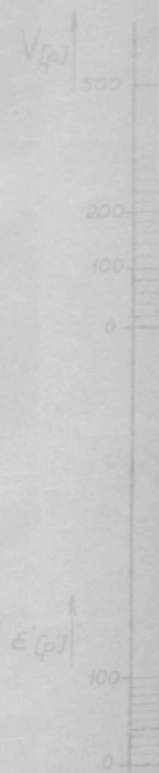
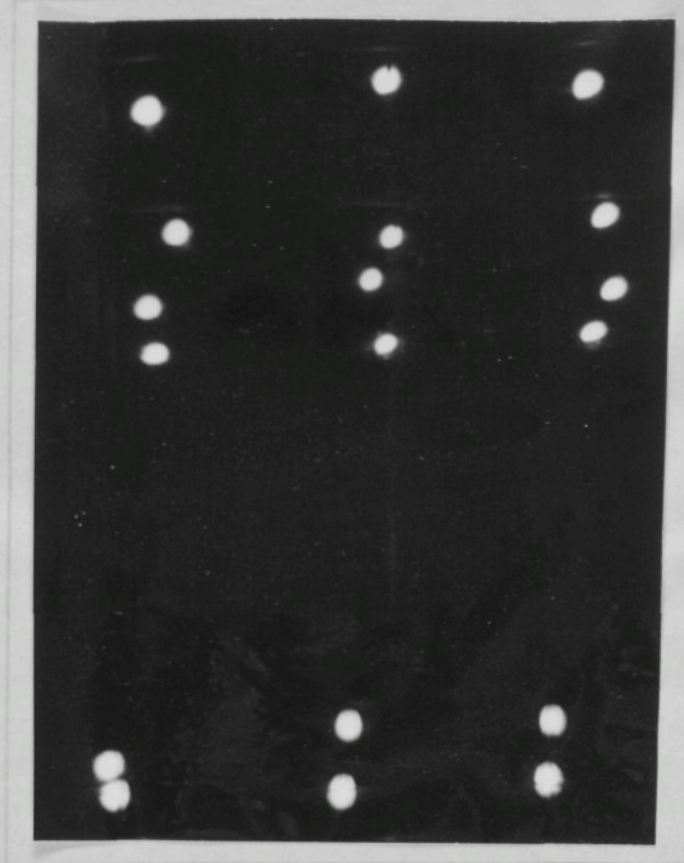
Průběh sily N' pro zámek II.
S přitlakem jedné pružiny.



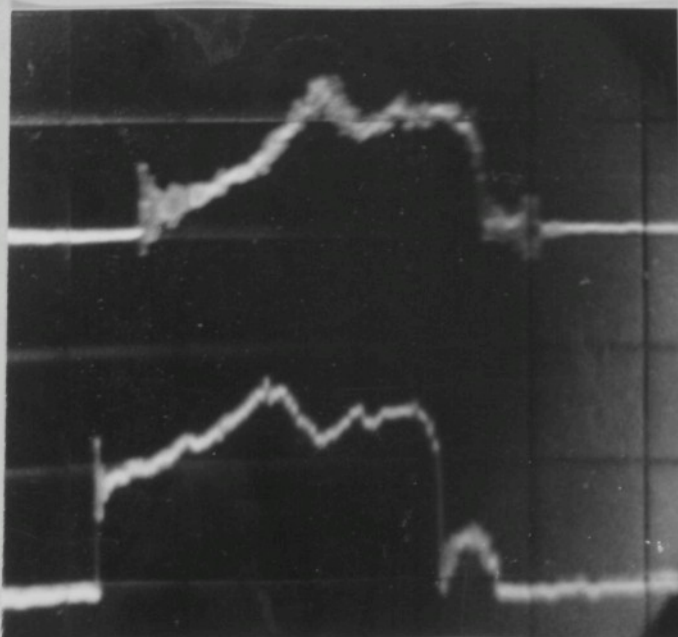
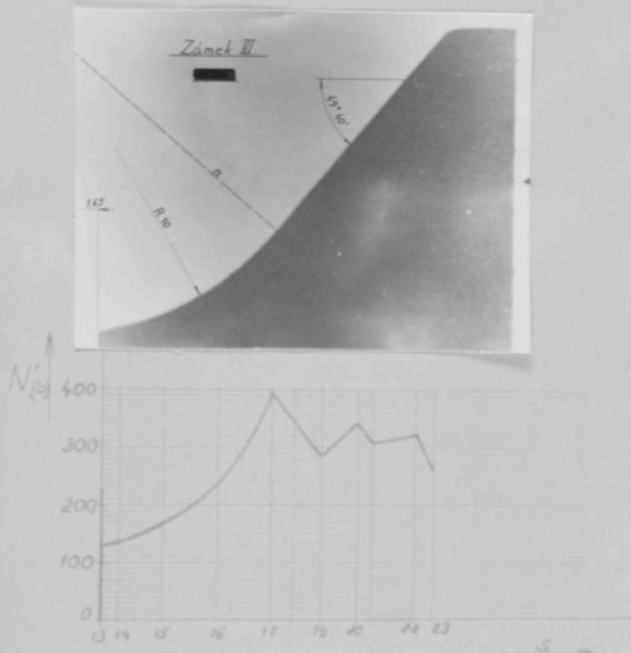
Průběh sily N' pro zámek II.

S přitlakem dvou pružin.



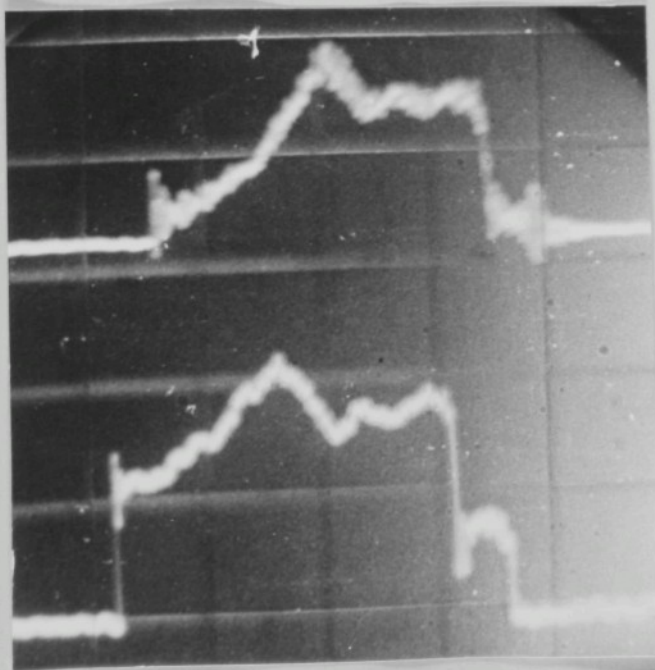
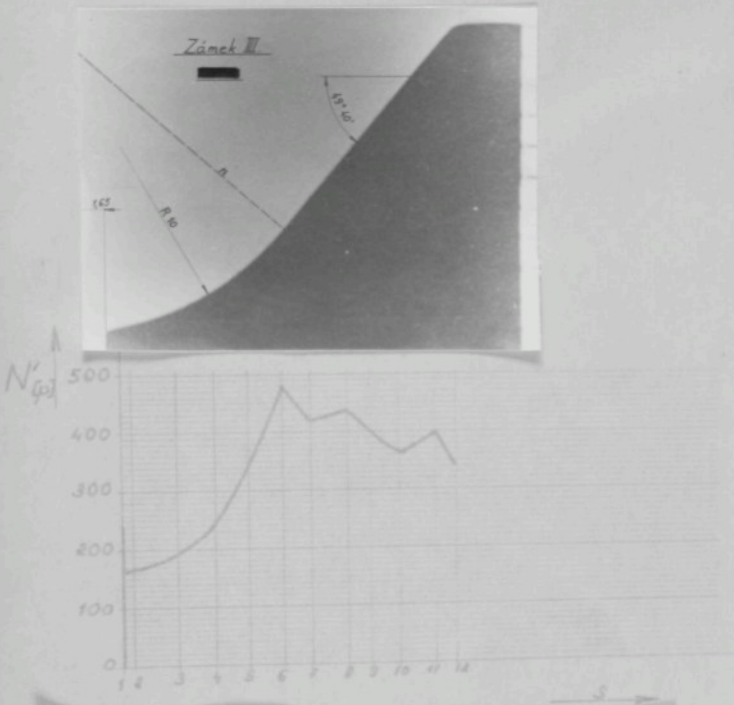


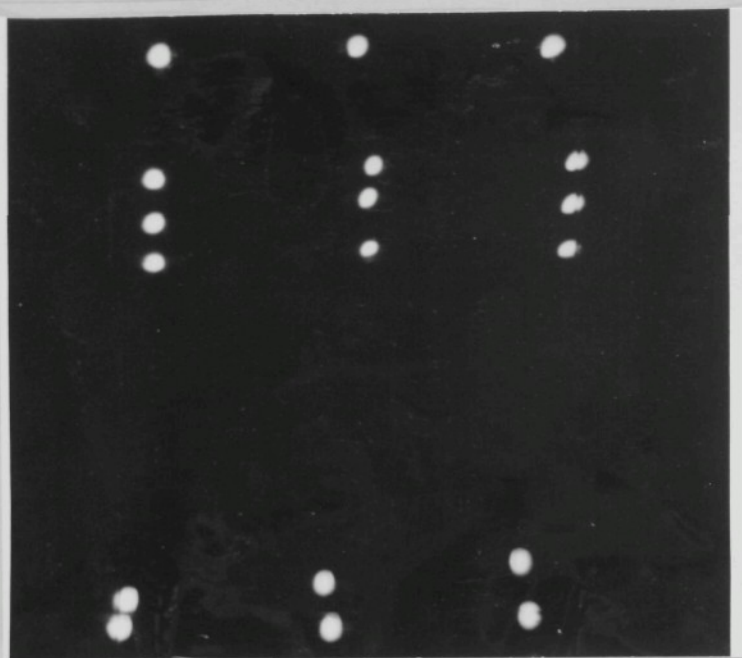
Průběh sily N' pro zámek III.
S přítlakem jedné pružiny



Průběh sily N' pro zámek III.

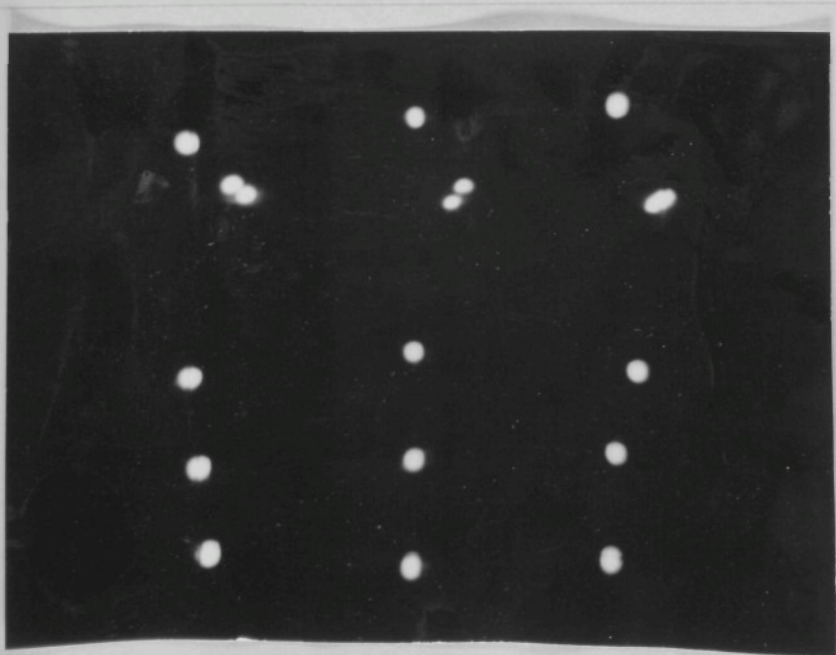
S přitlakem dvou pružin





V₄ | 500
200
100
0

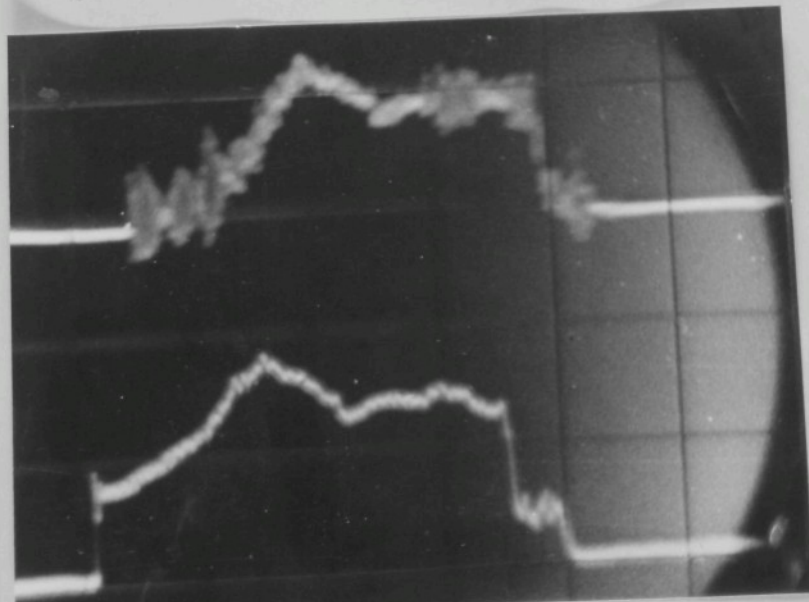
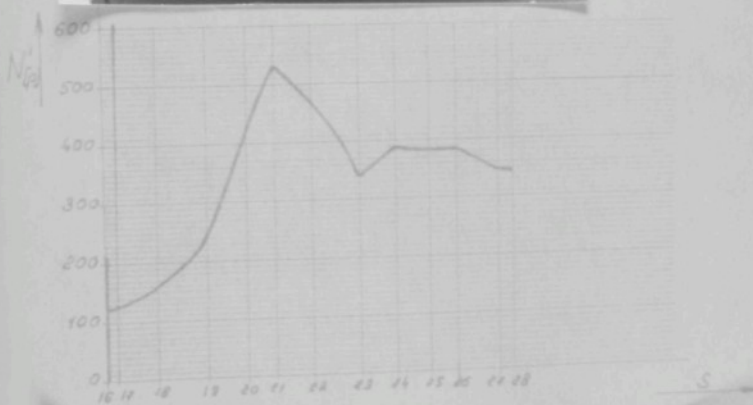
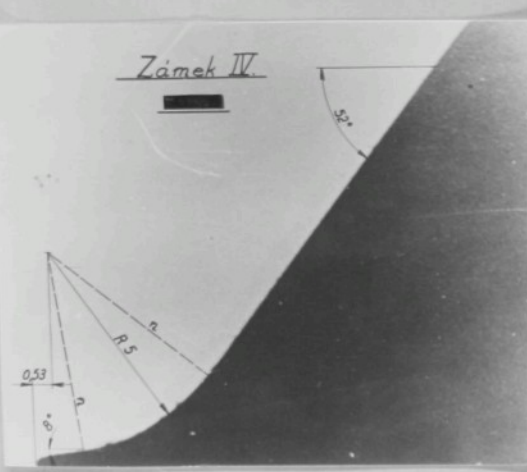
S' 07 | 100
0



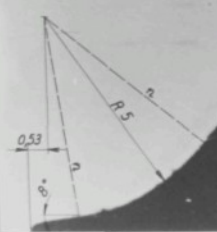
S' 07 | 500
200
100
0

Průběh síly N pro zámek IV.
S přítlačem jedné pružiny.

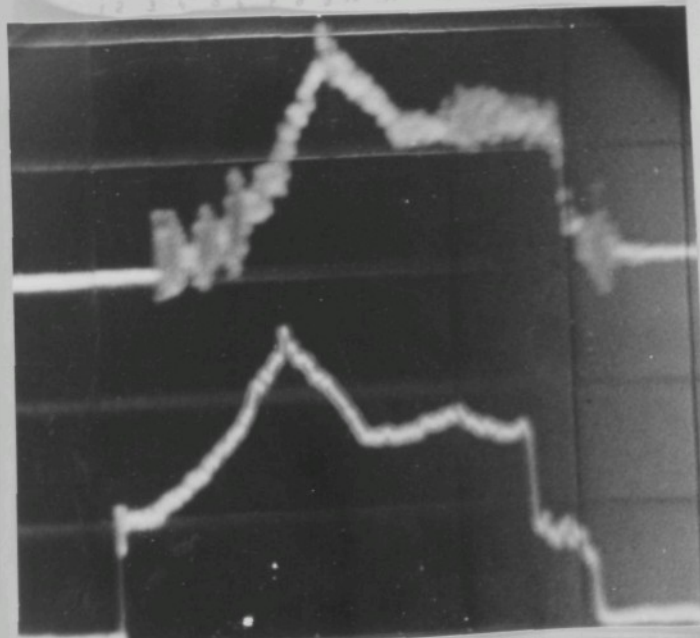
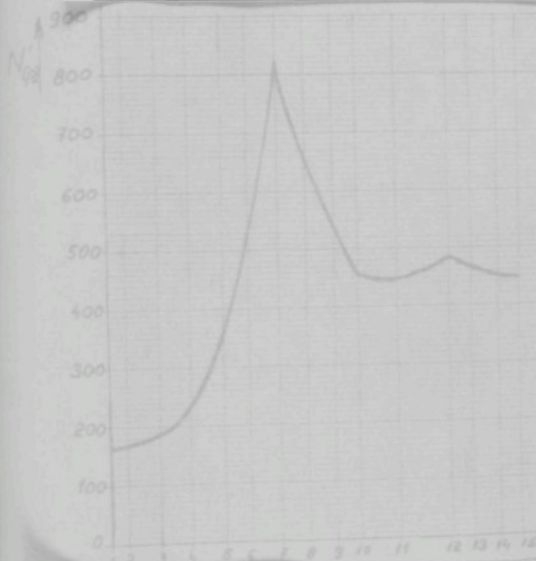
Zámek IV

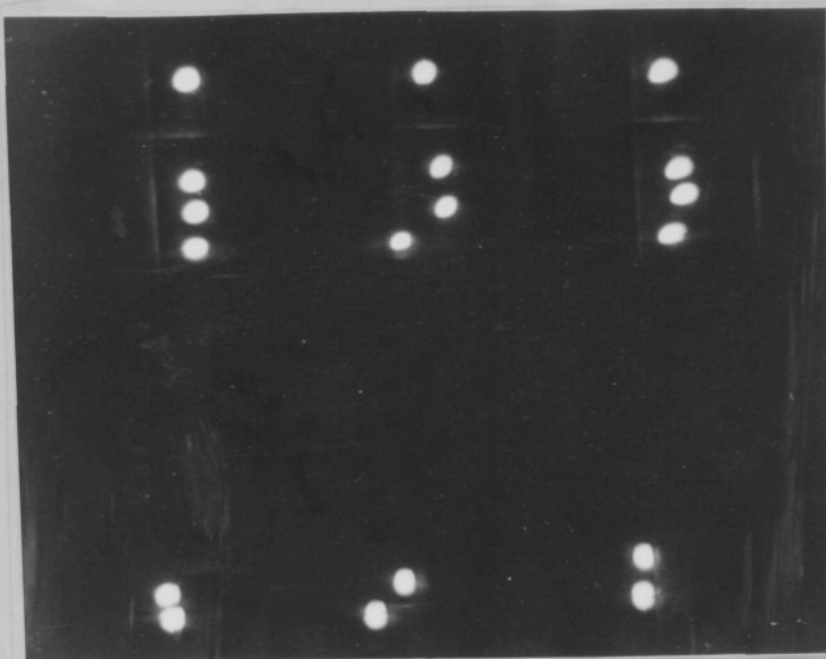


Zámek IV.



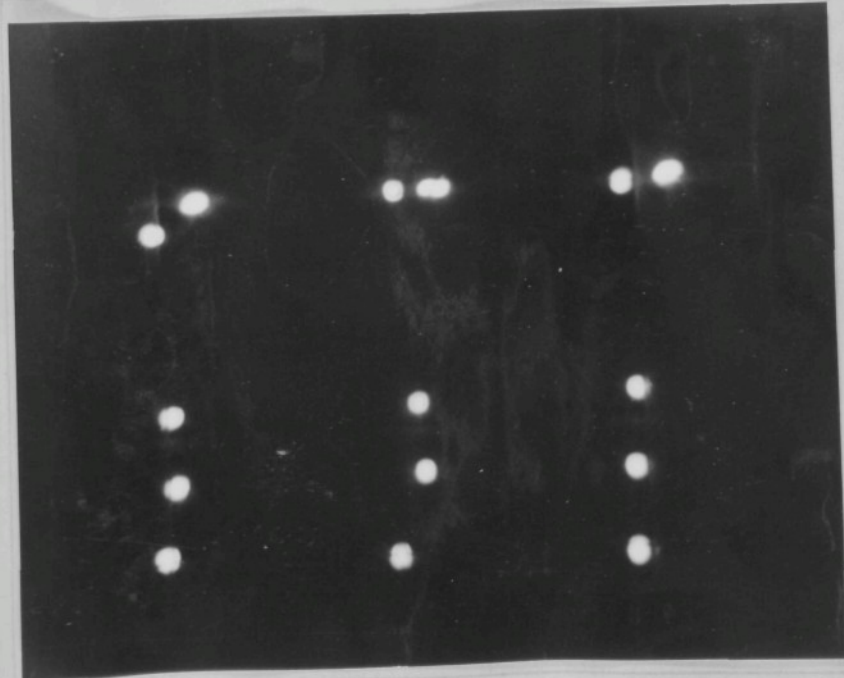
Průběh síly N' pro
zámek IV.
S přitlakem dvou
pružin.





V_F 800
500
200
100
0

6[P] 100
0



S[P]

50

V_{DP} 800

500

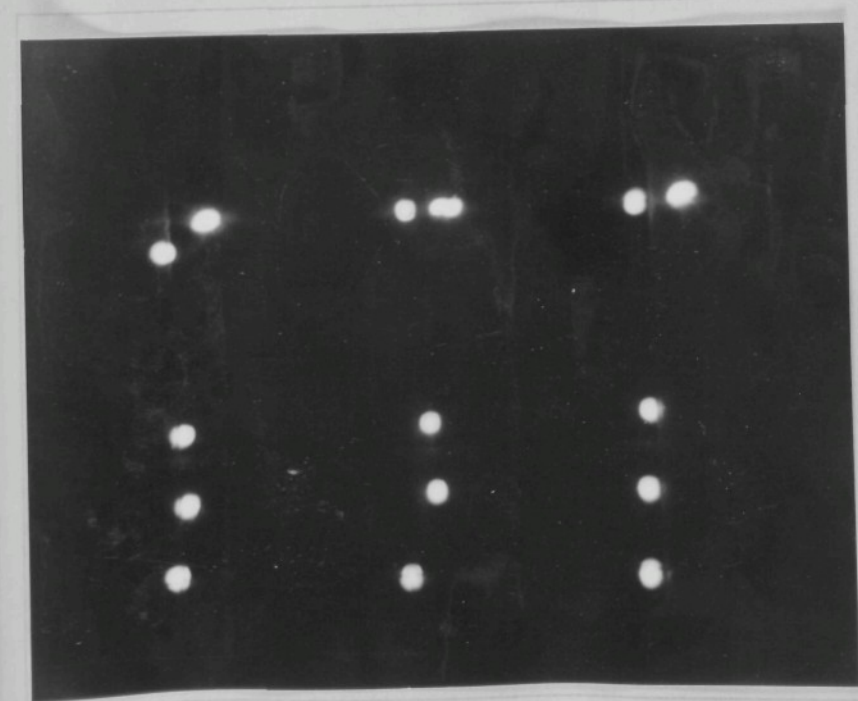
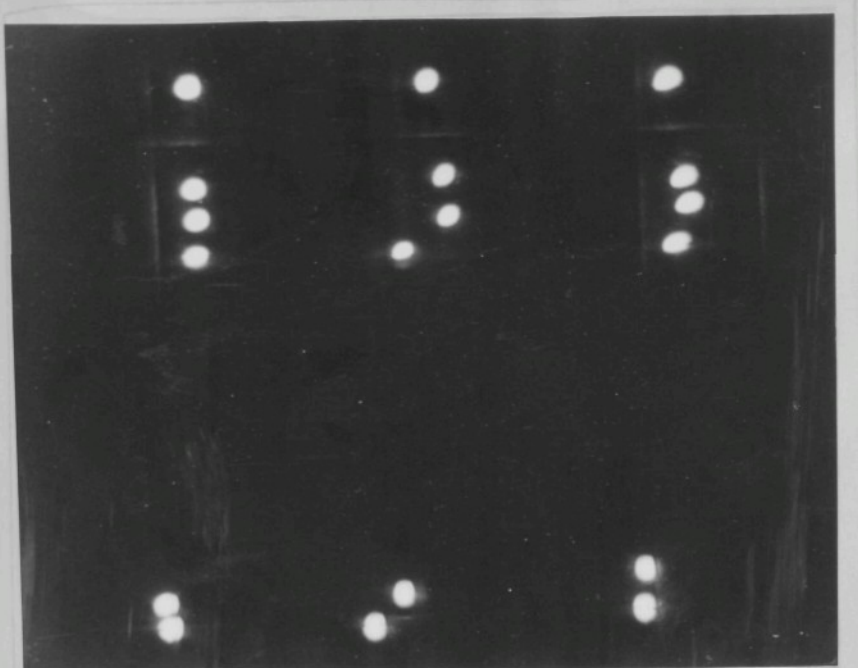
300

100

0

δ [e] 100

0



S_{EP}

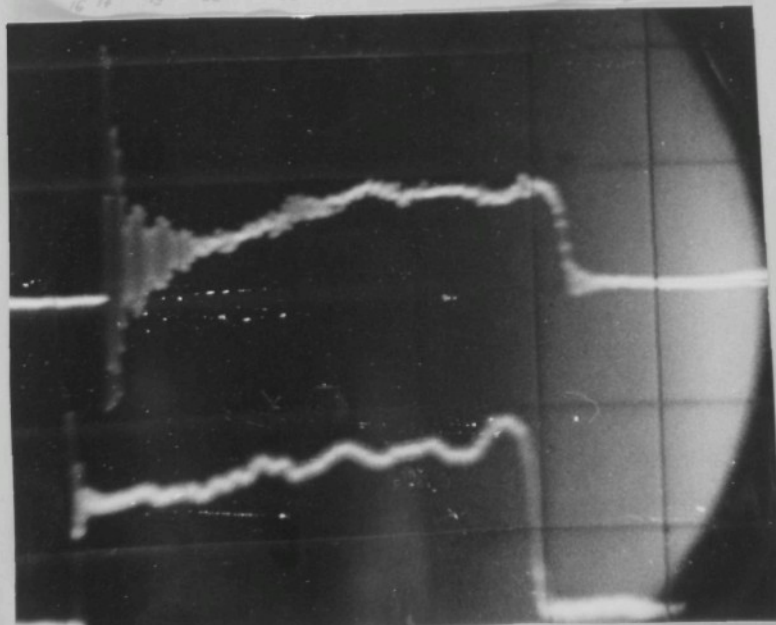
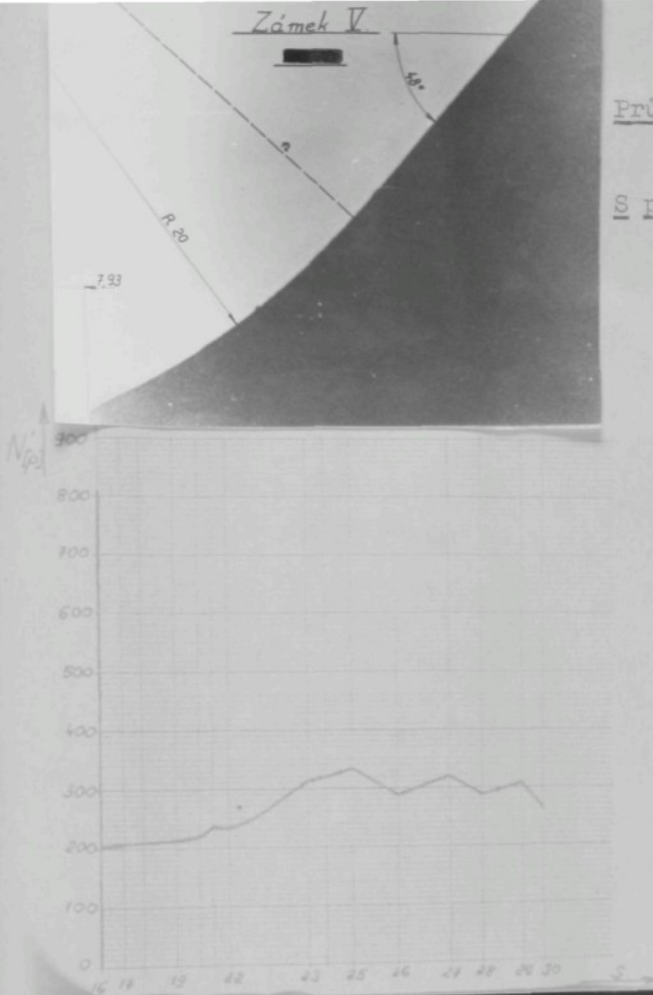
50

20

0

Průběh síly N' pro
zámek V.

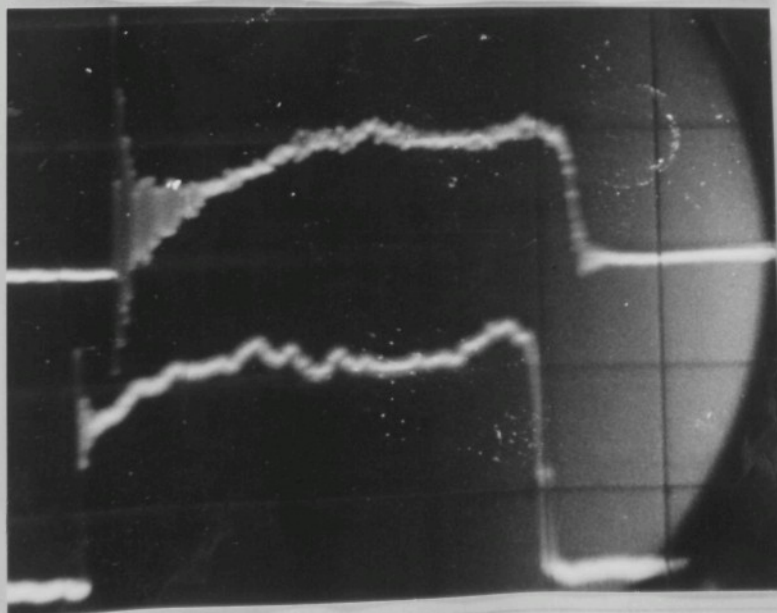
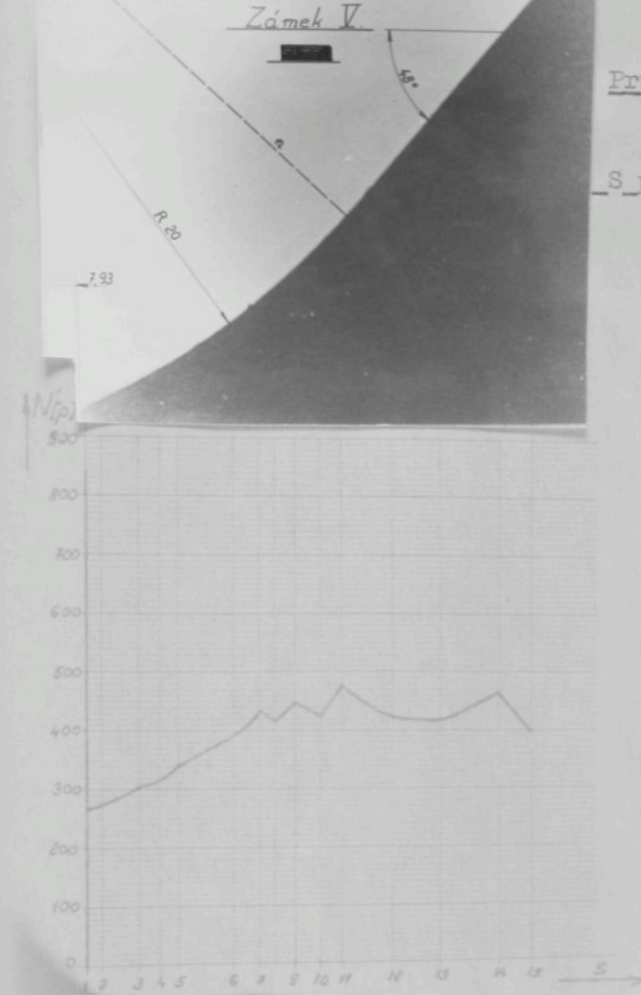
S přítlakem jedné
pružiny.

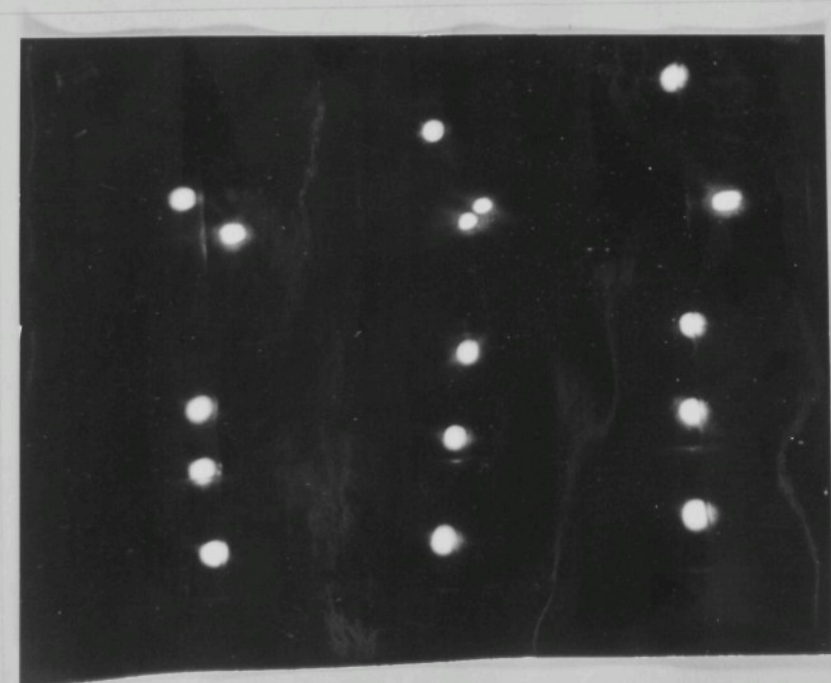
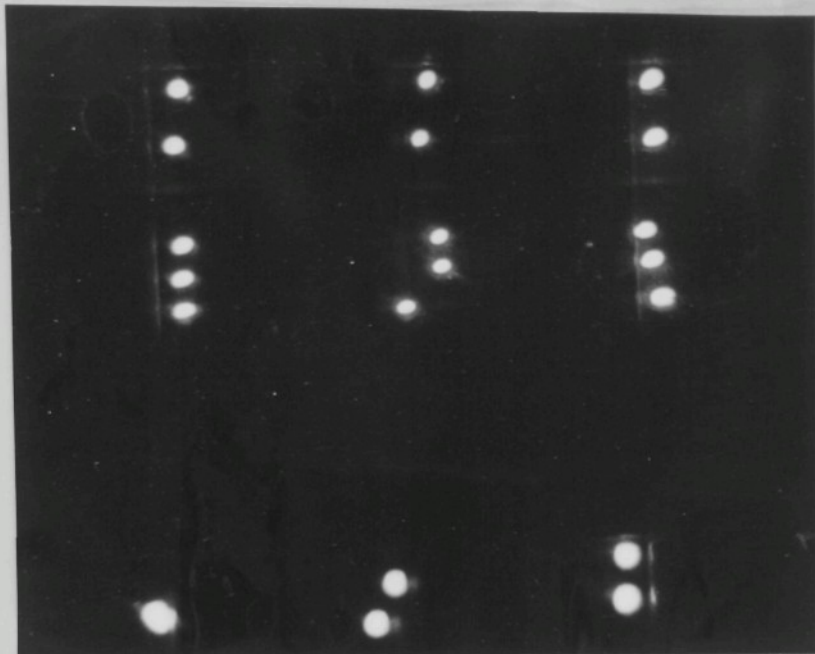


Zámek V.

Průběh sily N' pro
zámek V.

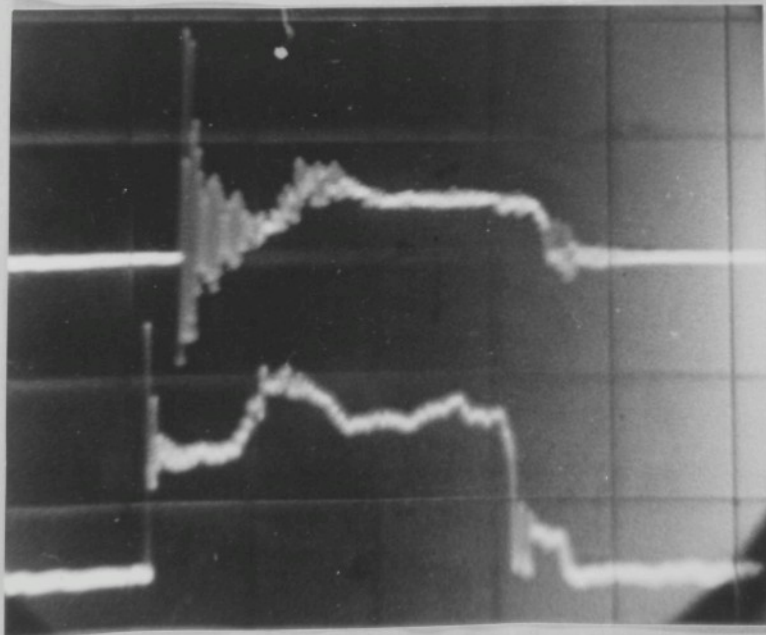
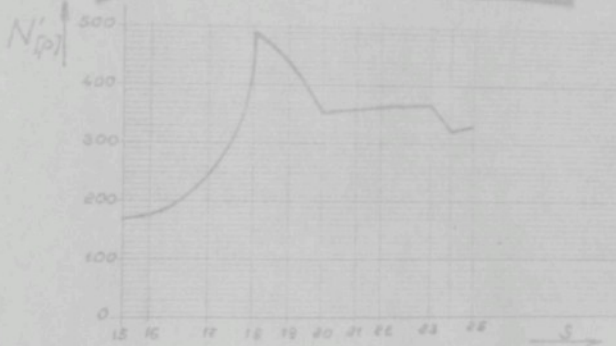
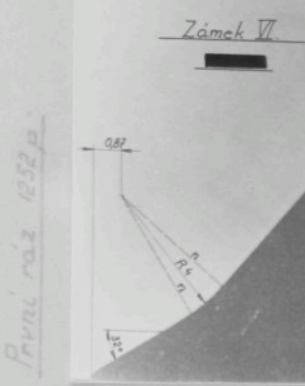
S přítlakem dvou
pružin.



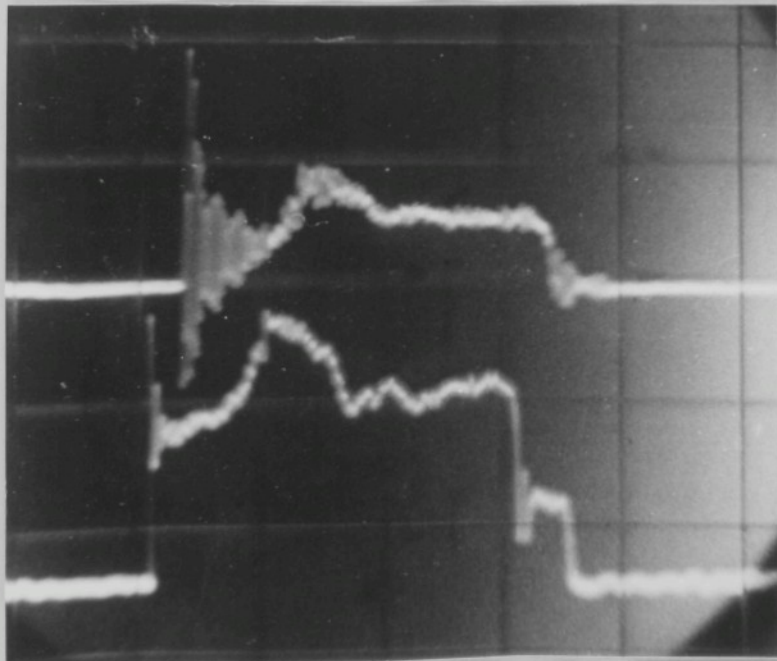
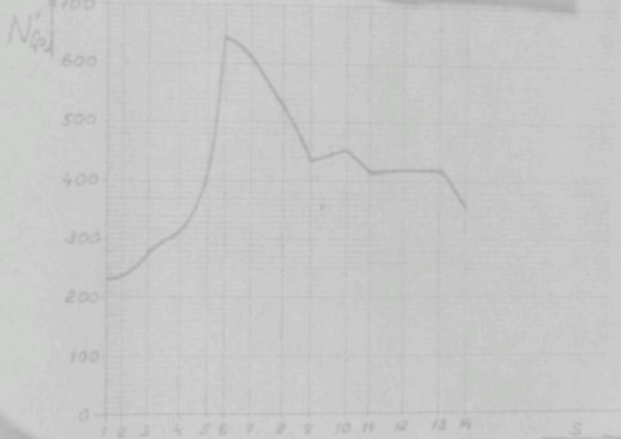
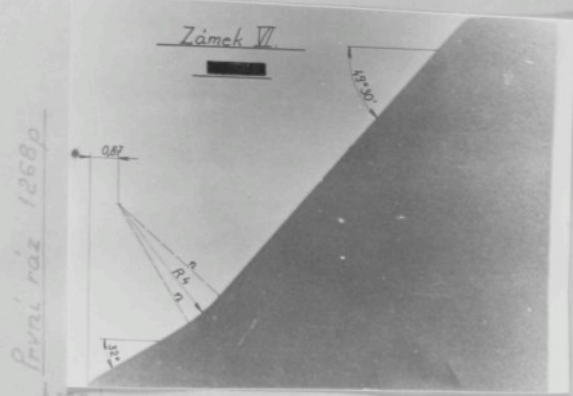


Průběh sily N pro zámek VII.
Sprítlakem jedné pružiny.

Str.
151



Průběh sily N pro zámek III.
S příkladem dvou pružin.



$V_{[P]}$

150

100

50

$E_{[P]}$

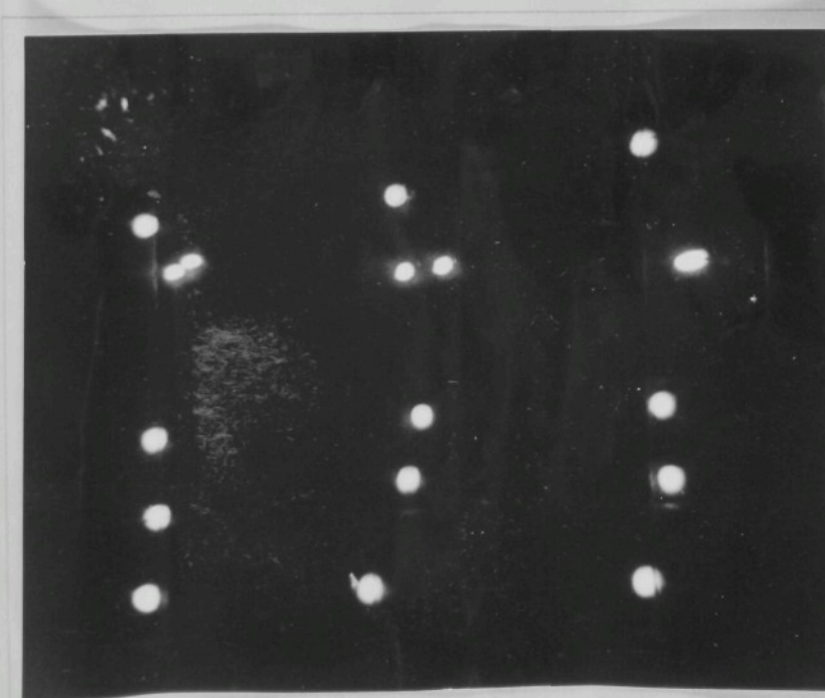
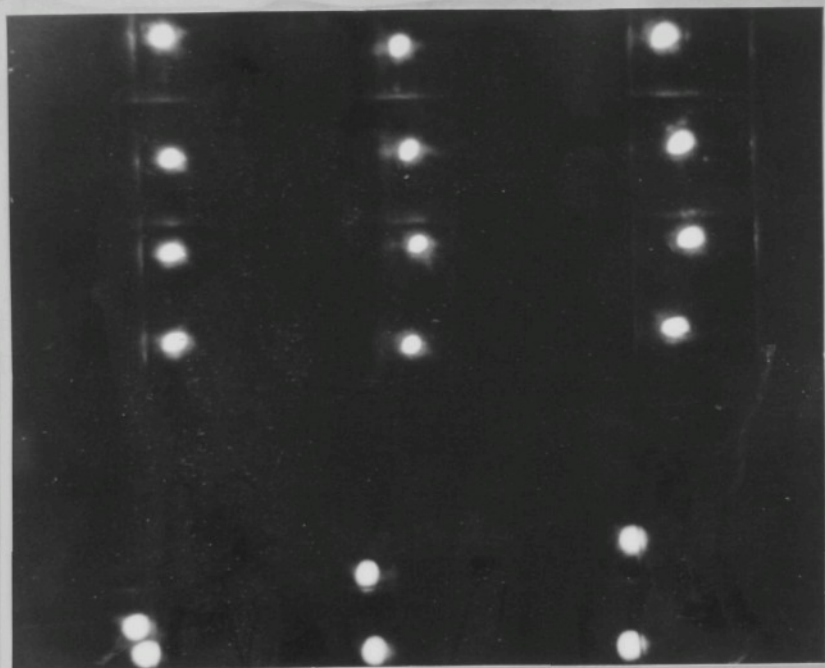
100

$S_{[P]}$

50

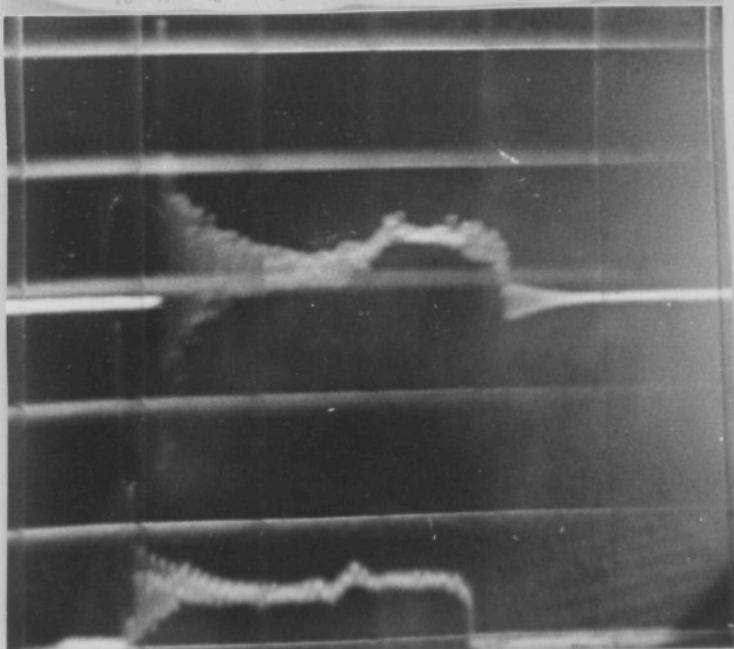
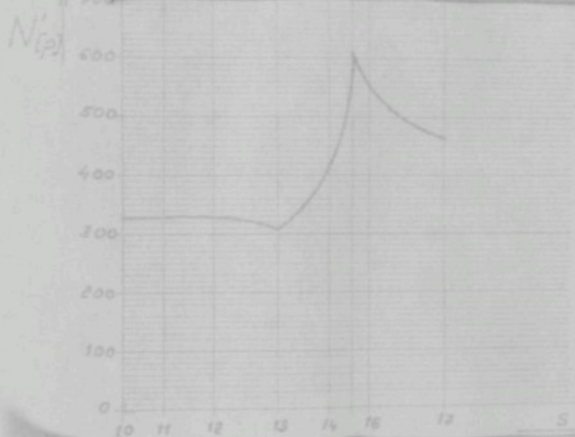
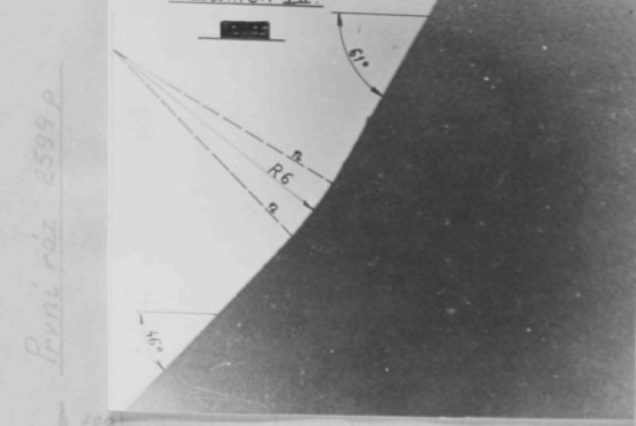
20

10



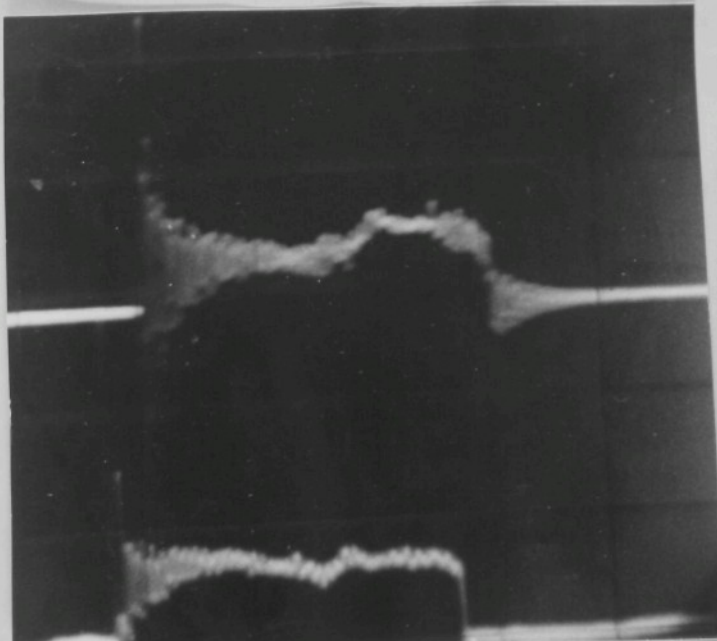
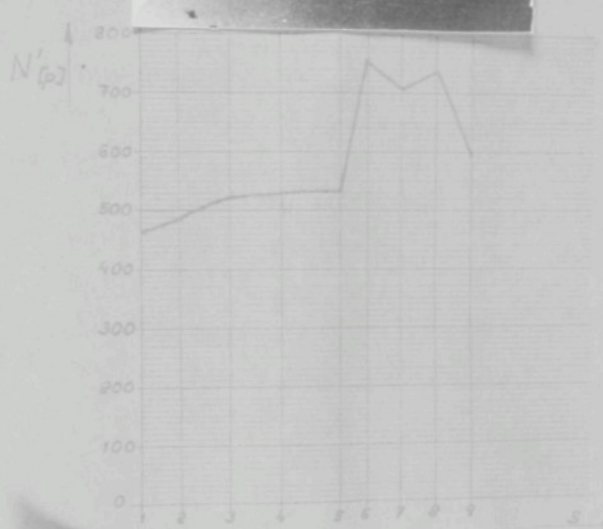
Průběh síly N pro zámek VII. S přitlakem jedné pružiny.

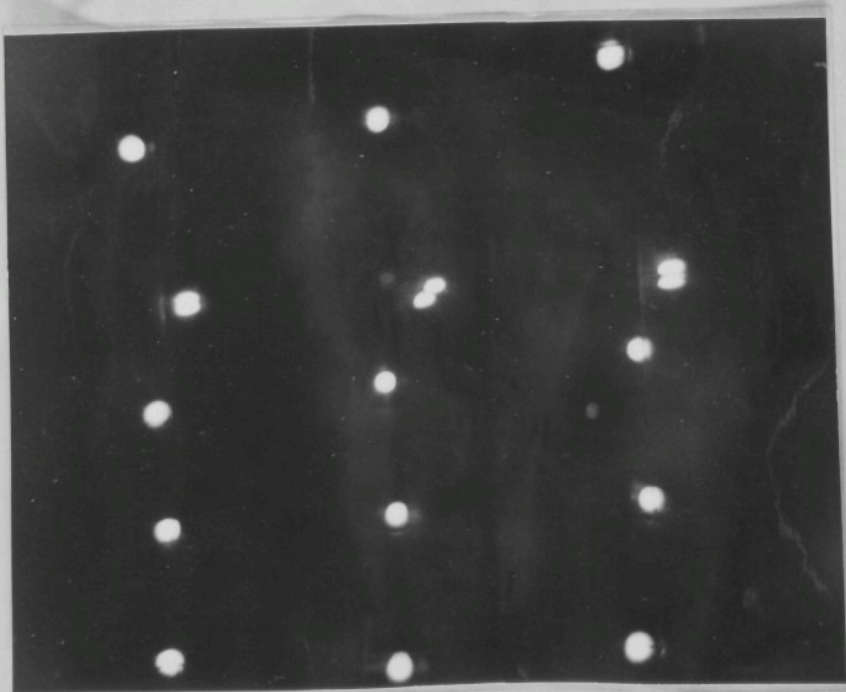
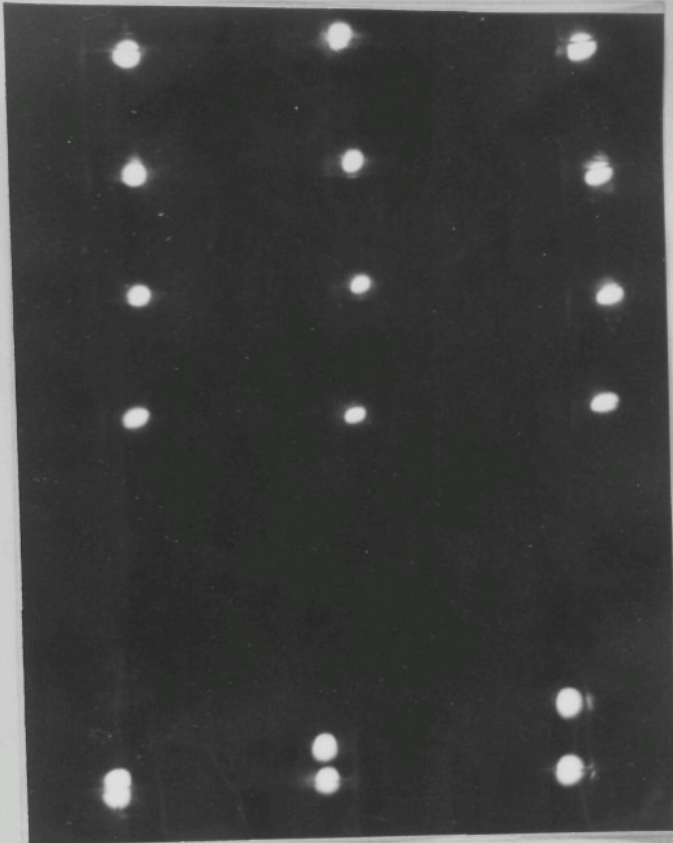
Zámek VII



Zámek VII.

Při náhradě



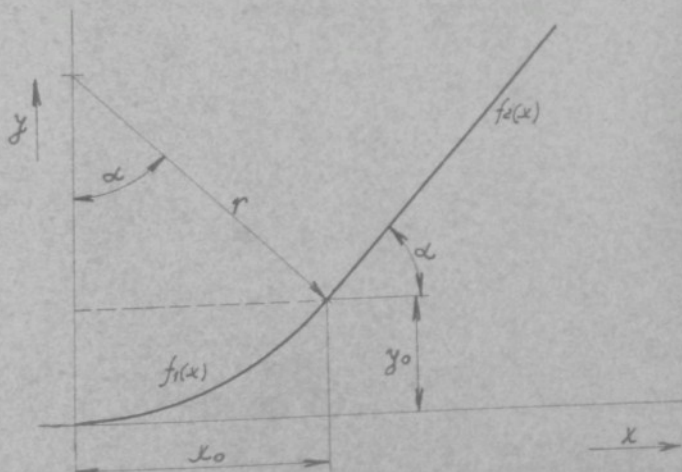


Dále z naměřených průběhu vyplývá podstatný vliv radiaální přitlačné síly na jehlu od přitlačných pružin. Velikost přitlačné síly v podstatě neovlivňuje charakter průběhu normálové síly, znamená však její značné zvýšení hlavně v místech přechodu kružnice o malém průměru na strmý pracovní uhel, kde nastane zvýšení normálové síly asi o 60 %, zatímco pro ostatní průběh normálové síly znamenají dvě přitlačné pružiny zvýšení osi o 25 %. Je zajímavé, že přitlak pružin celkem neovlivňuje velikost prvého rezu.

Dalsí nerovnoměrnost v silových poměrech mezi zámkem a jehlou může způsobit posuvání přitlačných pružin po stvolu jehly, který má nestejnou výšku. Zvláště tehdy, jsou-li tyto přeschedy ve výšce stvolu cestré, což je běžný zjev u konstrukce ražených jehel.

Pro sledování a hodnocení silového průběhu po celé funkční hraně zámku provedeme nejprve teoretický rozbore potřebných veličin proměřovaných zámkových drah. Pro silové hodnocení musíme nutně znát hodnoty skoků ve zrychlení na přechodu kružnicové a přímkové funkční hrany zámku.

Pro funkční zámkovou hranu tvořenou kružnicí a přímkou, viz obr. 4, platí:



Obr. 4.

$$f_1(x) = r - \sqrt{r^2 - x^2}$$

$$f_2(x) = \lg \alpha (x - x_0) + y_0$$

Pro získání průběhu rychlosti dále platí:

$$f_1'(x) = \frac{df_1(x)}{dt} = \frac{d[f_1(x)]}{dx} \cdot \frac{dx}{dt} = V_x \cdot \frac{x}{\sqrt{r^2 - x^2}}$$

$$f_2'(x) = \frac{df_2(x)}{dt} = \frac{d[f_2(x)]}{dx} \cdot \frac{dx}{dt} = V_x \cdot \frac{x_0}{\sqrt{r^2 - x_0^2}}$$

Veličina V_x je rovna obvodové rychlosti stroje, která je konstantní.

Pro získání průběhu zrychlení dále platí:

$$f_1''(x) = \frac{df_1'(x)}{dt} = \frac{df_1'(x)}{dx} \cdot \frac{dx}{dt} = V_x^2 \left[\frac{1}{\sqrt{r^2 - x^2}} + \frac{x^2}{\sqrt{(r^2 - x^2)^3}} \right]$$

$$f_2''(x) = \frac{df_2'(x)}{dt} = \frac{df_2'(x)}{dx} \cdot \frac{dx}{dt} = 0$$

Z uvedených vztahů vidíme, že průběh rychlosti má spojitý charakter. Naopak v průběhu zrychlení se při přechodu z kružnice na přímku projevuje skok ve zrychlení, protože $f_2'(x)$ má vždy určitou kladnou hodnotu, kdežto $f_2'(x) = 0$.

Jaké hodnoty zrychlení dosahuje při přechodu kružnice na přímku nebo naopak, je u prověřovaných zámků uvedeno v následující tabulce. Hodnoty r a x jsou odečteny z fotografií zámků. Obvodová rychlosť byla při měření $v_x = 0,7 \text{ m/s}$. Ve výpočtu zrychlení není uvažován člen

$$\frac{x^2}{\sqrt{(r^2 - x^2)^3}},$$

protože jeho hodnota je vzhledem k prvnímu členu pro naše účely zanedbatelná. U zámků VI a VII je proveden výpočet prvého i druhého skoku ve zrychlení.

Tabulka hodnot skoků ve zrychlení u prověrovaných zámkových drah.

zámek č.	$r \cdot 10^{-3}$ [m]	$x_0 \cdot 10^{-3}$ [m]	$r^e \cdot 10^{-6}$ [m ² /]	$x_0^2 \cdot 10^{-6}$ [m ² /]	$(r^e - x_0^2) \cdot 10^{-6}$ [m ² /]	$f''(x_0)$ [m/s ² /]
I	8	5,8	64	33,64	30,36	88,9
II	12	8,8	144	77,44	66,56	60,0
III	10	7,7	100	59,29	40,71	76,8
IV	5	3,9	25	15,21	9,79	156,6
V	20	14,9	400	222,01	177,99	36,8
VI	4	3,1	16	9,61	6,39	193,7
VI ₁	4	2,1	16	4,41	11,59	144,1
VII	6	5,3	36	28,09	7,91	174,4
VII ₁	6	4,3	36	18,49	17,51	117,2

Z uvedené tabulky vidíme, že hodnoty skoku ve zrychlení dosahují značných velikostí, které by se měli projevit na oscilografickém záznamu prověrovaného zámku. Uodíváme-li se nyní na průběhy normálové síly N' do příslušných grafů jednotlivých zámků, zjistíme v místech průsečíku normály n s činnou hranou zámku podstavný vzrůst normálové síly. Veli- mi markantně se to projevuje např. v grafu pro zámek I a IV. Je to logické, protože v tomto bodě je naprostě nespojité zrychlení pohybu jehly ve svislém směru. Z maximální hodnoty při průběhu jehly po kružnici (viz hodnoty v tabulce) klesá na nulovou hodnotu. Tento okamžitý skok ve zrychlení se však v grafu projeví jako plynulý pokles normálové síly. Je to způsobeno tím, že se jedná o záběr pružných součástí (velká pružnost jehly v oblasti kelenka), které uvedený skok časově rozvinou.

Může vzniknout oprávněná námitka, proč u zámků VI a VII nedochází k markantnímu skoku v průběhu normálové síly v prvé části průběhu funkční hrany zámku, kde přímka přechází v kružnici. Skok ve zrychlení zde dosahuje podle

tabulky hodnoty u zámku VI - $f_1''(x_0) = 174,4 \text{ m/s}^2$ a u zámku VII - $f_1''(x_0) = 117,2 \text{ m/s}^2$. K tomuto rázu zde skutečně dojde, ovšem vzhledem k tomu, že se opět jedná o styk pružných součástí a navíc nejde o tak zvaný skok ve zrychlení při "tvrdém" rázu, je tento ráz opět časově rozvinut.

Vzhledem k tomu, že velmi blízko tohoto prvého skoku ve zrychlení leží body přechodu kružnice na přímku, je silový průběh rázu od prvého skoku ve zrychlení rozvinut až k bodu druhého přechodu. Tento jev je lépe sledovat na osciloskopu svislé složky síly N' , t. j. průběh síly S' , který není cvlivně chybou odečítání a překreslování jako již nekreslený graf. Hlavně u průběhu síly N' zámku VI a VII došlo nutně ke zkreslení průběhu odečítáním jednotlivých složek pro graf, protože příslušný záznam má na obrazovce osciloskopu malé zvětšení. Záznam však nebylo možné při měření zvětšit, když měly zůstat na stínítku odečitatelné hodnoty prvého rázu.

Z hlediska klidné práce jehly by bylo velmi výhodné, kdyby k uvedeným rázům v průběhu kolénka jehly po zámku nedocházelo. Nemůžeme-li se vyhnout prvému rázu, pak alespoň další průběh jehly po zámku by měl zůstat klidný. Tento úkol je řešitelný. Navrhne-li křivku funkční hrany tak, že průběh $f''(x)$ bude pro celý zvedač nebo stahovač spojitý, můžeme těmto skokům zabránit, ovšem za cenu velmi pracné vyrobených zámku s náležitým tvarem funkční hrany. Vzniká však otázka, jestli nutné tyto pracné křivkové zámkové dráhy dělat vůde. Na příklad v průběhu síly N' u zámku II a V se žádny podstatný vztah normálové síly neprojevil. Naproti tomu u zámku např. IV, VI a VII je vztah normálové síly velmi markantní. Je zřejmé, že tento jev velmi úzce souvisí s poloměrem přechodové kružnice a s možně s tím související hodnotou zrychlení v přechodovém bodě. U zámku V je poloměr přechodu R 20 a u zámku II je R 12, které se jeví v daných podmínkách jako ještě výhodné, protože u zámku III, kde poloměr přechodu je R10 již ke vztahu normálové síly v místě přechodu dochází. Z hodnot výše uvedené tabulky můžeme též říci, že skok ve zrychlení by neměl být

v místech přechodu větší než 60 m/s^2 . Větší hodnotu skoku ve zrychlení již nestačí jehla svou pružností utlumit.

6.3 Závěry z kapitoly hodnocení funkčních zámkových dráh tvořených přímkami a kružnicovými přechody.

1. Pro bezrakový vstup kolénka jehly na zámek musí jehla najíždět na zámek s nulovým úhlem náběhu. Není-li to možné, neměl by náběhový úhel přesáhnout hodnoty $\angle = 10^\circ$.
2. Na funkčních zámkových dráhách tvořených přímkami a kružnicemi dochází v místech přechodu vlivem skoku ve zrychlení k "růzám". Aby se tento jev odstranil, je nutné, aby skok ve zrychlení pro danou jehlu nepřesáhl hodnotu 60 m/s^2 . Kde nelze tento předpoklad splnit, je nutné navrhovat zámkové dráhy se složitými křivkami, které budou mít průběh zrychlení spojity.
3. U válcových jehel, které jsou v lůžku přidržovány přítlakovými pružinami, by počet pružin a jejich tlak měl být co nejmenší. Velký přitlak pružin velmi markantně zhoršuje silové poměry mezi kolénkem jehly a zamkem. Přitlačné pružiny by se pokud možno mohly posouvat při svislému pohybu jehly jen po stejně výše stvolu jehly nebo by změna výšky stvolu měla být prováděna velmi mírným náběhem, který je u většiny stávajících jehel velmi ostrý.

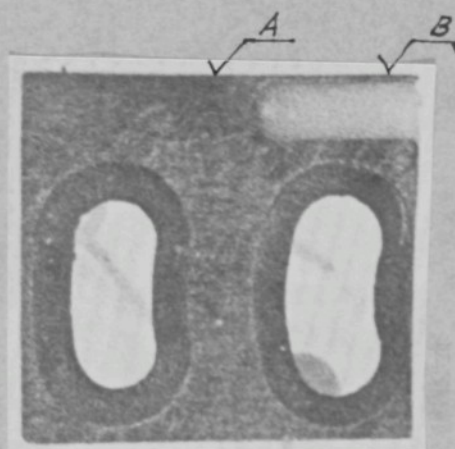
7.0 Vliv pružnosti jehly a zámkové funkční hrany na velikost prvého rázu kolénka jehly na zámek.

Z předešlých částí této práce vyplývá, že snížení prvé rázové síly při nájezdu kolénka na zámek je řešitelné jen za cenu snížení náběhového úhlu zámku na nulovcu hodnotu nebo na celkem přijatelnou hodnotu úhlu $\alpha = 10^\circ$. Tchoto řešení však lze použít pro snížení rázové síly jen v některých případech. Nelze ho např. použít tehdy, kdy některá jehla je zvedačem zvednuta jen do chytové polohy a v následující dráze narazí do poloviny dráhy stahovače, jehož úhel je v tomto místě zpravidla kolem $\alpha = 45^\circ - 50^\circ$. Tento případ však běžně nastává u žákárových pletacích strojů a je nutné najít přijatelné řešení, které by umožnilo snížení rázové síly i při nájezdu kolénka na strmu zámkovou funkční hranu. Předpokládáme-li, že rychlosť pletacích strojů bude stoupat, jeví se tento problém jako jedna ze základních otázek při zvyšování otáček pletacích strojů.

Snížení prvého rázu lze docílit u jakýchkoliv srázejících se těles snížením jejich tuhosti nebo vložením pružného elementu do místa rázu. Je otázka, jak dalece nám bude toto řešení vyhovovat pro naše účely. Je zde možné jít dvěma cestami. Buď snížíme tuhost jehly v oblasti kolénka nebo odpružíme funkční hranu zámku. Již při předešlých výzkumech se ukázalo, že odpružená funkční hraná zámku, odpovídající svou hmotou narázejícímu kolénku jehly, má vliv na velikost prvého rázu (viz kapitola 4.0). Značně problematické je však konstrukční vyřešení zvýšení pružnosti jehly nebo zámku, aby bylo pro praktické účely použitelné. Z kapitoly 3.2.10 víme, že pružnost jehly v oblasti kolénka je dána průběhem kolénka o 0,1 mm při zatěžující síle 1 kp. To znamená, že má-li dojít k podstatnějšímu snížení rázové síly, musíme dovolit kolénku nebo funkční zámkové hraně, aby při zatěžující síle 1 kp došlo k celkovému sítlačení obou součástí asi o 0,2 mm. Pro potvrzení těchto závěrů byla provedena řada měření, z nichž podstatná jsou dále uvedena.

7.1 Fružné uložení části činné hrany zámku.

Pro vyzkoušení vlivu pružné zámkové hrany byl navržen upravený zámek podle výkresu 4-O příloha I. Zámek je proveden tak, aby se snadno upevnil na snímač. Fotografií upraveného zámku vidíme na obr. 1.

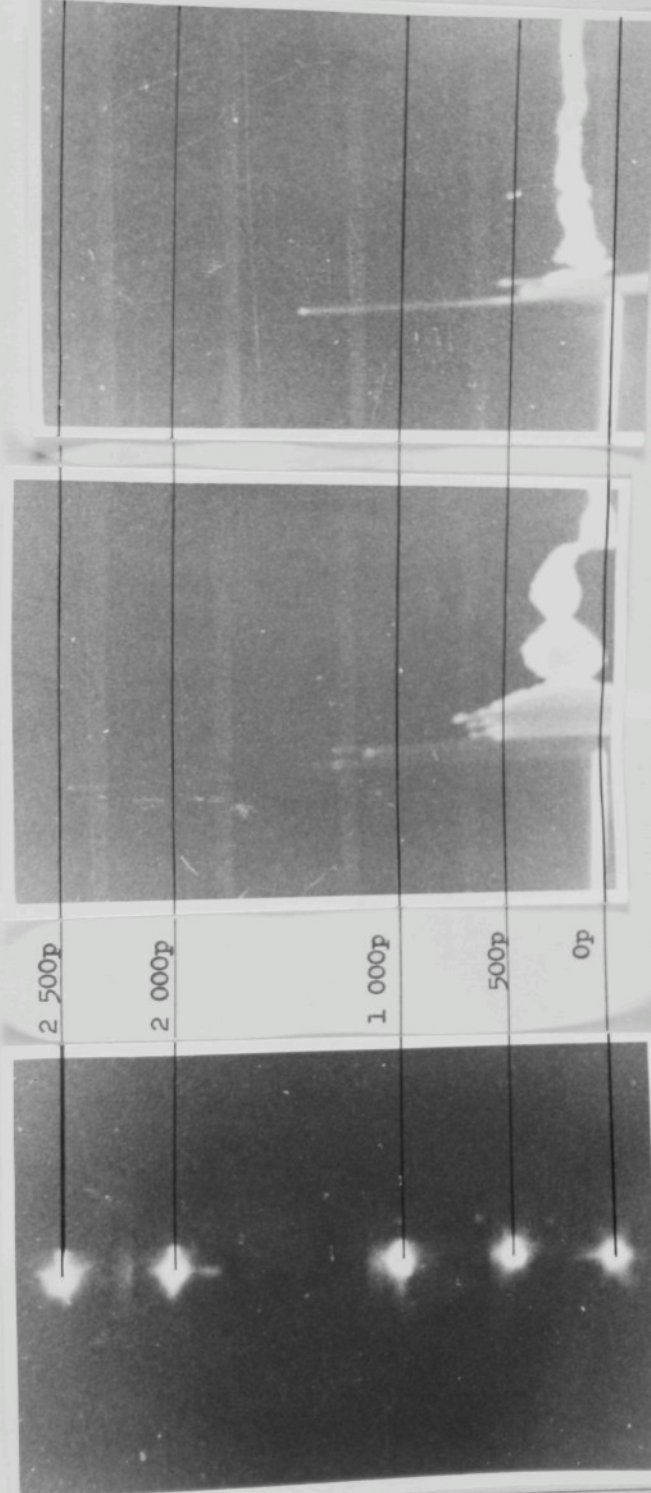


Obr. 1.

Zámek je opatřen na nájezdové straně výlezem, který je zalist epoxydovou pryskyřicí. Tím je hrana zámku nad výlezem odpružena a epoxydová pryskyřice též zabraňuje tomu, aby nedošlo k uražení odpružené hrany, která je velmi tenké.

Zkoušky, které s tímto zámkem byly provedeny ukázaly, že odpružená funkční zámková hrana může podstatně snížit velikost prvého rázu. Hodnoty jednoho měření jsou uvedeny na oscilogramech na str. 164. Oscilogram I je záznam nárazu kolénka jehly na zámek v místě A (viz obr. 1), t. j. v místě neodpružené funkční hrany. Oscilogram II je záznam nárazu kolénka jehly na zámek v místě B, t. j. v místě odpružené hrany. K oběma záznamům je připojen cejch s vynešením cejchovních hodnot. Při obou měřeních pracoval zámek jako zvedač při úhlu $\alpha = 45^\circ$ a obvodová rychlosť jehelního válce byla $v = 0,7 \text{ m/s}$. Záznamy jsou provedeny pro tužkovou jehlu pracující stále v téže drážce lůžka.

$\alpha_c = 45^\circ$, $v = 0,7 \text{ m/s}$



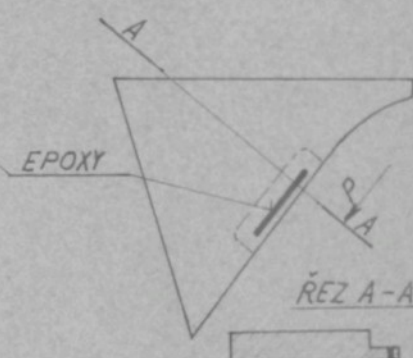
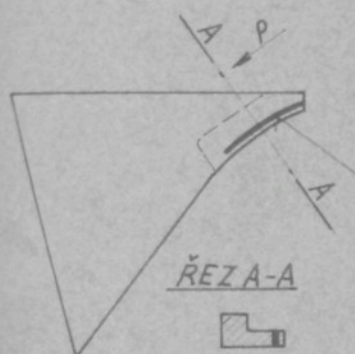
"a" - N = 2 440p

"b" - N = 1 450p

Provedeme-li porovnání hodnot rezové síly obou zámků vidíme, že pružným uložením funkční zámkové hrany se dosáhlo snížení prvého rázu o 40 %. I celkový průběh jehly po zámkru je u odpružené hrany podstatně klidnější.

Odpružená funkční hrana bude plnit svoji úlohu nejlépe jen však tehdy, když bude pokud možno ve styku s kolénkem jedné nebo minimálního počtu jehel.

Hlavní dva způsoby konstrukčního provedení odpruženého zámků vidíme na obr. 2 a 3.



Obrázek 2 znázorňuje způsob odpružení náběhové hrany stahovací, na obr. 3 je znázorněn stahovač s odpružencem části funkční hrany v chytové poloze. Naproti výhodám, které by přineslo pružné uspořádání zámkové hrany v místě rázu podle uvedených obrázků, přináší tento způsob i určité nevýhody. I když se jedná o velmi jednoduché upravení zámků, vznikly by dost značné potíže při technologii jejich výroby. Nejchém závažnější je však ta okolnost, že by se odpružená hrana během činnosti stroje mohla ulomit. To by způsobilo značnou havárii stroje a ulomení kolének jehel na velké části obvodu válce. Jiné konstrukční uspořádání odpružené hrany, které by vyloučilo havarii stroje, vychází však příliš složité. Jistě by se nešel určitý kompromis, který by umožnil spolehlivé zarazení odpružené funkční hrany do zámkové soustavy pletacích strojů, ovšem vzhledem

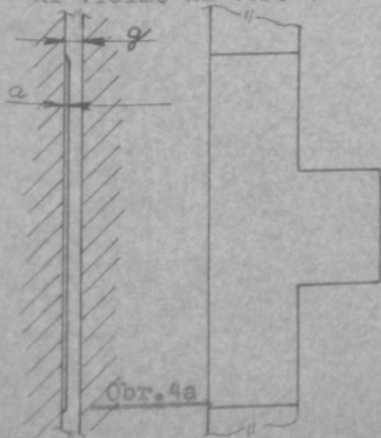
k složitosti problému je výhodnější jít druhou cestou, t. j. odpružením jehel v místě jejich kolénka.

7.2 Vliv pružného uložení jehel v oblasti kolénka na velikost prvého rázu.

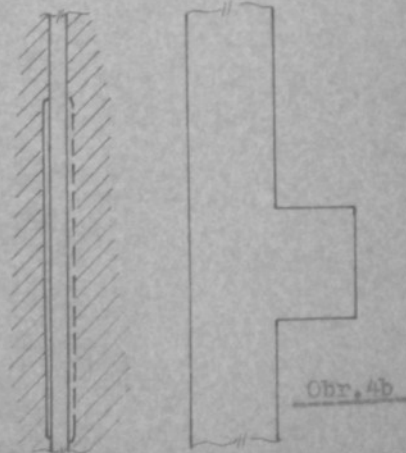
Protože se ukázal velmi zajímavý a úspěšný pokus s odpružencem funkční hranou zámku, byla dále sledována myšlenka odpružit v oblasti kolénka samotnou jehlu. Odpružená jehla by měla navíc tu výhodu, že její pružnost, tedy i velikost prvého rázu, je nezávislá na ostatních jehlách, což u pružné zámkové hrany, na kterou najíde více kolének najednou, nelze zajistit. Odpružená zámková hrana je nutné ve styku s více kolénky, musí být tedy dosti tuhá a tím nemůže dokonale tlumit ráz jediné jehly.

Není tedy pochyby, že by odpružená jehla byla mnohem výhodnější, než odpružená zámková hrana. Zůstává však problém, jak toto odpružení provést.

Při nárazu kolénka jehly na zámek dochází k zaspružení jehly v oblasti kolénka. Bylo by tedy vhodné, kdyby se jehla v oblasti kolénka mohla při nárazu více prohnout a dovolila kolénku jehly větší pohyb. To lze splnit tím, že pod kolénkem jehly provedeme vybráni, a to buď v samotné jehle nebo ve stěně drážky. Způsob provedeného vybrání vidíme na obr. 4a a 4b.



Obr. 4a

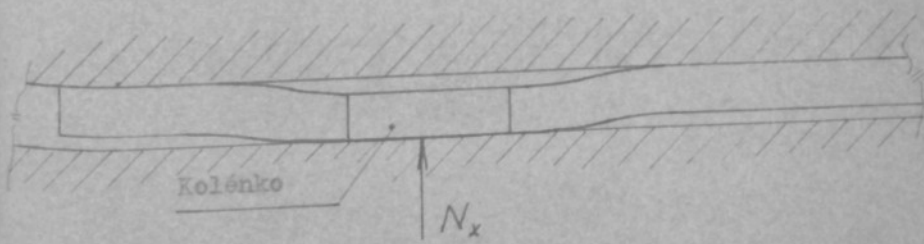


Obr. 4b

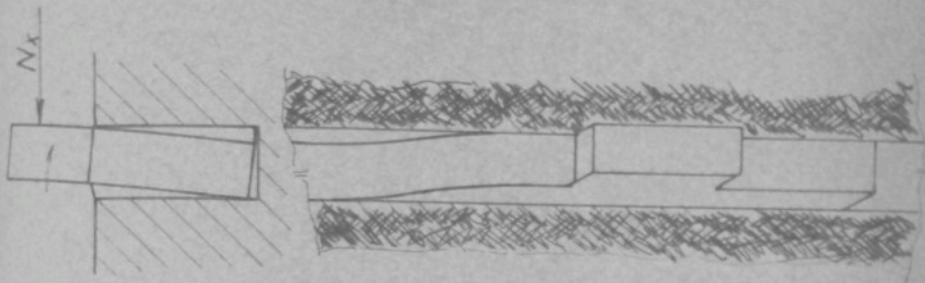
Způsob provedení na obrázku 4a je vhodný pro ražené jehly, které mají sílu stvolu, tedy míru $g = 0,6$ mm. Tato hodnota nám dovoluje provést zeslabení tloušťky jehly o 0,1 mm, aniž vážně ohrozíme činnost a pevnost jehly. Je jisté, že tímto zeslabením snížíme pevnost jehly v místě kolénka, tedy v nejvíce namáhaném průřezu. Záleží nyní na tom, zda procento snížení pevnosti bude úměrné dosaženému procentu snížení hodnoty prvého rázu.

Pro jehly vyráběné tažením nebo pro velmi slabé jehly ražené (válcové jehly jemných punčochových strojů) je vhodnější provedení podle obr. 4b. Tchoto způsobu lze však použít jen tehdy, když lůžko, do kterého jehly vkládáme, je skládané z lamel. Jinak bychom nemohli potřebné vybrání ve stěně drážky provést. Úpravu stěny drážky budeme provádět v místě, kde dochází k nárazu jehly na zámek. Tento způsob má tu výhodu, že jehla není v místě kolénka pevnostně zeslabena.

Dále se naskytá otázka, zda-li by nešlo pro ustupování kolénka jehly při nárazu na zámek využít konstrukční výle mezi jehlou a uložením v drážce lůžka. Vhodným tvárováním stvolu jehly by se kolénko posunulo v drážce proti najízdějícímu zámkovi, čímž by na druhé straně kolénka vznikla mezi ním a stěnou drážky výle, která by mohla přispět k snížení prvého rázu kolénka na zámek. Způsoby úpravy stvolu jehly vidíme na obr. 5a a 5b. Zvláště způsob torzního natočení stvolu je velmi výhodný vzhledem ke snadnému provedení, kde spodní konec jehly s kolénkem natočíme proti hornímu konci jehly, t. j. torzně nakrcutíme stvol jehly.



Obr. 5a.



Obr. 7b.

Jak se jednotlivé úpravy projeví v praxi nám musí potvrdit jednak skutečná měření a za druhé dlouhodobé provozní zkoušky, které by dokázaly, že některé z dříve probraných úprav je možné bez nepříznivých následků použít. Všechny úpravy jsou v podstatě velmi jednoduché, jak po stránce provedení, tak vzhledem k ceně úpravy. Pro ověření celé problematiky jsem se rozhodl zajistit skutečné hodnoty rázu v případě podbroušení jehly v oblasti kolénka a při torzním natočení stvolu jehly. Oba tyto způsoby v sobě zahrnují v podstatě všechny dříve probrané úpravy. Celá řada měření byla provedena s raženými jehlami na válcovém i talírovém lůžku. Podbroušování jehel v místě kolénka bylo o 0,1 mm na takové délce, aby při rázové síle $N_x = 1 \text{ kp}$ došlo k prohnutí stvola jehly v místě kolénka právě asi o 0,1 mm. Tím se tedy u takto upravených jehel může kolénko pod působením síly 1 kp vychýlit v podstatě na 0,2 mm (viz kapitola 3.2.10) tedy na dvojnásobnou hodnotu. Délku podbroušení jehly pod kolénkem vypočítáme podle vztahu, který platí pro průhyb nosníku uloženého volně na dvou podporách:

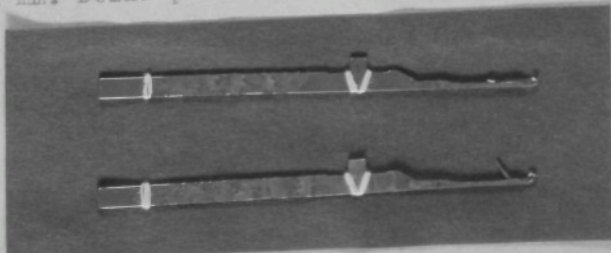
$$l = \sqrt[3]{\frac{y_{max} \cdot 48EI}{P}}, \text{ kde}$$

- l délka podbroušení v (cm)
- P síla zátěže v (kp)
- y průhyb uprostřed kolénka v (cm)
- E modul pružnosti v ohybu v (kg/cm^2)
- I moment setrvačnosti v (cm^4)

Samozřejmě, že byly zkoušeny a prověřovány i jiné rozměry podbroušení, ovšem výše popsany způsob se ukázal jako nejvhodnější.

V případě zkoušek s torzně nakrouteným stvolem byl stvol nakroutován jen ručně ve svěráku a to do takové míry, při které se v podstatě neměnil odpor pohybu jehly v dráze proti jehle s přímým stvolem. V podstatě to znamenalo vykrcutit spodní část jehly s kolénkem oproti horní části asi o $1 - 2^\circ$. Z celé série měření jsou dále uvedeny zkoušky s raženými jehlami pracujícími v talířovém lůžku. Je nutné zdůraznit, že výsledky na válcovém lůžku byly v případě použití jiných druhů ražených jehel stejné, když byly upravovány podle dříve zmíněných zásad. Naměřené hodnoty jsou úmyslně uváděny z talířového lůžka, aby bylo zřejmé, že i na talířovém lůžku, kde jsou silové poměry mezi jehlou a zámkem poněkud sležitější proti lůžku válcovému, jsou výsledky s odpovídáním jehel v oblasti kolénka použitelné.

Měření bylo prováděno na talířovém lůžku již známého žákovského stroje. K měření byl použit dvousložkový snímač ověm tak, aby pracoval jen jako snímač jednosložkový, který zachycuje jen "čistou" normálovou sílu N_1 a N_3 , tedy bez složky tření T . Přímková funkční hraná zámků snímače byla nastavena jako zvedač s pracovním úhlem $\alpha = 50^\circ$. Obvodová rychlosť kolénka v místě nájezdu na zámek byla $v = 0,65 \text{ m/s}$. Každé měření bylo zaznamenáno třikrát, aby se vyloučila náhodnost měřených hodnot. Na obr. 6 jsou přiloženy oba typy krátkých talířových jehel, se kterými bylo měření prováděno. První jehla je neupravená, druhá je v místě kolénka podbroušena. Podbroušení je provedeno o míru 0,1 mm. Délka podbroušení je určena ze vztahu



Obr. 6

$$\ell = \sqrt[3]{\frac{y_{max} \cdot 48 \cdot E \cdot J}{P}} = \sqrt[3]{\frac{0,01 \cdot 48 \cdot 21 \cdot 10^6 \cdot 4,17 \cdot 10^{-6}}{1}} =$$

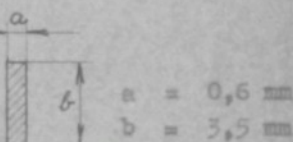
$$= \sqrt[3]{4,203} \quad \hat{=} \underline{16 \text{ cm}}, \text{kde}$$

$$y_{max} = 0,1 \text{ mm}$$

$$E = 2,1 \cdot 10^6 \text{ kp/cm}^2$$

$$P = 1 \text{ kp}$$

Rozměr průřezu stvola jehly u kolénka byl uvažován:

$$J = \frac{b \cdot a^3}{12} = \frac{0,35 \cdot 0,06^3}{12} = \underline{\underline{4,17 \cdot 10^{-6} \text{ cm}^4}}$$


Tímto podbroušením se sníží pevnost kolénka jehly v místě, kde přechází ve stvol. Protože tento průřez je namáhan převážně na chyb, zvýší se namáhání průřesu v podstatě v poměru průřezových modulů.

Průřez kořene kolénka pro nepodbroušenou jehlu je dán rozměry:

$$\text{tlouštka kolénka} \quad a_1 = 0,6 \text{ mm}$$

$$\text{šířka kolénka} \quad c_1 = 3,0 \text{ mm}$$

Pro podbroušenou jehlu:

$$a_2 = 0,5 \text{ mm}$$

$$c_2 = 3,0 \text{ mm}$$

Hodnota průřezových modulů:

$$\text{Pro nepodbroušenou jehlu } W_1 = \frac{c_1 \cdot a_1^2}{6} = \frac{3 \cdot 0,6^2}{6} = \underline{\underline{0,180 \text{ mm}^3}}$$

$$\text{Pro podbroušenou jehlu } W_2 = \frac{c_2 \cdot a_2^2}{6} = \frac{3 \cdot 0,5^2}{6} = \underline{\underline{0,125 \text{ mm}^3}}$$

Tedy namáhání průřezu kořene kolénka se zvýší o

$$\frac{W_1 - W_2}{W_2} \cdot 100 = \frac{0,180 - 0,125}{0,180} \cdot 100 = 31\%$$

Na tabulkách na str. 172 a v příloze II je provedeno vyhodnocení pěti jednotlivě najíždějících jehel na zámek, a to na snímku X 121 - X 135, jehel náhodně vybraných, které již ve stroji pracovaly. Na snímcích X 136 - X 150 jsou záznamy průběhu normálových sil pro pět jehel podbroušených v oblasti kolénka. Jehly byly vkládány vždy do stejné drážky talířového lůžka.

Z hodnot rázových normálových sil z tabulky na str. 172 lze vypočítat, že průměrná hodnota rázové síly u neupravených jehel je $N_1 = 1770$ p. Naproti tomu průměrná hodnota rázové síly u podbroušených pěti jehel je $N_1 = 820$ p. To znamená, že úpravou jehel podbroušením došlo ke snížení hodnoty prvého rázu asi o 54 %. Srovnáme-li tuto hodnotu s procenty snížení pevnosti u podbroušené jehly zjistíme, že podbroušením jehel se vlastně dosáhlo snížení namáhání kořene kolénka asi o 20 %. Při tomto měření byly též vyčísleny síly N_3 u všech měřených jehel, aby bylo patrné, s jakým odporem se jednotlivé jehly pohybovaly v drážce lůžka při ustáleném průběhu po přímkové hraně zámku. Z uvedených hodnot normálových sil N_3 vyplývá, že uložení jehel v lůžku bylo přibližně stejné a že tedy rázové síly obou skupin jehel můžeme mezi sebou srovnávat.

Pro další zdůraznění vlastnosti podbroušených jehel byla ještě provedena měření na snímcích X 151 - X 159 uvedených v příloze II. Snímky X 151 - X 153 znázorňují čtyři za sebou najíždějící jehly na zámek. Jedná se o jehly neupravené, náhodně vybrané z jehel, které ve stroji již pracovaly. Snímky X 154 - X 156 zachycují případ, kdy druhá jehla byla vyměněna za jehlu podbroušenou a ostatní zůstaly z předešlého měření. Na snímcích X 157 - X 159 je zachycen případ čtyř podbroušených jehel, které byly zaměněny za jehly ne-

Talířové jehly neupravená. Normálová síla N_1 a N_2 .

čísla	1. měření sním. N_1/p	2. měření sním. N_1/p	3. měření sním. N_1/p	\bar{N}_1/p	\bar{N}_2/p			
1	X 121	2 020	X 122	2 040	X 123	1 980	2 133	200
2	X 124	1 850	X 125	1 900	X 126	1 830	1 850	290
3	X 127	1 900	X 128	1 980	X 129	1 930	1 936	300
4	X 130	1 340	X 131	1 400	X 132	1 250	1 336	300
5	X 133	1 530	X 134	1 550	X 135	1 590	1 590	360

Talířové jehly podbroušené. Normálová síla N_1 a N_2 .

čísla	1. měření sním. N_1/p	2. měření sním. N_1/p	3. měření sním. N_1/p	\bar{N}_1/p	\bar{N}_2/p			
1	X 136	730	X 137	700	X 138	710	713	320
2	X 139	700	X 140	700	X 141	720	707	310
3	X 142	910	X 143	900	X 144	930	913	300
4	X 145	890	X 146	910	X 147	890	897	290
5	X 148	800	X 149	810	X 150	800	803	310

upravené. Hodnoty tohoto měření jsou vyčísleny na tabulkách na str. 174. Z uvedených hodnot v tabulkách i z vlastních záznamů jednoznačně vyplývá velmi podstatný vliv podbroušeného kolénka na velikost rázové síly. V další sérii zkoušek byl sledován vliv natáčení stvolu jehly na velikost normálových sil. Dále je uveden komentář k jednotlivým měřením. Všechny snímky pro toto měření jsou uvedeny v příloze II. Pro celou přílohu II platí cejch X 191.

Snímky X 161 - X 163, tabulka na str. 175.

Ze skupiny jehel, které ve stroji již pracovaly, byla vybrána jehla, která se v lůžku pohybovala naprostě volně a přitom vykazovala extrémně vysoké hodnoty jak rázové, tak normálové síly při ustáleném pohybu kolénka po zámku. Při podrobném prohlédnutí této jehly bylo zjištěno, že na přechodu kolénka jehly ve stvol je vytvořeno "zrcátko" od styku jehly s horní hranou drážky. Při proměřování jehly, která toto zrcátko neměla (snímky X 164 - X 166) jsou hodnoty normálových sil N_1 a N_3 podstatně menší. Navíc tato jehla byla předpružena a pohybovala se v drážce s normální tuhostí. Je samozřejmé, že obě jehly pracovaly za stejných základních podmínek. Závěrem tohoto měření je možno konstatovat, že jehly pracují ve stroji s velmi odlišnými silovými podmínkami, různými až o 50 % a při subjektivním hodnocení pohybu jehly v lůžku mohou vykazovat stejné dokonce opačné hodnocení, než odpovídajícím hodnotám. Dále se ukazuje, že by jehla při pohybu v drážce neměla dosednout pod působením zámku tvrdě na horní hranu drážky lůžka, protože může dojít k velmi podstatnému zvýšení hodnot normálových sil vlivem zvýšeného tření.

Snímky X 167 - X 172, tabulka str. 175.

Na těchto snímcích je provedeno měření s jehlou A, která po měření v normálním stavu byla nakroucena spodní část jehly do-prava, t. j. ve směru nájezdu kolénka jehly na zámek a poté do-leva, t. j. proti směru nájezdu kolénka na zámek. Z vyčíslených hodnot měření je jasné patrný vliv

Neupravené jehly mající dělící za sebou na zámek.

Jehla	1. měření		2. měření		3. měření		Prům. hod. \overline{H}_1/p
	sním.	H_1/p	sním.	H_1/p	sním.	H_1/p	
1	X 151	1 000	X 152	1 000	X 153	980	993
2	X 151	1 490	X 152	1 490	X 153	1 500	1 493
3	X 151	1 750	X 152	1 800	X 153	1 710	1 753
4	X 151	2 030	X 152	1 950	X 153	2 040	2 007

Uvádí jehly mající dělící za sebou na zámek. Druhá jehla je podbrouklená.

Jehla	1. měření		2. měření		3. měření		Prům. hod. \overline{H}_1/p
	sním.	H_1/p	sním.	H_1/p	sním.	H_1/p	
1	X 154	980	X 155	920	X 156	930	943
2	X 154	930	X 155	940	X 156	920	930
3	X 154	1 870	X 155	1 800	X 156	1 780	1 817
4	X 154	1 930	X 155	1 930	X 156	1 990	1 967

Podbrouklené jehly mající dělící za sebou na zámek.

Jehla	1. měření		2. měření		3. měření		Prům. hod. \overline{H}_1/p
	sním.	H_1/p	sním.	H_1/p	sním.	H_1/p	
1	X 157	800	X 158	700	X 159	790	762
2	X 157	1 040	X 158	1 030	X 159	1 020	1 030
3	X 157	1 500	X 158	1 510	X 159	1 520	1 510
4	X 157	1 700	X 158	1 820	X 159	1 840	1 787

Talířová jehla neupravená, nepředpružená, která se v drážce pohybuje naprosto volně.

sním.	$N_1/p/$	sním.	$N_1/p/$	sním.	$N_1/p/$	$\overline{N}_1/p/$	$\overline{N}_3/p/$
X 161	2 030	X 162	1 960	X 163	2 030	2 007	290

Talířová jehla neupravená, předpružená, která se v drážce pohybuje s normální tuhostí.

sním.	$N_1/p/$	sním.	$N_1/p/$	sním.	$N_1/p/$	$\overline{N}_1/p/$	$\overline{N}_2/p/$
X 164	1 180	X 165	1 190	X 166	1 190	1 167	230

Jehla A.

Libovolně zvolená talířová jehla, předpružená s normální tuhostí pohybu v drážce.

sním.	$N_1/p/$	sním.	$N_1/p/$	sním.	$N_1/p/$	$\overline{N}_1/p/$	$\overline{N}_2/p/$
X 167	1 360	X 168	1 460	X 169	1 460	1 433	190

Jehla A.

U jehly bylo zrušeno předpružení. V drážce se pohybovala úplně volně. Stvol byl nakroucen doleva.

sním.	$N_1/p/$	sním.	$N_1/p/$	sním.	$N_1/p/$	$\overline{N}_1/p/$	$\overline{N}_2/p/$
X 170	2 100	X 171	2 050	X 172	2 020	2 057	60

Jehla A.

Jehla je opět předpružena. V drážce se pohybuje s normální tuhostí. Stvol byl nakroucen doprava.

sním.	$N_1/p/$	sním.	$N_1/p/$	sním.	$N_1/p/$	$\overline{N}_1/p/$	$\overline{N}_2/p/$
X 173	1 160	X 174	1 160	X 175	1 200	1 173	150

torzního předpružení jehly, kterým se může dosáhnout podstatného snížení rázové síly.

Snímky X 176 - X 184, tabulky str. 177.

stejně měření jako s jehlou A bylo provedeno s jehlou B, která však je na rozdíl od jehly A v oblasti kolénka podbroušená. Jehla je tedy upravena, jak nakroucením stvolu, tak jeho podbroušením v oblasti kolénka. Z hodnot tabulek je zřejmé, že torzní předpružení stvolu jehly má své opodstatnění i u jehel podbroušených. Shrňme-li tedy předcházející výsledky, může tatož jehla dosáhnout hodnoty rázové síly $N_1 = 2\ 000$ p a když je náležitě upravena hodnota $N_1 = 700$ p, což představuje rozdíl 65 %. A to za předpokladu, že odpor jehly při ustáleném pohybu je ve celku stejný.

Snímky X 185 - X 190, tabulky str. 177.

Při tomto měření se sledovalo, jaký vliv má na rázovou sílu místo ohnutí jehly pro její předpružení v drážce lůžka. Měření bylo provedeno s jehlou C, která byla v oblasti kolénka podbroušena. Z hodnot tabulek a snímků vyplývá, že předpružení jehly v místě kolénka má sice za následek snížení rázové síly, avšak jehla takto předpružená velmi odskekává od zámku. Naproti tomu jehla, která byla předpružena na kořenu jehly, tedy v místě obvyklém, měla hodnotu síly prvého rázu vyšší, avšak její pohyb po zámku je mnohem klidnější. Proto bych nedoporučoval předpružovat jehlu v místě kolénka, ale v místě podbroušení na kořenu jehly.

7.3 Stručný závěr z kapitoly 7.0.

Pro snížení hodnoty prvého rázu kolénka jehly na zámek je možné použít jak odpružené zámkové hrany, tak odpružené jehly v místě kolénka. Odpružování jehel v místě kolénka se však z praktického hlediska jeví mnohem výhodnější. Celkem jednoduchými úpravami lze dosáhnout snížení hodnoty prvého rázu o 50 %. Velmi výhodné se jeví též torzní předpružení.

Jehla B.

Jehla podbroušená, předpružená, s normální tuhostí pohybu v drážce. Její stvol nebyl kroucen.

sním.	$N_1/p/$	sním.	$N_1/p/$	sním.	$N_1/p/$	$\bar{N}_1/p/$	$\bar{N}_2/p/$
X 176	820	X 177	800	X 178	800	807	210

Jehla B.

Jehla podbroušená, předpružená, s normální tuhostí pohybu v drážce. Jeden stvol byl kroucen doleva.

sním.	$N_1/p/$	sním.	$N_1/p/$	sním.	$N_1/p/$	$\bar{N}_1/p/$	$\bar{N}_3/p/$
X 179	930	X 180	910	X 181	920	920	200

Jehla B.

Jehla podbroušená, předpružená, s normální tuhostí pohybu v drážce. Jeden stvol byl kroucen doprava.

sním.	$N_1/p/$	sním.	$N_1/p/$	sním.	$N_1/p/$	$\bar{N}_1/p/$	$\bar{N}_2/p/$
X 182	680	X 183	690	X 184	690	687	210

Jehla C.

Jehla podbroušená, předpružená, s normální tuhostí pohybu v drážce. Předpružení bylo provedeno v místě podbroušení na patě jehly.

sním.	$N_1/p/$	sním.	$N_1/p/$	sním.	$N_1/p/$	$\bar{N}_1/p/$	$\bar{N}_3/p/$
X 185	810	X 186	800	X 187	810	807	250

Jehla C.

Jehla podbroušená, předpružená, s normální tuhostí pohybu v drážce. Předpružení provedeno v místě podbroušeného kolénka.

sním.	$N_1/p/$	sním.	$N_1/p/$	sním.	$N_1/p/$	$\bar{N}_1/p/$	$\bar{N}_3/p/$
X 188	640	X 189	650	X 190	660	650	200

jehel, které je z uvedených úprav nejjednodušší a přitom
přináší značné zlepšení v silových poměrech namáhání jehly.

Provádět předpružování jehel v místě kolénka u jehel
podbroušených se jeví nevýhodné, protože takto upravené
jehly mají po prvním rázu velmi neklidný chod.

8.0 Namáhání příze při pletení.

V předešlých kapitolách jsem se hlavně zabýval pohybem jehel a silovým stykem mezi kolénkem jehly a zámkem. I když tato tématika úzce souvisí s tvorbou očka a tedy i namáháním příze, musí být novými metodami podrobně prozkoumán i cyklus tvarování příze do kliček a oček. Vlivy, které bezprostředně ovlivňují namáhání příze, lze rozdělit do tří skupin.

1) Do prvej skupiny zařadíme vlivy, které jsou způsobené vlastní technologií přetvarování příze v očko. Způsob výroby očka na jazyčkové jehle je na všech pletacích strojích v podstatě stejný, t. j. uzavření, záhyt, nanešení, odhoz a zatažení, které určují naprostě nerovnoměrnou spotřebu příze. Mohou zde však nastat další odlišnosti ve způsobu zatahování, t. j. zatahování postupné nebo dělené. Dále je nutné počítat s vlivem napnutí přivedené příze k jehlám a s velikostí odtahu.

2) Do druhé skupiny je možné zařadit vlivy způsobené konstrukčním uspořádáním a tvarom jednotlivých součástí základního konstrukčního celku pletacích strojů, který se bezprostředně podílí na přetvarování příze v očko. Tyto vlivy pak ovlivňují jednotlivé fáze technologie tvorby očka z předcházejícího bodu. Patří sem např. různý tvar jehel, zámků, lůžek, dělení stroje atd.

3) Do třetí skupiny pak zahrneme vlivy související s vlastností příze. Zde jsou hlavními faktory číslo příze, materiál, jeho povrchová úprava, tažnost, pružnost atd.

Z uvedeného rozboru je zřejmé, že podrobné prověření namáhání příze je úkol velmi obtížný a rozsáhlý. Navíc není propracována žádná ověřená měřicí technika, která by dovolila jednoznačné zkoumání a měření napětí příze v místě jejího přetvarování v očko. V tomto místě je stále ve styku s přízí jedině jehla. Tudíž jedinou schůdnou cestou se zdá být způsob sledování silového působení příze na jehlu a z ní pak pomocí teoretických závislostí přejít k výpočtu

námáhání příze v jednotlivých fázích tvořby očka. Vzhledem k tomu, že máme ověřenou metodu ke zkoumání silových poměrů na jehle, zdá se tato cesta být řešitelnou. Je ovšem otázka, zda-li pásobení příze na jehlu nebude tak malé, že silový průběh normálové síly mezi kolénkem jehly a zámkem cvlivní nastolik, aby odečtené hodnoty byly jednoznačné.

Pro ověření bylo provedeno měření s jehlou pracující naprázdno a toutéž jehlou, která pleše. Měření bylo provedeno na interlockovém stroji průměru 18" a délce 20. Byla proměřována krátká válcová jehla v činnosti se stahovačem. Použity stahovač připevněný na snímači mál přesný tvar dráhy originélu stahovače použitého na interlocku. Jen radius válce na něm nebyl proveden a tím mezera mezi zámkem a jehelním válcem nebyla ve všech bodech zámku stejná. Pro ověřovací měření nám však tento zámek plně dočtuje. Jeho fotografie je uvedena na obr. 1.

Dva otvory sloužily pro připevnění zámků ke snímači. Obvodová rychlosť jehelního válce byla při měření $v = 0,4 \text{ m/s}$.

Interlock byl pro měření zvolen proto, že byl velmi snadné vyjmout část krátkých válcových jehel před měřenou a za měřenou jehlou z válce, aniž se vylevčila možnost dalšího pletení na interlocku. Tím mohla na stahovač na- jízdět jediná jehla, která s okolními tolifovými jehlami tvoří očko. Aby tato jehla mohla pracovat naprázdno, byl ji uražen háček a tím nezachycovala nit kladenou na ostatní jehly. Záznamy průběhu normálové síly a konečné diagramy jejího průběhu pro jehlu zatahující přízi a jehlu pracující naprázdno jsou uvedeny na str. 182 a 183. Cejch spolu s vlastním využitím je proveden na tabulce na str. 184. Protože způsob využití je naprostě stejný, jako v případě využití zámků s kružnicovými přechody (kapitola 6.0) není zde způsob využití popisován.

Z hodnot uvedených diagramů je zřejmé, že silové po- sobení příze na jehlu ve svislém směru je značné. Z rozdílu hodnot mezi jehlou pracující naprázdno a zatahující očko lze obdržet sílu, která je způsobena reakcí od vlast-



Obr. 1. = Zvětšeno 5 : 1

Diagram a oscilogram normálové sily N' pro jehlu,

která zatahuje naprázdno.

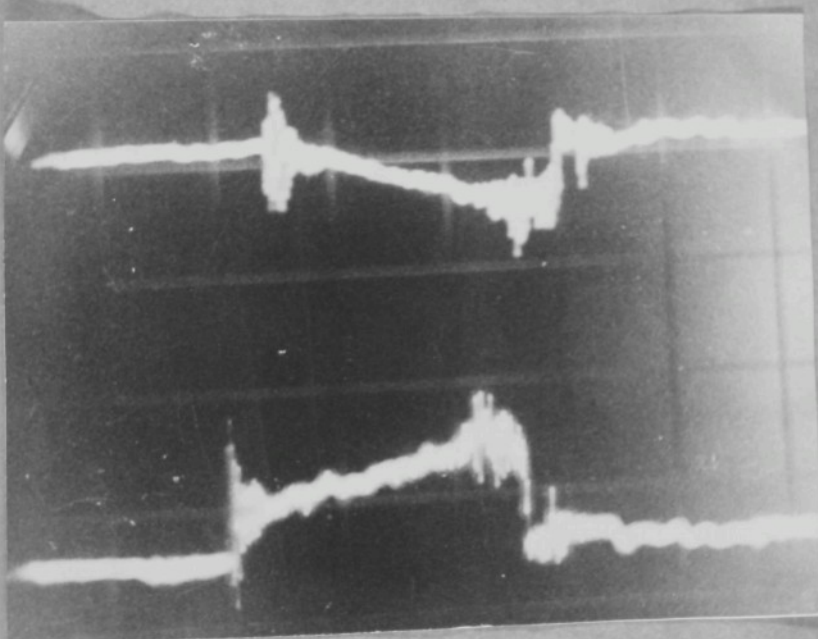
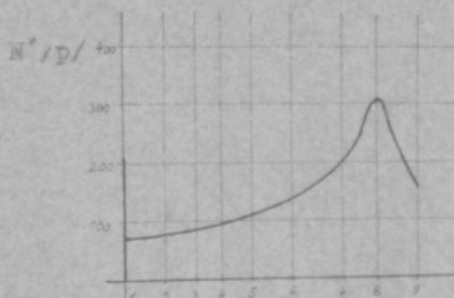
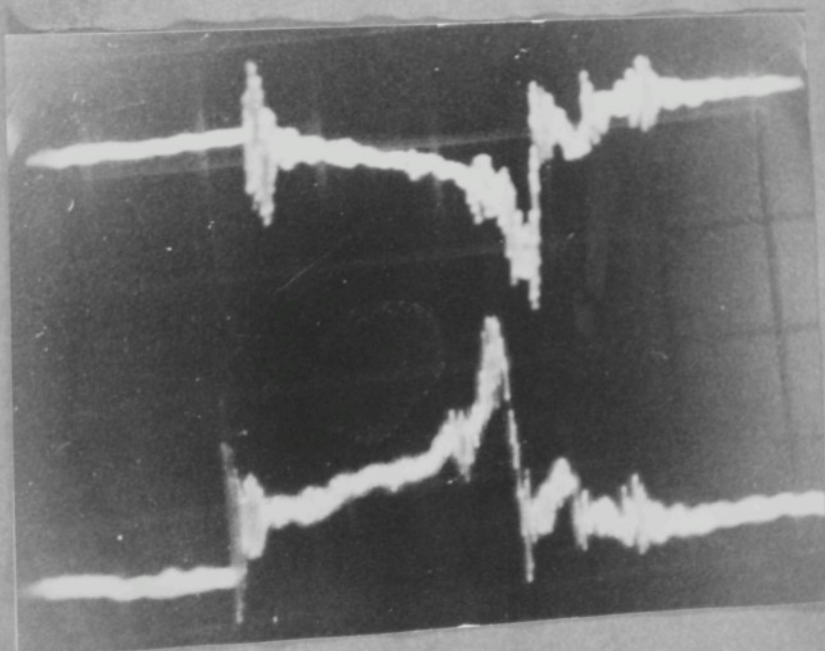
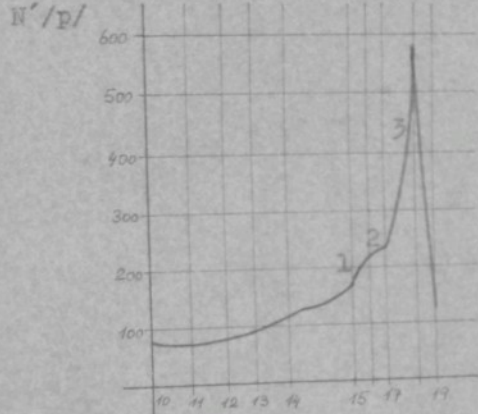
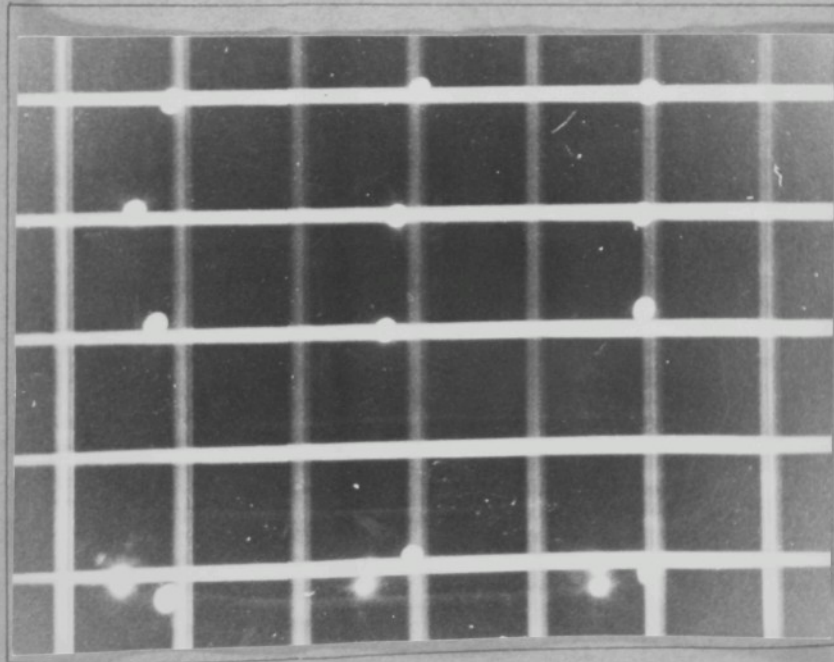
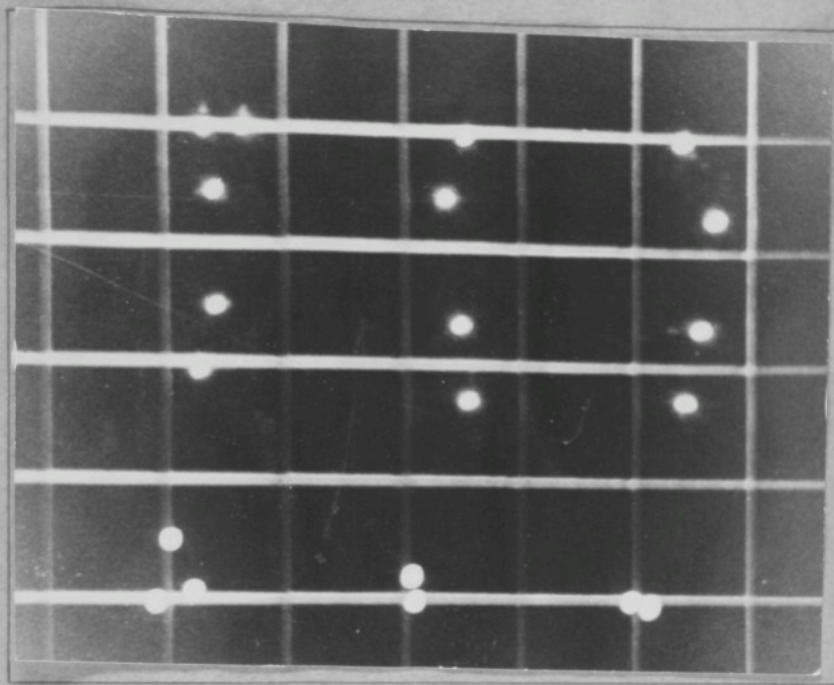


Diagram a oscilogram normálové síly N' pro jehlu,
která zatahuje přízi.





ní příze. Protože jsou geometrické vztahy příze při zatahování na pletacích strojích teoreticky podrobně zpracovány v kandidátské práci inž. Žida (viz literatura č. 11), je možné svislou reakci příze na jehlu teoreticky přečítat na skutečné namáhání průřezu příze.

Z diagramu pro jehlu, která zatahuje přízi, je vidět, že se v jeho průběhu skutečně projevují charakteristické úseky odpovídající některým fázím tvarování příze v očku. Prudký vzrůst v průběhu normálové síly v části -1- znamená zvýšené namáhání při nanášení starého očka na uzavřený jazyček jehly. Prodleva v části -2- vznikne při odhozu a u části -3-, kde je největší vzrůst normálové síly, dochází k zatahování, při kterém je příze namáhána v průběhu cyklu pletení očka na maximální hodnotu.

Výše uvedený způsob zjištování namáhání příze však ještě vykazuje ve způsobu měřící techniky určité nedostatky, které je nutné řešit.

1. Při popsaném způsobu zjištování namáhání příze na interlokovém stroji byla skupina krátkých jehel před a za mřížencou jehlcu vyjmuta z lůžka. Tím částečně porušujeme skutečné poměry při zatahování, protože mřížená jehla je v součinnosti jen s talířovými jehlami a ne se současnými krátkými jehlami válce, od kterých při konečném zatahování může přízi přetahdat.
2. Zůstává zde stále otázka, zdažli síla od příze působící ve svislém směru na jehlu není ve své absolutní hodnotě při záznamu zámek snímače natolik zkreslována, že jejich provedený pro snímač ve svislém směru neplatí přesně pro stanovení skutečné hodnoty této síly z odcítených hodnot záznamu.
3. Další předpoklad pro jednoznačné hodnocení namáhané příze v pletacím procesu je sledování napětí příze těsně před vodičem, popřípadě zajištění známé konstantní dédávky příze k jehlám, aby jednotlivá měření bylo možné mezi sebou srovnávat. Z tchoto hlediska je pak nutné věnovat pozornost též velikosti odtahu, jehož

průměrná hodnota připadající na jednu jehlu by měla být uvedena.

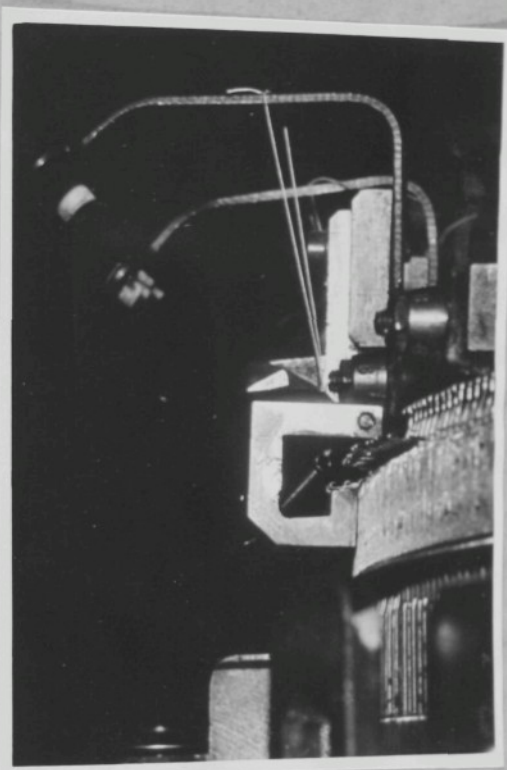
Jaké je řešení výše uvedených bodů.

ad 1. Odstranit neuctnosti, vyplývající z prvého bodu, je úkol velmi obtížný. Budeme-li však sledovat speciálně fázi zatahování, popřípadě vliv stahovače s ostrou nebo plochou spodní částí na namáhání příze, neobejdeme se bez řešení tchoto úkolu.

Při podrobném rozboru problému zjistíme, že je řešitelný jen jedním způsobem ve dvou obměnách. Vždy musíme pracovat se dvěma shodnými stahovacími zámky umístěnými buď za sebou nebo nad sebou. Jeden zámek bude zajišťovat stahování všech jehel kromě jehly mřížné a druhý pak bude v činnosti jen s jehlicu promáčkanou a bude upevněn na snímači. V případě uspořádání zámků za sebou budeme používat mřížencu jehlu buď s nižším kolénkem nebo vyšším kolénkem, než u jehel základních. Při poloze zámků pod sebou je nutné používat jehlu s dvěma kolénky u strojů vícesystémového nebo dlouhou jehlu s jedním kolénkem pro stroje jednosystémové. Konstrukční uspořádání a řešení však zůstane vždy velmi nákladné a složité.

Ad 2. Tímto problémem jsem se zabýval podrobněji, protože na něm závisí každé mření, které pro zjišťování namáhání příze v pletacím procesu bude využívat k mřění pletací jehlu. Tento úkol řešil ve své diplomové práci A. Marhan (literatura č. 18) pod mým vedením. Podstatou zkoušek spouštěvala v tom, že na háček jehly bylo zavřeno očko, které bylo zatěžováno známou silou pružiny při stahování jehly stahovačem, upevněným na snímači. Hodnocení mření bylo provedeno tak, že se srovnávala odečtená hodnota ze záznamu, t. j. rozdíl svislé složky normálové síly mezi kolénkem jehly a zámkem v případě prázdné jehly a jehly zatěžované silou pružiny se skutečnou hodnotou vyvozenou silou pružiny na očko zavřené na háček jehly. Aby bylo

možné celé měření provádět za běhu stroje, bylo připevnění zatěžovací pružiny k jehelnímu válci provedeno podle obr. 2.



Obr. 2

Připravek, který je na chrázku, byl k jehelnímu válci přilepen za žebra drážek a uzpůsoben tak, aby prošel při otáčení stroje pod odklopenými vodiči. Závěr tchoto měření prokázal, že hodnoty zatěžovací síly pružiny byly v podstatě shodné s hodnotami, které byly naměřeny snímačem. Přesto však bude vhodné celé měření ještě jednou zopakovat ... na jiném stroji, aby se zjistilo, zda-li uvedený závěr plstí zcela obecně.

Ad 3. Zajištění třetího bodu není v celku obtížné. Napětí příze před vodičem je možné měřit jak tensometrickým tak kapacitním snímačem zcela těsně konstrukce, protože se jedná jen o průměrnou hodnotu napětí. Zajištění plynulé dodávky příze není též problémem. Je to možné řešit např. způsobem, který ve své práci použil inž. Žid (literatura č. 11).

Závěrem této kapitoly bych chtěl říci, že zde úmyslně neuvádím některé dosažené výsledky, které byly získány např. při proměřování vlastnosti příze na její namáhání v procesu zatahování. Nechtěl bych konstatovat kusé výsledky z celého komplexu současně probíhajícího výzkumu. Dosažené vyhodnocené výsledky měly spíše za cíl ověřit metodu, aby se mohly hned od počátku provádět výzkum celého problému na solidních základech. Všechna měření v souhrnu prokázala, že zjištění namáhání příze přes jehlu je cesta vhodná, kterou lze s úspěchem použít. Jiná vhodná metoda není doposud známa.

S podrobným výzkumem problémů obsažených v této kapitole se počítá v letech 1970 a 1971. V tomto období jsem se zavázal VVÚ ZVS v Brně, že úkol dokončím, protože tento ústav finanruje náklady spojené s výzkumem.

9.0 Závěr.

Srovnám-li nyní na závěr cíl kandidátské práce s dosaženými výsledky, mohu říci, že byl v podstatě splněn. Je pravda, že zde ještě nejsou uvedeny konečné závěry z namáhání příze. Je však již propracována a odzkoušena v této oblasti vhodná měřicí metoda a je nyní jen otázkou času získat všechny podstatné závislosti v namáhání příze, vyplývající ze tří bodů kapitoly předcházející. Rozsahem to sice představuje asi náplň této práce, vzhledem k tomu, že je v celku jasný cíl i způsob řešení, je možné během dvou let výzkum v hlavních bodech problému uzavřít.

Na závěr celé práce bych chtěl ještě jednou podotknout, že dosažené výsledky obsažené v této práci není možné zveřejňovat hlavně proto, že jsou předmětem několika patentů, které z dosažených výsledků vyplynuly.

Dále je převážné většina výsledků uvedených v práci duševním majetkem VVÚ ZVS Brno, který celý výzkum z preváděné části financoval, proto není možné bez jejich souhlasu přenechávat práci k prostudování třetím osobám, ani je s uvedenými výsledky seznamcovat.

Seznam použité literatury:

- 1) Štěpán Timošenko - Kmitání ve strojníctví
SNTL, Praha 1960
- 2) Ing. Dr. Jaroslav Koženík - Dynamika strojů
SNTL, Praha 1958
- 3) Ing. Josef Šrejtr - Technická mechanika III. Dynamika
SNTL, Praha 1958
- 4) A. M. Turčin - Elektrické měření neelektrických veličin
SNTL, Praha 1958
- 5) J. Forejt - Kapacitní měříče neelektrických veličin
SNTL, Praha 1963
- 6) Ing. Miloš Jansa CSc a kolektiv - Kinematika a dynamika
pohybu jehel
Výzkumná zpráva VÚZVS, Brno 1966
- 7) Prof. Ing. František Pompe, Ing. Vladimír Žid CSc
Funkční úhel zámkových částí pletacích strojů
Textilní strojírenství 1967/46 str. 201
- 8) Ing. Ludwig Heeg - Konstrukce zámkových dílů na maloprů-
měrových pletacích strojích LIC - FUB
Překlad uveden: Textilní strojírenství 1968/47 - 48 str. 1
- 9) D. E. Henshaw - Síly zámku při zátažném plátení
Textile Research J. 1968, č. 6, str. 592 - 598
- 10) C. A. V. Leaf a P. Blackman - Náraz pletacích jehel
na zámek
1968 Textile Research J. č. 6 str. 651 - 662
- 11) Ing. Vladimír Žid - Kandidátská práce - Sletování pletá-
cího procesu na pletacích strojích
VŠST Liberec 1965
- 12) Ing. J. Kopal, J. Pobříslo - Experimentální hodnocení
silcových poměrů na soustavě jehla - zámek
Výzkumná zpráva VŠST Liberec 1968

- 13) Ing. J. Kopal, Ing. V. Žid CBC, Jiří Pobříšle
Experimentální zjištění různu kolénka jehly na zámky
pletacích strojů
Textilní strojírenství 1968/49 - 50
- 14) Ing. J. Kopal, Jiří Pobříšle - Vyhodnocení zámkových
dráh s kružnicovými přechody
Výzkumná zpráva VŠST Liberec 1968
- 15) Ing. J. Kopal, Jiří Pobříšle - Vliv pružnosti kolénka
jehly a pružnosti zámku na velikost prvního rázu. Sta-
novení velikosti odskoku kolénka jehly od zámku při
rázovém styku.
Výzkumná zpráva VŠST Liberec 1969
- 16) Ing. J. Kopal, Jiří Pobříšle - Vliv pružného uložení
jehel v oblasti kolénka v drážce talířcového lžíčka
Výzkumná zpráva VŠST Liberec 1969
- 17) Ing. J. Kopal, Jiří Pobříšle - Vliv pružného uložení
funkční zámkové hrany na rázovou sílu. Řešení změny
polohy stahovače pro bezrůzový nájezd kolénka jehly
na zámek
Výzkumná zpráva VŠST Liberec 1968
- 18) A. Karhan - Zjištění nemáhání příze v procesu zata-
hování očka na okrouhlých pletacích strojích
Diplomová práce, VŠST 1969

Obsah:

1.0	Úvod	Str. 1
2.0	Cíl kandidátské práce a její zaměření vzhledem k dosavadním poznatkům	3
2.1	Zaměření práce pro obor pletářství	3
2.2	Vlastní vymezení práce	4
2.3.0	Přehled uveřejněných poznatků, zabývají- cích se blíže problematikou této kandi- zátské práce	6
2.3.1	Silové poměry na soustavě jehla - zámek- lůžko	6
2.3.2	Technologie přetvoření příze do jednotli- vých klíček a oček	7
3.0	Sledování základních závislostí soustavy: zámek - jehla - lůžko	9
3.1	Tecreticky rozbor silových poměrů na tech- nologické dvojici: zámek - jehla bez příze	9
3.2.0	Nevrh snímací sondy pro měření	12
3.2.1	Výpočet citlivosti snímače	17
3.2.2	Výpočet průhybů měrné desky použitého snímače	18
3.2.3	Vlastní frekvence použitého snímače	20
3.2.4	Vliv chvění měřeného zařízení na snímač	25
3.2.5	Upevnění snímače při měření	25
3.2.6	Celkové zapojení snímače v měřicí apa- ratuře	26
3.2.7	Cejchování měřicího zařízení	35
3.2.8	Experimentální posouzení kvality snímače	36
3.2.9	Vliv pájené nebo přišroubované funkční hrany zámku na presnost měření	38

3.2.10	Vliv částečného průhybu desky na přesnost měření	40
3.2.11	Vliv změny teploty na přesnost měření kapacitního snímače	42
4.000	Experimentální hodnocení normálových sil mezi kolenkem jehly a zámkem	44
4.1.0	Experimentální hodnocení normálových sil mezi kolenkem jehly a zámkem na válcovém lůžku. Jehla se pohybuje bez příze	46
4.1.1	Hodnocení prvého rázu kolenka jehly na zámek v závislosti na úhlu zámku při postavení zámku (snímače) jako zvědač	46
4.1.2	Hodnocení prvého rázu kolenka jehly na zámek v závislosti na úhlu zámku, při postavení zámku (animace) jako stahovač	54
4.1.3	Hodnocení prvého rázu kolenka jehly na zámek v závislosti na otáckých válce a postavení zámku (snímače) jako zvědač a stahovač	54
4.1.4	Hodnocení dalších rázových styků kolenka jehly s činnou hranou zámku	62
4.1.5	Hodnocení normálové sily N_3 , t. j. při uklidněném pohybu kolenka jehly po zámku	66
4.1.6	Hodnocení velikosti normálových sil mezi kolenkem jehly a zámkem u jedné jehly vsezené do 50 ti drážek válcového lůžka	68
4.1.7	Hodnocení velikosti normálových sil mezi kolenkem jehly a zámkem na válcovém lůžku pro různé jehly pracující v téže drážce lůžka	81
4.2.0	Experimentální hodnocení normálových sil mezi kolenkem jehly a zámkem na telijcovém lůžku. Jehla se pohybuje bez příze	93
4.2.1	Hodnocení prvého rázu kolenka jehly na zámek v závislosti na úhlu zámku a při postavení zámku jako zvědač a stahovač	93

4.2.2	Hodnocení rázové síly v závislosti na otáčkách talíře	97
4.2.3	Hodnocení průběhu normálové síly po prvním rázu	101
4.3	Celkové shrnutí výsledků kapitoly 4.0.0	110
5.0	Vliv drsnosti povrchu funkční hrany zámku na velikost normálové síly a hodnotu koefi- cientu tření mezi kolénkem jehly a zámkem	113
5.1	Hodnocení normálové a tangenciální síly při rázovém styku kolénka jehly se zámkem	117
5.2	Hodnocení normálové a tangenciální síly při ustáleném průběhu kolénka jehly po záruce	119
5.3	Závěr kapitoly 5.0	119
6.0	Hodnocení funkčních zámkových drah, tvoře- ných přímkami s různým pracovním úhlem, kte- ré jsou spojené kružnicovými přechody	121
6.1	Způsob převádění a hodnocení měření	130
6.2	Vlastní hodnocení měření	135
6.3	Závěry z kapitoly hodnocení funkčních zámk- ových drah tvořených přímkami s kružnic- ovými přechody	161
7.0	Vliv pružnosti jehly a zámkové funkční hrá- ny na velikost prvého rázu kolénka jehly na zámek	162
7.1	Pružné uložení části činné hrany zámku	163
7.2	Vliv pružného uložení jehel v oblasti ko- lénka na velikost prvého rázu	166
7.3	Strošový závěr z kapitoly 7.0	176
8.0	Namáhání příze při plétání	179
9.0	Závěr	190
	Seznam použité literatury	

Seznam příloh.

Příloha I -

Výkresy čv : 1-01 - 1-11

2-01

3-01 - 3-11

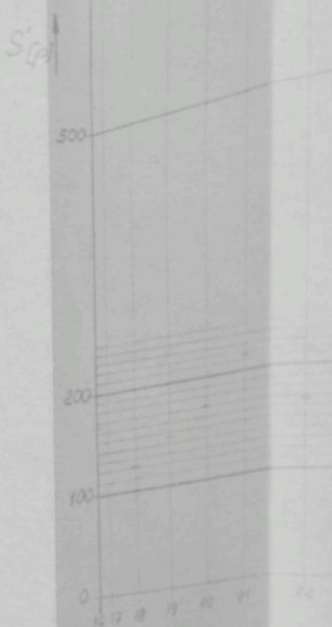
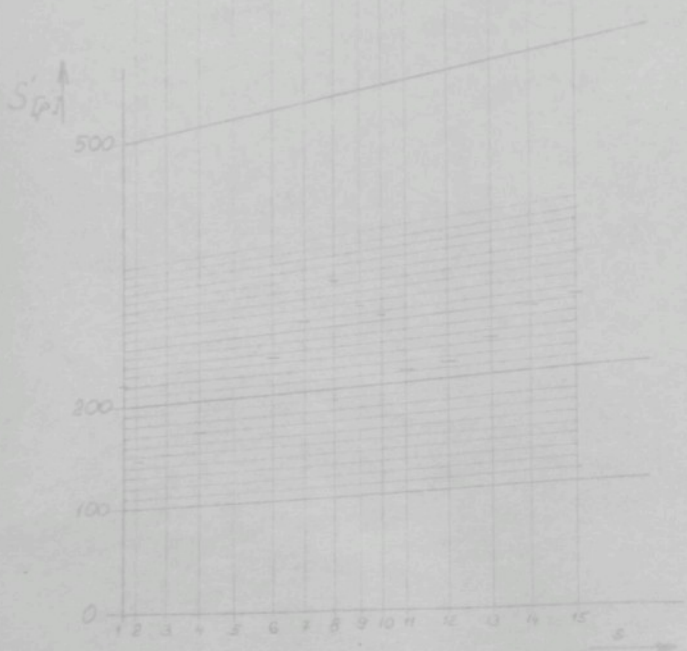
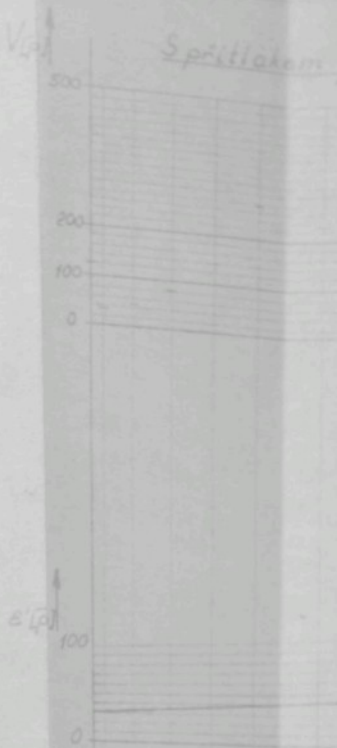
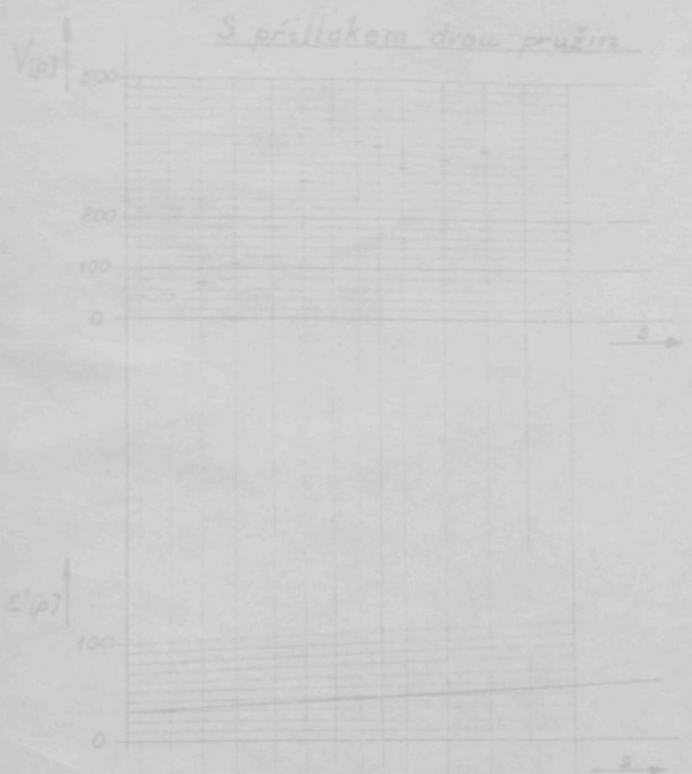
4-01

Příloha II -

Snímky záznamu měření:

X 121 až X 190

S přísluškem drou pružin



Vyhodnocení ZÁMKU č. I.

č.	V [p]	E' [p]	E [p]	$\frac{V \cdot E}{100}$	S' [p]	S [p]	S ²	V ²	S ² +V ²	dg dL	čl [°] N
1	235	30	6,0	14,1	222	207,9	43222,41	55225	98447,41	111035	48°30'
2	45	30	6,0	2,7	146	143,3	20534,89	8025	28559,89	0,031903	17°36'
3	50	31	6,2	3,1	150	146,9	21579,61	2500	24099,61	0,34938	10°48'
4	70	32	6,4	4,5	170	165,5	28530,25	4900	32299,25	0,46296	24°56'
5	110	35	7,0	7,7	200	192,3	36979,29	11100	49099,29	0,87202	27°46'
6	180	36	7,2	13,0	236	223,0	49729,-	32400	82199,00	0,08377	38°03'
7	280	38	7,6	21,3	268	246,7	60160,89	78400	139260,89	1,13492	46°31'
8	420	39	7,8	32,8	305	272,2	74092,84	116400	250492,84	1,39298	57°03'
9	370	40	8,0	29,6	278	248,4	61702,36	136900	199602,36	149953	56°07'
10	355	40	8,0	28,4	268	239,6	57402,16	126085	183433,16	148164	55°59'
11	310	40	8,0	24,8	212	181,2	35043,84	86100	131143,84	155398	58°32'
12	330	41	8,2	27,1	216	188,9	35683,21	108900	144583,21	174696	60°12'
13	350	42	8,4	29,4	234	204,6	411861,16	122500	164361,16	1,71065	53°41'
14	360	44	8,8	31,7	259	227,3	511655,29	129600	181265,29	1,58381	57°44'
15	345	46	9,2	31,7	264	232,3	533963,29	119025	172988,29	1,48515	56°03'

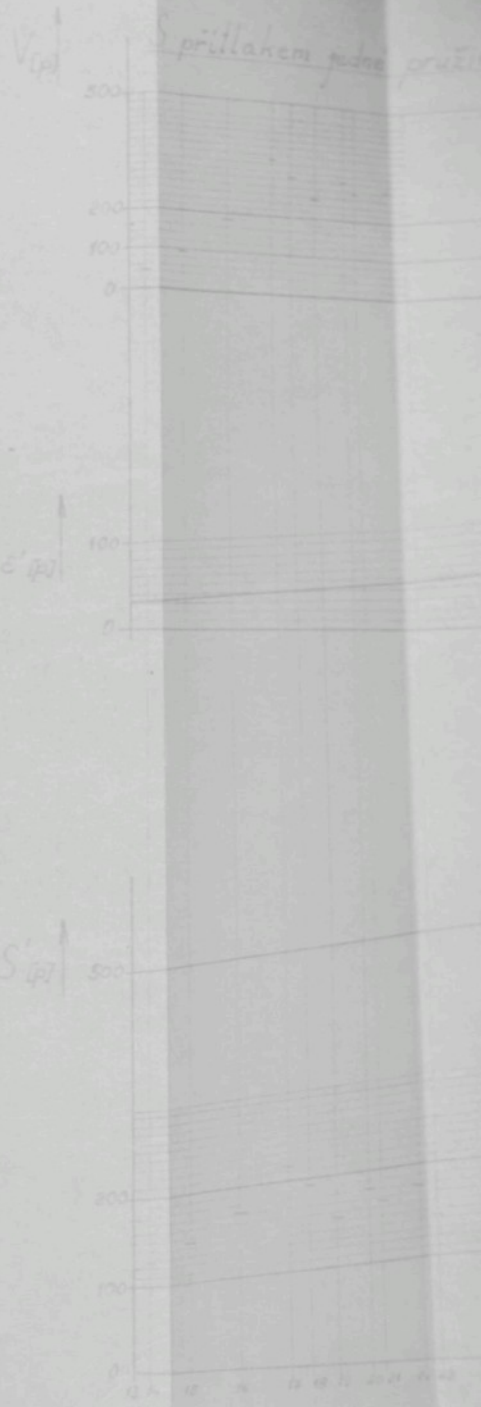
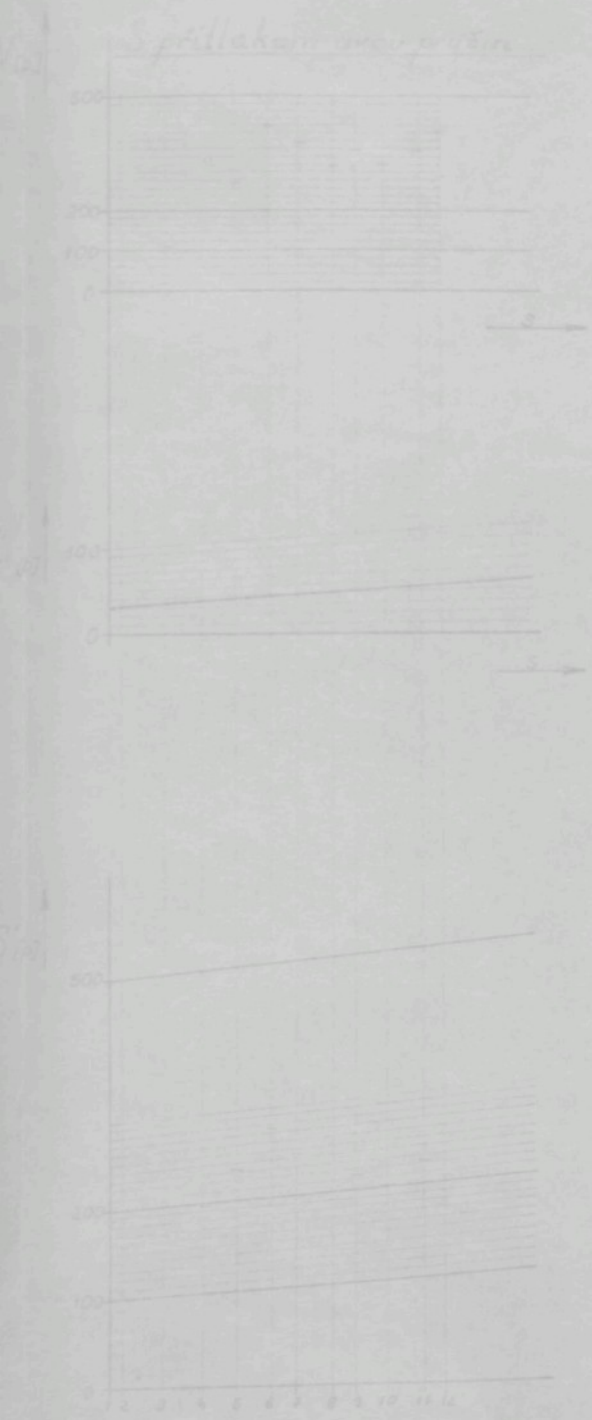
č.	V [p]	E' [p]	E [p]	$\frac{V \cdot E}{100}$	S' [p]	S [p]	S ²	V ²	S ² +V ²	dg dL	čl [°] N
16	120	30	6,0	7,2	156	158,8	25217,44	14400	39617,44	0,75567	37°05'
17	35	31	6,2	2,2	110	107,8	11620,84	1225	12845,84	0,32468	17°59'
18	45	32	6,4	2,9	121	119,1	13947,61	2025	15972,61	0,38103	20°52'
19	85	35	7,0	6,0	147	141,0	19281,-	7225	27106,00	0,02284	31°05'
20	140	38	7,6	10,6	170	159,4	25402,36	13600	45008,36	0,97222	41°18'
21	275	39	7,8	21,5	216	194,5	37830,25	75625	113455,25	1,41380	59°44'
22	230	40	8,0	18,4	167	148,6	22081,96	52900	44921,96	1,54778	57°08'
23	245	41	8,2	20,1	178	157,9	24930,41	60085	84957,41	1,55161	57°12'
24	225	42	8,4	18,9	162	148,1	20477,61	50625	71102,61	1,57233	57°33'
25	240	43	8,6	20,6	178	157,4	24774,76	57600	82374,76	1,52470	58°44'
26	235	44	8,8	20,7	169	148,3	21932,39	55225	77217,39	1,58463	57°45'
27	245	45	9,0	22,1	180	157,9	24332,41	60025	84557,41	1,53161	57°12'
28	240	46	9,2	22,1	184	161,2	26211,61	57600	93211,61	1,48240	58°
29	220	47	9,4	20,7	166	145,3	21110,09	48400	69510,09	1,51471	56°39'

Vyhodnocení

ZÁMKU č. II.

V	$[p]$	E'	$[p]$	C	$\%$	$\frac{V \cdot C}{100}$	S'	$[p]$	S	$[p]$	S^2	V^2	$S^2 + V^2$	l_2	l_1	$l_2' l_1'$	N	$[p]$
20	40	8,0	1,6	150	148,4	22 022,56	400		22 422,56	0,13477	7° 41'	149,7						
25	40	8,0	2,0	152	150,0	22 500,00	625		23 125,00	0,16667	8° 28'	152,1						
40	41	8,2	3,3	178	174,7	30 620,09	1600		32 120,09	0,22294	10° 54'	177,2						
55	42	8,4	4,6	180	175,4	30 165,16	3025		33 730,16	0,31157	11° 05'	183,8						
80	43	8,6	6,9	211	204,1	41 635,81	6400		48 055,81	0,39196	21° 04'	219,0						
100	43	8,6	8,6	212	209,4	43 848,36	10000		53 848,36	0,47853	25° 32'	232,1						
115	44	8,8	10,1	214	203,9	41 575,21	13225		54 920,21	0,56400	28° 20'	234,1						
165	45	9,0	14,9	241	226,1	51 121,29	27225		72 346,29	0,72277	36° 07'	279,3						
255	46	9,2	23,5	266	242,5	59 806,25	65025		163 231,25	1,06155	46° 16'	351,9						
245	46	9,2	22,5	237	214,5	46 010,25	60025		106 035,25	1,14219	48° 43'	345,6						
300	47	9,4	28,2	256	227,8	51 052,84	90000		141 220,84	1,31684	52° 47'	376,7						
275	47	9,4	25,9	225	199,1	39 640,91	75625		115 265,91	1,38122	54° 06'	339,8						
280	48	9,6	26,9	228	201,1	40 441,21	78400		118 847,21	1,39234	56° 19'	344,7						
270	48	9,6	25,9	216	190,1	36 132,01	72900		103 032,01	1,42031	55° 51'	310,2						
270	49	9,8	26,8	222	195,5	39 220,25	72900		111 120,25	1,33107	54° 06'	333,3						
260	49	9,8	25,5	231	205,5	42 830,25	67600		109 830,25	1,36321	57° 41'	321,4						

V	$[p]$	E'	$[p]$	C	$\%$	$\frac{V \cdot C}{100}$	S'	$[p]$	S	$[p]$	S^2	V^2	$S^2 + V^2$	l_2	l_1	$l_2' l_1'$	N	$[p]$
15	40	8,0	1,2	118	116,8	13 642,24	225		13 867,24	0,12842	7° 19'	117,0						
20	40	8,0	1,6	120	118,4	14 019,56	400		14 412,56	0,16292	9° 35'	120,0						
40	41	8,2	3,3	137	133,7	17 875,69	1600		19 485,69	0,29910	16° 59'	140,0						
75	42	8,4	6,3	149	148,7	20 362,29	5625		25 928,29	0,52538	27° 44'	161,2						
155	45	9,0	14,0	186	172,0	29 526,00	24025		53 609,00	0,90116	42° 01'	232,0						
145	45	9,0	13,1	178	164,9	27 192,01	21025		48 217,01	0,87932	48°	219,6						
205	46	9,2	18,9	202	183,1	33 525,61	42025		75 550,00	1,11861	48° 14'	275,0						
200	47	9,4	18,8	182	163,2	26 634,84	40000		66 634,84	1,21549	50° 47'	250,1						
240	48	9,6	23,0	202	179,0	32 041,00	57600		89 641,00	1,34018	53° 17'	293,6						
220	48	9,6	21,9	183	161,9	26 211,61	48400		74 611,61	1,35980	52° 39'	273,2						
235	49	9,8	23,0	202	179,0	32 041,00	55225		87 266,00	1,31203	52° 43'	295,3						
215	49	9,8	21,1	186	163,0	27 235,00	46225		73 450,00	1,30303	52° 30'	271,0						
220	49	9,8	21,6	202	180,4	32 544,16	48400		80 944,16	1,21951	50° 39'	284,3						



Vyhodnocení ZÁMKU č. III.

E' [°]	E [m]	$V \cdot E$ [100]	S' [°]	S [cp]	S^2	V^2	$S^2 + V^2$	$\lg d'$	$d' [m]$	N [cp]
31	6,2	10,2	182	177,0	31 612,84	27 225	58 837,84	0,98801	42°52'	242,6
32	6,4	3,9	153	154,2	23 777,64	3 600	27 377,64	0,38911	21°16'	165,5
34	6,2	7,1	168	160,9	25 898,81	11 025	36 913,81	0,65258	33°02'	192,1
36	7,2	49,9	197	185,1	34 267,01	27 225	61 487,01	0,89141	41°43'	248,0
37	7,4	20,4	232	211,6	44 774,56	75 625	120 399,56	1,19962	52°25'	347,9
39	7,2	32,4	275	242,6	57 804,76	19 225	23 109,76	1,71063	59°41'	400,7
40	8,0	30,0	243	213,0	45 363,00	14 025	185 794,00	1,16056	60°24'	419,6
41	8,2	85,1	190	164,2	26 987,64	99 225	126 126,64	1,91839	62°28'	438,0
42	8,4	29,8	214	184,2	33 928,64	126 025	159 956,64	1,92772	52°33'	393,9
43	9,6	27,5	801	173,5	30 102,25	102 400	132 502,25	1,84432	61°32'	364,0
44	8,2	31,6	222	180,2	36 404,64	126 025	162 429,64	1,86059	61°48'	403,0
45	9,0	26,1	205	178,9	32 005,21	81 100	115 105,21	1,62702	53°20'	340,7

E' [°]	E [m]	$V \cdot E$ [100]	S' [°]	S [cp]	S^2	V^2	$S^2 + V^2$	$\lg d'$	$d' [m]$	N [cp]
31	6,2	9,6	172	168,4	29 359,56	24 025	52 389,56	0,92043	43°30'	228,9
32	6,4	2,9	127	124,1	15 400,81	2 025	17 415,81	0,36261	19°56'	132,1
35	7,0	6,7	145	132,3	19 126,89	9 025	29 151,89	0,62091	34°29'	163,8
38	7,6	13,1	172	158,3	25 058,89	32 400	57 468,89	1,13020	48°40'	219,7
40	8,0	28,0	215	187,0	34 969,00	122 500	157 469,00	1,27166	61°53'	336,0
41	8,2	35,0	193	162,0	28 224,00	93 625	121 847,00	1,01548	61°02'	343,8
42	8,4	21,4	154	132,6	17 582,76	65 025	22 601,76	1,02308	62°33'	207,4
43	8,6	26,2	181	154,8	23 963,04	93 025	116 988,04	1,91022	63°08'	342,0
44	8,8	24,2	167	142,2	20 331,84	73 625	96 016,84	1,92617	62°23'	309,9
45	9,0	25,1	178	152,3	23 195,29	81 205	104 420,29	1,87131	61°53'	383,1
46	9,2	21,2	143	121,8	14 935,24	52 900	67 735,24	1,02884	60°06'	262,0



rodnocení ZÁMKU č IV.

$E' [D]$	$E'' [D]$	V_E	$S' [p]$	$S [p]$	S^2	V^2	$S^2 + V^2$	L_1	L_2	N_{10}
31	6,2	10,9	186	125,1	30 680,01	30 626	61 406,01	0,93343	44°39'	217,6
32	6,4	11,2	165	161,8	26 179,24	6 400	32 614,24	0,30702	17°10'	169,3
34	6,8	11,8	173	174,2	30 345,64	4 300	35 245,64	0,50186	21°54'	187,7
35	7,0	12,4	211	202,6	41 046,76	14 400	55 446,76	0,89203	30°37'	235,5
37	7,4	11,8	266	248,2	51 603,24	57 600	119 203,24	0,76639	44°02'	184,3
38	7,6	14,6	318	283,4	80 315,56	907 025	887 340,56	1,60380	58°00'	336,0
39	7,8	15,7	411	359,3	124 209,89	347 600	672 429,89	2,09434	64°09'	420,0
40	8,0	16,4	347	300,6	20 360,36	338 400	426 460,36	2,39442	60°36'	653,3
40	8,0	18,0	294	256,0	65 536,00	228 800	231 161,00	1,85267	61°41'	539,6
40	8,0	32,0	844	212,0	44 244,00	160 000	204 244,00	1,99619	62°05'	482,7
41	8,2	38,0	246	214,0	45 726,00	152 100	177 226,00	1,02263	61°15'	444,9
42	8,4	35,7	268	232,3	53 393,29	180 825	204 592,29	1,02383	61°39'	484,3
43	8,6	35,7	245	209,3	43 806,49	172 013	210 031,49	1,98269	63°14'	459,2
44	8,8	35,6	281	193,4	38 181,16	161 263	202 206,16	2,34268	64°10'	449,8
44	8,8	35,8	240	204,8	41 948,24	160 000	201 248,04	1,95313	62°53'	448,4

$E' [D]$	$E'' [D]$	V_E	$S' [p]$	$S [p]$	S^2	V^2	$S^2 + V^2$	L_1	L_2	N_{10}
31	6,2	9,9	158	145,1	21 034,01	25 600	46 654,01	1,01857	41°48'	216,0
33	6,6	12,6	120	117,4	13 782,76	1 600	15 382,76	0,34612	18°49'	184,0
35	6,8	15,4	145	139,6	19 488,16	6 400	25 288,16	0,31307	28°47'	160,7
38	7,6	13,1	181	167,3	27 989,29	32 400	60 389,29	1,07531	47°6'	245,7
39	7,8	28,5	254	225,5	50 850,25	133 285	184 075,25	1,61863	58°10'	409,0
40	8,0	37,6	284	246,4	60 712,96	220 900	82 1610,96	1,90747	62°00'	530,7
40	8,0	32,8	255	222,2	49 376,24	168 100	81 7470,84	1,84618	61°43'	466,8
41	8,2	24,2	192	161,8	22 156,84	87 025	115 181,84	1,75803	60°25'	339,4
42	8,4	29,0	211	182,0	33 124,00	119 025	152 149,00	1,89560	61°11'	330,0
42	8,4	29,0	201	171,8	29 515,24	115 600	145 116,24	1,97905	61°10'	381,0
43	8,6	29,2	201	171,8	29 515,24	115 600	147 007,25	1,99625	60°54'	383,4
44	8,8	29,5	216	186,5	34 182,25	112 225	119 431,25	1,81812	63°52'	348,1
45	9,0	27,9	180	152,1	23 134,41	95 100	119 284,41	2,01812	63°57'	348,6
45	9,0	27,5	190	162,5	26 406,25	93 025	119 431,25	1,81692	61°57'	348,6

průtlahem dvou pružin



průtlahem jedné pružiny



Vyhodnocení ZÁMKU č. V.

$V [p]$	$E' [p]$	$E [p]$	$\frac{V \cdot E}{100}$	$S' [p]$	$S [p]$	S^2	V^2	$S^2 + V^2$	\log'	$\alpha' [v]$	$N [p]$
790	7	1,4	11,1	295	283,9	80 899,91	624 100	704 699,21	218 667	70°14'	839,5
190	9	1,8	3,4	200	196,6	38 651,56	36 100	74 761,56	0,366 93	44°01'	213,9
205	11	2,2	4,5	230	225,5	50 850,25	42 025	92 876,25	0,929 29	42°16'	304,8
225	13	2,6	5,9	231	225,1	50 670,01	50 625	101 095,01	0,939 58	44°32'	310,2
245	15	3,0	7,4	247	239,6	57 400,16	60 025	117 400,16	1,022 34	45°38'	359,7
320	20	4,0	12,8	244	231,2	53 453,44	102 400	159 853,44	1,384 08	54°02'	329,8
360	21	4,2	15,1	261	245,9	60 466,81	129 600	190 086,81	1,464 01	55°01'	436,0
355	24	4,8	17,0	238	221,0	48 851,00	125 025	174 866,00	1,606 83	58°06'	419,1
390	26	5,2	20,3	245	224,7	50 430,09	152 100	202 530,09	1,735 63	60°03'	450,1
380	28	5,6	21,3	211	189,7	35 926,09	144 400	180 386,09	2,003 16	63°28'	424,7
430	29	5,8	24,9	227	202,1	40 844,41	184 900	205 744,41	2,322 66	65°50'	478,1
380	32	6,4	24,3	207	182,7	33 379,29	144 400	177 779,29	2,043 91	65°19'	431,6
380	35	7,0	26,6	203	176,4	31 116,96	144 400	175 516,96	2,157 20	65°28'	412,2
425	40	8,0	34,0	229	194,0	37 636,00	180 625	218 261,00	2,190 72	65°49'	467,2
360	41	8,2	29,5	200	170,5	29 070,25	129 600	158 670,25	2,111 44	65°39'	399,1

$V [p]$	$E' [p]$	$E [p]$	$\frac{V \cdot E}{100}$	$S' [p]$	$S [p]$	S^2	V^2	$S^2 + V^2$	\log'	$\alpha' [v]$	$N [p]$
770	7	1,4	10,8	265	254,2	64 617,64	592 900	657 817,64	3,029 11	71°44'	810,9
150	9	1,8	2,7	144	141,8	19 865,69	22 500	42 465,69	1,061 57	46°43'	306,1
155	11	2,2	3,4	145	141,6	20 050,56	24 025	44 075,56	1,034 63	47°35'	209,9
165	14	2,8	4,6	155	150,4	22 620,16	27 225	49 845,16	1,097 07	47°39'	223,3
175	16	3,2	5,6	154	148,4	22 022,56	30 625	52 647,56	1,178 25	47°42'	229,5
180	17	3,4	6,1	160	153,9	23 685,21	32 400	56 085,21	1,163 59	47°40'	236,9
185	19	3,8	7,0	148	141,0	19 881,00	34 225	54 106,00	1,312 06	52°41'	232,6
275	25	5,0	13,8	163	149,2	22 260,64	75 625	97 885,64	1,843 16	61°31'	312,9
285	26	5,2	14,8	154	139,2	19 376,64	81 225	100 601,64	2,047 41	63°58'	319,6
300	29	5,8	17,4	165	147,6	21 785,76	90 000	131 785,76	2,032 52	63°40'	284,3
260	32	6,4	16,6	143	126,4	15 916,96	67 600	83 546,96	2,056 98	64°04'	289,1
290	35	7,0	20,3	155	134,1	18 144,09	84 100	102 244,09	2,152 93	65°05'	319,8
260	38	7,6	19,8	143	123,2	15 178,24	67 600	82 778,24	2,110 32	64°35'	221,7
275	40	8,0	22,0	160	138,0	19 044,00	75 625	94 669,00	1,992 15	63°21'	307,7
230	42	8,4	19,3	144	124,7	15 550,09	52 900	68 450,09	1,844 43	61°32'	381,6

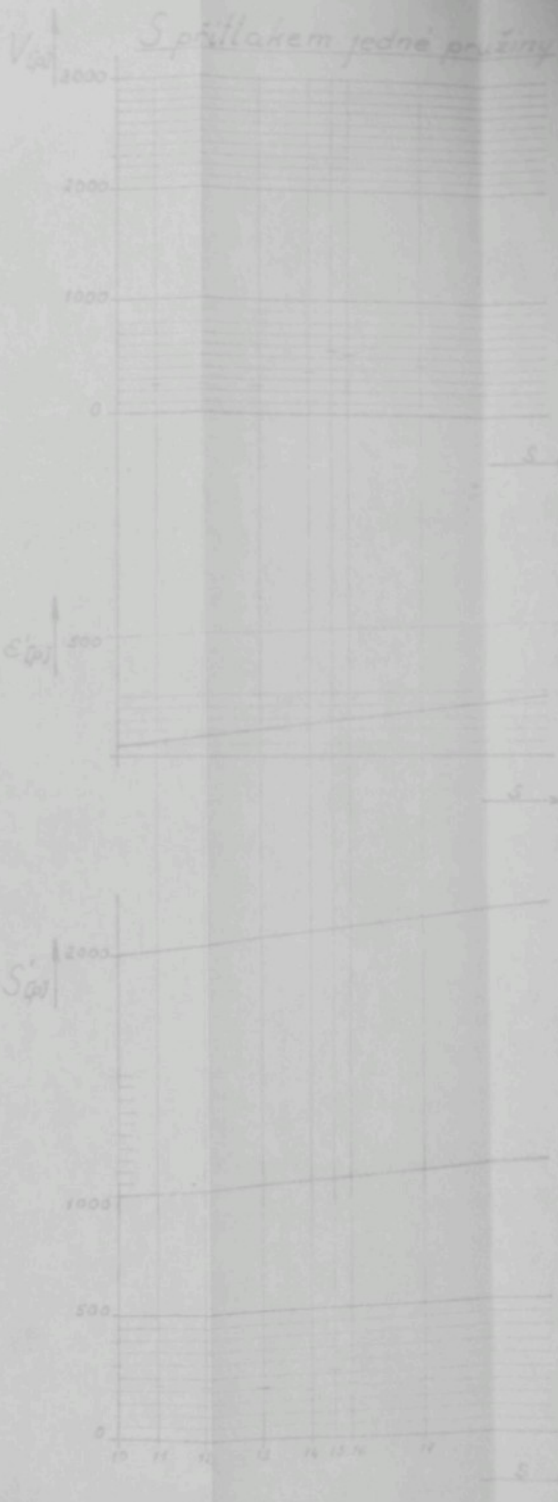
vyhodnocení ZÁMKU č. II.

$\epsilon_{\text{p}}^{\text{r}}$	$\epsilon_{\text{p}}^{\text{s}}$	$\epsilon_{\text{p}}^{\text{v}}$	$V_{\text{p}} \frac{\text{V.E.}}{100}$	S'_{p}	S_{p}	S^2	V^2	$S^2 + V^2$	\log	α°	N_{p}
30	34	23	28,3	336	307,7	34679,29	1510900	1803579,29	3397940,75° 89°	13680	
50	38	25	4,0	180	176,0	30776,00	25600	36526,00	0,90909,46° 16°	237,7	
70	41	27	5,9	188	182,6	33340,76	40000	77340,76	1,09529,47° 36°	270,1	
45	48	33	8,1	200	191,9	36825,61	60025	96830,61	1,07677,51° 56°	311,8	
60	52	35	11,9	253	249,1	58169,21	115600	173729,21	1,41020,59° 40°	416,8	
70	55	37	21,1	320	292,9	89341,21	124900	419261,21	1,90699,62° 20°	643,6	
50	60	40	22,0	300	218,0	77844,00	302800	189184,00	1,77844,63° 11°	616,3	
70	62	41	19,3	260	240,7	57936,49	200000	178816,49	0,82864,63° 50°	522,0	
75	68	45	17,8	195	177,2	31392,84	106025	187426,84	0,22712,65° 30°	432,9	
70	72	48	12,1	215	195,3	38149,09	162300	206140,09	0,84943,64° 30°	464,2	
5	77	51	19,1	190	170,9	99206,81	140625	169421,81	0,79422,68° 30°	412,1	
5	81	54	20,3	204	183,4	33745,89	140625	174310,89	0,06137,63° 35°	417,6	
5	88	58	22,1	212	189,9	36262,01	140625	176587,01	1,82412,63° 09°	420,2	
0	90	60	18,6	193	174,4	30415,36	36100	126515,36	1,778260° 38°	356,2	

$\epsilon_{\text{p}}^{\text{r}}$	$\epsilon_{\text{p}}^{\text{s}}$	$\epsilon_{\text{p}}^{\text{v}}$	$V_{\text{p}} \frac{\text{V.E.}}{100}$	S'_{p}	S_{p}	S^2	V^2	$S^2 + V^2$	\log	α°	N_{p}
0	38	2,5	30,5	313	282,5	79206,25	1402400	186210625,25	70° 12° 4,118581056,3		
1	40	27	3,0	138	135,0	12225,00	16100	30325,00	39° 10° 0,81481	174,1	
1	50	33	6,6	147	140,4	19712,16	60000	59212,16	59° 56° 1,92420	244,4	
1	59	37	17,4	223	205,8	42821,86	192925	260295,86	65° 12° 18,16440	480,0	
1	64	43	17,2	200	182,9	33415,84	160000	153415,84	65° 15° 18,817	420,2	
1	70	47	15,0	158	143,0	20449,00	102400	162047,00	65° 53° 2,83776	350,5	
1	74	49	16,2	162	145,8	21257,64	108700	130157,64	68° 10° 0,06337	360,7	
1	78	58	18,0	155	137,0	12769,00	115600	133367,00	68° 03° 1,67115	366,6	
1	85	57	18,8	178	157,2	25344,64	108200	134244,64	67° 15° 2,07288	366,4	
1	89	59	17,1	156	138,9	19283,21	84100	103393,21	64° 24° 0,08708	321,5	
1	91	61	18,3	158	139,7	19516,09	80000	103316,09	65° 20° 1,47456	330,9	

S přítlakem dvou pružin

S přítlakem jedné pružiny

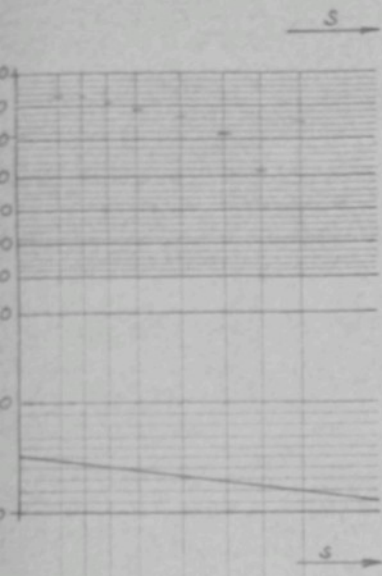


odnocení ZÁMKU č. VII.

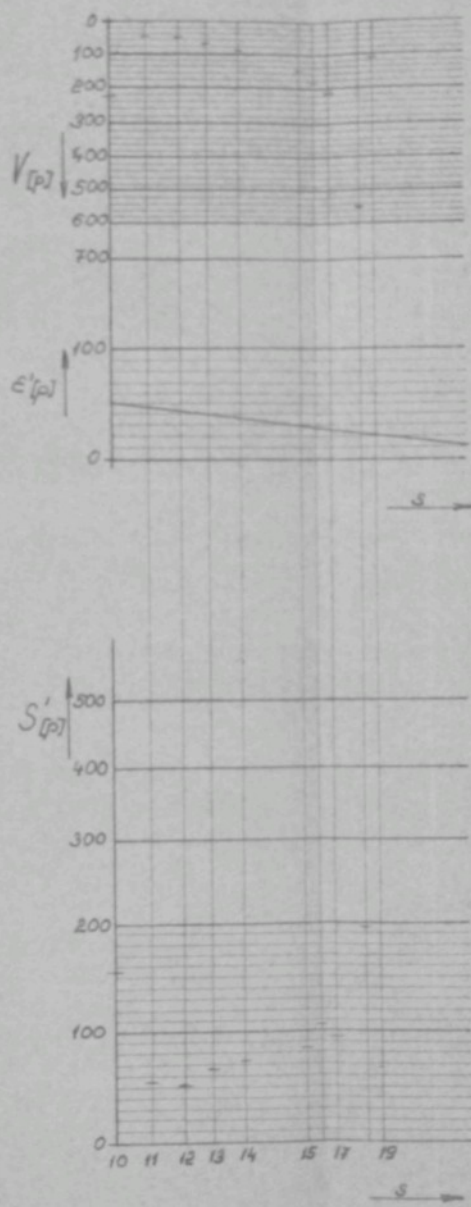
[p]	E[%]	V · E 100	S' [p]	S [p]	S°	V°	S° + V°	kg d°	d° [m]	N [kg]
0	1,2	41,7	1325	1283,3	1646 858,89	6002 500	7642 352,89	110934	62° 61'	2795,7
0	2,0	8,0	220	272,0	73 284,00	160 000	723 946,00	1 620 000	55° 58'	403,3
0	2,7	11,6	310	298,4	89 045,06	184 000	678 748,00	1 441 000	52° 14'	512,4
0	3,3	14,5	310	275,5	81 820,86	193 500	620 290,86	1 623 500	55° 08'	530,0
5	4,2	19,7	270	260,3	62 630,09	220 000	188 000,00	1 847 000	61° 50'	531,5
0	4,2	32,9	320	227,1	82 456,41	490 000	576 426,41	1 030 000	67° 48'	486,6
0	5,0	33,0	290	257,0	65 049,00	435 500	501 649,00	1 066 000	68° 33'	308,7
0	5,3	36,6	300	263,4	69 319,56	476 100	545 499,56	1 511 500	67° 06'	330,6
0	6,0	33,0	270	237,0	56 169,00	402 500	358 569,00	1 205 000	65° 41'	312,1

[p]	E[%]	V · E 100	S' [p]	S [p]	S°	V°	S° + V°	kg d°	d° [m]	N [kg]
0	1,7	39,1	1250	1210,9	1 466 278,89	5 230 000	6 156 178,89	1 099 41	62° 14'	4 599,3
0	2,0	5,0	220	215,0	46 825,00	62 500	1 027 025,00	1 162 79	49° 10'	329,7
0	2,3	5,8	230	214,2	45 881,64	62 500	1 083 81,64	1 167 13	49° 00'	349,2
0	3,3	7,9	200	193,9	36 802,41	57 600	94 503,41	1 249 35	51° 20'	308,4
25	4,2	16,0	190	174,0	30 276,00	144 400	174 526,00	2 183 21	65° 26'	419,3
40	4,7	25,3	250	233,7	54 515,59	313 600	362 216,59	2 896 23	61° 01'	606,9
50	5,0	26,0	210	184,0	33 856,00	270 400	304 306,00	2 826 09	70° 31'	551,6
75	5,8	24,9	210	185,1	34 262,00	184 900	219 162,00	2 323 08	68° 43'	468,1

Prázdná jehla



Jehla zatahující priži



Vliv zatahování na normálovou silu N'

č.	$V_{[P]}$	$E_{[P]}$	$E_{[P]}$	$\frac{V \cdot E}{100}$	$S'_{[P]}$	$S_{[P]}$	S^2	V^2	$S^2 + V^2$	—	$N'_{[P]}$
1	130	50	10,0	19,0	105	86,0	7396,00	36100	43496,00		208,6
2	70	46	9,2	6,4	45	38,6	1489,96	4900	6389,96		79,9
3	75	43	8,6	6,5	52	45,5	2070,25	5625	7695,25		87,7
4	80	40	8,0	7,2	58	50,8	2580,64	8100	10680,64		103,3
5	110	38	7,6	8,4	55	46,6	2171,56	12100	14271,56		119,5
6	130	32	6,4	8,3	67	58,7	3445,69	16900	20345,69		142,6
7	185	28	5,6	10,4	75	69,6	4773,16	34225	38398,16		196,0
8	290	23	4,6	13,3	105	91,7	8408,89	84100	92508,89		304,2
9	150	20	4,0	6,0	45	39,0	1521,00	22500	24021,00		155,0

č.	$V_{[P]}$	$E_{[P]}$	$E_{[P]}$	$\frac{V \cdot E}{100}$	$S'_{[P]}$	$S_{[P]}$	S^2	V^2	$S^2 + V^2$	—	$N'_{[P]}$
10	230	50	10,0	23,0	155	132,0	17424,00	52900	70324,00		265,2
11	50	46	9,2	4,6	55	50,4	2540,16	2500	5040,16		71,0
12	55	42	8,4	4,6	52	47,4	2246,76	3025	5271,76		72,6
13	70	40	8,0	5,6	67	61,4	3763,96	4900	8663,96		93,1
14	90	35	7,0	6,3	72	65,7	4316,49	8100	12416,49		111,4
15	150	29	5,8	8,7	85	76,3	5821,69	22500	28321,69		168,3
16	190	28	5,6	10,6	105	94,4	8911,36	36100	45011,36		212,2
17	210	26	5,2	10,9	95	84,1	7027,81	44100	51172,81		226,2
18	550	22	4,4	24,2	195	170,8	29172,84	302500	331672,00		575,9
19	110	20	4,0	4,4	68	63,6	4044,86	12100	16144,86		127,1

u 58/2. čás.

Vysoká škola strojní a elektrotechnická
Katedra tkalcovství a pletářství

KOMPUTEROVÝ PRÍRÔDZ

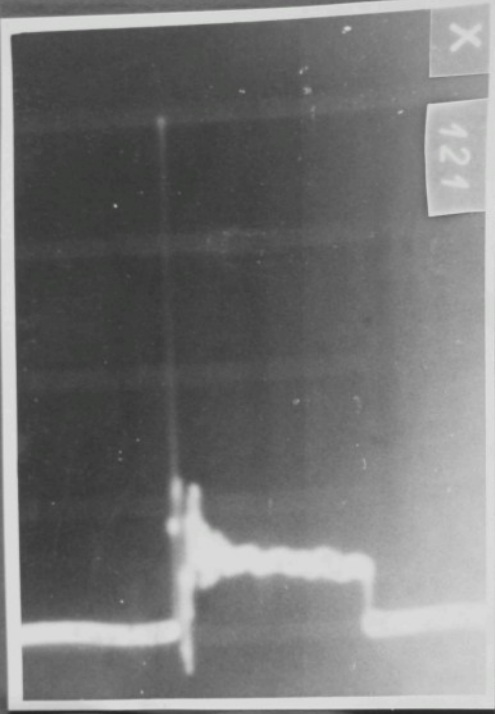
Priroda I.

Priroda II.

Talířová jehla neupravená

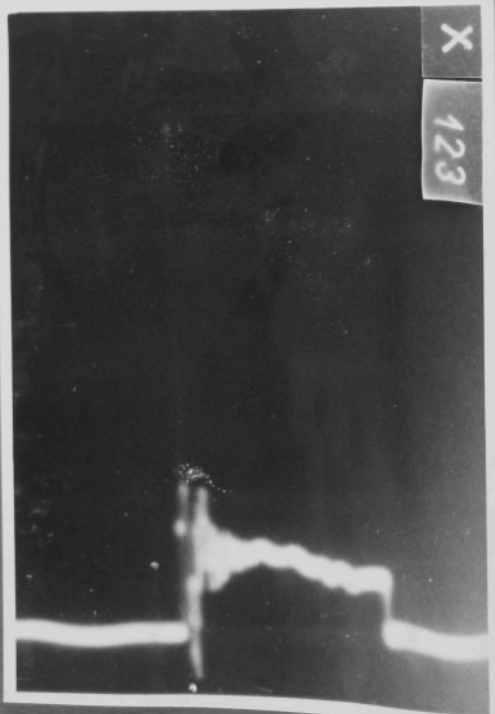
č.1.

$\alpha = 50^\circ$, $v = 0,65 \text{ m/s}$



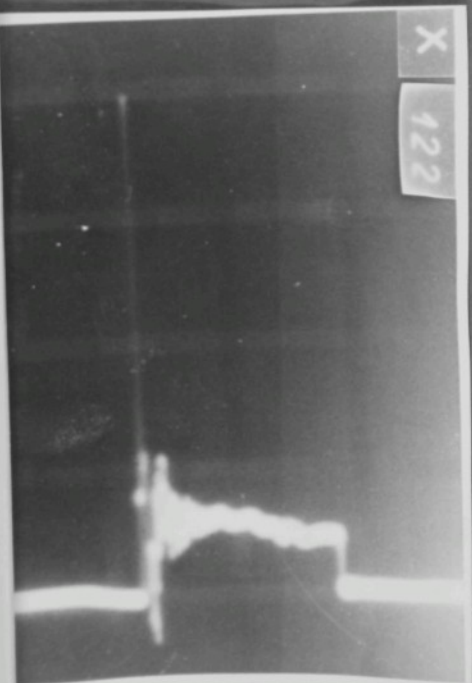
X

121



X

122



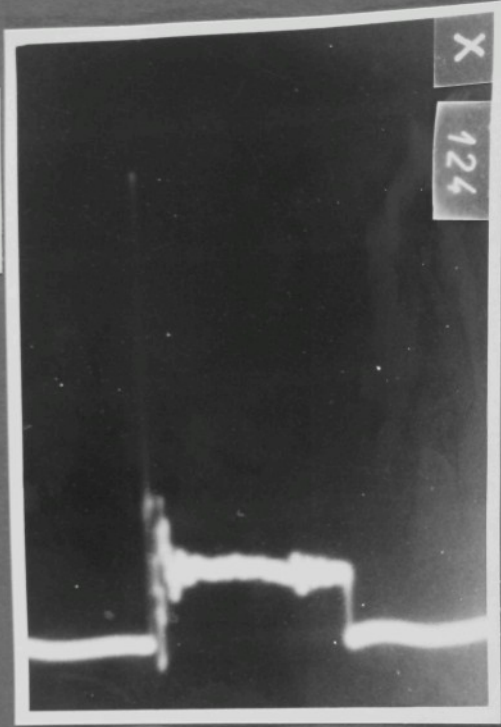
X

123

Talířová jehla neupravená

č. 2.

$\alpha = 50^\circ$, $v = 0,65 \text{ m/s}$



Talířová jehla neupravená

č. 3.

$$\alpha = 50^\circ, v = 0,65 \text{ m/s}$$

X

127



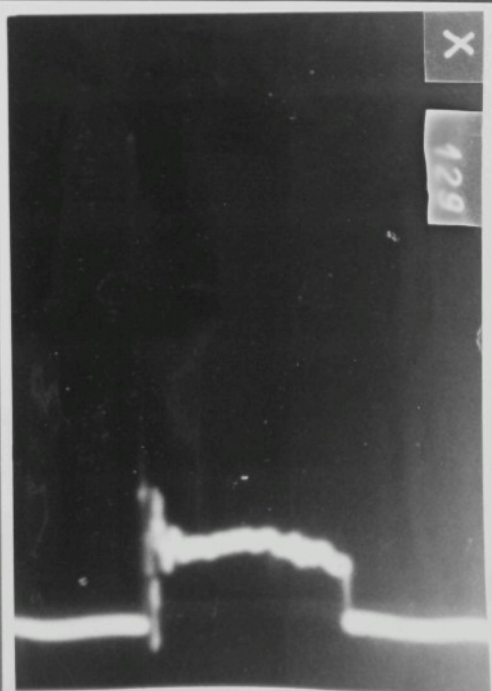
X

128



X

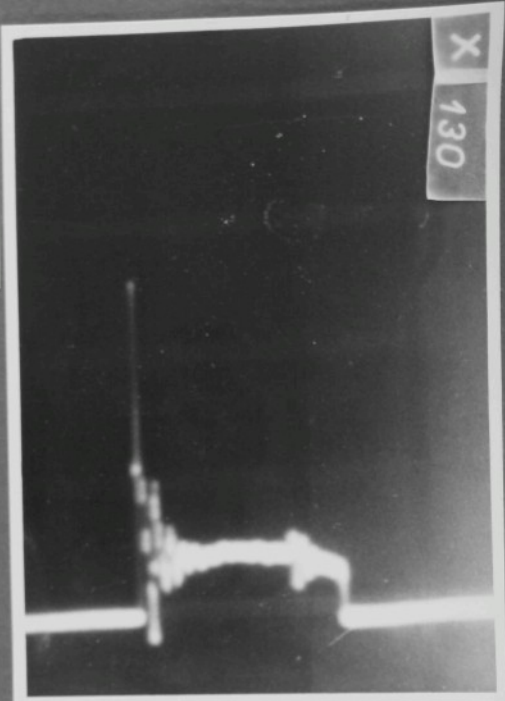
129



Talířová jehla neupravená

č. 4.

$\angle = 50^\circ$, $v = 0,65 \text{ m/s}$



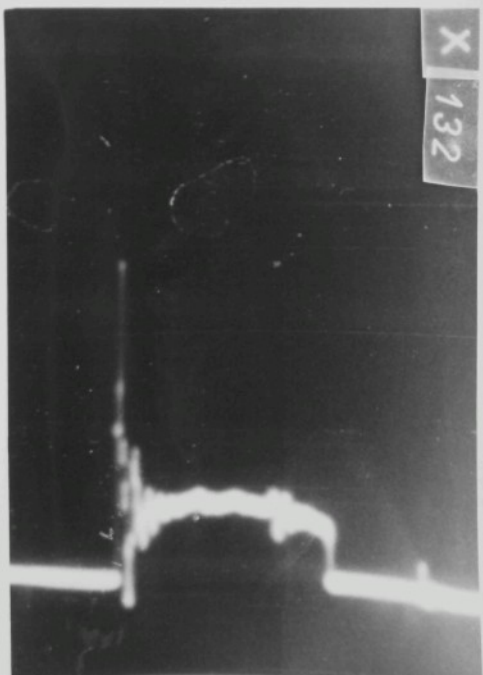
X

131



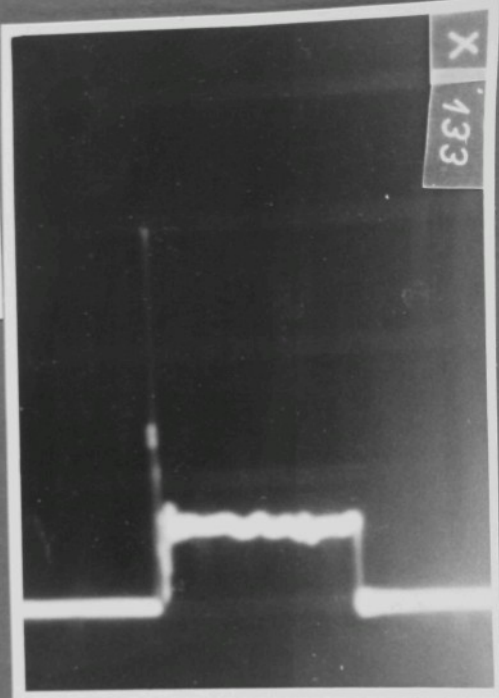
X

132

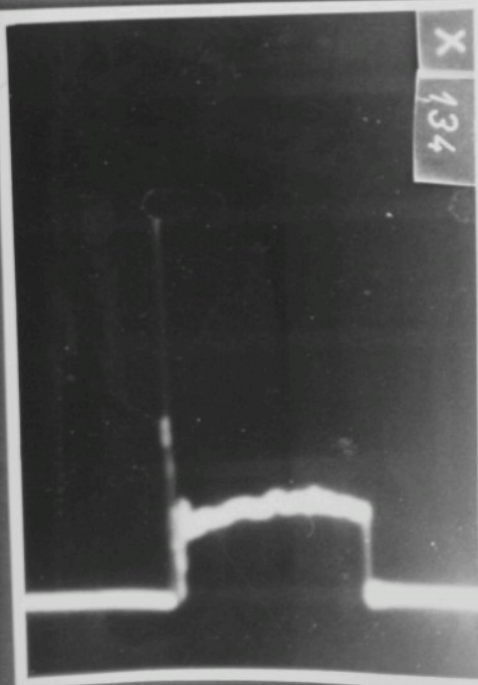


Taliřová jehla neupravená
č. 5.

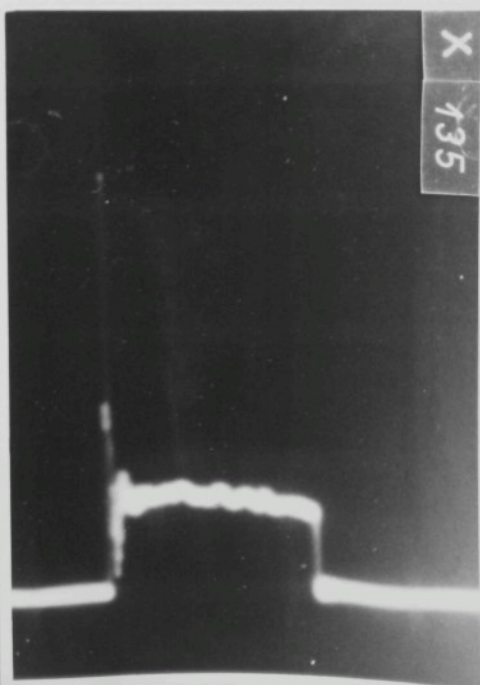
$\alpha = 50^\circ$, $v = 0,65 \text{ m/s}$



X | 133



X | 134



X | 135

Talířová jehla podbroušená
č.l.

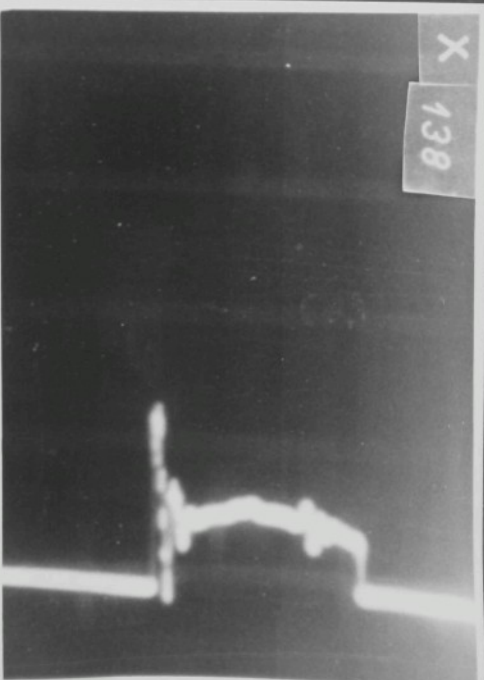
$$\alpha = 50^\circ, v = 0,65 \text{ m/s}$$



X
137



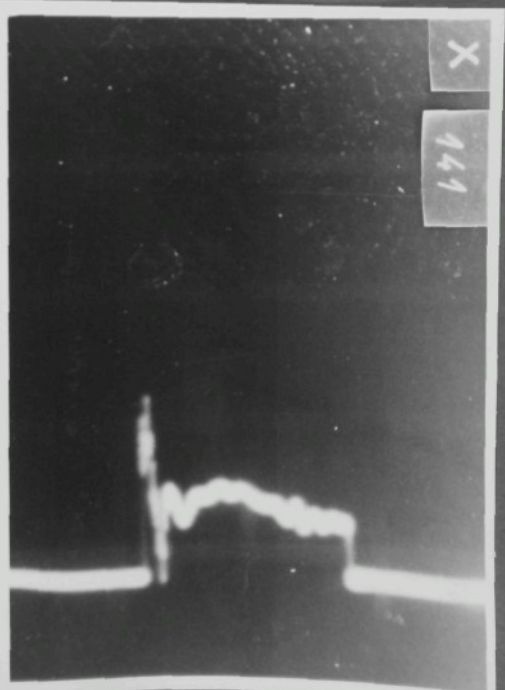
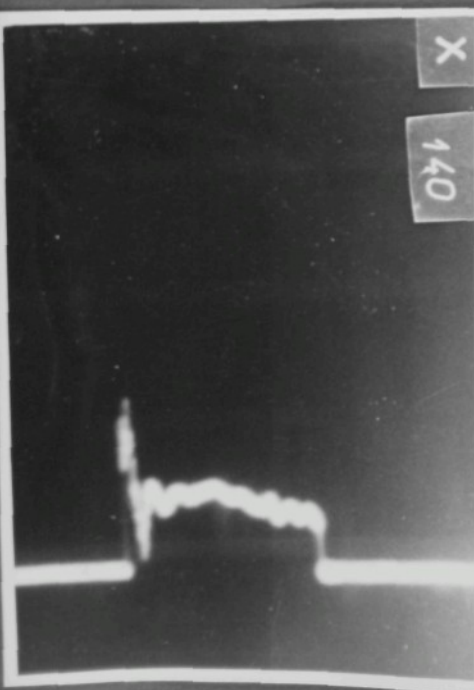
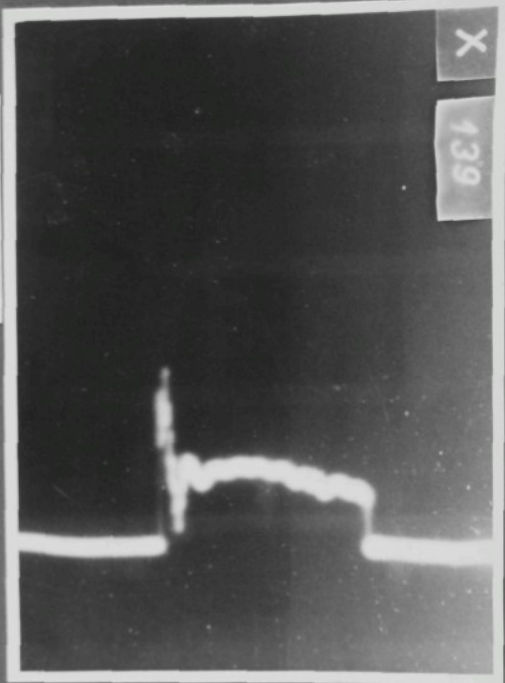
X
138



Talířová jehla podbroušená

č. 2.

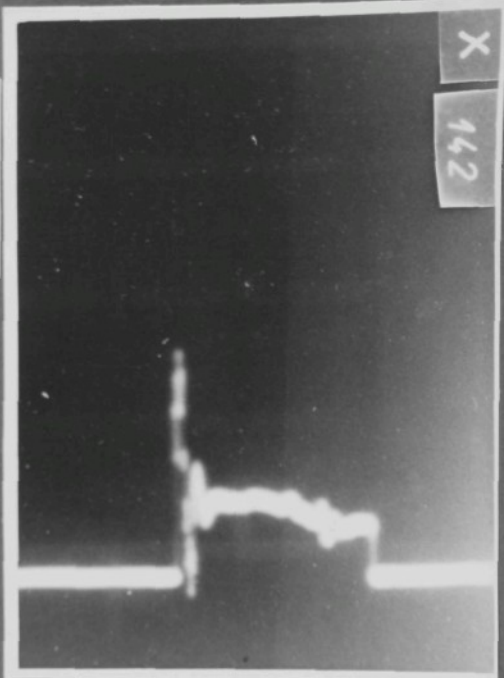
$\alpha = 50^\circ$, $v = 0,65 \text{ m/s}$



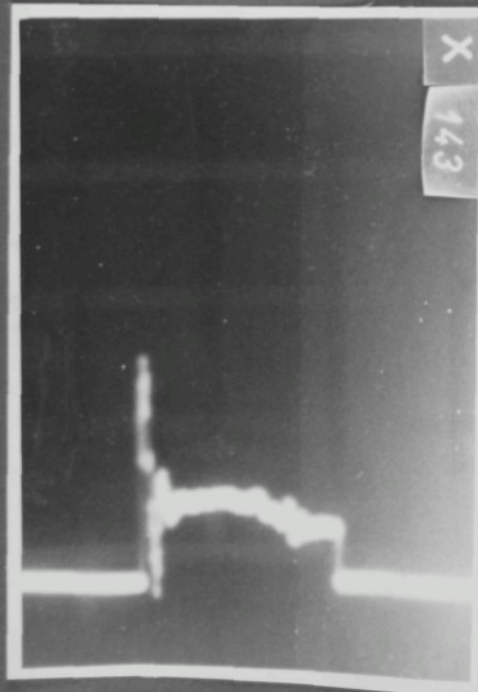
Talířová jehla podbroušená

č. 3.

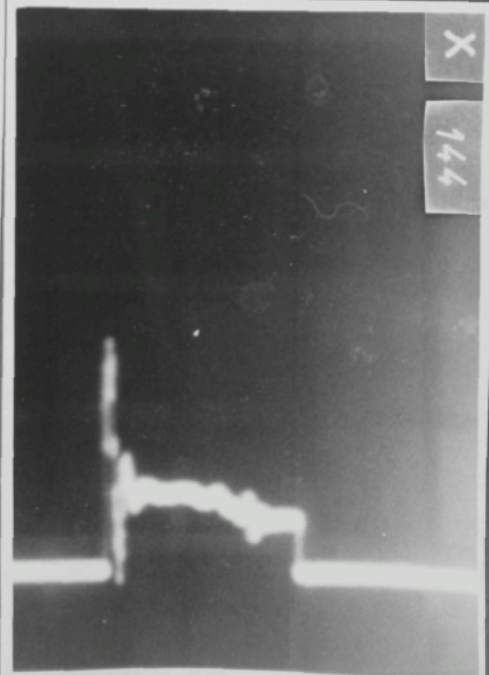
$\alpha = 50^\circ$, $v = 0,65 \text{ m/s}$



X 143



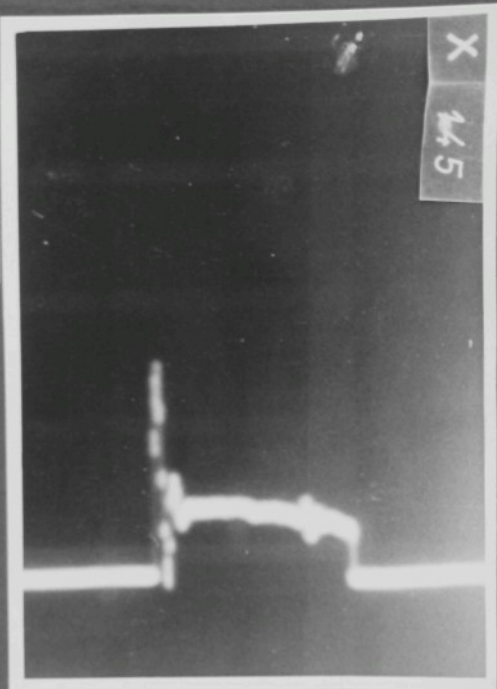
X 144



Talířová jehla podbroušená

č.4.

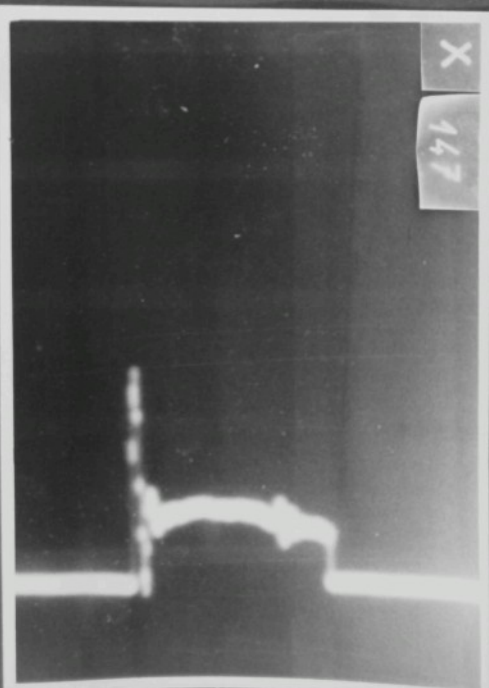
$\alpha = 50^\circ$, v=065m/s



X
146



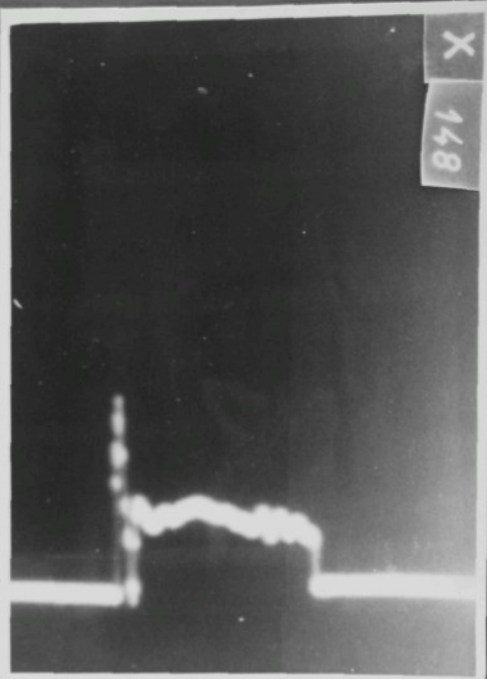
X
147



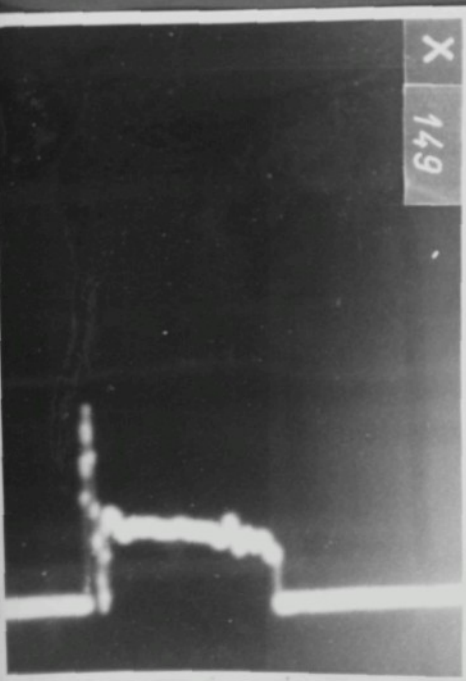
Talířová jehla podbroušená

č. 5.

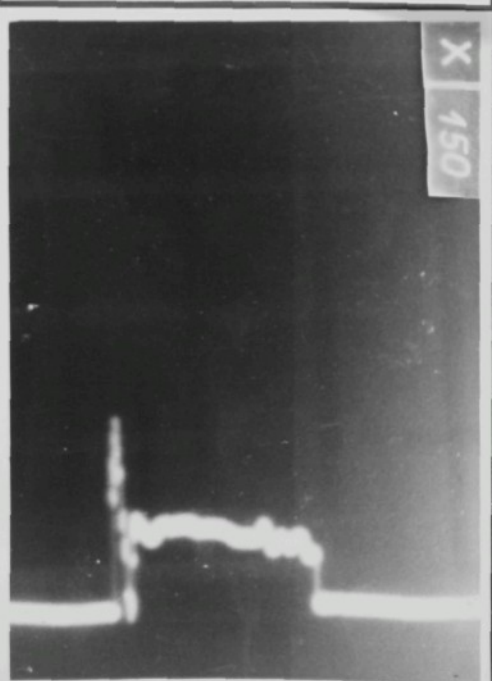
$\alpha = 50^\circ$, $v = 065 \text{ m/s}$



X
149

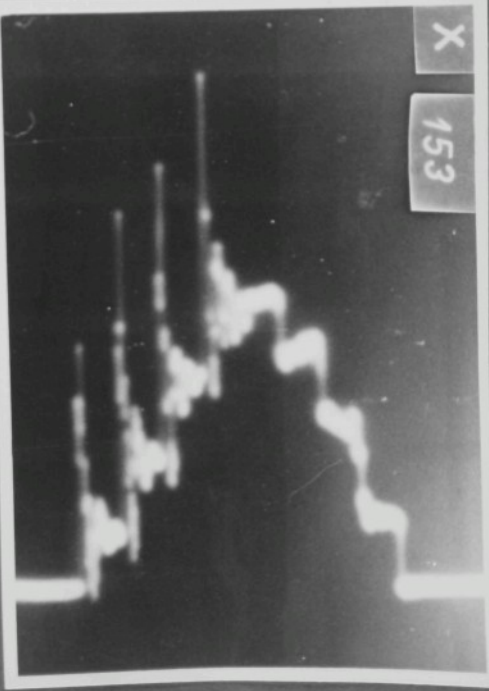
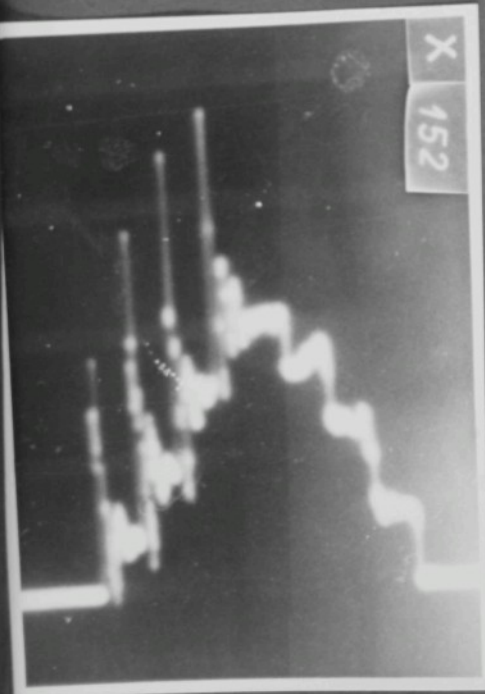
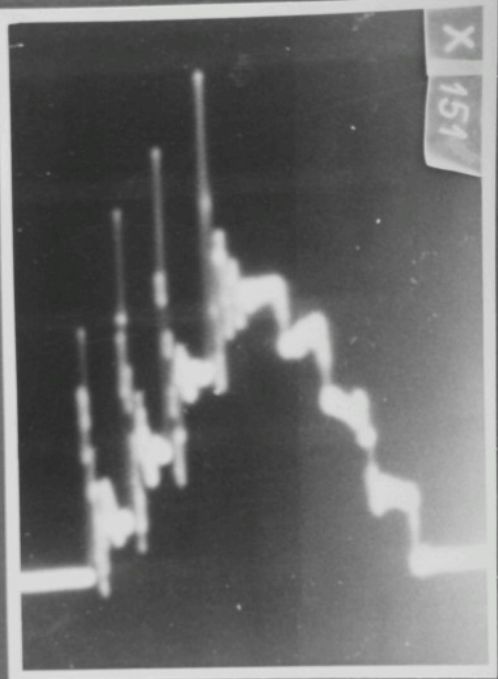


X
150



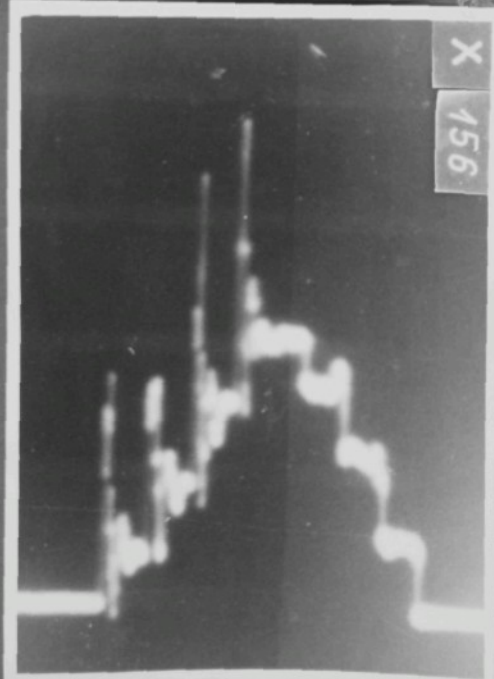
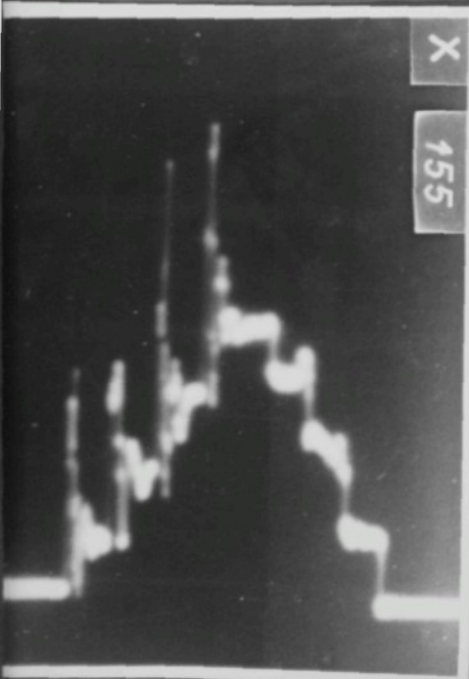
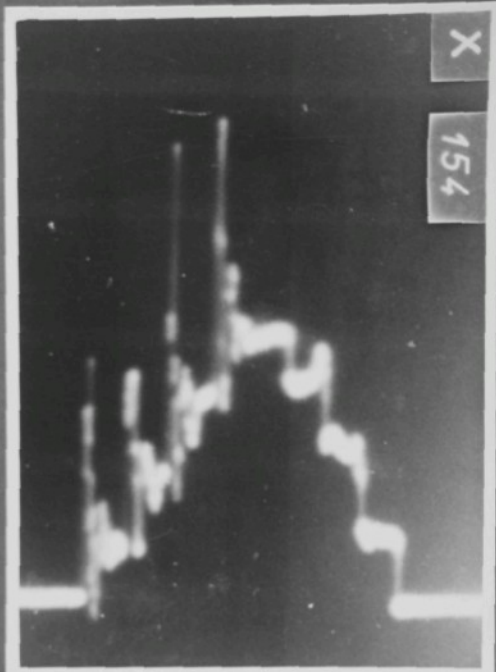
Čtyři neupravené jehly
vsazené do následujících
drášek talířového lůžka.

$$\alpha = 50^\circ, v = 0,65 \text{ m/s}$$



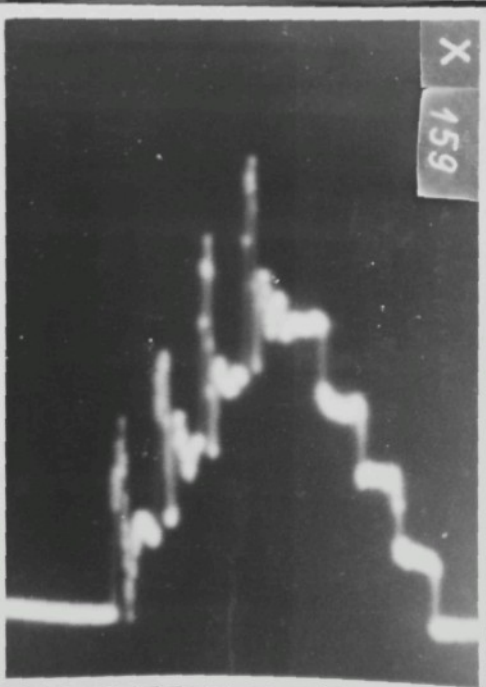
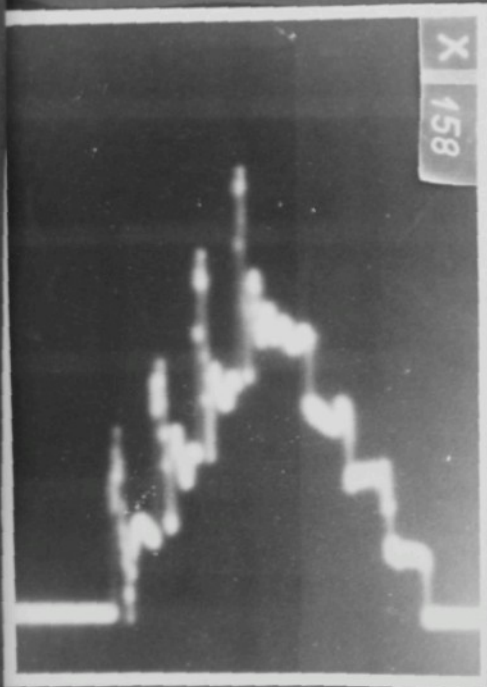
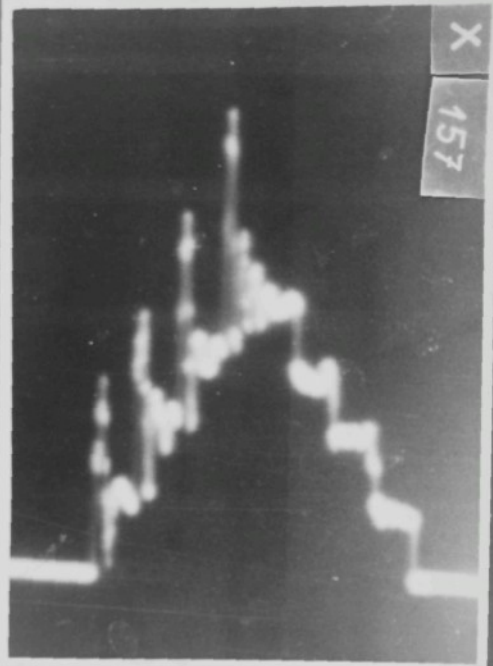
Čtyři jehly vsazené do
následujících drážek ta-
lířového lůžka. Druhá
jehla odpružená. /Podbrouše-
ná./

$$\alpha = 50^\circ, v = 0,65 \text{ m/s}$$

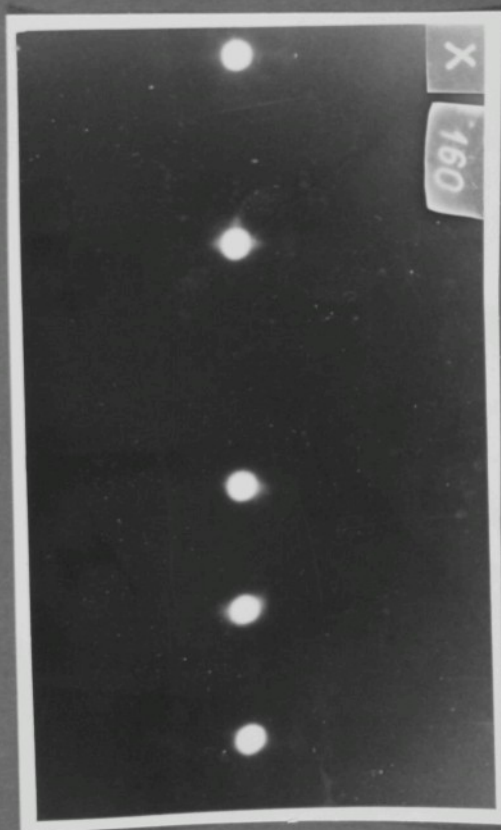
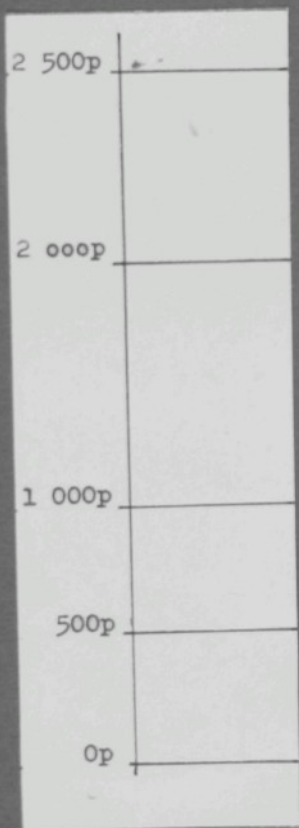


Čtyři podbroušené jehly
vsazené do následujících
drážek talířového lůžka.

$$\alpha = 50^\circ, v = 0,65 \text{ m/s}$$



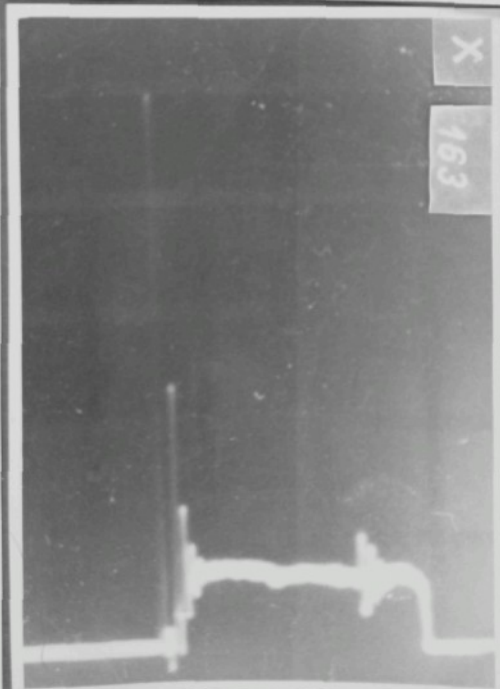
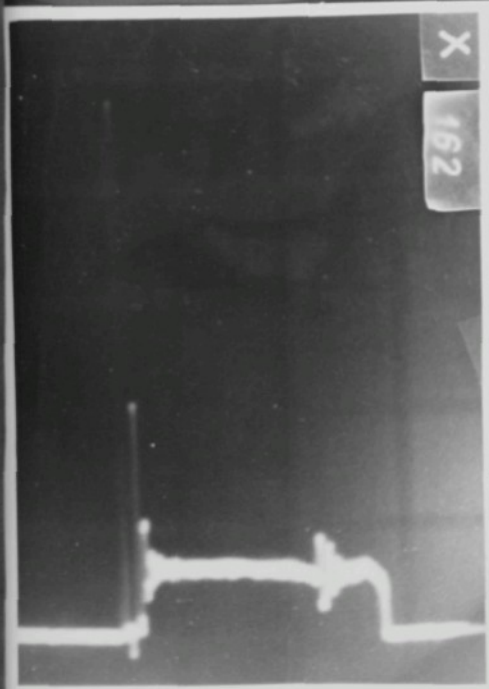
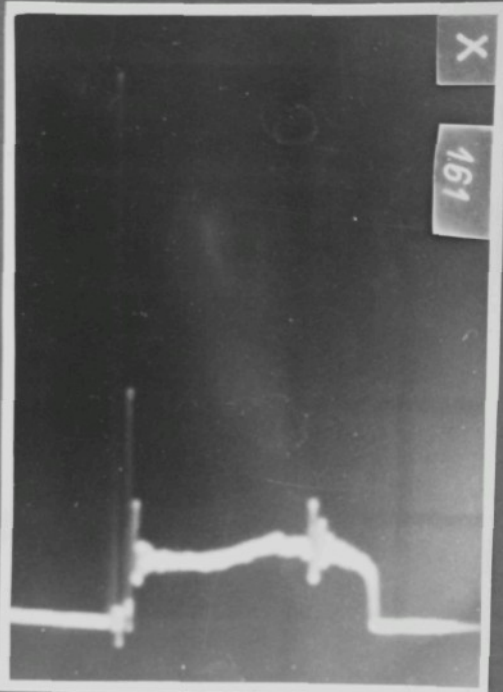
Snímek cejchu pro záznamy měření č. 121 - 159.



Talířová jehla nepředpružená.

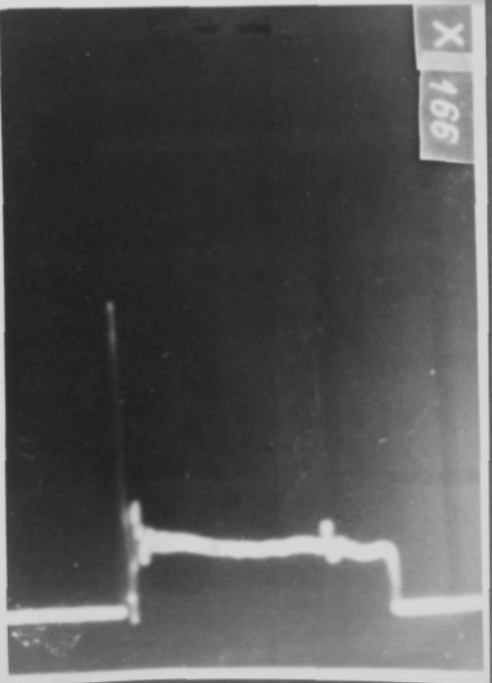
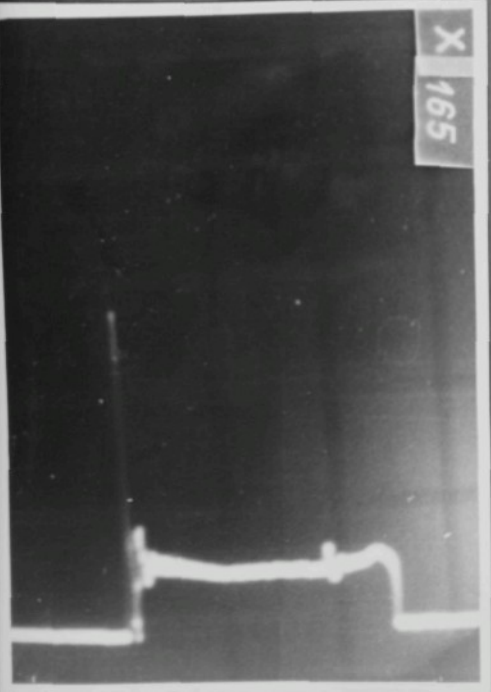
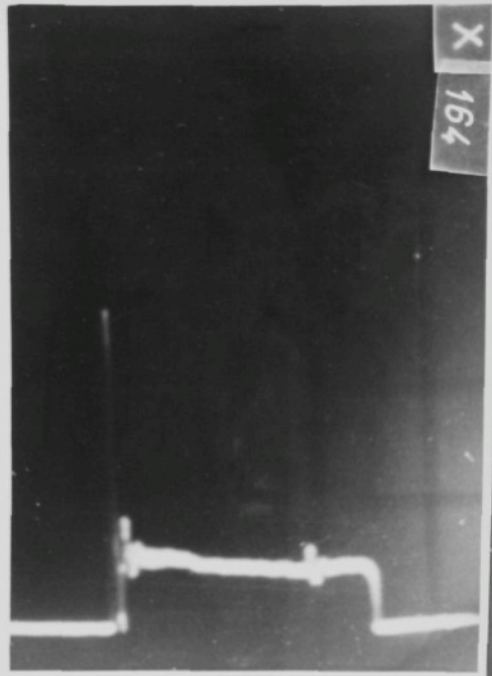
V drážce se pohybuje naprosto volně.

$$\alpha = 50^\circ, v = 0,65 \text{ m/s}$$



Talířová jehla předpružená,
která se pohybuje v lůžku
s normální tuhostí.

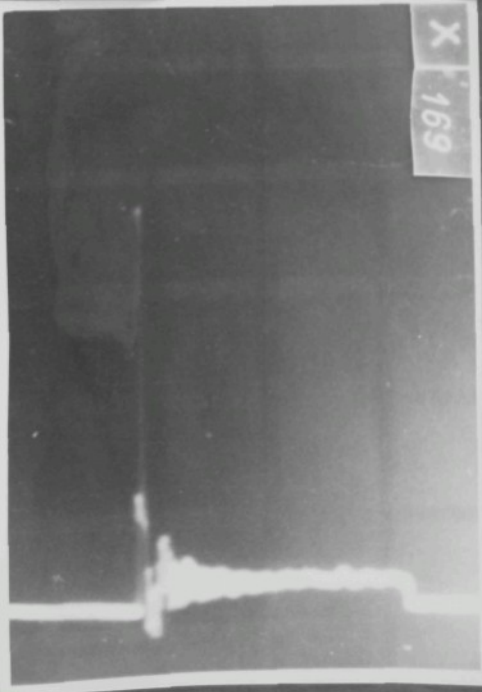
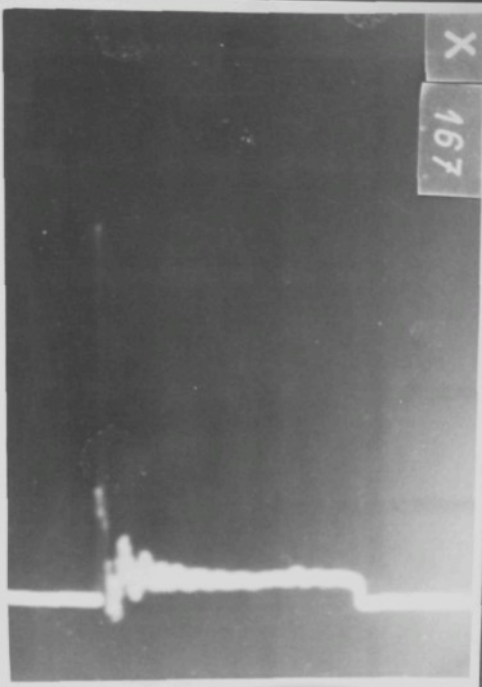
$$\alpha = 50^\circ, v = 0,65 \text{ m/s}$$



Jehla A.

Libovolně zvolená talířová
jehla, předpružená s normální
tuhostí pohybu jehly v lůžku.

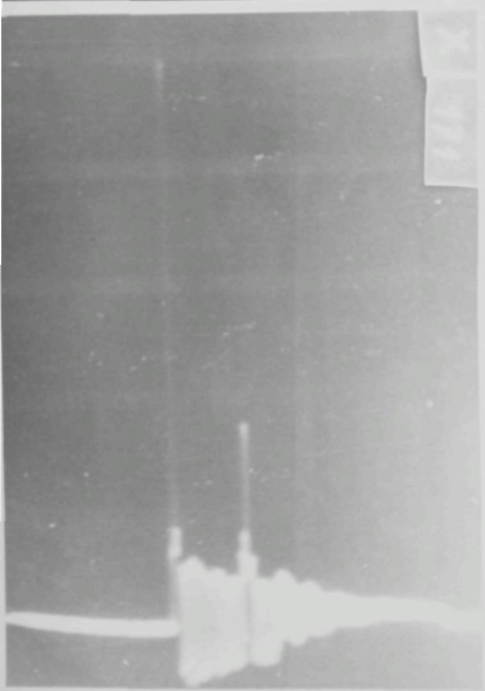
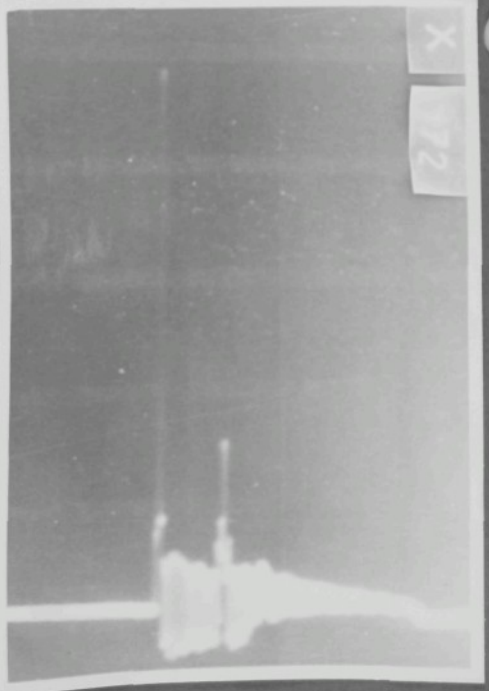
$$\alpha = 50^\circ, v = 0,65 \text{ m/s}$$



Jehla A.

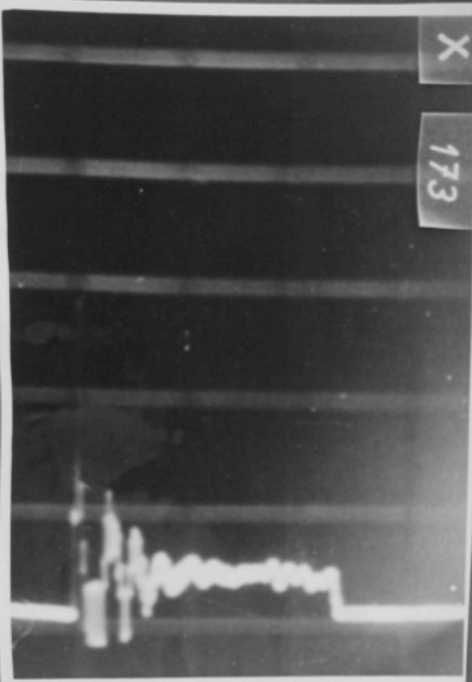
U jehly bylo zrušeno předpružení. V drážce se pohybovala úplně volně. Stvol byl nykroucen doleva.

$$\alpha' = 50^\circ, v = 0,65 \text{ m/s}$$



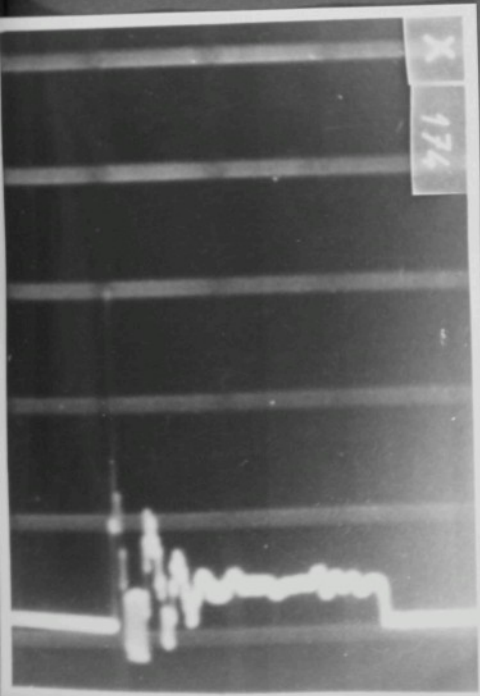
X

173



X

174



Jehla A.

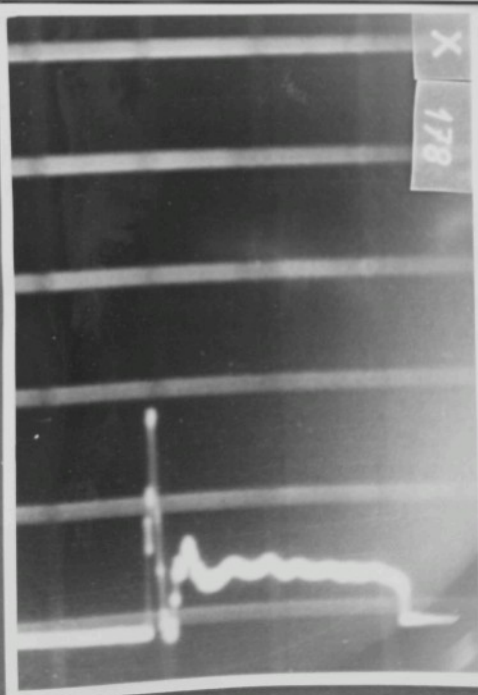
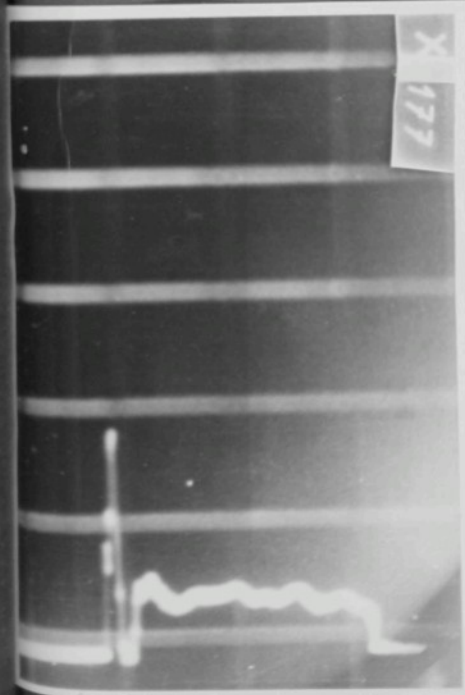
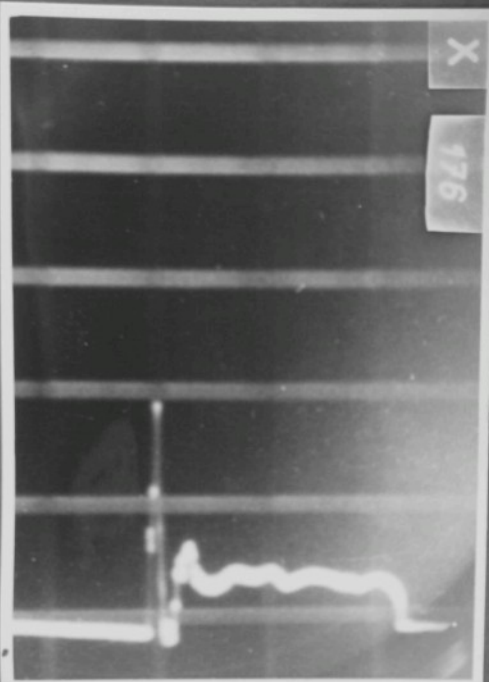
Jehla je opět předpružena.
V drážce se pohybuje s normální tuhostí. Její stvol byl na-
kroucen doprava.

$$\alpha = 50^\circ, v = 0,65 \text{ m/s}$$

Jehla B.

Jehla podbroušená, předpružená,
s normální tuhostí pohybu jeh-
ly v drážce. Její stvol nebyl
kroucen.

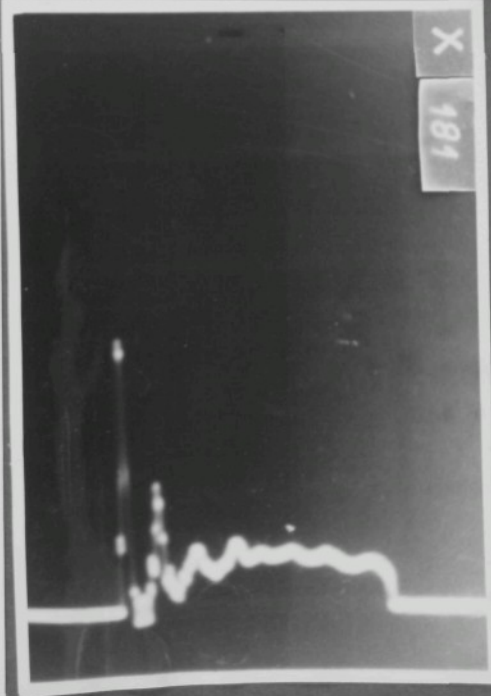
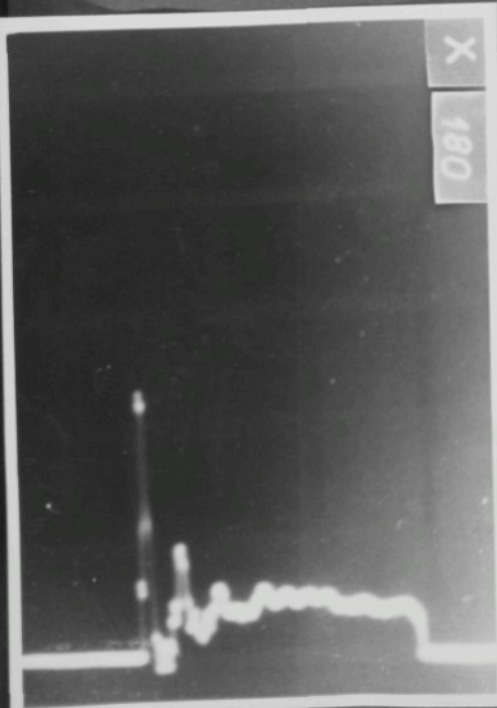
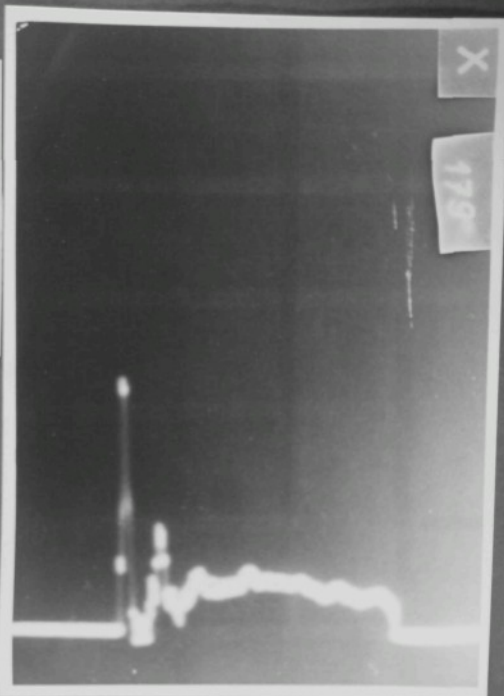
$$\angle = 50^\circ, v = 0,65 \text{ m/s}$$



Jehla B.

Jehla podbroušená, předpružená,
s normální tuhostí pohybu jehly
v drážce. Její stvol byl
zkroucen doleva.

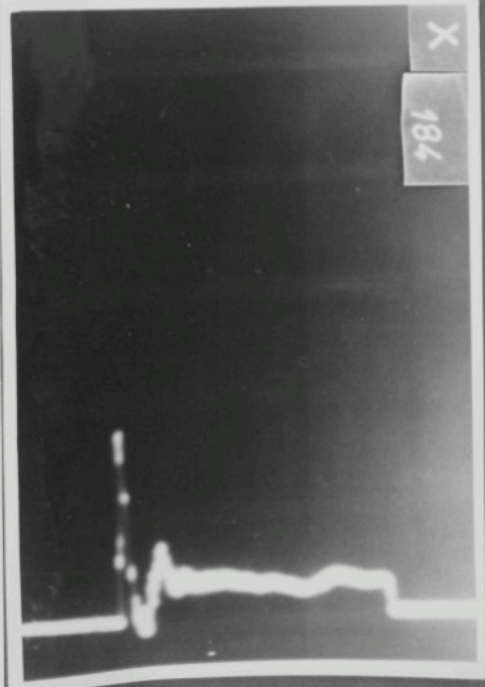
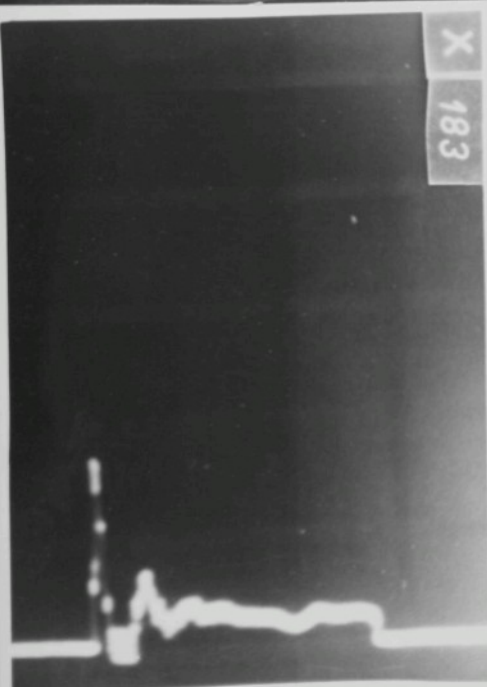
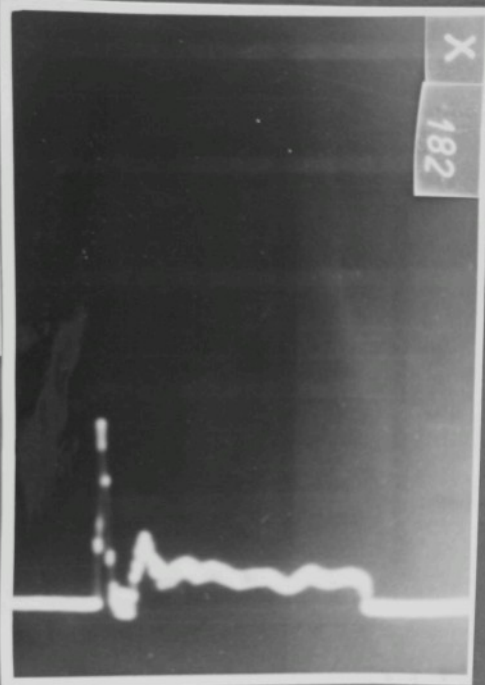
$$\alpha = 50^\circ, v = 0,65 \text{ m/s}$$



Jehla B.

Jehla podbroušená, předpružená,
s normální tuhostí pohybu jehly
v drážce. Její stvol byl
zkroucen doprava.

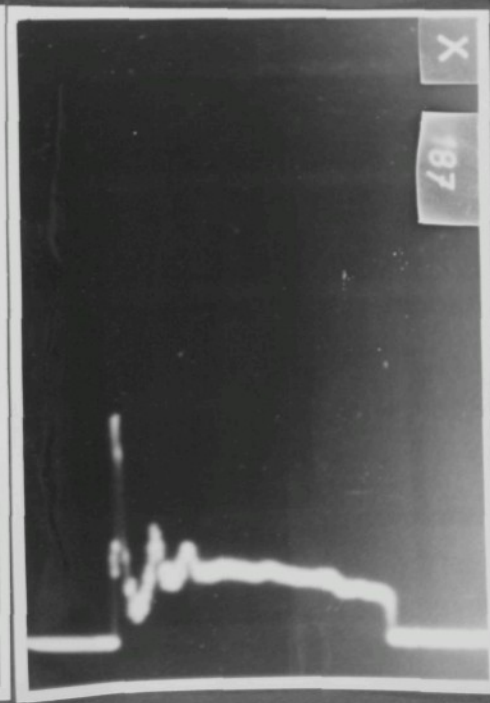
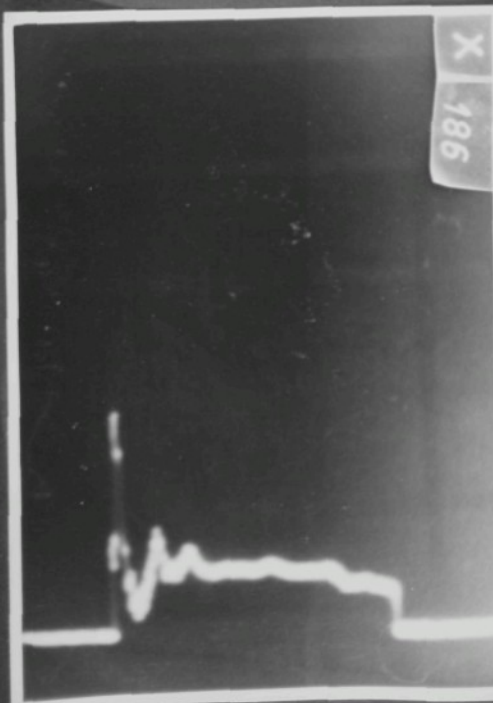
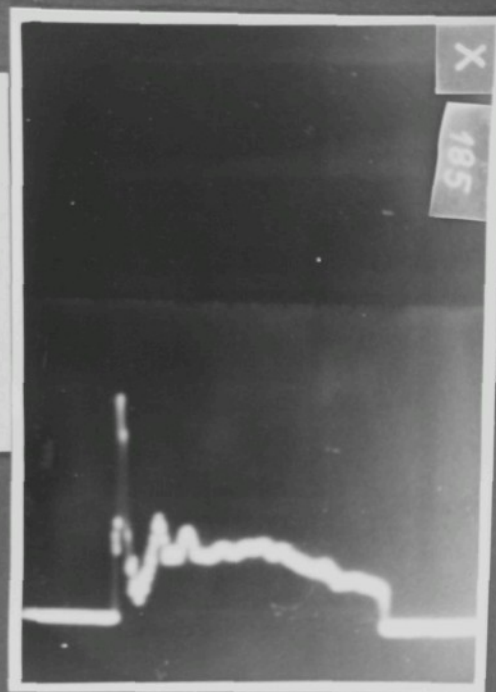
$\alpha = 50^\circ$, $v = 0,65 \text{ m/s}$



Jehla C.

Jehla podbroušená, předpružená, s normální tuhostí pohybu jehly v drážce. Předpružení bylo provedeno v místech podbroušení na patě jehly.

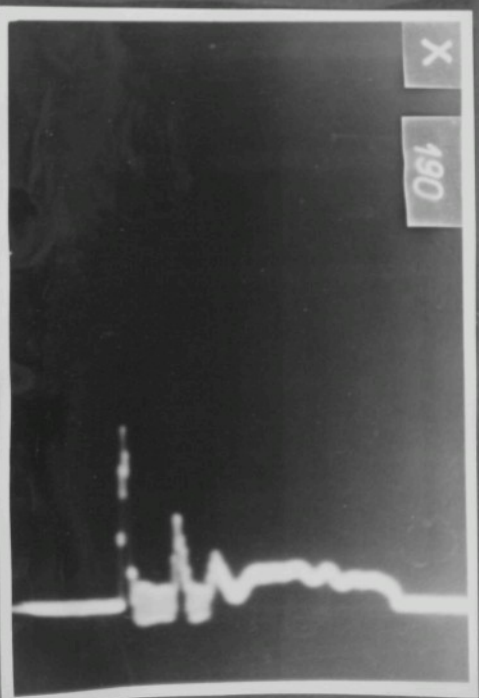
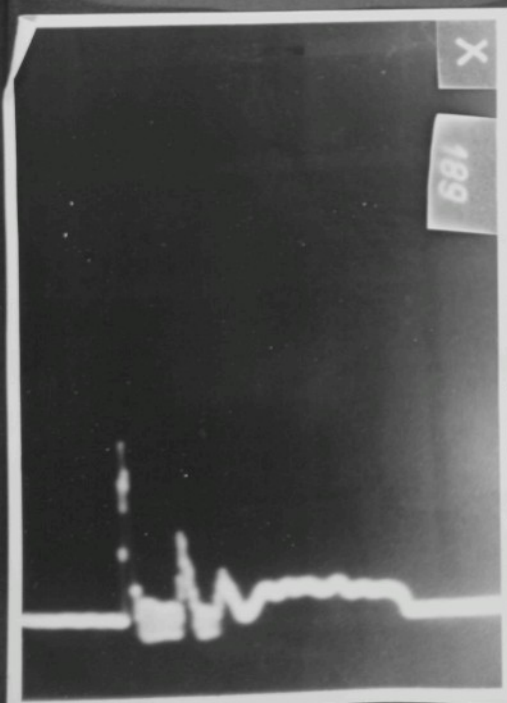
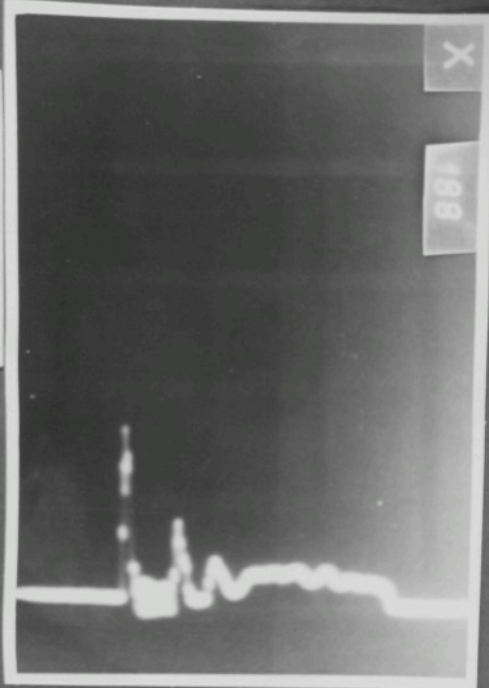
$$\underline{\alpha = 50^\circ, v = 0,65 \text{ m/s}}$$



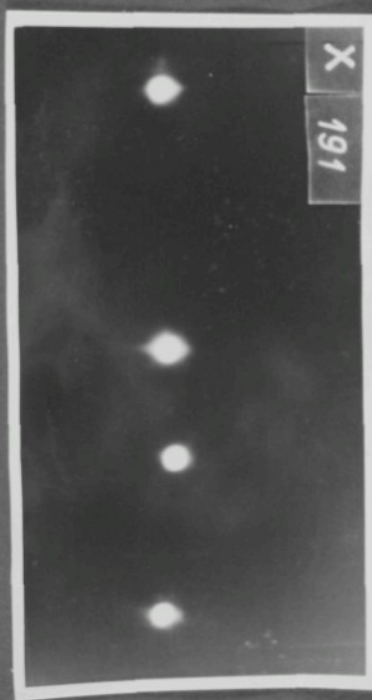
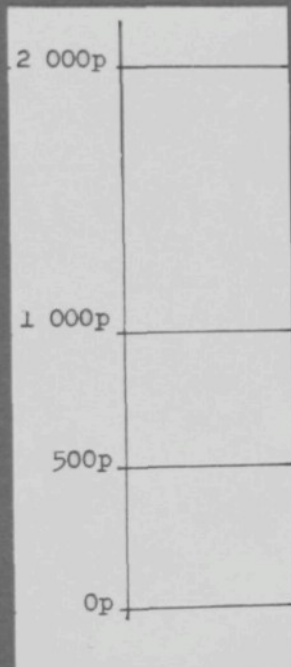
Jehla C.

Jehla podbroušená, předpružená,
s normální tuhostí pohybu jehly
v drážce. Předpružení bylo
provedeno v místě podbroušeného
kolénka.

$$\alpha = 50^\circ, v = 0,65 \text{ m/s}$$



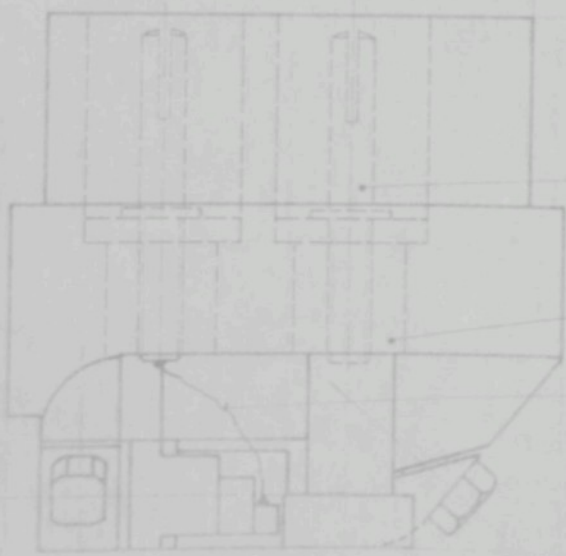
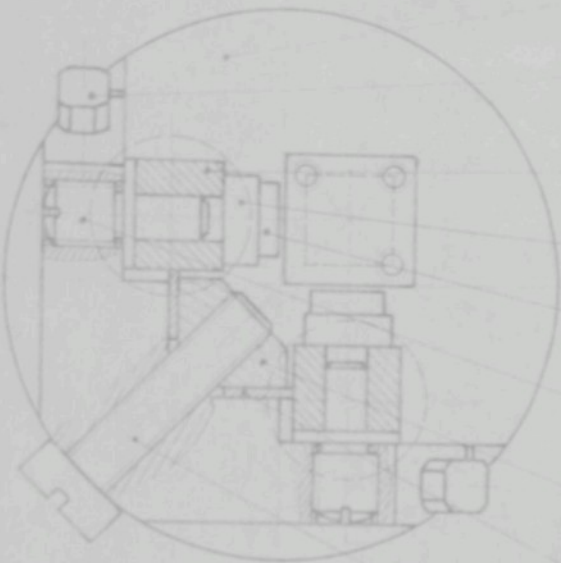
Snímek cejchu pro záznamy měření č. 161 - 190.



2	KODIČ	MEO								12
2	KROUŽEK	FIBA							3 - 04	11
2	KOLÍK	423005.4							3 - 11	10
1	ŠROUB M5x20 ČSN 02 1133									9
2	PRUŽINA	12 021.5							3 - 09	8
1	HRANOL	11 500							3 - 08	7
2	ŠROUB	11 500							3 - 07	6
2	SONDA	42 3222							3 - 06	5
2	PODLOŽKA	FIBA							3 - 05	4
2	KROUŽEK	42 4254.6							3 - 10	3
2	ŠROUB M4x10 upravený								3 - 03	2
1	TĚLESO SNÍMAČE	11 500							3 - 02	1

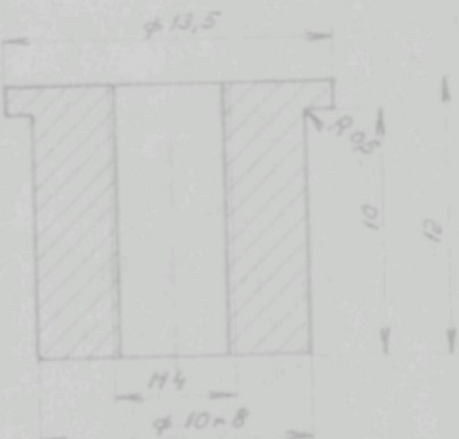
	Název	Kód	Od							
2.1	Snímač	Kodol	01.00							
	Diskriminace									
	Automač									
	Výkon									

1. NÁZEV	2. NÁZEV	3. NÁZEV	4. NÁZEV	5. NÁZEV
2.1	DVOUSLOŽKOVÝ SNÍMAČ			3 - 01



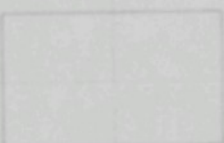
ø44x6

6,3



2 číslo stroje	Název - kódový nápis	Použitý materiál	Mater. konstrukce	Mater. výrobek	FIBR				Dle pravidla	Změna	Oznámení člena výrobku
					Mater.	Přizpůsob.	Výrobek	Mater. výrobek			
5-1	Kroužek	Kroužek	Gumový	Výrobek	Mater.	Přizpůsob.	Výrobek	Mater. výrobek	Dle pravidla	Změna	Oznámení člena výrobku
	Plastický										
	Natur. sil.										
	UV pojistek				Severný	Z. pravice					
Výrobek	číslo	číslo	číslo	číslo	číslo	číslo	číslo	číslo			
VŠST LIBEREC	12/01	13/01	14/01	15/01	16/01	17/01	18/01	19/01			
KTP	12/01	13/01	14/01	15/01	16/01	17/01	18/01	19/01			
KROUŽEK				3-04							

6,3



8 m



3,5 m



1,5 m

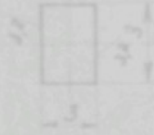
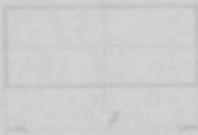
		FIBR						
Material - Rozměr	Rozměr	M.K. hmotn.	Nez. hmotn.	Stř. voda/vodna	Cíček vodna	Cíček vodna	Pos.	
Laminát	Kopál							
Dřevotříška								
Asfalt								
Výrobce								

VEST-SIBEEC			
KTP			

PODLOŽKA

3-05

63/ (4)



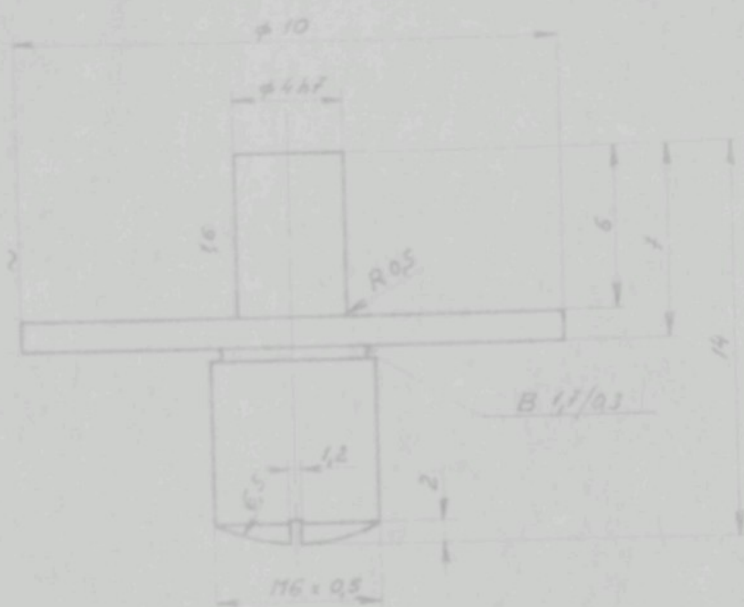
Příjem - Emise		ČSN 42 868.09	48 3222-3						

SST LIBEREC		Stavba	2000-01-01	2000-01-01	

SONDA

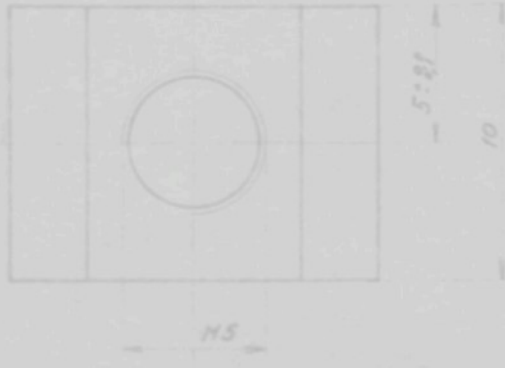
3-06

3.2 / (✓/ ~)



Výrobek - Rozměr		D. materiálu	Met. zkušenost	Údaj v katalogu	Plánovaný výrobek	C. výrobek	Poznámka	Cíle výroby	Poz.
Kružnice	Rozměr								
Pravouhlý úhel									
Do rozměru									
Výrobek	Kružnice								
Rozměr		Kružnice		Obrázek		Rozměr		Důvod	
1:1									
Materiál		Slabice		Skladování		Materiál		Materiál	
FEST LIBEREC		KTP		3-07		3-07		3-07	
KTP		ŠROUB		3-07		3-07		3-07	

6.3 / (3e)

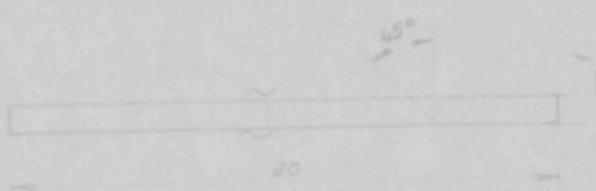
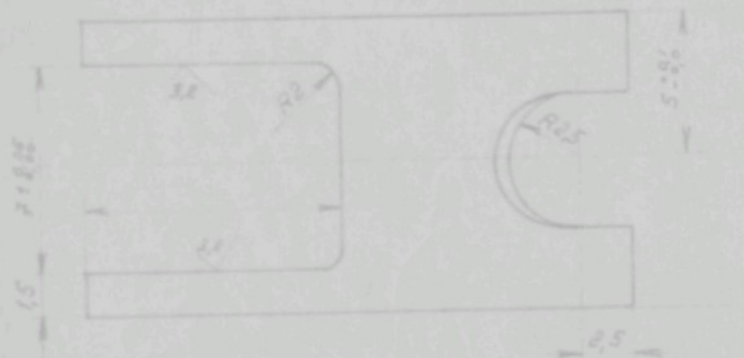


						11.500						
1	2	3	4	5	6	7	8	9	10	11	12	13
1	Kopal	On going										
2												
3												
4												
5												
6												
7												
8												
9												
10												
11												
12												
13												

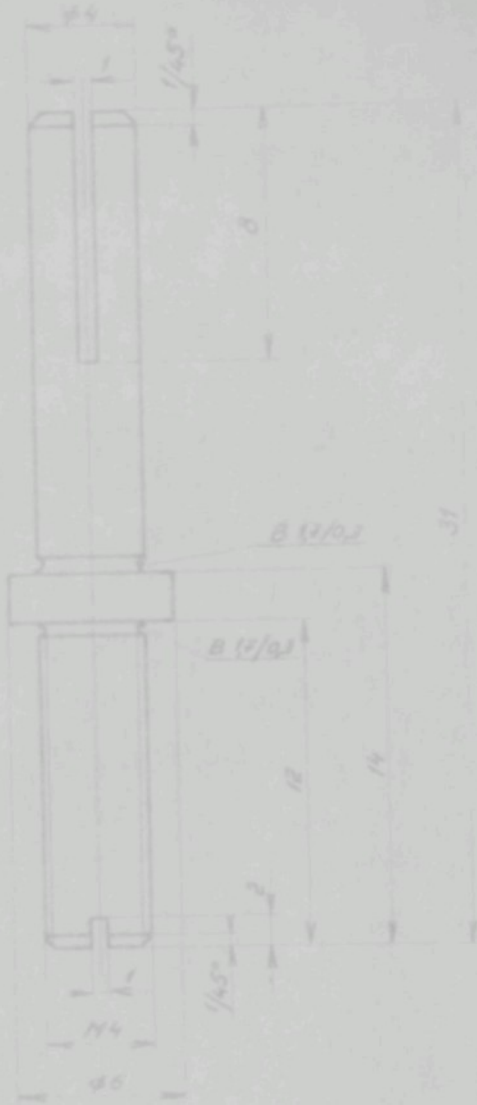
HRANOL

3-08

ZUŠLECHTĚNO 150 Apfelmus



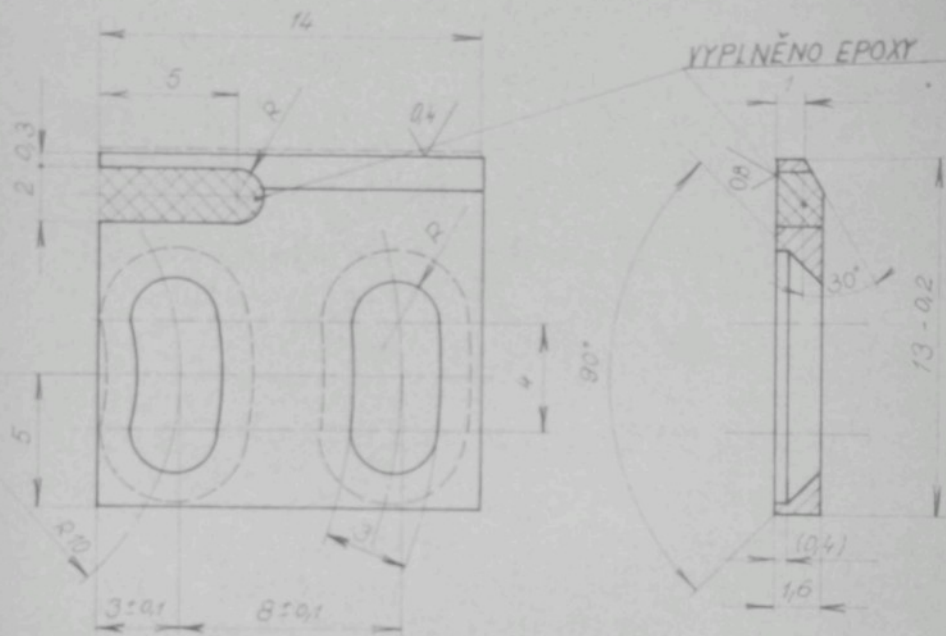
ČSN 42 53801		12 071 20					
Název - Popis	0 - číslo	Stř. kód	Verz.	Účinnost	Úpravy	Data vydání	Rej.
Kopie							
Originál							
Reprodukce							
Modifikace							
5-1	Kopie						
VSET LIBEREC KTP	DP	00-000	00-000	00-000	00-000	00-000	00-000
PRUŽINA		3-09					



2	ČSN 42 88612-02	42 8005.4			
3	Name, Surname	First name	Date of birth	Date of issue	Expiry date
4	Royal				
5:1	5:1	5:1	5:1	5:1	5:1
VŠETÍ LISEKEC KTP	KOLÍK				3-11

3.2 ✓ 0.4 ✓ 0.8 ✓

VYPLNĚNO EPOXY



KALENO, POPUŠTĚNO HRC 60

Název - Rozměr		19 436-3	Materiál	Mater. výroba	číslo	Č. výroba	Hvadlo	Cíta výkresu	Poz.
Kreslil		Kopaj	Dokument						
Překontrolil									
Kód. ref.									
Výr. projedn.		Schmidt	C. přenos	Zpráva	Datum				
		Dine			poč. poř.				
ST LIBEREC		Typ	Skupina	Starý výkres	Novy výkres				
KTP		Název							
					4 - 01				
				Pročteno					

2	PRUŽINA		12071.5								12
2	VODÍČ		MĚD								11
2	KROUŽEK		FÍBR								10
2	KOLÍK		42 3005.4								9
1	ŠROUB M5x20 ČSN 02 1133										8
2	MATICE M6 ČSN 02 1421										7
2	ŠROUB		11 500								6
1	HRANOL		11 500								5
2	KROUŽEK		42 4254.5								4
2	PODOLOŽKA		FÍBR								3
2	SONDA		42 3222								2
1	TELESO SNÍM.		11 500								1
	Výrob. číslo	Příslušn.	Náro. kódovací	MBR	MBL	MBL	A výrobek	Materiál	Cílový zájem	Arg.	

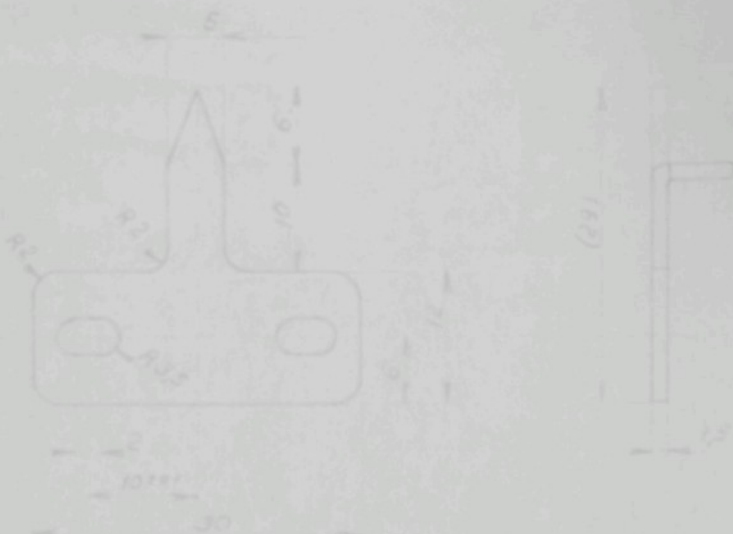
2-1	Průměr	100	Neplatí	100	Neplatí						
	Délka	100	Neplatí	100	Neplatí						
	Šířka	100	Neplatí	100	Neplatí						
	Výška	100	Neplatí	100	Neplatí						
	Neplatí										

VSSZ LIBEREC
KTP

DVOUSLOŽKOVÝ
SNÍMAC

2 - 01

3,2



11370

UKAZATEL

1-02

53

(10)



číslo katalogu

11310

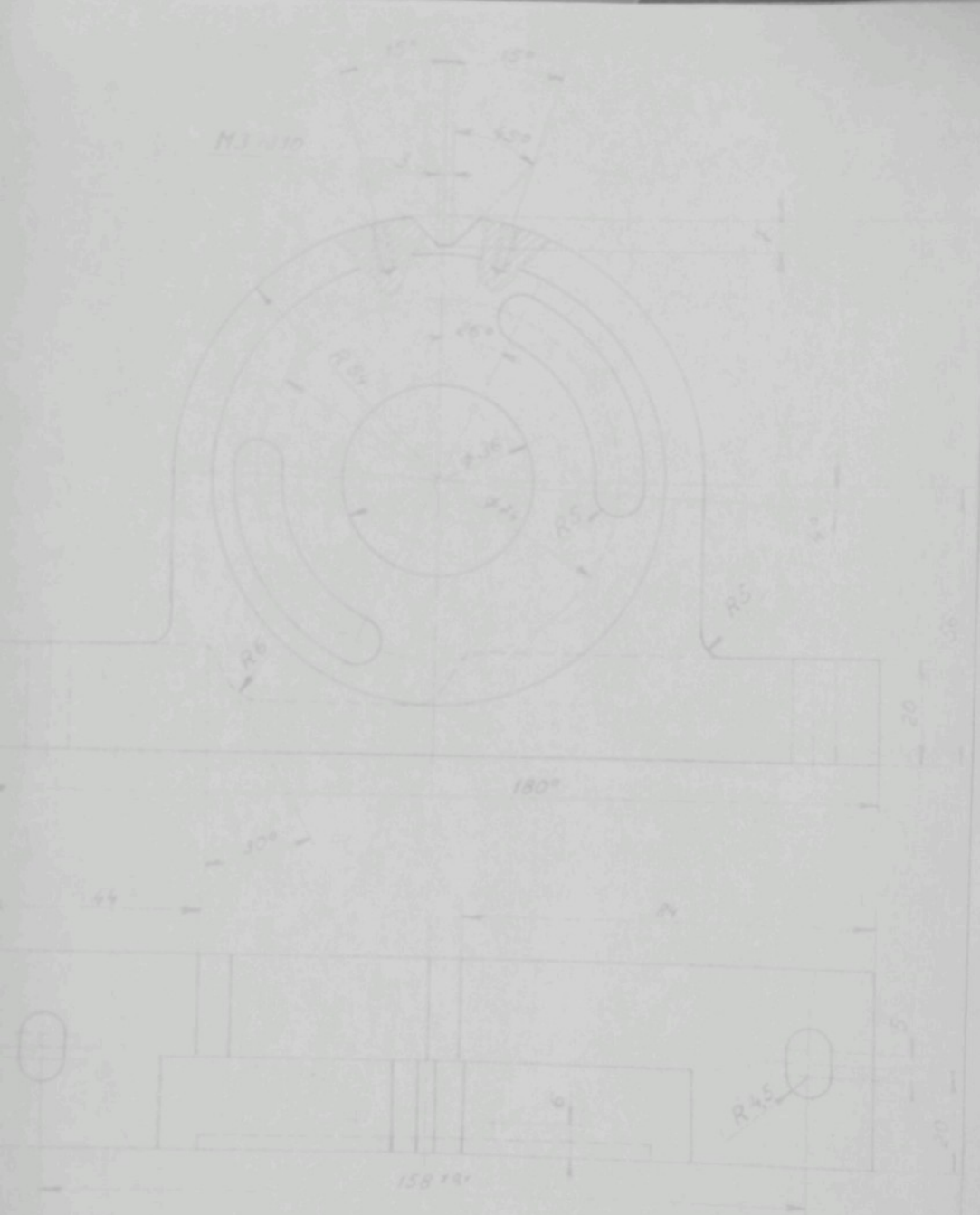
2

Asym.

1	2	3	4	5	6	7	8	9	10	11	12	13	14	15	16	17	18	19	20	21	22	23	24	25	26	27	28	29	30	31	32	33	34	35	36	37	38	39	40	41	42	43	44	45	46	47	48	49	50	51	52	53	54	55	56	57	58	59	60	61	62	63	64	65	66	67	68	69	70	71	72	73	74	75	76	77	78	79	80	81	82	83	84	85	86	87	88	89	90	91	92	93	94	95	96	97	98	99	100
1	2	3	4	5	6	7	8	9	10	11	12	13	14	15	16	17	18	19	20	21	22	23	24	25	26	27	28	29	30	31	32	33	34	35	36	37	38	39	40	41	42	43	44	45	46	47	48	49	50	51	52	53	54	55	56	57	58	59	60	61	62	63	64	65	66	67	68	69	70	71	72	73	74	75	76	77	78	79	80	81	82	83	84	85	86	87	88	89	90	91	92	93	94	95	96	97	98	99	100
1	2	3	4	5	6	7	8	9	10	11	12	13	14	15	16	17	18	19	20	21	22	23	24	25	26	27	28	29	30	31	32	33	34	35	36	37	38	39	40	41	42	43	44	45	46	47	48	49	50	51	52	53	54	55	56	57	58	59	60	61	62	63	64	65	66	67	68	69	70	71	72	73	74	75	76	77	78	79	80	81	82	83	84	85	86	87	88	89	90	91	92	93	94	95	96	97	98	99	100
1	2	3	4	5	6	7	8	9	10	11	12	13	14	15	16	17	18	19	20	21	22	23	24	25	26	27	28	29	30	31	32	33	34	35	36	37	38	39	40	41	42	43	44	45	46	47	48	49	50	51	52	53	54	55	56	57	58	59	60	61	62	63	64	65	66	67	68	69	70	71	72	73	74	75	76	77	78	79	80	81	82	83	84	85	86	87	88	89	90	91	92	93	94	95	96	97	98	99	100

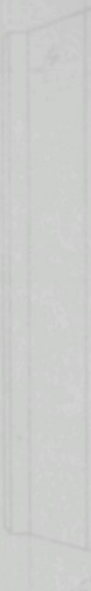
VÁLCOVÝ DRŽÁK

1 - 03



VYŘÍTA STUPNICE 0°-360°

1145°



11500

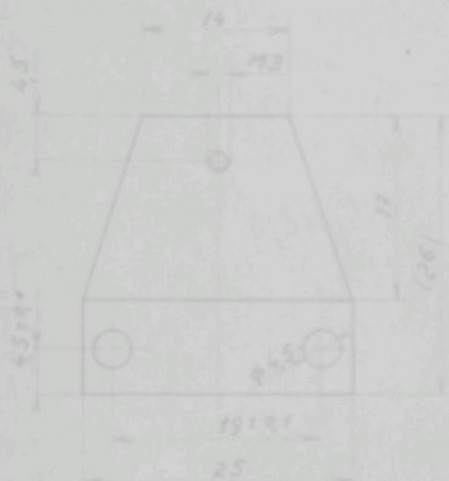
Kopie

1.1

VSST LIBEREC
KTP

TOČNA

1-04



11500

Kopie

Kopie

21

1557 118-805

STAHOVACÍ DESKA

1-05

SV



	FIBR							
1	Název - Rozměr							
2	Kód							
3	5-1							
4	VŠST LIBEREC							
5	KTP							
6	PODLOŽKA							
7	1-06							



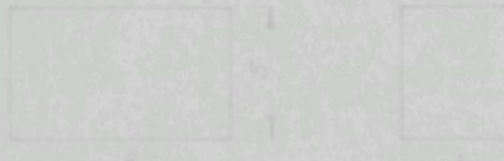
		19.4.96		
Brno - Rožnov				
Rožnov				

Rožnov

FUNKČNÍ HRANA

1-09

32



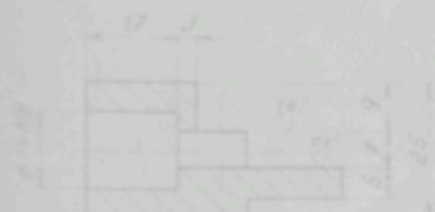
		FIBR						
číslo	zdravotník	počet	met. číslo	cest. výběr	řada	číslo	počet	číslo
1	Koňák							
2								
3								
4								
5								
6								
7								
8								
9								
10								
11								
12								

		Baleno	Nebezpečné	Nedostatečný
1				
2				
3				
4				
5				
6				
7				
8				
9				
10				

		Baleno	Nebezpečné	Nedostatečný
1				
2				
3				
4				
5				
6				
7				
8				
9				
10				

1	ESST-LIDERECK		
2	KTP		
3	POUJOŽKA		
4			
5			
6			
7			
8			
9			
10			

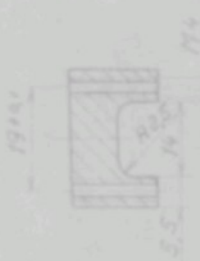
1 - 10



M3 N. 6



ŘEZ A-A



Kopie

TELESO ENIMALE

1-11